

ESTUDOS DE RESSONÂNCIA MAGNÉTICA NUCLEAR DE  
2-METILPROOPENOS 3-SUBSTITUIDOS

MARA ELIZA FORFES BRAJBANTE

*Tese de Doutoramento*

B731e

8003/BC

UNIVERSIDADE ESTADUAL DE CAMPINAS  
INSTITUTO DE QUÍMICA

Este exemplar corresponde a redação final da Tese defendida por Mara Elisa Fortes Braibante e Aprovada pela Comissão Julgadora.

22 de abril de 1987



ESTUDOS DE RESSONÂNCIA MAGNÉTICA NUCLEAR DE.  
2-METILPROOPENOS 3-SUBSTITUIDOS

MARA ELISA FORTES BRAIBANTE

*Tese de doutoramento*

Prof.Dr. ROBERTO RITTNER NETO

*orientador*

CAMPINAS  
1987

UNICAMP

*Ao Hugo  
Maura e Henrique  
por todo carinho, apoio  
e compreensão.*

*À memória de meus pais.*

*AGRADECIMENTOS*

- Ao Prof. Dr. Roberto Rittner , pela orientação, incen-tivo e amizade durante a realização deste trabalho.
- Aos professores do IQ, em particular pela colaboração dos professores: Prof.Dr. Fred Y.Fujywara.  
Prof<sup>a</sup>.Dr<sup>a</sup>. Anita J. Marsaioli.  
Prof. Rogério Custódio, pelos cálculos teóricos de orbital molecular.
- Ao Carlos Kaiser pelo registro dos espectros de  $^1\text{H}$  e  $^{13}\text{C}$
- A Prof<sup>a</sup>. Dr<sup>a</sup> Dora G.de Kowalewski, da Universidade de Bue-nos Aires pelo interesse e colaboração.
- A Paula Pilli e demais funcionários pela colaboração.
- A CAPES e CNPq pelas bolsas concedidas.
- A Angela Custódio pela simulação dos espectros de  $^1\text{H}$ .
- Aos colegas de laboratório, em particular ao Ernani.
- A Bruker da Alemanha pelos espectros à 250 MHz.
- A todos colegas e amigos do IQ, pela amizade.
- Às "avós" pelo carinho e estímulo.

# ÍNDICE

	Página
Resumo .....	XX
Summary .....	XXII
Abreviações .....	XXIV
Introdução e Objetivos .....	1

## PARTE I

### REVISÃO BIBLIOGRÁFICA

CAPÍTULO 1. ASPECTOS GERAIS DE COMPOSTOS OLEFÍNICOS	5
1.1-Reações .....	9
1.1.2-Reações Alílicas.....	10
CAPÍTULO 2. ESPECTROSCOPIA DE RESSONÂNCIA MAGNÉTICA NUCLEAR .....	14
2.1-Introdução .....	14
2.2-Fenômeno de Ressonância .....	15
2.3-Parâmetros da Ressonância Magnética Nuclear ..	16
2.3.1-Deslocamento Químico .....	16
2.3.2.-Acoplamento spin-spin .....	17
CAPÍTULO 3. RESSONÂNCIA MAGNÉTICA NUCLEAR DE $^1\text{H}$ DE OLEFINAS .....	19
3.1-Deslocamento Químico .....	19
3.2-Atribuição dos sinais de hidrogênios olefínicos	21
3.2.1-Efeito Nuclear Overhauser (NOE) .....	22
3.2.2-Deslocamento Induzido por Lantanídeos...	24
3.3-Constantes de Acoplamento .....	31
CAPÍTULO 4. RESSONÂNCIA MAGNÉTICA NUCLEAR DE $^{13}\text{C}$ DE OLEFINAS .....	38
4.1-Deslocamento Químico .....	38
4.2-Constantes de Acoplamento $^{13}\text{C}-\text{H}$ .....	40
4.3-Efeitos Empíricos dos Substituintes .....	43

	Página
4.3.1- Efeito $\alpha$ .....	43
4.3.2- Efeito $\beta$ .....	44
4.3.3- Efeito $\gamma$ .....	45
4.4-Métodos Empíricos de cálculo .....	45
4.4.1-Carbonos olefínicos .....	45
4.4.2-Carbonos $sp^3$ .....	48
CAPÍTULO 5. ESPECTROSCOPIA NO INFRAVERMELHO DE OLEFINAS .....	51
5.1-Isomerismo Rotacional de compostos metalílicos por infravermelho .....	52

## PARTE II

### APRESENTAÇÃO E DISCUSSÃO DOS RESULTADOS

CAPÍTULO 1. SINTESE DOS COMPOSTOS .....	58
1.1-Introdução .....	58
1.2-Compostos Metalílicos Halogenados .....	60
1.3-Compostos Metalílicos Oxigenados .....	61
1.4-Compostos Metalílicos com Enxofre .....	62
1.5-Compostos Metalílicos Nitrogenados .....	63
1.6-Cianeto de Metalila .....	64
1.7-Intermediários Sintéticos .....	65
CAPÍTULO 2. RESSONÂNCIA MAGNÉTICA NUCLEAR DE $^1H$ DE 2-METILPROPENOS 3-SUBSTITUIDOS .....	67
2.1-Atribuição dos sinais de $^1H$ .....	67
2.1.1-Deslocamento Induzido por Lantanídeo ..	68
2.1.2-Efeito Nuclear Overhauser .....	78
2.2-Interpretação dos dados de r.m.n. de $^1H$ .....	80
2.2.1-Deslocamentos Químicos .....	80
2.2.2-Constantes de Acoplamento .....	86
CAPÍTULO 3. RESSONÂNCIA MAGNÉTICA NUCLEAR DE $^{13}C$ DE 2-METILPROPENOS 3-SUBSTITUIDOS .....	123
3.1-Interpretação dos dados de r.m.n. de $^{13}C$ .....	123
3.2-Efeitos Empíricos dos Substituintes nos Deslocamentos Químicos de $^{13}C$ .....	130

	Página
3.3-Correlação entre Deslocamentos Químicos de <sup>13</sup> C e parâmetros eletrônicos e estéricos ....	134
3.3.1- Efeito Polar de Charton .....	134
3.3.2- Efeito Estérico de Charton .....	135
3.3.3- Efeito Polar e Estérico de Charton ...	137
3.3.4- Efeito de Campo de Swain-Lupton .....	139
3.4-Correlações entre os Deslocamentos Químicos de compostos metalílicos e propanonas $\alpha$ -monossu- bstituidas .....	140
3.4.1- Carbono-1 .....	140
3.4.2- Carbono-2 .....	140
3.4.3- Carbono-3 .....	140
3.4.4- Carbono-4 .....	141
3.5-Métodos Empíricos de Cálculo .....	142
3.5.1-Carbono $\alpha$ -Metilênico(C-3) .....	142
3.5.2-Carbonos Olefínicos (C-1 e C-2) .....	147
3.6-Constantes de Acoplamento <sup>13</sup> C-H .....	151
3.6.1-Acoplamento através de uma ligação ....	152
3.6.2-Acoplamento através de duas ligações...	154
3.6.3-Acoplamento através de tres ligações ..	156
CAPÍTULO 4. ESPECTROS DE INFRAVERMELHO DE 2-METIL- PROOPENOS 3-SUBSTITUIDOS .....	174
CAPÍTULO 5. CONCLUSÕES .....	183

## PARTE III

### PARTE EXPERIMENTAL

1. Instrumentação Geral .....	187
2. Preparação das Amostras .....	188
3. Solventes .....	189
4. Compostos Purificados ou Sintetizados .....	189
4.1-Compostos Purificados .....	189

	Página
4.2-Compostos Sintetizados .....	190
APÊNDICE .....	201
REFERÊNCIAS BIBLIOGRÁFICAS .....	211

## ÍNDICE DE FIGURAS

	Página
Figura 1. Estrutura do etileno .....	5
Figura 2. Elementos de simetria do etileno .....	5
Figura 3. Distribuição da densidade eletrônica no centro da ligação dupla etilénica. (a)-densidade eletrônica total. (b)-densidade de elétrons $\sigma$ . (c)-densidade de elétrons $\pi$ .....	6
Figura 4. Orbitais de fronteira do etileno .....	7
Figura 5. Orbitais de fronteira do propeno .....	7
Figura 6. Estereoquímica da adição à dupla ligação..	9
Figura 7. Estado de transição na reação $SN_2$ em $C\alpha$ de sistemas alílicos.....	12
Figura 8. Estado de transição $SN_2^+$ .....	12
Figura 9. Representação esquemática da precessão de Larmor .....	15
Figura 10. Representação esquemática do efeito de anisotropia magnética da ligação dupla, carbono-carbono (-desproteção; +proteção) .....	21
Figura 11. Reagentes Lantanídicos .....	26
Figura 12. Campo dipolar de simetria axial.Os lóbulos positivos indicam deslocamento induzido para campo baixo e os negativos para campo alto .....	28
Figura 13. Valores calculados da contribuição "indireta" do acoplamento spin-spin à longa distância envolvendo o grupo metila.....	34
Figura 14. Dependência do acoplamento alílico com o ângulo diedro .....	35
Figura 15. Orbitais no fragmento da molécula de propeno .....	37
Figura 16. Definição do efeito do substituinte usado no cálculo do deslocamento químico do $C_k$ ..	46

	Página
Figura 17.Rotação da ligação simples $sp^2$ - $sp^3$ .....	53
Figura 18.Isômeros rotacionais dos compostos metalílicos .....	53
Figura 19.Espectro de i.v. do cloreto e brometo de metalila.a-porção do i.v. do $CH_2C(CH_3)CH_2Cl$ líquido. b- $CH_2C(CH_3)CH_2Br$ em fase líquida, c-solução de $CS_2$ , d-solução de $CH_3CN$ , e-temperatura do $N_2$ líquido .....	55
Figura 20.Mecanismo $SN_2$ e $SN_2'$ em compostos metalílicos 3-substituidos .....	58
Figura 21.Modêlo "stick-ball" da molécula dos compostos metalílicos .....	69
Figura 22.Espectro de r.m.n. de $^1H$ do álcool metalílico(3) em $CCl_4$ , (b) a (f) com incrementos adicionais de $Pr(fod)_3$ .....	70
Figura 23.Espectro de r.m.n. de $^1H$ do éter metalílico (11), em $CCl_4$ , (b) a (f) com incrementos adicionais de $Pr(fod)_3$ .....	71
Figura 24.Espectro de r.m.n. de $^1H$ do éter metalílico (11), em $CCl_4$ , (b) a (f) com incrementos adicionais de $Eu(fod)_3$ .....	73
Figura 25.Variação dos deslocamentos químicos induzidos com a relação molar $[RD] / [S]$ para os hidrogênios do 3-metóxi-2-metilpropeno na presença de $Pr(fod)_3$ .....	74
Figura 26.Variação dos deslocamentos químicos induzidos com a relação molar $[RD] / [S]$ para os hidrogênios do 3-metóxi-2-metilpropeno na presença de $Eu(fod)_3$ .....	75
Figura 27.Variação dos deslocamentos químicos induzidos com a relação molar $[RD] / [S]$ para os hidrogênios do 2-metilpropen-3-ol na presença de $Pr(fod)_3$ .....	76
Figura 28.NOE para os hidrogênios olefínicos do 3-cloro-2-metilpropeno, em $CCl_4$ (a) integração normal (b) irradiando o grupo $CH_3$ .....	79

Página	
Figura 29.NOE diferencial para o álcool metalílico. ....	81
Figura 30.Sinal de ressonância dos hidrogênios olefínicos (a) para 3-etiltio-2-metilpropeno (7) (b) para 3- <u>N,N</u> -dimetilamino-2-metilpropeno ..... ....	83
Figura 31.Conformações dos 2-metilpropenos 3-substituidos .....	84
Figura 32.Campo magnético induzido para CH <sub>3</sub> CH <sub>2</sub> I quando um campo H <sub>O</sub> é aplicado .....	85
Figura 33.Acoplamentos entre os <sup>1</sup> H dos 2-metilpropenos 3-substituidos .....	87
Figura 34.Expansão à 50 Hz dos sinais dos hidrogênios do 3-iodo-2-metilpropeno (4), (a)-H <sub>A</sub> , (b)-H <sub>B</sub> , (c)-grupo CH <sub>3</sub> , (d)-grupo CH <sub>2</sub> .....	90
Figura 35.Expansão à 50 Hz dos sinais dos hidrogênios do 3-cloro-2-metilpropeno(1), (a)-H <sub>A</sub> , (b)-H <sub>B</sub> , (c)-grupo CH <sub>3</sub> , (d)-grupo CH <sub>2</sub> .....	91
Figura 36.Expansão à 50 Hz dos sinais dos hidrogênios do 2-metilpropen-3-ol(3). (a)-hidrogênios olefínicos, (b)-grupo CH <sub>3</sub> , (c)grupo CH <sub>2</sub> .....	92
Figura 37.Expansão à 50 Hz dos sinais dos hidrogênios do 3-metóxi-2-metilpropeno (11). (a) sinais dos hidrogênios elefínicos, (b)grupo CH <sub>3</sub> , (c) grupo CH <sub>2</sub> .....	92
Figura 38.Expansão à 50 Hz dos sinais dos hidrogênios do 3-etóxi-2-metilpropeno (12). (a)-sinais dos hidrogênios olefínicos, (b)grupo CH <sub>3</sub> , (c)-grupo CH <sub>2</sub> .....	93
Figura 39.Expansão à 40 Hz dos sinais dos hidrogênios do 2-metilpropen-3-ol (3), na parte superior espectros experimentais, na parte inferior espectros simulados .....	95
Figura 40.Expansão à 40 Hz dos sinais dos hidrogênios do 3-metóxi-2-metilpropeno, na parte superior espectros experimentais, na parte inferior espectros simulados .....	96

## Página

Figura 41. Expansão à 40 Hz dos sinais dos hidrogênios do 3-etóxi-2-metilpropeno ( <u>12</u> ), na parte superior espectros experimentais, na parte inferior espectros simulados .....	97
Figura 42. Sinais expandidos dos hidrogênios olefínicos do 3-tiol-2-metilpropeno ( <u>9</u> ), (b) espectro simulado .....	98
Figura 43. Sinais expandidos dos hidrogênios do 3-N, N-Dimetilamino-2-metilpropeno ( <u>5</u> ), (b) espectro simulado .....	99
Figura 44. Sinais expandidos dos hidrogênios olefínicos do 3-N,N-Dietilamino-2-metilpropeno - ( <u>6</u> ), (b) espectro simulado .....	100
Figura 45. Espectro de r.m.n. de $^1\text{H}$ do 3-N,N-Dietilamino-2-metilpropeno( <u>12</u> ) (80MHz) com dupla ressonância. 1-sinal expandido dos hidrogênios olefínicos, (a)normal (b)irradiando o CH <sub>3</sub> , (c)irradiando o CH <sub>2</sub> . 2-sinais dos grupos CH <sub>3</sub> e CH <sub>2</sub> , (d)normal (e)irradiando os hidrogênios olefínicos. ....	101
Figura 46. Espectro de r.m.n. de $^1\text{H}$ do 3-tiol-2-metilpropeno( <u>9</u> ) (80MHz) com dupla ressonância. 1-sinal expandido dos hidrogênios elefínicos (a)irradiando o CH <sub>3</sub> , (b)irradiando o -CH <sub>2</sub> . 2-sinais dos grupos CH <sub>3</sub> e CH <sub>2</sub> , (c)normal (d)irradiando os hidrogênios olefínicos .....	102
Figura 47. Espectro de r.m.n. de $^1\text{H}$ do 3-metiltio-2-metilpropeno( <u>8</u> ) (80MHz) com dupla ressonância. 1-sinal dos hidrogênios olefínicos (a)normal (b)irradiando o CH <sub>3</sub> . 2-sinais dos grupos CH <sub>3</sub> e CH <sub>2</sub> , (c)normal (d)irradiando os hidrogênios olefínicos .....	103
Figura 48. Espectro de r.m.n. de $^1\text{H}$ do 3-cloro-2-metilpropeno( <u>1</u> ) em CC <sub>l</sub> <sub>4</sub> (100MHz), (b)Expansão à 50Hz. ....	106
Figura 49. Espectro de r.m.n. de $^1\text{H}$ do 2-metilpropanoato de metila( <u>2</u> ) em CC <sub>l</sub> <sub>4</sub> (100MHz), (b)-Expansão à 50Hz. ....	107

## Página

Figura 50. Espectro de r.m.n. de $^1\text{H}$ do 2-metilpropeno-3-ol ( <u>3</u> ) em $\text{CCl}_4$ (100MHz), (b) Expansão à 50 Hz .....	108
Figura 51. Espectro de r.m.n. de $^1\text{H}$ do 3-iodo-2-metilpropeno ( <u>4</u> ) em $\text{CCl}_4$ (100MHz), (b) Expansão à 50 Hz .....	109
Figura 52. Espectro de r.m.n. de $^1\text{H}$ do 3-N,N-Dimetilamino-2-metilpropeno ( <u>5</u> ) em $\text{CCl}_4$ (100MHz), (b) Expansão à 50 Hz .....	110
Figura 53. Espectro de r.m.n. de $^1\text{H}$ do 3-N,N-Dietilaamino-2-metilpropeno ( <u>6</u> ) em $\text{CCl}_4$ (100MHz), (b) Expansão à 50Hz .....	111
Figura 54. Espectro de r.m.n. de $^1\text{H}$ do 3-etiltio-2-metilpropeno ( <u>7</u> )em $\text{CCl}_4$ (100MHz), (b) Expansão à 50 Hz .....	112
Figura 55. Espectro de r.m.n. de $^1\text{H}$ do 3-metiltio-2-metilpropeno ( <u>8</u> ) em $\text{CCl}_4$ (100MHz), (b) Expansão à 50Hz .....	113
Figura 56. Espectro de r.m.n. de $^1\text{H}$ do 3-tiol-2-metilpropeno ( <u>9</u> )em $\text{CCl}_4$ (100MHz), (b) Expansão à 50Hz .....	114
Figura 57. Espectro de r.m.n. de $^1\text{H}$ do 3-bromo-2-metilpropeno ( <u>10</u> ) em $\text{CCl}_4$ (100MHz), (b) Expansão à 50 Hz .....	115
Figura 58. Espectro de r.m.n. de $^1\text{H}$ do 3-metóxi-2-metilpropeno ( <u>11</u> ) em $\text{CCl}_4$ (100MHz), (b) Expansão à 50 Hz .....	116
Figura 59. Espectro de r.m.n. de $^1\text{H}$ do 3-etóxi-2-metilpropeno ( <u>12</u> ) em $\text{CCl}_4$ (100MHz), (b) Expansão à 50 Hz .....	117
Figura 60. Espectro de r.m.n. de $^1\text{H}$ do metanossulfonato de 2-metil-3-propenila ( <u>13</u> ) em $\text{CCl}_4$ (100 MHz), (b) Expansão à 50 Hz.....	118
Figura 61. Espectro de r.m.n. de $^1\text{H}$ do 1-ciano-2-metilpropeno ( <u>14</u> ) em $\text{CCl}_4$ (100MHz), (b)Expansão à 50Hz .....	119

## Página

Figura 63. Espectro de r.m.n. de $^1\text{H}$ do 3-N,N-Dietil amino-2-metilpropeno em $\text{CHCl}_3$ , (250MHz) , (b) sinais expandidos .....	120
Figura 64. Espectro de r.m.n. de $^1\text{H}$ do 2-metilpropen 3-ol em acetona -d <sub>6</sub> (250MHz), (b) sinais- expandidos .....	121
Figura 65. Espectro de r.m.n. de $^1\text{H}$ do 3-cloro-2-me tilpropeno em $\text{CHCl}_3$ , (250MHz), (b) sinais expandidos .....	122
Figura 66. Correlação entre os deslocamentos quími cos do C-1 de compostos alílicos e meta lílicos(em ppm) .....	125
Figura 67. Correlação entre os deslocamentos quími cos do C-2 de compostos alílicos e meta lílicos (em ppm) .....	126
Figura 68. Correlação entre os deslocamentos quími cos do C-3 de compostos alílicos e meta lílicos (em ppm) .....	127
Figura 69. Correlação entre os deslocamentos quími cos do C-3 de propanos substituidos e de 2-metilpropenos 3-substituidos .....	129
Figura 70. Correlação entre os deslocamentos quími cos do C-1 de compostos metalílicos e o parâmetro polar de Charton.( $\sigma_1$ ) .....	136
Figura 71. Correlação entre os deslocamentos quími cos corrigidos de C-1 e o parâmetro polar .....	138
Figura 72. Correlação entre os deslocamentos quími cos do C-1 de compostos metalílicos e o efeito de campo ( $F$ ) .....	139
Figura 73. Correlação entre os deslocamentos quími cos de $^{13}\text{C}$ do C-3 de 2-metilpropenos 3- substituidos e propanonas $\alpha$ -monossustitu idas .....	141
Figura 74. Correlação entre os deslocamentos quími cos e os efeitos dos substituintes .....	147

## Página

Figura 75. Notação utilizada para o cálculo de deslocamento químico dos carbonos 1 e 2 ...	148
Figura 76. Notação para os parâmetros $\alpha\alpha$ e $\alpha'\alpha'$ ( <u>a</u> e <u>b</u> ) e $\alpha\beta$ e $\alpha'\beta'$ ( <u>c</u> e <u>d</u> ) .....	150
Figura 77. Correlação entre a constante de acoplamento $J_{CH}$ do carbono 3, em Hz, e o efeito de campo de Swain-Lupton ( $\mathcal{F}$ ).....	153
Figura 78. Expansão do sinal de $^{13}\text{C}$ do carbono olefínico quaternário(C-2), dos compostos metalílicos com (a) I (b) $\text{NET}_2$ (c) $\text{OMe}$ -ligados ao carbono-3, espectro obtido à 100MHz .....	155
Figura 79. Expansão do sinal de $^{13}\text{C}$ do carbono olefínico quaternário(C-2), dos compostos - metalílicos com (a) $\text{OH}$ (b) $\text{NET}_3$ , (c) Cl ligados ao carbono 3, espectro obtido à 250 MHz. ....	155
Figura 80. Expansão do sinal de $^{13}\text{C}$ do carbono (C-3) dos compostos metalílicos com (a)-Cl, - (b)-OH e (c)- $\text{NET}_2$ , ligados a este carbono, espectros acoplados obtidos à 250 MHz ....	157
Figura 81. Expansão do sinal de $^{13}\text{C}$ do carbono(C-4) dos compostos metalílicos com (a)Cl, (b)- $\text{NET}_2$ e (c)OH ligados ao carbono-3, espectros obtidos à 250 MHz .....	158
Figura 82. Expansão do sinal de $^{13}\text{C}$ do C-1 dos compostos metalílicos com (a)Cl (b) $\text{NET}_2$ e (c) OH ligados ao carbono-3, espectros obtidos à 250 MHz .....	159
Figura 83. Espectro de r.m.n. de $^{13}\text{C}$ do 3-cloro-2-metilpropeno( <u>1</u> ), em $\text{CHCl}_3$ , (100MHz), (a) acoplado com próton(DA) e (b)desacoplado (DFL) .....	160
Figura 84. Espectro de r.m.n. de $^{13}\text{C}$ do 2-metilpropenoato de metila ( <u>2</u> ) em $\text{CHCl}_3$ , (100MHz) (a) acoplado com próton (DA) e (b)desacoplado (DFL). .....	161

Página	
Figura 85. Espectro de r.m.n. de $^{13}\text{C}$ do 2-metilpropen-3-ol ( <u>3</u> ), em $\text{CHCl}_3$ , (100MHz), (a)-acoplado com próton(DA) e (b)-desacoplado - (DFL) .....	162
Figura 86. Espectro de r.m.n. de $^{13}\text{C}$ de 3- iodo-2-metilpropeno ( <u>4</u> ), em $\text{CHCl}_3$ , (100MHz), (a) acoplado com próton(DA) e (b) desacoplado (DFL) .....	163
Figura 87. Espectro de r.m.n. de $^{13}\text{C}$ do 3- <u>N,N</u> -Dimetilamino-2-metilpropeno ( <u>5</u> ) em $\text{CHCl}_3$ , (100 MHz), (a) acoplado com próton(DA) e (b)-desacoplado (DFL) .....	164
Figura 88. Espectro de r.m.n. de $^{13}\text{C}$ do 3- <u>N,N</u> -Dietil amino-2-metilpropeno ( <u>6</u> ) em $\text{CHCl}_3$ , (100MHz) (a) acoplado com próton (DA), (b) desacoplado(DFL) .....	165
Figura 89. Espectro de r.m.n. de $^{13}\text{C}$ do 3-etiltio-2-metilpropeno ( <u>7</u> ), em $\text{CHCl}_3$ , (100 MHz), (a)acoplado com próton (DA) e (b)desacoplado ..	166
Figura 90. Espectro de r.m.n. de $^{13}\text{C}$ do 3-metiltio-2 metilpropeno( <u>8</u> ) em $\text{CHCl}_3$ , (100MHz), (a)aco plado com próton (DA) e (b)desacoplado ..	167
Figura 91. Espectro de r.m.n. de $^{13}\text{C}$ do 3-tiol-2-metilpropeno ( <u>9</u> ), em $\text{CHCl}_3$ ,(100MHz), (a)aco plado com próton (DA) e (b)desacoplado ...	168
Figura 92. Espectro de r.m.n. de $^{13}\text{C}$ do 3-bromo-2-metilpropeno ( <u>10</u> ) em $\text{CHCl}_3$ , (100MHz), (a)aco plado(DA) e (b)desacoplado (DFL) .....	169
Figura 93. Espectro de r.m.n. de $^{13}\text{C}$ do 3-metóxi-2-metilpropeno ( <u>11</u> ),em $\text{CHCl}_3$ ,(100MHz), (a)aco plado com próton(DA) e (b)desacoplado(DFL)	170
Figura 94. Espectro de r.m.n. de $^{13}\text{C}$ do 3-etóxi-2-metilpropeno ( <u>12</u> ) em $\text{CHCl}_3$ , (100MHz), (a)aco plado com próton(DA) e (b)desacoplado(DFL).	171
Figura 95. Espectro de r.m.n. de $^{13}\text{C}$ do metanossulfonato de 2-metil-3-propenila ( <u>13</u> ) em $\text{CHCl}_3$ , (100MHz) (a)acoplado com próton e (b)desaco plado (DFL) .....	172

Página	
Figura 96. Espectro de r.m.n. de $^{13}\text{C}$ do 1-ciano-2-metilpropeno ( <u>14</u> ) em $\text{CHCl}_3$ , (100MHz), (a)acoplado com próton (DA) e (b)desacoplado.....	173
Figura 97. Espectro de I.V.( $\text{CCl}_4$ ) do 3-cloro-2-metilpropeno ( <u>1</u> ) .....	177
Figura 98. Espectro de I.V.( $\text{CCl}_4$ ) do 2-metilpropenoato de metila ( <u>2</u> ) .....	177
Figura 99. Espectro de I.V.( $\text{CCl}_4$ ) do 2-metilpropen-3-ol ( <u>3</u> ) .....	177
Figura 100. Espectro de I.V.( $\text{CCl}_4$ ) do 3-iodo-2-metilpropeno ( <u>4</u> ) .....	178
Figura 101. Espectro de I.V.( $\text{CCl}_4$ ) do 3-N,N-Dimetilamino-2-metilpropeno ( <u>5</u> ) .....	178
Figura 102. Espectro de I.V.( $\text{CCl}_4$ ) do 3-N,N-Dietilamino-2-metilpropeno ( <u>6</u> ) .....	178
Figura 103. Espectro de I.V.( $\text{CCl}_4$ ) do 3-metiltio-2-metilpropeno ( <u>7</u> ) .....	179
Figura 104. Espectro de I.V.( $\text{CCl}_4$ ) do 3-etiltio-2-metilpropeno ( <u>8</u> ) .....	179
Figura 105. Espectro de I.V.( $\text{CCl}_4$ ) do 3-tiol-2-metilpropeno ( <u>9</u> ) .....	179
Figura 106. Espectro de I.V.( $\text{CCl}_4$ ) do 3-bromo-2-metilpropeno ( <u>10</u> ). ....	180
Figura 107. Espectro de I.V.( $\text{CCl}_4$ ) do 3-metóxi-2-metilpropeno ( <u>11</u> ) .....	180
Figura 108. Espectro de I.V.( $\text{CCl}_4$ ) do 3-etóxi-2-metilpropeno ( <u>12</u> ).....	180
Figura 109. Espectro de I.V.( $\text{CCl}_4$ ) do metanossulfonato de 2-metil-3-propenila ( <u>13</u> ) .....	181
Figura 110. Espectro de I.V.( $\text{CCl}_4$ ) do 1-ciano-2-metilpropeno ( <u>14</u> ) .....	181

## APÊNDICE

	Página
Figura 1. Geometria molecular obtida para o 2-metil propen-3-ol, à partir dos dados das coorde nadas x,y e z da Tabela 4. ....	208
Figura 2. Geometria molecular obtida para o 3-metóxi 2-metilpropeno, à partir dos dados das co- ordenadas x,y e z da Tabela 5 .....	208
Figura 3. Geometria molecular obtida para o 3-metóxi 2-metilpropeno, à partir dos dados das co- ordenadas x,y e z da Tabela 6. ....	209

## ÍNDICE DE TABELAS

	Página
Tabela 1. Constantes de acoplamento alílico em propenos 3-substituídos (em Hz) .....	37
Tabela 2. Valores médios do efeito alfa em compostos Alílicos não ramificados .....	44
Tabela 3. Parâmetros empíricos para o cálculo do deslocamento químico de carbonos olefinicos, - usando a Eq.(18) .....	47
Tabela 4. Parâmetros empíricos para o cálculo do deslocamento químico de carbonos olefinicos - para substituintes em $\alpha$ e $\alpha'$ .....	47
Tabela 5. Propriedades físicas dos compostos metálicos .....	66
Tabela 6. Deslocamentos químicos induzidos por $\text{Pr}(\text{fod})_3$ , para 2-metilpropen-3-ol em $\text{CCl}_4$ .....	77
Tabela 7. Deslocamentos químicos induzidos por $\text{Pr}(\text{fod})_3$ , para 3-metóxi-2-metilpropeno em $\text{CCl}_4$ .....	77
Tabela 8. Deslocamentos químicos induzidos por $\text{Eu}(\text{fod})_3$ , para 3-metóxi-2-metilpropeno em $\text{CCl}_4$ .....	78
Tabela 9. Deslocamentos químicos (em ppm) dos $^1\text{H}$ para 2-metilpropeno 3-substituidos .....	82
Tabela 10. Constantes de acoplamento (em Hz), dos 2-metilpropenos 3-substituidos .....	88
Tabela 11. Deslocamentos químicos de $^{13}\text{C}$ (em ppm) ....	124
Tabela 12. Deslocamentos químicos de $^{13}\text{C}$ para compostos alílicos .....	128
Tabela 13. Deslocamentos químicos de $^{13}\text{C}$ para o C-3 em propenos substituidos (em ppm) .....	129
Tabela 14. Efeitos dos substituintes para os carbonos de 2-metilpropenos 3-substituidos (em ppm) ....	131
Tabela 15. Coeficientes de correlação para $\delta^{13}\text{C}$ vs $\sigma$ , nos compostos metalílicos .....	135

	Página
Tabela 16. Coeficientes de correlação para $\delta^{13}\text{C}$ vs $\nu_s$ nos compostos metalílicos .....	136
Tabela 17. Coeficientes de correlação multilinear entre $\delta - \gamma_s$ vs $\sigma_i$ .....	137
Tabela 18. Deslocamentos químicos experimentais e corrigidos para o C-1 de 2-metilpropenos 3-substituidos e os parâmetros estérico e polar de Charton .....	138
Tabela 19. Deslocamentos químicos de $^{13}\text{C}$ , calculados e experimentais do carbono $\alpha$ -metilênico em 2-metilpropenos 3-substituidos .....	144
Tabela 20. Diferença entre os deslocamentos químicos de $^{13}\text{C}$ experimentais e calculados para o carbono $\alpha$ -metilênico, conforme Eq. 27, para propionas $\alpha$ -monossubstituídas e <u>N,N</u> -dietilacetamidas $\alpha$ -monossubstituídas. ....	146
Tabela 21. Parâmetros $\beta$ e $\beta'$ para o cálculo dos deslocamentos químicos dos carbonos olefínicos....	149
Tabela 22. Deslocamentos químicos calculados e experimentais par $\text{CH}_2=\text{C}(\text{CH}_3)\text{CH}_2\text{Z}$ em ppm .....	151
Tabela 23. Constantes de acoplamento $^1\text{J}_{\text{CH}}$ de 2-metilpropenos 3-substituidos .....	152
Tabela 24. Frequências de absorção no infravermelho em $\text{cm}^{-1}$ de 2-metilpropenos 3-substituidos $\text{CH}_2\text{C}(\text{CH}_3)\text{CH}_2\text{Z}$ .....	175
<b>APÊNDICE</b>	
Tabela 1. Dados de carga líquida e densidade eletrônica para o 2-metilpropen-3-ol (3) .....	202
Tabela 2. Dados de carga líquida e densidade eletrônica para os átomos do 3-metóxi-2-metilpropeno(11) .....	203
Tabela 3. Dados de carga líquida e densidade eletrônica para os átomos do 3-etóxi-2-metilpropeno(12). ....	204
Tabela 4. Dados de calor de formação, potencial de ionização, momento dipolar, comprimento e ângulos das ligações e a geometria molecular do 2-metilpropen-3-ol (3) .....	205

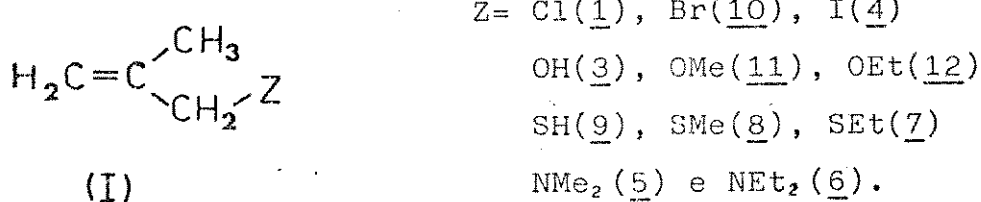
## Página

Tabela 5. Dados de calor de formação, potencial de ionização , momento dipolar, comprimento e ângulo das ligações e a geometria molecular do 3-metóxi-2-metilpropeno( <u>11</u> ).....	206
Tabela 6. Dados de calor de formação, potencial de ionização, momento dipolar, comprimento- e ângulo das ligações e a geometria mole- cular do 3-etóxi-2-metilpropeno ( <u>12</u> ).....	207
Tabela 7. Energia dos orbitais moleculares de fron- teira em eV, para os compostos metalílicos	209

## RESUMO

A presente tese tem como objetivo, o estudo dos efeitos dos substituintes nos deslocamentos químicos de Carbono-13 e Hidrogênio-1 em 2-metilpropenos 3-substituídos (I), que apresentam a geometria mais próxima da geometria das propanonas  $\alpha$ -monossustituidas.

Os seguintes compostos (I) foram preparados, através da adaptação e aprimoramento de métodos usuais, obtendo-se resultados satisfatórios. Tentativas de obtenção dos compostos com Z= F e CN, por diferentes métodos não tiveram êxito.



A interpretação dos dados de Carbono-13 em termos de efeitos dos substituintes foi efetuada através de efeitos usuais descritos pela Físico-Química Orgânica, com o auxílio de correlações entre parâmetros eletrônicos e térmicos dos substituintes e efeitos empíricos.

O cálculo empírico dos deslocamentos químicos do carbono  $\alpha$ -metilênico, através de uma relação do tipo Grant e Paul<sup>149</sup>, apresentou desvios no caso de alguns substituintes (Z= halogênios e grupos oxigenados). No caso dos carbonos olefínicos, utilizou-se o método de Roberts<sup>142</sup>. Na etapa inicial, determinou-se os valores dos parâmetros  $\beta$  e  $\beta'$  e os de interação  $\alpha\alpha$ ,  $\alpha'\alpha'$ ,  $\alpha\beta$  e  $\alpha'\beta'$ . No cálculo dos deslocamentos químicos dos carbonos olefínicos obteve-se uma excelente concordância com os valores experimentais.

Paralelamente é também proposta a análise dos espectros de r.m.n. de Hidrogênio-1, em termos de atribuição dos prótons olefínicos e de determinação das constantes de acoplamento.

Na atribuição dos sinais dos hidrogênios olefínicos, utilizou-se o efeito nuclear Overhauser e os deslocamentos químicos induzidos por reagentes lantanídicos.

Foram determinadas as constantes de acoplamento-<sup>4</sup>J<sub>HH</sub> cisóide e transóide, cujos valores foram utilizados na simulação de espectros para confirmar as atribuições.

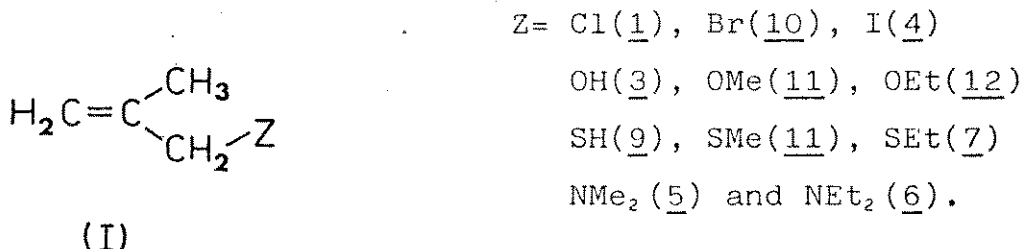
Cálculos teóricos de orbitais moleculares, pelo método MNDO<sup>3,4</sup> (*Modified neglect of diatomic overlap*), foram feitos para os compostos contendo oxigênio (3, 11 e 12) fornecendo os valores de carga líquida, densidades eletrônicas e a geometria molecular para estes compostos, os quais foram incluídos no Apêndice deste trabalho.

## SUMMARY

The aim of the present work has been the investigation of the substituent effects in the Carbon-13 and Hydrogen-1 chemical shifts of some 3-substituted 2-methylpropenes (I), which bear a closely related geometry to  $\alpha$ -substituted propanones.

The following compounds (I) have been obtained in good yields, through usual methods, where changes were introduced either to improve the yields or to prepare unknown derivatives.

Attempts to obtain the 3-fluor and the 3-cyano-2-methylpropene were unsuccessful.



The interpretation of the substituent effects in the Carbon-13 n.m.r. chemical shifts were performed on the grounds of the usual concepts of Physical Organic Chemistry, through empirical correlations with substituents electronic and steric effects and also with substituents empirical - effects.

Empirical calculations for the  $\alpha$ -methylene carbon chemical shift, through a Grant and Paul<sup>149</sup> relationship have shown deviations for some substituents (Z= halogens - and oxygen bearing groups). Roberts' method<sup>142</sup> has been applied to estimate the chemical shifts of the olefinic carbons. The  $\beta$  and  $\beta'$  parameters and the  $\alpha'\alpha$ ,  $\alpha\alpha$ ,  $\alpha\beta$  and  $\alpha'\beta'$  interaction terms were determined. The olefinic car-

bons calculated chemical shift were in close agreement with the experimental values.

The Hydrogen-1 n.m.r. spectra were also fully analyzed. The olefinic protons signals were assigned and the couplings constants measured.

The nuclear Overhauser effect and the lanthanide-induced shifts allowed the protons chemical shifts assignments.

The  $^4J_{HH}$  cisoid and transoid coupling constants were carefully measured and their values were used for the spectra simulation to make sure the chemical shifts were correctly assigned..

MNDO<sup>3,4</sup> (Modified neglect of diatomic overlap) molecular orbital calculation were performed for the Oxygen-bearing compounds (3,11 and 12) yielding the net charge and electronic charge densities as well as data for the molecular geometry of these compounds. Data tables were included in the Appendix.

## ABREVIACÕES

col.	colaboradores
d	duplete
DA	desacoplado alternadamente
DFL	desacoplado em faixa larga
dpm	dipivaloilmetanoato
fhd	1,1,1,5,5,6,6,7,7,7-decafluor-2,4-heptadiona
fod	1,1,1,2,2,3,3-heptafluor-7,7-dimetil-4-6-octanodionato
HOMO	orbital molecular mais alto ocupado
I.V.	infravermelho
LIS	Deslocamento Induzido por Lantanídeo
LUMO	orbital molecular mais baixo desocupado
m	multiplete
NOE	Efeito Nuclear Overhauser
p.e.	ponto de ebulação
q	quarteto
r	coeficiente de correlação
RD	Reagente de Deslocamento
r.m.n.	ressonância magnética nuclear
S	substrato
s	singlete
sl	singlete largo
t	triplete
v/v	volume por volume

## INTRODUÇÃO E OBJETIVOS

O estudo da estrutura eletrônica é uma das grandes questões da Química Orgânica. Durante muitas décadas, os conceitos foram reformulados, como as ligações químicas, representadas no passado por simples e duplas ligações para elétrons compartilhados entre dois átomos, que foram redefinidas por Hund como orbitais  $\sigma$  e  $\pi$  na década de 30. O conceito de hibridização veio justificar a geometria tetraédrica, trigonal ou linear de grupos atômicos.

A proposta de Mulliken de utilizar orbitais não-híbridos na década de 40, conduziu Pople, nos anos 50, a desenvolver a idéia de orbitais não equivalentes para os pares eletrônicos não compartilhados na molécula de água.

Esse conjunto de idéias permitiram à Hoffmann dar um passo decisivo na criação do conceito de interação de orbitais.

Os conceitos sobre estrutura eletrônica foram sendo desenvolvidos, e a Físico-Química Orgânica deu seus primeiros passos com a introdução de parâmetros empíricos para quantificar os efeitos indutivos, mesoméricos e estéricos dos substituintes, sendo definidos os parâmetros  $\sigma$  e  $\rho$  por Hammett que deram origem às Relações Lineares de Energia Livre (LFER) que até hoje são amplamente estudadas.

Entretanto, foi com a descoberta da Ressonância Magnética Nuclear de  $^1\text{H}$  e mais tarde multinuclear, atualmente utilizada rotineiramente pelos Químicos Orgânicos, que surgiu mais uma ferramenta útil e indispensável para a elucidação da estrutura eletrônica.

Dentro desse quadro, o estudo de correlações entre estrutura eletrônica, dados de deslocamentos químicos e

constantes de acoplamento de  $^1\text{H}$  e  $^{13}\text{C}$ , desempenham um papel fundamental.

O objetivo principal deste trabalho, é o estudo do efeito dos substituintes nos deslocamentos químicos de 2-metilpropenos 3-substituídos, através de um estudo sistemático destes compostos. Desde que a importância em avaliar, o efeito do substituinte e os seus dados espectroscópicos, cresce devido a grande utilização deste tipo de composto como intermediários sintéticos em reações de ciclização bem como pelo aumento da reatividade e pela facilidade com que sofrem isomerização alílica<sup>1</sup>.

Este trabalho segue a linha de pesquisa, desenvolvida neste laboratório, que iniciou com cetonas, propanonas  $\alpha$ -monossubstituídas<sup>2</sup>, em que interações eletrônicas entre o substituinte e o átomo de Oxigênio parecem ser o fator principal, para as pequenas variações observadas nos deslocamentos químicos de  $^{13}\text{C}$  para grupos mais eletronegativos.

Na tentativa de elucidar tais fatores, surgiu o interesse pelos 2-metilpropenos 3-substituídos, cuja geometria molecular é semelhante a dos compostos carbonílicos, anteriormente estudados, substituindo-se o Oxigênio carbonílico pelo carbono olefínico e a densidade eletrônica do carbono que foi substituído, pode ser analisada por r.m.n. de  $^{13}\text{C}$ .

Além do interesse no estudo de r.m.n. de  $^{13}\text{C}$ , os compostos metalílicos apresentaram aspectos interessantes - em r.m.n. de  $^1\text{H}$ , o que nos permitiu fazer um estudo mais detalhado de r.m.n. de  $^1\text{H}$  desses compostos, analisando a variação dos deslocamentos químicos, determinando suas constantes de acoplamento e atribuindo os sinais dos hidrogênios olefinicos.

O material descrito nesta tese se encontra distribuído em tres partes. Na Parte I, é apresentada uma revi-

são bibliográfica restrita a espectroscopia de compostos re-lacionados com este trabalho, na Parte II, a apresentação e discussão dos resultados obtidos, e na Parte III, Parte Experimental, são descritos os métodos utilizados para a ob-tenção dos compostos metalílicos.

Era nossa intenção incluir na discussão os cálculos efetuados pelo método MNDO<sup>3,4</sup>, mas os constantes problemas com o computador utilizado, retardaram esses cálculos, es-tando os dados obtidos , listados no Apêndice desta tese.

## Parte I

### Revisão Bibliográfica

# Capítulo 1

## ASPECTOS GERAIS DE COMPOSTOS OLEFÍNICOS

A unidade estrutural fundamental presente em hidrocarbonetos olefínicos ou alcenos é a ligação dupla carbono-carbono, que os caracteriza como grupo funcional, pois é um sítio específico de muitas reações.

A estrutura geométrica da olefina mais simples, - o etileno, é bem conhecida através de métodos espectroscópicos e de difração de elétrons, resultando valores de ângulos e comprimento de ligações conforme Figura 1<sup>5</sup>.

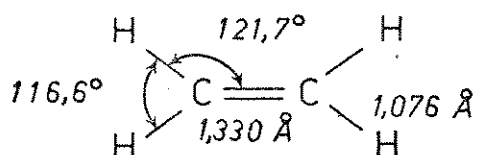


Figura 1. Estrutura do Etileno.

A geometria da molécula do etileno é plana, definida por três elementos de simetria, o plano molecular, e dois planos que cortam a molécula (Figura 2).

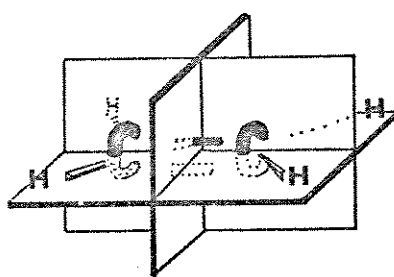


Figura 2. Elementos de simetria do Etileno

Os orbitais moleculares do etileno são constituídos pelo orbital 1s dos átomos de hidrogênio e os orbitais 2s,  $2p_x$  e  $2p_y$  do carbono, formando o chamado "esqueleto  $\sigma$ " que originam orbitais de baixa energia, e pelos orbitais -

$2p_z$  dos átomos de carbono, que são perpendiculares ao plano dos seis átomos e paralelos entre si, originando regiões de interação, acima e abaixo do plano molecular, formando-a chamada ligação  $\pi$ , resultando orbitais com energia mais alta.

Um aspecto importante da ligação dupla etilénica, pode ser observado pelo diagrama de contorno da densidade-elettrônica, obtido pelo corte no plano perpendicular à ligação dupla, Fig.3. Cada linha do diagrama representa um valor específico da densidade eletrônica. A densidade de elétrons  $\sigma$ , Fig.3b, apresenta uma simetria quase cilíndrica, não totalmente, devido a repulsão pelos elétrons  $\pi$ . Na Fig.3c, temos a densidade de elétrons  $\pi$ , que é muito menor que a densidade de elétrons  $\sigma$ , tendo um leve caráter oval.

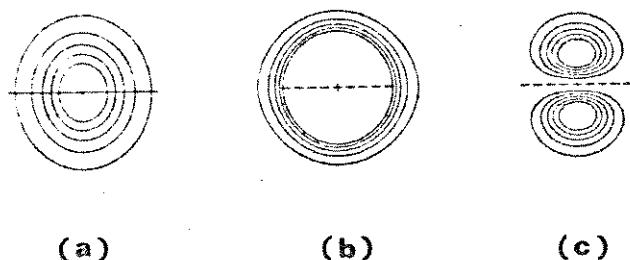


Figura 3. Distribuição da densidade eletrônica no centro da ligação dupla etilénica<sup>5</sup>.  
(a)-densidade eletrônica total. (b)-densidade de elétrons  $\sigma$ . (c)-densidade de elétrons  $\pi$ .

Na descrição da teoria de orbital molecular<sup>6,7</sup>, as moléculas nas quais o número de par de elétrons ligan tes excede o número de uniões entre os átomos, os elétrons adicionais, geralmente ocupam orbital molecular de maior energia. Os orbitais de maior energia são as ligações duplas da teoria clássica da estrutura eletrônica. Estes orbitais tem um plano nodal, que contém os átomos ligados pe

los orbitais tipo  $\pi$ .

Moléculas insaturadas, que apresentam somente uma ligação dupla, como etileno e propeno, tem sua química dominada por dois orbitais de fronteira, o HOMO (orbital molecular mais alto ocupado) e LUMO (orbital molecular mais baixo desocupado).

As Figuras 4 e 5 mostram um diagrama destes orbitais para o etileno e propeno. Os orbitais de fronteira do propeno são associados com os átomos de carbono que compartilham quatro elétrons, havendo pouca densidade eletrônica associada com o grupo  $\text{CH}_3$ , e o HOMO e LUMO são semelhantes aos orbitais correspondentes do etileno.

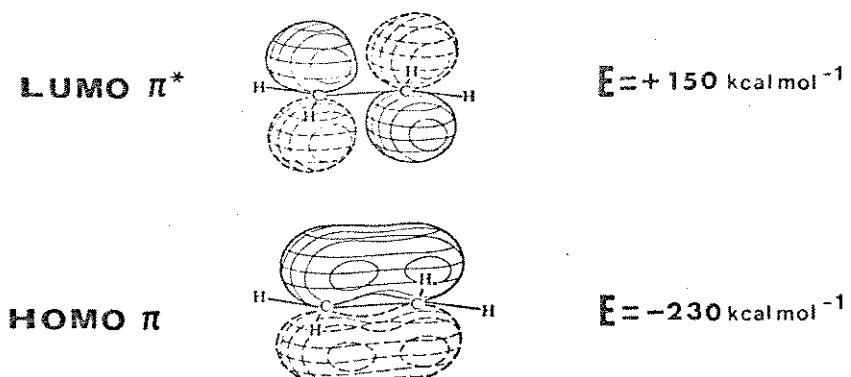


Figura 4. Orbitais de fronteira do etileno<sup>6</sup>.

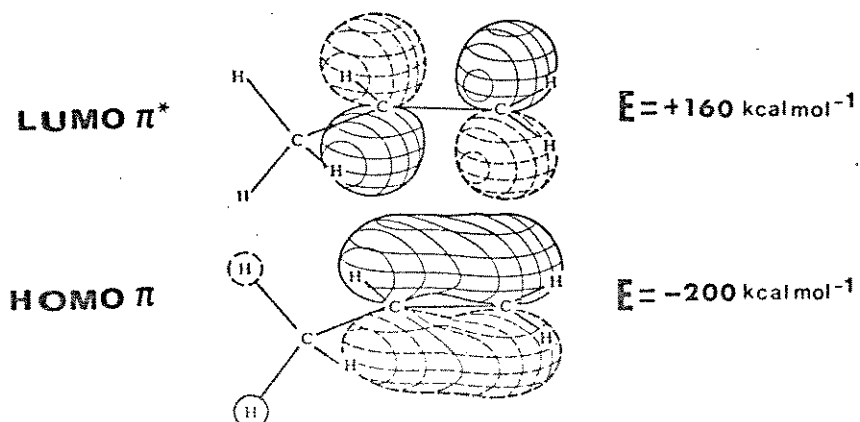
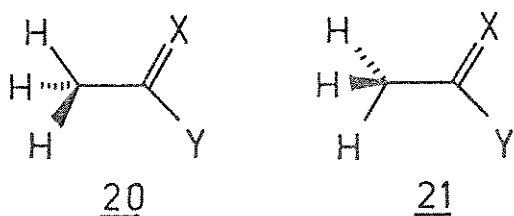
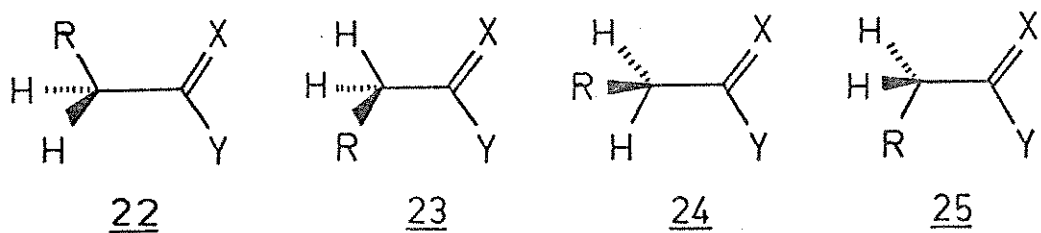


Figura 5. Orbitais de fronteira do propeno<sup>6</sup>.

Outro aspecto dos compostos olefínicos a abordar é o isomerismo rotacional, devido a ligação simples carbono-carbono  $sp^2$ - $sp^3$ . Em tais sistemas, dois rotâmeros são possíveis, o rotâmero 20 que envolve a ligação simples eclipsada com a ligação dupla, e outro 21 que apresenta a ligação simples eclipsada com outra ligação simples. Desde que a unidade estrutural principal é a ligação dupla, os confôrmeros são chamados de eclipsados e bissectados<sup>8-10</sup>.



Se os sistemas insaturados contém substituintes diferentes do hidrogênio no carbono  $sp^3$ , quatro rotâmeros são possíveis, (22 a 25), sendo 22 e 23 eclipsados e 24 e 25 bissectados.



Para o buteno-1, o confôrmero com o hidrogênio - eclipsado com a ligação dupla (23), é cerca de 0,4 kcalmol<sup>-1</sup> mais estável que o outro confôrmero eclipsado (22).

A população dos rotâmeros está relacionada com o tamanho do substituinte R. Para grupos pequenos ou hidrogênio, a forma eclipsada com a dupla é favorecida(23).

Poucos estudos tem sido feito para investigar o tamanho de Y , na distribuição dos rotâmeros, mas com o aumento do tamanho do substituinte Y nesta posição, uma deses-

tabilização em todas formas bissectadas (25) pode ser esperada<sup>10</sup>, devido a interação estérica pela proximidade de Y e R.

### 1.1. REAÇÕES.

A região acima e abaixo da ligação dupla é rica em elétrons devido a ligação  $\pi$  e consequentemente a ligação dupla pode agir como base de Lewis e reagir com reagentes eletrofílicos através de Reações de Adição Eletrofílica.

A dupla ligação carbono-carbono pode sofrer vários tipos de reações de adição, que envolvem a quebra da ligação dupla e formação de duas novas ligações simples.

Algumas adições à ligação dupla, envolvem intermediários iônicos, podendo outras procederem através de radicais livres como intermediários.

As reações de adição podem ocorrer por diferentes mecanismos, entretanto somente duas consequências estereoquímicas são consideradas<sup>9</sup>, onde os dois grupos podem ser adicionados do mesmo lado do sistema insaturado - (Fig.6a) ou do lado oposto (Fig.6b). Sendo conhecidas como adição-*syn* e adição-*anti*, que irão depender do tipo de reagente a serem adicionados e da estrutura da olefina.

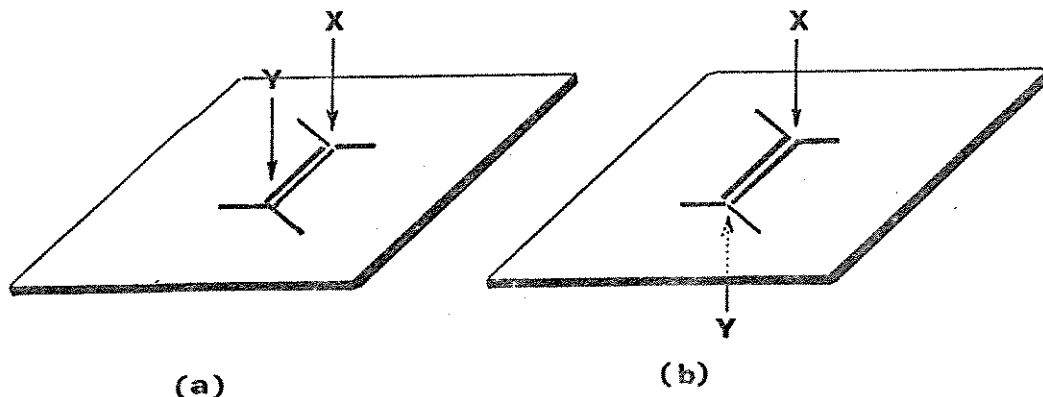


Figura 6. Estereoquímica da adição à dupla ligação.

A ligação dupla carbono-carbono pode influenciar profundamente na reatividade de um substituinte ou grupo - funcional presentes na molécula insaturada.

O efeito da ligação olefínica nas propriedades - químicas de grupos adjacentes, são de grande importância - para os químicos sintéticos, e a natureza e causa destes - efeitos são de considerável interesse aos químicos teóri - cos.

Em compostos insaturados, contendo um grupo fun - cional ou heteroátomo, a reatividade frente a reações de substituição é influenciada pela posição da ligação dupla - em relação aos grupos a serem substituídos, principalmente para compostos vinílicos e alílicos.

A seguir procuraremos abordar, de maneira geral - reações de substituição em sistemas alílicos, que são de interesse para os compostos metalílicos sintetizados neste trabalho.

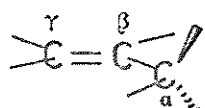
#### 1.1.2. REAÇÕES ALÍLICAS<sup>1</sup>

Compostos alílicos, nos quais o grupo a ser subs - tituído está no átomo de carbono saturado, ligado ao carbo - no olefínico, exibem grande reatividade em relação a seus - análogos saturados. Não só o aumento na reatividade carac - teriza os compostos alílicos em reações de substituição , - mas também pela possibilidade de isomerização alílica, le - vando a um rearranjo parcial ou completo.

O efeito do substituinte, nos três átomos de car - bono de um sistema alílico na reatividade e mecanismo de reações alílicas, levou os derivados de compostos alílicos acíclicos a serem chamados de  $\alpha$ - ,  $\beta$ - e  $\gamma$ -substituídos, - conforme Estrutura 26 , ficando assim indicada a posição - dos grupos ligados ao esqueleto alílico.

Reações do tipo  $S_N1$  e  $S_N2$  , podem ocorrer em sis - temas alílicos e a preferência por um ou por outro mecanis -

mo, depende de fatores estruturais principalmente dos grupos que estão ligados nos carbonos  $\gamma$  e  $\alpha$ .

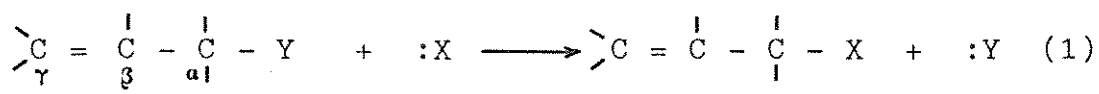


## 26

Substituintes alquila ou arila ligados no carbono  $\alpha$ , irão favorecer o mecanismo  $SN_1$ , devido a estabilização do íon de carbonônia que se forma pela saída do substituinte do carbono  $\alpha$ .

### REAÇÕES $SN_2$ EM COMPOSTOS ALÍLICOS.

Para reações de substituição nucleofílica ( $SN_2$ )-no carbono- $\alpha$  de sistemas alílicos, existem dois mecanismos propostos<sup>1</sup>. O mecanismo de substituição nucleofílica normal,  $SN_2$ , que envolve um ataque concertado do nucleófilo ao átomo de carbono- $\alpha$  do sistema alílico e saída do grupo abandonador, resultando em um produto não rearranjado, e o mecanismo no qual o nucleófilo ataca o carbono  $\gamma$  do sistema alílico, deslocando o substituinte em  $\alpha$ , num processo concertado que é chamado de  $SN_2'$ .(Reações 1 e 2).



Em uma reação alílica  $SN_2$  (1), a conformação de mais baixa energia para o estado de transição é aquela em que, o grupo abandonador (Y), o carbono  $\alpha$  e o nucleófilo (X), estão em uma linha perpendicular ao plano formado pelos átomos de carbono  $\alpha$ ,  $\beta$  e  $\gamma$ .<sup>11,12</sup> Sendo que esta -

configuração permite uma interação de ressonância da ligação dupla com o desenvolvimento do orbital  $\pi$  no carbono- $\alpha$ , conforme Figura 7. Devido a geometria do estado de transição, reações  $SN_2$  alílicas não devem sofrer impedimento estérico pela presença de substituintes em  $\beta$  e  $\gamma$ , e o efeito estérico destes substituintes na reatividade pode ser desprezível.

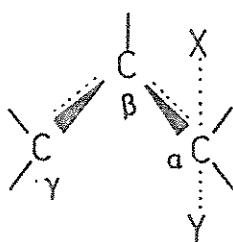


Figura 7. Estado de transição na reação  $SN_2$  em C<sub>a</sub> de sistemas alílicos.

Quando há substituintes grandes no átomo de C- $\alpha$ , o deslocamento por  $SN_2$  não é observado, favorecendo um mecanismo  $SN_2'$ , por fatores estruturais.

O mecanismo  $SN_2'$ <sup>13</sup> (2), envolve o movimento simultâneo de três pares de elétrons, envolvendo a quebra da ligação do C- $\alpha$  e a formação de uma ligação no átomo de carbono- $\gamma$ . No estado de transição todos os três átomos de carbono do sistema alílico estão hibridizados trigonalmente, o nucleófilo e o grupo abandonador estão em um plano perpendicular, como é demonstrado na Figura 8.

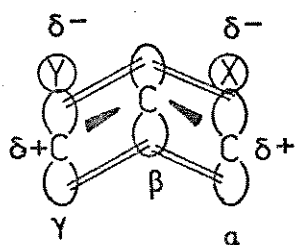


Figura 8. Estado de transição  $SN_2'$ .

A existência do mecanismo  $SN_2'$  foi demonstrada - inicialmente por Young, Webb e Goering<sup>13</sup>, através da reação do cloreto de  $\alpha$ -metalila com dietilamina. De La Mare e Vernon<sup>14,15</sup>, publicaram uma série de trabalhos de reações  $SN_2'$  para cloretos de alila onde o C- $\alpha$  estava estericamente impedido.

O número de reações alílicas que envolvem o mecanismo  $SN_2'$  é muito grande, entretanto em poucos casos a cinética é bem estabelecida para provar definitivamente este mecanismo.

## Capítulo 2

### ESPECTROSCOPIA DE RESSONÂNCIA MAGNÉTICA NUCLEAR

#### 2.1. INTRODUÇÃO.

A Ressonância Magnética Nuclear, vem se desenvolvendo de maneira espetacular, desde a sua descoberta a mais de quarenta anos.

A sua importância é notória devido a grande aplicação, abrangendo além da química orgânica, também a inorgânica, bioquímica e mais recentemente as ciências biomédicas.

O sucesso da r.m.n., está no contínuo progresso, tanto na instrumentação, quanto na metodologia, sendo uma ferramenta muito útil na investigação da estrutura molecular, que é uma das grandes questões da Química Orgânica.

O primeiro sinal de r.m.n., foi observado em 1946, independentemente por Purcell<sup>16</sup> (Harvard) e Bloch<sup>17</sup> (Stanford).

O primeiro espectrômetro comercial de r.m.n. foi produzido em 1953, desde então espectrômetros de próton de onda contínua (CW), começaram a fazer parte dos laboratórios.

O grande problema associado com a r.m.n. de <sup>13</sup>C, principalmente devido a baixa sensibilidade deste núcleo - em abundância natural, não foi satisfatoriamente superado - até a introdução de espectrômetros comerciais, operando - com Transformada de Fourier (FT), por volta de 1970. Tornou-se assim possível a detecção do sinal de r.m.n. da maioria dos núcleos que possuem momento magnético.

O histórico e o desenvolvimento da r.m.n., podem ser encontrados , na maioria dos livros de espectroscopia<sup>18-23</sup> sendo muitos destes, considerados como livros texto clássicos

cos de r.m.n., os quais discutem amplamente seus fundamentos e conceitos básicos. Portanto, procuraremos dirigir esta revisão, nos capítulos seguintes, a problemas relacionados com os compostos apresentados neste trabalho.

Neste capítulo, mencionaremos brevemente alguns conceitos básicos julgados necessários, de maneira bastante simplificada.

## 2.2. FENÔMENO DA RESSONÂNCIA<sup>24</sup>

O fenômeno da r.m.n., baseia-se na interação entre o momento magnético nuclear  $\mu$ , que precessa em volta de um campo magnético  $B_0$ , a uma frequência de Larmor  $v_0$  (Equação 1), e uma pequena indução magnética  $B_1$ , perpendicular a  $B_0$  e girante a uma frequência  $v_1$ , na mesma direção que  $\mu$  (Fig.9).

$$v_0 = \frac{\gamma}{2\pi} B_0 \quad (1)$$

Na prática  $B_1$  é um campo oscilante de radiofrequência, na direção x ou y. Porém tal campo pode ser considerado como um par de componentes circularmente polarizadas, girando no plano xy com igual velocidade angular, mas com direção oposta. Somente o componente que gira na mesma direção que o momento magnético  $\mu$  é capaz de influenciar no seu movimento.

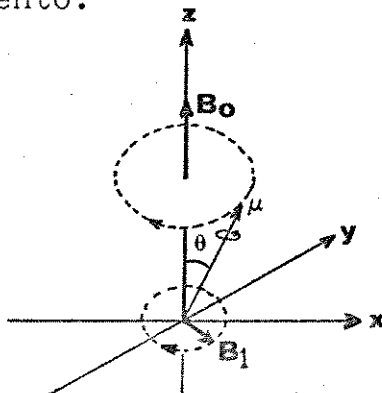


Figura 9. Representação esquemática da precessão de Larmor.

A ressonância ocorre quando a frequência de  $B_i$  é exatamente igual a  $V_o$  ( $V_i = V_o$ ).

Em termos de energia podemos considerar que o campo  $B_i$ , de frequência  $V_i$  induz a transição entre os níveis de spin nuclear, com energia  $\hbar V_i$ , igual a diferença entre os níveis adjacentes  $\Delta E = \gamma \hbar B_o$ , isto é quando a condição da Equação 1 é satisfeita.

### 2.3. PARÂMETROS DA RESSONÂNCIA MAGNÉTICA NUCLEAR.

Os conceitos de deslocamento químico e acoplamento spin-spin são atualmente bastante familiares aos químicos orgânicos, e serão abordados de maneira bastante rápida e simplificada.

#### 2.3.1. DESLOCAMENTO QUÍMICO<sup>19,24</sup>

O deslocamento químico é um parâmetro espectral, que reflete a distribuição eletrônica nas vizinhanças do núcleo observado, sendo sensível a características configuracionais e conformacionais da molécula.

Devido ao efeito magnético de elétrons nas vizinhanças, o campo experimentado por um núcleo  $i$ , não é exatamente  $B_o$ , mas  $B_i$ , onde:

$$B_i = B_o - \sigma_i B_o \quad (2)$$

sendo  $\sigma_i$  a constante de blindagem que caracteriza a distribuição eletrônica ao redor de  $i$ .

Em moléculas não esfericamente simétricas, a blindagem eletrônica é anisotrópica. Entretanto devido à existência do rápido movimento molecular em líquidos, detecta-se um valor médio de  $\sigma_i$ .

Em um campo  $B_i$ , a frequência de ressonância de um núcleo  $i$  é:

$$\nu_i = \frac{\gamma}{2\pi} B_i = \frac{\gamma}{2\pi} (1 - \sigma_i) B_0 \quad (3)$$

Conforme a Equação 3, núcleos com diferentes ambientes precessam a diferentes freqüências de Larmor. O deslocamento da freqüência de Larmor devido a não equivalência química dos núcleos é chamado de deslocamento químico.

As posições dos vários sinais são usualmente comparadas com a ressonância de substâncias padrões (referência) e o deslocamento químico pode ser definido como:

$$\delta_i = \sigma_{ref} - \sigma_i = \frac{\nu_i - \nu_{ref}}{\nu} \quad (4)$$

$\delta_i$  é um parâmetro adimensional, que não depende da freqüência  $\nu$  do espetrômetro, sendo expresso em unidades de  $10^6$  (ppm).

### 2.3.2. ACOPLAMENTO SPIN-SPIN.<sup>24,25</sup>

Teoricamente dois tipos de interações magnéticas entre núcleos, podem ser consideradas: a) interação dipolo-dipolo, que depende da distância internuclear, interagindo diretamente através do espaço e b) o acoplamento indireto - transmitido através de elétrons ligantes.

Em líquidos a interação dipolo-dipolo pode ser ignorada porque o movimento Browniano leva esta interação-a zero. Entretanto em sólidos e cristais líquidos a interação dipolar é responsável pela estrutura fina observada.

A estrutura fina observada no espetro de líquidos é resultante da interação através da ligação (acoplamento indireto). Tal acoplamento envolve algum tipo de interação núcleo-elétron que são funções um tanto complicadas da distribuição eletrônica por intermédio das ligações.

A magnitude da interação  $J_{ij}$  é expressa em Hertz,

depende da razão magnetogírica do núcleo i e j.

$$\frac{J_{ij}}{J'_{ij}} = \frac{\gamma_i}{\gamma'_i} \quad (5)$$

A constante de acoplamento  $J_{ij}$  pode ser positiva ou negativa dependendo se o arranjo antiparalelo de spins-nucleares i e j, tem mais baixa ou mais alta energia que a orientação paralela.

Aspectos teóricos bastante detalhados do acoplamento spin-spin, são encontrados em revisões publicadas - por Grinter<sup>26</sup>.

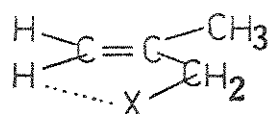
## Capítulo 3

### RESONÂNCIA MAGNÉTICA NUCLEAR DE $^1\text{H}$ DE OLEFINAS.

#### 3.1. DESLOCAMENTO QUÍMICO.

A dependência do deslocamento químico dos hidrogênios olefínicos com a estrutura química foi objeto de investigações por volta de 1960, em etilenos substituídos<sup>27,28</sup> e compostos vinílicos<sup>29</sup>. Nestes estudos foram feitas tentativas de correlacionar o deslocamento químico dos hidrogênios olefínicos com constantes do tipo Hammet e eletronegatividade do substituinte conforme proposto anteriormente por Dailey e Shoolery<sup>30</sup> para hidrogênios ligados a carbono sp<sup>3</sup>. A falta de correlação observada foi atribuída a efeitos que também podem estar contribuindo para a modificação dos deslocamentos químicos, como a possibilidade de ressonância dos elétrons  $\pi$  da ligação dupla com o substituinte ligado diretamente ao carbono insaturado.

Whipple<sup>31,32</sup> em estudos de r.m.n. de  $^1\text{H}$  de propenos substituídos ( $\text{CH}_2=\text{CY}-\text{CH}_3$ ), observaram uma grande sensibilidade do deslocamento químico dos hidrogênios olefinicos com o substituinte Y, atribuindo esta sensibilidade a efeitos indutivos e mesoméricos, não observando entretanto nenhuma correlação precisa entre o deslocamento químico e constantes tipo Hammet<sup>33</sup>, concluindo que estas constantes não são apropriadas para estes sistemas, e que provavelmente outras considerações importantes devem ser feitas a respeito da blindagem dos hidrogênios olefínicos, como por exemplo, uma interação direta entre substituintes não lineares, observada em haletos de metalila onde  $\text{Y} = \text{CH}_2\text{X}$  e X=halogênio, conforme estrutura 27.



Vários trabalhos foram publicados, na tentativa de elucidar a variação dos deslocamentos químicos dos hidrogênios olefínicos, fazendo correlações com momento dipolar de grupos<sup>34</sup>, observando certa linearidade para etilenos substituídos, ( $\text{CH}_2=\text{CHX}$ , onde X=  $\text{CH}_3$ ,  $\text{OCH}_3$ , CN e  $\text{C}_6\text{H}_5$ ).

O efeito da substituição *gem*, *cis* e *trans* nos deslocamentos químicos dos hidrogênios olefínicos em buteno-1 e hexeno-1, e o efeito do isomerismo rotacional devi do a ligação  $\text{sp}^2-\text{sp}^3$ , também foram investigados<sup>35,36</sup>. As modificações observadas nos deslocamentos químicos foram atribuídas a alguns fatores como: a proximidade de grupos-doadores ou aceptores de elétrons que atuam tanto por efeito indutivo como por efeito de ressonância e a presença de campos elétricos permanentes, que podem distorcer orbitais moleculares nas vizinhanças dos prótons.

Kasiwagi e Niwa<sup>37</sup>, estudando compostos do tipo-*trans*-estírenos  $\omega$ -substituídos ( $\text{R}-\text{CH}=\text{CH-X}$ , R=  $\text{C}_6\text{H}_5$ ,  $\text{CH}_3$ ) e propenos 1-substituídos, observaram uma certa correlação do deslocamento químico dos hidrogênios olefínicos com constantes de Hammett, argumentando que a introdução de um segundo substituinte (R), favorece a conjugação da ligação dupla, não somente com o anel ou grupo metila, mas também com o substituinte X, em uma direção uniforme.

Após vários estudos sobre a variação do deslocamento químico foi possível determinar que a ressonância dos hidrogênios olefínicos ocorrem normalmente na região de 4,5-6,5 ppm<sup>38</sup>, dependendo da substituição no resto da molécula. A grande desproteção destes hidrogênios é atribuída geralmente a anisotropia magnética da ligação dupla (Figura 10).

O exame dos valores de deslocamento químico dos hidrogênios olefinicos, levaram Matter, Pascual e Simon<sup>39,40</sup> a postular regras de aditividade para o cálculo do desloca-

mento químico dos hidrogênios olefínicos, obtendo valores que diferem de  $\pm 0,3$  ppm dos valores experimentais, utilizando a seguinte expressão:

$$\delta = \delta_{\text{ref}} + \sum Z_i \quad (6)$$

onde  $\delta_{\text{ref}}$  é o deslocamento químico do etileno e  $\sum Z_i$  é o somatório dos incrementos para os substituintes ( $R$ ) nas posições *gem*, *cis* e *trans* em relação ao hidrogênio. Deslocamentos químicos excepcionais, resultantes do cálculo, tem sido interpretados, em termos de fenômenos tais como: inibição estérica, incorporação de anéis impedidos, e efeitos a longa distância, devido a conformações não usuais, todos os quais parecem afetar o deslocamento químico dos hidrogênios olefínicos.

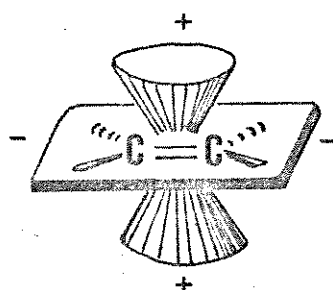


Figura 10. Representação esquemática do efeito de anisotropia magnética da ligação dupla, carbono-carbono (- desproteção; + proteção).

### 3.2. ATRIBUIÇÃO DOS SINAIS DE HIDROGÊNIOS OLEFÍNICOS.

A frequente não equivalência dos hidrogênios olefínicos, que resulta em sinais distintos, em muitos casos originando multipletes complexos, tornam duvidosa sua atribuição pela simples inspeção espectral, fazendo-se necessário o uso de técnicas especiais para atribuir inequivocadamente seus sinais.

Existem inúmeros métodos para a atribuição dos -

sinais nos espectros de r.m.n. de  $^1\text{H}$  de compostos olefínicos. A medida do Efeito Nuclear Overhauser<sup>41-43</sup> e o uso de Reagentes de Deslocamento<sup>44,45</sup> são métodos que têm sido utilizados com êxito.

### 3.2.1. EFEITO NUCLEAR OVERHAUSER (NOE).

O termo "Efeito Overhauser" foi originalmente referido a polarização dinâmica de núcleos em metais<sup>46</sup>, quando a ressonância de spin de elétrons era saturada.

A primeira aplicação deste efeito em sistemas contendo somente um spin nuclear foi feito por Solomon e Bloembergen<sup>47</sup> em estudos sobre troca química em HF.

O Efeito Nuclear Overhauser (NOE), é observado - pela variação na intensidade da integração da absorção de r.m.n. quando um outro spin nuclear é saturado. Esta técnica teve por algum tempo, seu uso limitado ao estudo de cinética química, sendo mais tarde utilizada para atribuição de sinais em espectros de r.m.n. O interesse no NOE aumentou grandemente devido a informações quantitativas e qualitativas sobre a configuração e conformação molecular - que esta técnica pode fornecer.

Bell e Saunders<sup>48</sup> estudaram a relação entre o aumento do efeito NOE e as distâncias internucleares, sendo demonstrado por Schirmer e col.<sup>49</sup> que a distância inter nuclear pode ser determinada quantitativamente por medidas de NOE em um sistema contendo tres ou mais spins.

O Efeito Nuclear Overhauser está diretamente relacionado com processos de relaxação.

Considerando um sistema de dois prótons A e X - que podem ou não estar acoplando entre si, quando o núcleo A é irradiado na sua frequência de ressonância, e X é - observado, o simples processo de relaxação longitudinal,  $T_1$  não é eficiente para restaurar o equilíbrio populacional -

de A, o qual transfere energia a X pelo mecanismo de interação dipolo-dipolo. Como resultado desta interação temos um aumento na relaxação de X, que é observado pelo aumento na intensidade do sinal deste núcleo. A contribuição para  $T_1^A$ , devido a interação dipolo-dipolo dos núcleos A e X é dada pela Equação 7.<sup>42</sup>

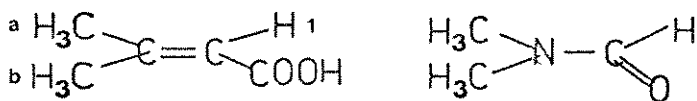
$$\frac{1}{T_1^{AX}} = \frac{\gamma^2 \gamma_A^2 \gamma_X^2 T}{d^6} \quad (7)$$

onde  $T_1^{AX}$  é a contribuição para  $T_1$  dos núcleos A e X,  $T$  é o tempo de correlação para a rotação molecular ao acaso e  $d$  é a distância internuclear entre A e X.

Se  $1/T_1^A = 1/T_1^X$  a completa saturação de X resultará num aumento de 50% na integração do sinal de A, resultando num Efeito Nuclear Overhauser máximo. Sua magnitude é determinada pela distância entre os núcleos.

Numerosas aplicações da medida do NOE, são descritas por Kennewell<sup>50</sup> e Bachers e Schaefer<sup>51</sup>.

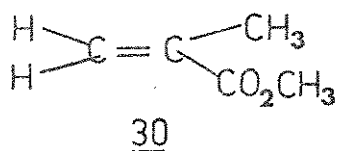
A primeira investigação do NOE em compostos orgânicos foi feita por Anet e Bourn<sup>42</sup>, utilizando-se da medida do NOE para atribuir os sinais dos grupos metila no ácido dimetil acrílico (28) e na dimetilformamida (29).

2829

No composto (28), observou um aumento de 17% na integração do H(1), quando o grupo metila de campo mais alto(a) era irradiado, concluindo que o sinal de campo mais alto correspondia ao grupo metila *cis* ao H(1).

Quando há mais de uma contribuição intramolecular para a relaxação, o NOE poderá ser reduzido, isto é observado quando se compara o aumento de 17% na integração

do H olefínico em (28) com o aumento de somente 9% para o H olefínico *cis* ao grupo metila no éster metaacrilato de - metila (30), quando a ressonância do CH<sub>3</sub> é saturada<sup>41</sup>, por que neste caso o H olefínico também relaxa pelo outro próton geminal.



Porque o NOE envolve processos de relaxação de vários prótons, cuidados devem ser tomados na preparação da amostra, para minimizar todos os possíveis efeitos de relaxação intramolecular que tendem a reduzir o NOE. Além disso deve-se inicialmente excluir impurezas paramagnéticas<sup>52</sup> que a amostra possa conter.

A remoção do oxigênio molecular é uma precaução muito importante que deve ser tomada, desde que esta espécie é eficiente na relaxação de prótons. Esta remoção do oxigênio pode ser feita congelando e descongelando sucessivamente a amostra sob vácuo.<sup>53</sup>

A amostra submetida ao NOE deve ter um mínimo de concentração para que a relação sinal/ruido seja adequada, esta concentração deve ser em torno de 5 a 10% (v/v)<sup>54</sup>.

Solventes magneticamente inertes devem ser usados para as experiências de NOE, tais como CS<sub>2</sub>, CCl<sub>4</sub><sup>43</sup> ou também muito utilizados são os solventes deuterados CDCl<sub>3</sub><sup>55</sup> que podem conter até 1% de hidrogênio que não interferem nas experiências com NOE.

### 3.2.2. DESLOCAMENTOS INDUZIDOS POR LANTANÍDEOS (LIS).

Reagentes de deslocamentos, são usados na espectroscopia de r.m.n., para ampliar a faixa de variação dos deslocamentos químicos por alterar seu ambiente magnético com consequente simplificação de espectros.

O estudo de complexos lantanídicos como reagentes de deslocamento em r.m.n. iniciou-se em 1969 com Hinckley<sup>56</sup>, usando Eu(dpm)<sub>3</sub>Py<sub>2</sub>. Após esta contribuição inicial, foram feitas tentativas no sentido de aperfeiçoar o reagente de deslocamento, mudando tanto o metal<sup>57,58</sup> quanto o ligante<sup>59,60</sup> e explorar a sua aplicabilidade a uma variedade de funções orgânicas.

#### REAGENTE DE DESLOCAMENTO LANTANÍDICO.

O uso de Eu(dpm)<sub>3</sub>Py<sub>2</sub>, como reagente de deslocamento, primeiramente empregado por Hinckley, não é recomendado<sup>59</sup>, desde que a piridina compete efetivamente com o substrato pelo sítio de coordenação do reagente.

Sanders e Willians<sup>61</sup>, na procura de bons reagentes testaram alguns  $\beta$ -dicetonatos de lantanídeos.

Horrocks e Sipe<sup>62</sup>, compararam o deslocamento induzido de complexos dpm-(dipivaloilmetanoato) de vários-lantanídeos e observaram que Tb(dpm)<sub>3</sub> e Dy(dpm)<sub>3</sub>, induzem grandes deslocamentos, mas causam sérios alargamentos de linhas; por outro lado Pr(dpm)<sub>3</sub> e Eu(dpm)<sub>3</sub>, induzem deslocamento para campo alto e campo baixo respectivamente sem causarem apreciável alargamento de linhas.

A formação do complexo, entre o reagente de deslocamento e o substrato, é uma reação de um ácido de Lewis (RD) e uma base de Lewis(S) e consequentemente se procura utilizar reagentes de deslocamentos fortemente ácidos no sentido de aumentar essa interação.

A introdução de átomos de fluore em ligantes  $\beta$ -dicetonatos, aumentam a acidez do ion lantanídeo, causando forte associação do RD com o S.

A aplicação de reagentes de deslocamento do tipo Ln(fod)<sub>3</sub><sup>60</sup>, Ln(fhd)<sub>3</sub><sup>63</sup> e Ln(tfm)<sub>3</sub><sup>64</sup>, (Figura 11), vem sendo utilizada, pois estes reagentes, além de apresentarem mai-

or solubilidade que  $\text{Ln}(\text{dpm})_3$ , são bastante úteis para substratos fracamente básicos, devido a força acceptora de elétrons dos grupos perfluorados.

Na prática complexos  $\text{dpm}^-$  e  $\text{fod}^-$  com  $\text{Eu}^{3+}$ ,  $\text{Pr}^{3+}$  e  $\text{Yb}^{3+}$  são os mais utilizados.

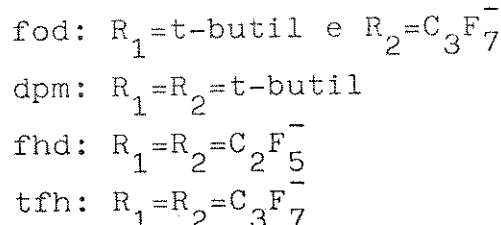
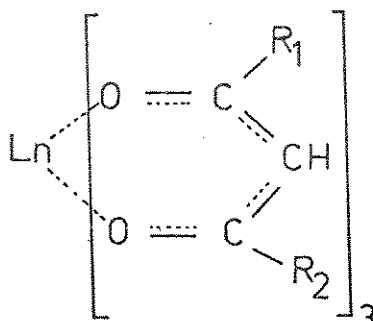


Figura 11. Reagentes lantanídicos.

#### SUBSTRATO .

Os substratos que apresentam polaridade e grupos funcionais com pares de elétrons disponíveis são susceptíveis a investigação pelo uso de reagente de deslocamento.

Embora a basicidade seja um critério muito importante para se julgar a efetividade do substrato, outros fatores como impedimento estérico não devem ser ignorados.

Considerando grupos funcionais mais comuns, foi proposta<sup>62</sup> a seguinte ordem para a complexação.



Esta ordem reflete a constante de dissociação do aduto substrato-reagente, e também em menor extensão a geometria (ângulo e distância) dos prótons com respeito ao ion lantanídico central. A ordem citada é útil somente como regra geral, desde que os grupos funcionais apresentam uma variação no seu comportamento devido a efeitos estruturais. Estes efeitos podem ser ilustrados na comparação entre éter, cetona e éster<sup>65</sup> cuja ordem sugerida é a seguinte:- éter > cetona ≈ éster, com o éster coordenando via oxigênio carbonílico.

No caso de substratos polifuncionais constituidos

de dois possíveis doadores, a coordenação ocorre normalmente com o oxigênio<sup>66</sup>, quando este está presente.

#### SOLVENTES .

Os solventes utilizados em experiências com Reagentes de Deslocamento, devem ser selecionados de acordo com a solubilidade e estabilidade frente ao quelato e substrato, e entre o complexo formado pelos dois, sem interagir efetivamente com o quelato.  $\text{CCl}_4$  e  $\text{CDCl}_3$ , são os mais utilizados, sendo que o  $\text{CCl}_4$  é o melhor, desde que o  $\text{CDCl}_3$  pode conter ou desenvolver traços ácidos que causam a decomposição do  $\beta$ -dicetonato.

Menos comumente usados, encontram-se  $\text{CD}_3\text{CN}$ <sup>62</sup>,  $\text{C}_6\text{D}_6$ ,  $\text{CS}_2$ <sup>67</sup>,  $\text{C}_6\text{D}_5\text{I}$ <sup>62</sup>.

#### 3.2.2.1. CONSIDERAÇÕES TEÓRICAS.

##### DESLOCAMENTO INDUZIDO.<sup>45</sup>

O deslocamento induzido por lantanídeo (LIS) é definido como a diferença entre a frequência de ressonância do aduto formado pelo reagente lantanídico-substrato - (LS) e a do substrato (S).

$$\Delta i = \nu_{LS} - \nu_S \quad (8)$$

Sendo  $\Delta i$  o deslocamento induzido observado, representando a média do sinal para o substrato complexado e não complexado (trocas rápidas de L e S com LS ocorrem dentro da escala de tempo de r.m.n.), sendo  $\Delta i$  proporcional a concentração do reagente (L) em solução.

#### MECANISMO DE INTERAÇÃO.

Dois tipos de mecanismos de interação entre o cátion metálico e o ligante são responsáveis pelo deslocamento induzido resultante<sup>68</sup>: interações de contato e de pseu-

do contato.

A interação de contato ou contato de Fermi, considera a possível deslocalização de spin dentro do complexo, atuando através das ligações.

A interação dipolar ou de pseudocontato inclui - todas as interações tipo magnético-dipolar, resultante de um campo magnético secundário, gerado pelo momento magnético do ion, atuando através do espaço.

O deslocamento induzido observado ( $\Delta_i$ ), corresponde principalmente a interação de pseudocontato.

Para a extração do parâmetro geométrico, Mc Connell e Robertson<sup>69</sup> propuseram uma apropriada formulação do termo de pseudocontato, onde a Equação 9 é usada.

$$\Delta_i = \frac{K (3 \cos^2 \theta_i - 1)}{r_i^3} \quad (9)$$

Esta equação é baseada na suposição de uma simetria axial de um campo magnético dipolar do aduto LS, a qual mostra a relação entre o deslocamento químico induzido de um núcleo  $i$  ( $\Delta_i$ ) e a localização deste núcleo.

Na Equação 9,  $K$  é a constante de anisotropia magnética,  $r_i$  é a distância do núcleo  $i$  ao ion lantanídico e  $\theta_i$  é o ângulo entre o eixo magnético principal do complexo, supondo-se que seja colinear ao eixo da ligação lantânideo-substrato, e a linha que passa no núcleo de interesse e no ion lantanídico (Figura 12).

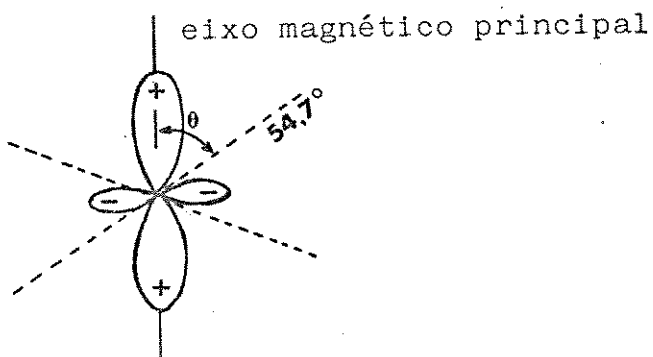


Figura 12.<sup>45</sup> Campo dipolar de simetria axial. Os lóbulos positivos indicam deslocamento induzido para campo baixo e os negativos para campo alto.

O termo ( $3 \cos^2 \theta_i - 1$ ) é positivo para valores de  $\theta$  de 0 a  $54^\circ$  e de  $126$  a  $180^\circ$  e um positivo  $\Delta_i$  (deslocamento para campo baixo) é observado, entretanto quando  $\theta_i$  tem um valor entre  $55$  e  $125^\circ$ , o termo do ângulo e  $\Delta_i$  são negativos (isto é o deslocamento para campo alto é observado).

#### INTERPRETAÇÃO GRÁFICA DO DESLOCAMENTO INDUZIDO.

Embora muitas informações possam ser colhidas de uma análise visual de vários espectros obtidos por adição-incremental do reagente de deslocamento(RD), a informação pode ser expressa mais convenientemente de forma gráfica<sup>44</sup>, usualmente correlacionando o deslocamento induzido e a relação molar  $[RD]/[S]$ .

Na maioria dos casos estes gráficos não são lineares, sendo observados desvios a baixas concentrações de reagente de deslocamento lantanídico  $[RD]$  e atribuidos a competição entre o substrato e traços de água ou impurezas ácidas do RD. Desvios a altas relações  $[RD] / [S]$  também são observados, devido a incompleta dissolução do RD no meio e efeitos de associação.

Na realidade os deslocamentos induzidos não são diretamente proporcionais a simples relação  $[RD] / [S]$  experimental, porque estas concentrações não podem ser determinadas com tanta precisão quanto os deslocamentos induzidos e porque estes dependem da fração do substrato complexado ( $[RDS] / [S]$ ), conduzindo a gráficos não lineares.

Estes fatores foram considerados por ApSimon e Beierbeck<sup>70,71</sup> na elaboração de uma fórmula que fornece um valor "corrigido" de relação molar que é proporcional ao somatório dos deslocamentos químicos em cada espectro, (Eq. 10).

$$C_j = (C_n - C_1) \cdot \frac{(\sum \delta_{ij} - \sum \delta_{i1})}{(\sum \delta_{in} - \sum \delta_{i1})} + C_1 \quad (10)$$

onde  $C_j$  é a relação molar corrigida,  $C_1$  e  $C_n$  são as relações molares experimentais para a primeira e a última amostra, sendo constantes;  $\Sigma \delta_{i1}$  e  $\Sigma \delta_{in}$  as somatórias dos deslocamentos químicos de todos os prótons do primeiro e último espectro respectivamente.

Os deslocamentos químicos induzidos são correlacionados graficamente com a relação molar "corrigida" através da Equação 10, obtendo-se relações lineares<sup>71</sup>.

#### CONSIDERAÇÕES EXPERIMENTAIS.

Muitos trabalhos obtém o deslocamento químico induzido por adição incremental de pesos conhecidos do RD à solução do substrato, agitando ou aquecendo lentamente<sup>44</sup>. A variação de volume causada pela adição do RD é desprezível.

Outros trabalhos preferem a adição do RD na forma de uma solução<sup>72,73</sup>. Para manter constante a concentração do substrato este procedimento necessita de algumas alíquotas do substrato com diferentes concentrações de RD, requerendo grande quantidade de substrato.

Outro procedimento<sup>74</sup> envolve a adição incremental do substrato a uma solução de RD. Esta técnica não é muito recomendada pois observa-se no espectro inicial ressonância fraca e larga dos  $^1H$ , não podendo ser relacionada com o deslocamento químico original para auxiliar na atribuição.

Para estudos em solventes orgânicos, traços de água ou impurezas ácidas, podem levar a formação de adutos lantanídicos hidratados, insolúveis, resultando em uma pobre resolução espectral.

Os reagentes de deslocamento lantanídicos são hidroscópicos, sendo os deslocamentos induzidos reduzidos pela absorção de umidade, devido a formação de ligações com-

petitivas da água com o sítio de coordenação do RD, devendo-se assim, deixar o RD sob pentóxido de fósforo, em dessecador sob vácuo.

#### LIS EM OLEFINAS.

Reagentes lantanídicos não podem ser usados, para simplificar o espectro de moléculas nas quais a dupla-ligação é a única função<sup>61</sup>. Entretanto o uso de uma mistura equimolar de  $\text{Ln}(\text{fod})_3$  e  $\text{C}_3\text{F}_7\text{O}_2\text{Ag}$  pode agir como reagente de deslocamento para olefinas. Evans e col.<sup>75</sup>, utilizaram esta mistura em 4-metilestireno, tendo observado que a  $\text{Ag}^+$  coordena preferencialmente com a dupla terminal, e o deslocamento induzido observado é muito pequeno.

Outros complexos binucleares de  $\text{Ln}^{3+}$  e  $\text{Ag}^+$ , foram testados mais tarde para tentar desenvolver reagentes-de deslocamento para olefinas<sup>76,77</sup>, variando tanto o metal quanto o ligante.

A natureza da interação entre  $\text{Ag}^+$  e  $\text{Ln}^{3+}$  nestes-complexos ainda não está bem esclarecida, podendo a prata-formar ponte com o lantanídeo, através do mesmo tipo de coordenação dos ligantes ou a interação pode ser puramente - eletrostática<sup>78</sup>.

#### 3.3. CONSTANTES DE ACOPLAMENTO.

Além do deslocamento químico, há um outro parâmetro que contribui para a aparência característica do espectro de  ${}^1\text{H}$ , pelo acoplamento de spins de núcleos com a vizinhança. Este efeito é transmitido através de elétrons ligantes.

A seguir abordaremos, acoplamentos geminais e acoplamento à longa distância em compostos olefínicos que são de interesse para o estudo proposto por este trabalho.

### ACOPLAMENTO GEMINAL ATRAVÉS DE CARBONO $sp^2$ . ( $J_{gem}$ )

O acoplamento geminal é definido como a interação spin-spin, entre hidrogênios ligados a um mesmo átomo.

Para a maioria dos compostos orgânicos a constante de acoplamento através de carbono com hibridização  $sp^2$ - variam de +2 a -2 Hz<sup>18</sup>, embora grandes valores positivos<sup>79</sup> e grandes valores negativos<sup>70</sup> sejam encontrados. Estes valores não usuais são correlacionados com fatores estruturais. Na prática, pequenos valores de constantes de acoplamento geminais são característicos para grupos  $C = CH_2$ .

Em compostos vinílicos ( $X-CH=CH_2$ )<sup>80-83</sup> a constante de acoplamento geminal apresenta uma forte dependência com a eletronegatividade de X e correlações razoáveis são obtidas.

Em derivados do etileno ( $CH_2=CXY$ ), o  $J_{gem}$  é relacionado com a natureza dos substituintes em  $\beta$  (X e Y) e seus efeitos são relativamente aditivos. Essa correlação<sup>81</sup> pode ser expressa através da Equação 11, onde  $Ex$  e  $Ey$  representam as eletronegatividades dos substituintes X e Y. Esta relação foi sugerida com base em uma série limitada de dados, necessitando de novas considerações teóricas.

$$J_{gem} = -a(Ex + Ey) + b \quad (11)$$

Uma outra relação foi sugerida<sup>84</sup>, onde  $J_{gem}$  varia com o inverso da soma das eletronegatividades dos substituintes, através da Equação 12.

$$J_{gem} = \frac{61,6}{Ex - Ey} - 12,9 \quad (12)$$

A dependência teórica da magnitude de  $J_{gem}$  com a eletronegatividade do substituinte, foi amplamente discutida por Pople e Bothner-By<sup>85</sup>, observando uma boa concor-

dância com os valores experimentais. Neste estudo, são discutidas as interações de orbitais  $\sigma$  e  $\pi$  da dupla etilé nica de olefinas terminais com os orbitais do substituinte, observando-se que a contribuição para a magnitude do  $J_{\text{gem}}$  depende principalmente dos efeitos transmitidos através das ligações  $\sigma$ .

A pouca influência da contribuição  $\pi^{85}$ , também observada por outros tratamentos teóricos<sup>86</sup>, levou Knorr<sup>87</sup> a propor uma nova constante para o substituinte  $\sigma_I^J$  que mede somente a transmissão do efeito do substituinte pela ligação sigma, a partir de valores de  $J_{\text{gem}}$ . O uso desta constante é restrito à olefinas terminais do tipo  $\text{CH}_2=\text{CRX}$ .

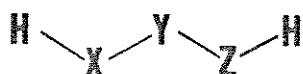
#### ACOPLAMENTO À LONGA DISTÂNCIA.

O acoplamento à longa distância é definido como o acoplamento entre prótons separados por mais que três ligações<sup>18</sup>.

Dados experimentais<sup>18, 88</sup> e considerações teóricas e semiempíricas<sup>88-90</sup> sugerem que a interação spin-spin através de mais de três ligações são dependentes do arranjo do núcleo e das ligações, ou seja, do caminho favorável para o acoplamento.

#### ACOPLAMENTO ATRAVÉS DE QUATRO LIGAÇÕES SIMPLES. ( ${}^4J_{\text{HH}}$ )

Prótons separados por quatro ligações em arranjo em zig-zag, normalmente chamado como configuração "W" ou "M" podem acoplar, independentemente da natureza de X, Y ou Z (31).



Barfield<sup>89</sup>, através de métodos empíricos estimou a contribuição "indireta" para o acoplamento de configuração "W" chegando a valores positivos. Resultados com sistemas alílicos<sup>86</sup> com acoplamento transóide e  $\theta = 0^\circ$  - possibilitaram generalizar para sistemas flexíveis, que o sinal para o acoplamento através de ligações sigma em configuração "W" é de fato positivo, de acordo com o mecanismo de Barfield.

A análise do efeito estérico no acoplamento à longa distância do fragmento 31 leva a considerar dois ângulos diedros entre  $H_A-X-Y-Z$  e  $X-Y-Z-H_B$ , isto é, a rotação em torno de duas ligações, X-Y e Y-Z. Barfield<sup>89</sup> obteve uma correlação entre o ângulo e a magnitude do acoplamento fixando um dos ângulos e variando o outro de 0 a  $360^\circ$ , o ângulo fixado é um valor médio para prótons com livre rotação, isto é, grupo  $CH_3$ , para o caso do fragmento  $H-X-Y-CH_3$ . Resultando para o acoplamento indireto um máximo valor positivo para um ângulo diedro de  $180^\circ$ , definido pela rotação X-Y (Figura 13)

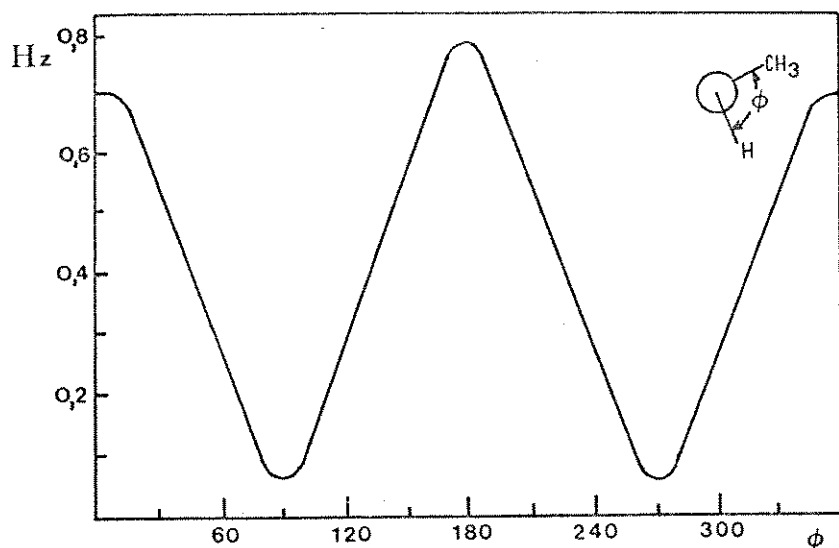


Figura 13.<sup>89</sup> Valores calculados da contribuição "indireta" do acoplamento spin-spin à longa distância envolvendo o grupo metila.

Para os sistemas onde o carbono central (Y no fragmento 31) é  $sp^2$ , existem alguns exemplos<sup>91</sup> nos quais ocorre o acoplamento de configuração "W", com a magnitude do acoplamento variando de 0,4-1,2 Hz, cujos valores parecem ser dependentes da substituição, podendo ou não serem observados<sup>92</sup>. Em sistemas do tipo  $\text{C}=\text{C}-\text{CH}_3-\text{CH}_3$ , este acoplamento varia de 0,3-0,6 Hz.

### ACOPLAMENTO ALÍLICO.<sup>93</sup>

O acoplamento entre prótons através de três simples ligações e uma ligação dupla, é designado acoplamento alílico ( ${}^4J_{HH}$ ). Existem dois fatores geométricos a serem considerados; primeiro, se os prótons acoplados estão *cis* ou *trans* em relação a ligação dupla, e segundo, o ângulo-diedro  $\phi$  entre a ligação C-H e o plano que contém os três átomos de carbono ( $C_1, C_2$  e  $C_3$ ), conforme Figura 14.

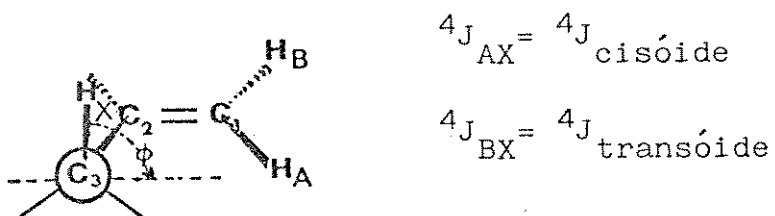


Figura 14. Dependência do acoplamento alílico com o ângulo diedro.

Além destes fatores, há um número de outras variáveis, tais como: o substituinte no  $C_1$ ,  $C_2$  ou  $C_3$ , a ordem da ligação dupla, etc., que levam a variações no acoplamento alílico. Apesar disto, cálculos teóricos<sup>89,94-96</sup> e resultados empíricos<sup>97-99</sup>, estabeleceram correlações gerais entre a magnitude do acoplamento alílico e o ângulo diedro.

A dependência do  $^4J$  alílico, com a mudança do ângulo diedro  $\phi$  (Fig. 14), dificulta a avaliação do efeito do substituinte no acoplamento alílico em compostos acíclicos substituídos no C-3, como propenos e 2-butenos, uma vez que a população dos diferentes rotâmeros depende do substituinte. Apesar destas limitações, alguns estudos foram feitos<sup>100,101</sup>, para propenos 2-substituídos, isobutilenos 2-substituídos e 2-butenos, onde em virtude da simetria do grupo metila, as modificações conformacionais são pequenas, e as variações do acoplamento alílico com a substituição são interpretadas em termos da força acceptora do substituinte em relação a contribuição  $\sigma$  e  $\pi$ , que determina a magnitude do acoplamento.

Em compostos acíclicos<sup>93</sup>, o valor relativo de  $^4J_{\text{transóide}}$ , pode ser menor<sup>102</sup>, maior<sup>103</sup> ou igual<sup>104</sup> ao  $^4J_{\text{cisóide}}$  (em valor absoluto), devido a dependência com as mudanças populacionais dos rotâmeros.

Em propenos substituídos as constantes de acoplamento variam de -0,4 a -1,8 Hz<sup>99</sup>.

Para a interpretação das constantes de acoplamento alílico, a consideração do mecanismo sigma e pi<sup>105</sup> é muito útil. Podendo-se considerar a interação spin-spin como a soma das duas contribuições  $^4J(\sigma)$  e  $^4J(\pi)$ , que são transmitidas via elétrons sigma e pi respectivamente.

O mecanismo do acoplamento alílico, foi discutido amplamente em revisões feitas por Barfield<sup>93,99</sup>. Considerando que a contribuição de elétrons pi é que confere o sinal negativo ao  $^4J_{\text{HH}}$  total e a ocorrência de constantes de acoplamento positivas em certas conformações são consistentes somente com a contribuição do esqueleto sigma.

O mecanismo para elétrons pi do acoplamento alílico são discutidas em termos do fragmento propénico (Figura 15).

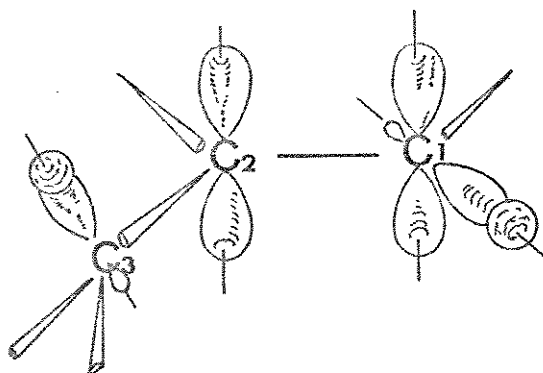


Figura 15.<sup>99</sup> Orbitais no fragmento da molécula de propeno.

Cálculos pela teoria da ligação de valência (*Valence Bond*) chegaram a Equação 13 para a contribuição pi, na qual o máximo valor negativo para esta contribuição é quando  $\phi = 90^\circ$ . (Fig.14).

$$^4J_{HH}^\pi = - 3,36 \operatorname{sen}^2\phi \quad (13)$$

Para moléculas acíclicas onde os prótons podem assumir todas conformações de equilíbrio possíveis para o grupo metila, é usado um valor médio em relação a população dos rotâmeros.

A seguir apresentaremos alguns valores de acoplamentos alílicos para propenos 3-substituídos (Tabela 1).

Tabela 1. Constantes de acoplamento alílico em propenos 3-substituídos. (em Hz)<sup>a</sup>

X	$J_{\text{transd.}}$	$J_{\text{cisd.}}$
CH <sub>3</sub>	-1,20	-1,70
F	-1,27	-1,63
Cl	-0,93	-1,41
Br	-0,59	-1,21
I	-0,43	-1,04
OH	-1,25	-1,55
OCH <sub>3</sub>	-1,42	-1,67

<sup>a</sup>Dados da Ref.93

## Capítulo 4

### RESSONÂNCIA MAGNÉTICA NUCLEAR DE $^{13}\text{C}$ DE OLEFINAS

#### 4.1. DESLOCAMENTO QUÍMICO.

As primeiras investigações, mencionando compostos - contendo carbono  $\text{sp}^2$  em r.m.n. de  $^{13}\text{C}$ , foram feitas - por Holm<sup>106</sup> e Lauterbur<sup>107</sup> , por volta de 1957, estimando- a região de ressonância dos carbonos de alguns grupos funcionais, verificando-se que os carbonos olefínicos e aromáticos absorviam na mesma região.

Mais tarde, Friedel e Retcofski<sup>108</sup> , determinaram os espectros de  $^{13}\text{C}$  de uma série de olefinas ramificadas. Examinando seus dados de deslocamentos químicos e a substituição dos hidrogênios olefínicos por grupos alquila, observaram grandes variações quando a substituição ocorria no carbono olefínico ou no carbono- $\alpha$  . A substituição direta no carbono  $\text{sp}^2$  , causava desproteção no carbono olefínico adjacente, concluindo-se que estes efeitos eram transmitidos através da ligação pi ao carbono olefínico adjacente e através da ligação simples ao carbono- $\alpha$  diminuindo - de intensidade com a distância. Este estudo forneceu valiosas informações sobre o efeito de blindagem em núcleos- de carbonos olefínicos.

Maciel<sup>109</sup> , comparando os deslocamentos químicos de  $^{13}\text{C}$  dos C- $\alpha$  e C- $\beta$  de etilenos monossustituidos ( $\text{CH}_2 = \text{CHX}$  ), com os dos carbonos *ipso* e *ortho* em benzenos monossustituidos, conseguiu boas correlações lineares. Estas correlações foram interpretadas considerando que efeitos - indutivos, de ressonância e de grupos vizinhos eram semelhantes em ambas as séries.

Posteriormente, Miyajima e col.<sup>110</sup> chegaram a resultados experimentais semelhantes aos de Maciel, com eti-

lenos substituídos, explicando a variação do deslocamento com o substituinte através de cálculos teóricos de densidade de elétrons sigma e pi nos carbonos destes compostos, - correlacionando as densidades de elétrons sigma dos carbonos- $\alpha$  e seus deslocamentos químicos e as densidades de elétrons pi do carbono- $\beta$  com seus deslocamentos químicos. Observaram desvios para o carbono- $\alpha$ , quando os substituintes eram halogênios , atribuindo estes desvios a não inclusão dos orbitais d no cálculo da densidade de elétrons-sigma.

Um estudo extensivo de r.m.n. de  $^{13}\text{C}$  , com cerca de setenta compostos olefínicos foi feito por Couperus <sup>111</sup> , com o objetivo de avaliar a tendência geral na variação do deslocamento químico de carbonos  $sp^2$  , obtendo valores de deslocamentos químicos numa faixa de 110-160 ppm. Esta variação mostrou ser dependente da introdução de carbonos adicionais no esqueleto olefínico, conforme anteriormente já observado por Friedel e Retcofski<sup>108</sup> .

O efeito de substituintes nos deslocamentos químicos de carbonos olefínicos foram objeto de estudo de inúmeros trabalhos<sup>112-116</sup>.

Em compostos alílicos ( $X-\text{CH}_2-\text{CH}=\text{CH}_2$ ) estudados - por Yonemoto<sup>115</sup> , o efeito do substituinte X, sobre os carbonos, foi interpretado em função do efeito de campo elétrico para os carbonos insaturados e efeito indutivo para o carbono  $\alpha$  ao substituinte.

Shapiro<sup>116</sup> , analisou o efeito do substituinte - em compostos alílicos, usando parâmetros de Swain-Lupton  $F$  e R e parâmetros de Taft  $\sigma_I$  e  $\sigma_R$ . Estes parâmetros foram relacionados com os deslocamentos químicos, através da Equação 14, onde  $\Delta\delta$  é a diferença entre o deslocamento químico de um dado carbono em um composto não substituído e o mesmo carbono do composto análogo substituído. A e B

seriam  $\mathcal{F}$  e R ou  $\sigma_I$  e  $\sigma_R$  respectivamente. A contribuição para cada um dos fatores de correlação é obtida pela magnitude dos valores absolutos de  $a$  e  $b$ .

$$\Delta\delta = aA + bB + i \quad (14)$$

Os resultados obtidos por Shapiro confirmam os dados descritos na literatura<sup>115</sup>, com exceção do cianeto-de alila, onde segundo ele, o valor citado por Yonemoto é um equívoco.

#### 4.2. CONSTANTES DE ACOPLAMENTO $^{13}\text{C}-\text{H}$ <sup>19,117</sup>

As constantes de acoplamento entre  $^{13}\text{C}$  e hidrogênio ( $J_{\text{C}-\text{H}}$ ), podem ser relacionadas com inúmeros parâmetros físicos, tais como: hibridização do carbono, ângulo-diedro, eletronegatividade do substituinte, etc..

O acoplamento  $^{13}\text{C}-\text{H}$  através de uma ligação ( $^1J_{\text{C}-\text{H}}$ ), depende da distribuição angular e radial de elétrons ligantes que ocupam o orbital molecular. A distribuição angular de elétrons ligantes é expressa em termos de caráter s do orbital híbrido que forma a ligação. Modelos teóricos<sup>118,119</sup> foram utilizados para explicar sua dependência com a hibridização, pelo fato do valor de  $^1J_{\text{C}-\text{H}}$ , estar relacionado com o caráter s do carbono.

Uma relação originalmente proposta por Müller e Pritchard<sup>118</sup> e por Shoolery<sup>119</sup>, para hidrocarbonetos não substituídos (Equação 15), para determinar a magnitude de  $^1J$  apresenta algumas limitações, que tem sido discutidas em trabalhos posteriores<sup>120,121</sup>.

$$^1J_{\text{C}-\text{H}} = 5.(\% \text{ s}) \text{ Hz} \quad (15)$$

De acordo com a relação acima, os valores de  $^1J$ - para carbonos  $sp^3$  (25% s) é 125Hz,  $sp^2$  (33% s) é 165Hz e  $sp$  (50% s) 250Hz.

Baseado em cálculos INDO-MO de parâmetros de hibridização, uma relação melhorada pode ser obtida<sup>122</sup>. (Eq.16)

$$^1J_{C-H} = 5,7.(\% s) - 18,4 \text{ [Hz]} \quad (16)$$

Sendo a interpretação do  $^1J_{C-H}$ , somente em termos de caráter s, muito simplificada, surgiram argumentos considerando que outros termos devem ser levados em conta, baseando-se na variação de  $^1J_{C-H}$  observada para metanos substituídos.

Dubs e Philipsborn<sup>124</sup>, estudaram constantes de acoplamento  $^{13}C$ -H em propenos (32), obtendo  $^1J_{1-a} = 153$  Hz e  $^1J_{1-b} = 157$  Hz, sendo o acoplamento com o H *trans* ao grupo-metila, maior que o acoplamento com o H *cis*, conforme já havia sido observado por Goldstein e col.<sup>125</sup>. Devido a atividade observada pelo efeito do grupo metila na magnitude de  $^1J$  nestes compostos, Dubs e Philipsborn, propuseram o uso de incrementos para o grupo metila nas posições *gem*, *cis* e *trans* em relação a ligação C-H, obtendo  $^1J_{gem-Me} = -4,5$  Hz,  $^1J_{trans-Me} = 0,6$  Hz e  $^1J_{cis-Me} = -2,9$  Hz. Estes incrementos possibilitam a previsão de valores de  $^1J$  em alquenos metil-substituídos.

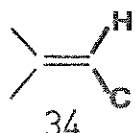
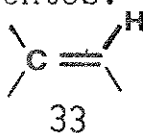
Os acoplamentos  $^{13}C$ -H através de duas ligações - ( $^2J_{CH}$ ), também chamado acoplamento geminal, são normalmente pequenos. Entretanto devido a razoável variação na sua magnitude, a previsão de seus valores é muitas vezes dificultada. Observa-se também uma grande dependência com a substituição e hibridização.

O efeito do substituinte no  $^2J_{gem}$  depende da orientação da substituição sendo grandemente aumentado para substituição no mesmo plano, do caminho de acoplamento (C-C-H)<sup>117</sup>. Se ligações pi são envolvidas ( $C_{(sp^2)}-C_{(sp^2)}-H$ ), o  $^2J_{C=CH}$  é muito pequeno.

Normalmente valores entre +10 e -20 Hz<sup>126</sup> são observados, sendo esta variação amplamente discutida em al-

gumas revisões<sup>127-129</sup>.

Esta grande variação observada no acoplamento geminal  $^2J_{CH}$ , foi explorada por Vogeli, Herz e Philipsborn<sup>126</sup> que investigaram o efeito do substituinte em etilenos mono- e tri-substituídos, com o objetivo de aplicar estas constantes de acoplamento em atribuições configuracionais. Neste estudo as constantes de acoplamento geminal, foram discutidas em termos de dois caminhos de acoplamento, 33 e 34, com vários substituintes em três diferentes posições, - em ambos os fragmentos.



O  $^2J_{CH}$  no fragmento 33, pode ser calculado por parâmetros aditivos ( $j$ ), os quais foram determinados pela diferença entre a constante de acoplamento de etilenos monossustituidos e a constante de acoplamento do próprio etileno (-2,4 Hz), sendo estes incrementos úteis também na determinação do sinal de  $^2J$ . Os valores calculados através destes incrementos para etilenos di- e tri-sustituidos apresentam boa concordância com os valores experimentais.

O uso de parâmetros aditivos para o cálculo de  $^2J$ , já havia sido aplicado com sucesso por Weigert e Roberts<sup>130</sup> para etilenos di- e tri-halogenados.

A constante de acoplamento entre carbono e hidrogênio através de três ligações ( $^3J_{CH}$ ), também chamada acoplamento vicinal, depende de inúmeros fatores estruturais. Variações causadas por heteroátomos no caminho do acoplamento e a dependência do tipo e geometria relativa dos substituintes, mostram ser grandes, entretanto informações geométricas obtidas por  $^3J_{CH}$ , devem ser interpretadas com cuidado.

Estudos de acoplamento vicinal, em compostos ole-

finicos cílicos e acílicos, foram feitos por Anderson<sup>131</sup>, Kingsbury e col.<sup>132</sup> e Ayras<sup>133</sup>, na tentativa de elucidar o efeito da hibridização na magnitude de  $^3J_{CH}$ , observando-se uma diminuição nos seus valores com a diminuição do caráter s do carbono envolvido.

Um estudo sistemático de  $^3J_{CH}$  em olefinas substituídas foi feito por Vögeli e von Philipsborn<sup>134</sup>, ressaltando vários fatores estruturais, como a ordem da ligação-pi, ângulo torcional, eletronegatividade do substituinte e efeitos estéricos na variação do acoplamento vicinal. Observaram que  $^3J_{CH}^{trans} > ^3J_{CH}^{cis}$ , usando esta desigualdade como critério para distinguir os isômeros E e Z, em alcenos di- e trissubstituídos, comparando resultados experimentais com cálculos teóricos.

#### 4.3. EFEITOS EMPÍRICOS DOS SUBSTITUENTES.<sup>117</sup>

Os efeitos empíricos dos substituintes, dependem do tipo e da posição do substituinte em relação ao carbono considerado ( $\alpha$ ,  $\beta$  etc.) e também da classe de compostos - que está sendo analisada.<sup>135</sup>

Em carbonos saturados, a blindagem do carbono, pode ser dividida em um número de contribuições aditivas, produzidas pelo substituinte nas posições  $\alpha$ ,  $\beta$ ,  $\gamma$  e  $\delta$ .

A seguir faremos uma breve abordagem sobre cada-um destes efeitos.

##### 4.3.1. EFEITO $\alpha$ .

O efeito  $\alpha$  de um substituinte Z, diretamente ligado ao carbono de interesse, é calculado pela diferença entre o valor do deslocamento químico do carbono  $\alpha$  de R-Z e o valor do correspondente de R-H, conforme Equação 17.

$$\alpha_Z = \delta_{R-Z} - \delta_{R-H} \quad (17)$$

Os valores de  $\alpha_Z$  são dependentes da eletronegatividade de Z, sendo que no caso dos halogênios, o efeito-anisotrópico destes átomos também devem ser considerados.

Para compostos de enxofre, o efeito  $\alpha$  do átomo-de enxofre<sup>136</sup>, são da mesma ordem que os do átomo de carbono.

Valores médios do efeito  $\alpha^{137}$ , para compostos alifáticos estão descritos na Tabela 2.

TABELA 2. Valores médios do efeito alfa<sup>a</sup> em compostos Alifáticos não ramificados.

Z	$\bar{\alpha}_Z$	Z	$\bar{\alpha}_Z$
F	70,5	NEt <sub>2</sub>	40,1
Cl	31,5	Me	9,1
Br	20,0	Et	18,5
I	-10,5	Pr	16,0
OMe	59,5	Bu	16,4
OEt	57,3	Am	16,6
SMe	20,8	HCO	30,3
SEt	18,6	MeCO	30,4
NMe <sub>2</sub>	46,4	EtCO	30,0

<sup>a</sup>Em ppm.

#### 4.3.2. EFEITO $\beta$ .

O efeito  $\beta$  do substituinte sobre um carbono de interesse, é calculado de maneira análoga ao efeito  $\alpha$ .

Esse efeito é normalmente constante para a maioria dos substituintes, com exceção dos grupos carbonila e nitro.

Os valores de  $\beta_Z$ , diminuem com os efeitos estéricos. Algumas tentativas foram feitas para interpretar este efeito<sup>138,139</sup>, observando-se que o efeito  $\beta$  é uma sóma de vários efeitos competitivos.

### 4.3.3. EFEITO $\gamma$ .

O efeito gama é também calculado da mesma forma que o efeito alfa. Esse efeito é de grande importância em estudos de estereoquímica, conforme discutido por Wilson e Stothers<sup>140</sup>.

O efeito  $\gamma_{gauche}$  é interpretado como resultante de interações estéricas entre o substituinte e o hidrogênio do carbono que está sendo considerado, alterando a polarização da ligação C-H desse carbono.

O efeito  $\gamma_{trans}$ , para heteroátomos da 1ª fila - (F, N e O), foi interpretado como devido a interações hiperconjugativas entre o par de elétrons não compartilhados do heteroátomo com a ligação  $C\alpha - C\beta$ , resultando uma alteração na densidade eletrônica do carbono  $\gamma$ .

Eliel, Grant e col.<sup>141</sup>, observaram que heteroátomos da 1ª fila, apresentavam um efeito  $\gamma_{trans}$  diamagnético, enquanto que heteroátomos da 2ª fila (S e Cl) o efeito  $\gamma_{trans}$  (*anti*) era muito pequeno. Entretanto em todos os casos o efeito  $\gamma_{trans}$  observado era sempre menor que o  $\gamma_{gauche}$ .

### 4.4. MÉTODOS EMPÍRICOS DE CÁLCULO.

A previsão do deslocamento químico, baseada em parâmetros empíricos aditivos do substituinte, tem demonstrado ser bastante útil em r.m.n. de  $^{13}C$ . O caminho para tal previsão é a seleção de compostos modelos convenientes com disponibilidade de um número mínimo de substituintes - para uma análise regressional.

#### 4.4.1. CARBONOS OLEFÍNICOS.

Em 1971, Roberts e col.<sup>142</sup>, propuseram um método de cálculo empírico para carbono  $sp^2$  de olefinas, semelhante ao método inicialmente desenvolvido por Savitsky e

Namikawa<sup>143</sup>, e por Grant e Paul<sup>149</sup> para hidrocarbonetos saturados.

Brower e Stothers<sup>144</sup> no ano seguinte publicaram um método semelhante ao de Roberts, para álcoois alílicos introduzindo novos parâmetros para os substituintes.

O cálculo para o deslocamento químico dos carbonos olefínicos segundo Roberts, é feito baseado na Equação 18, onde os parâmetros  $A_{k_i}(R_i)$  e  $A_{k_i'}(R_{i'})$ , representam o deslocamento químico adicional pela introdução do substituinte R na posição i, de um carbono k no mesmo lado da ligação dupla e pela introdução do substituinte R' na posição i', através da ligação dupla (Figura 16). Os termos de correções se referem aos efeitos devido a ramificação.

$$\delta_{C(k)} = 122,4 + \sum_i A_{k_i}(R_i) + \sum_{i'} A_{k_i'}(R_{i'}) + \text{termos de correção.} \quad (18)$$

O valor de 122,4, corresponde ao deslocamento em ppm dos carbonos do etileno, em relação ao TMS, convertido do trabalho original<sup>142</sup>, pela relação:  $\delta_{TMS} = \delta_{CS_2} - 192,8$  ppm.

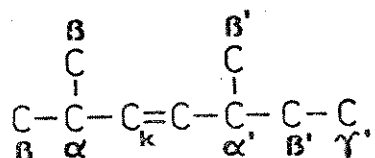


Figura 16. Definição do efeito do substituinte usado no cálculo do deslocamento químico do  $C_k$ .

Os valores de  $A_{k_i}$  e  $A_{k_i'}$ , pela introdução de carbonos adicionais no esqueleto etilênico, e apropriados termos de correção, estão listados na Tabela 3.

Para substituintes, diferentes do carbono, introduzidos no esqueleto etilênico, nas posições  $\alpha$  e  $\alpha'$ , foram determinados alguns parâmetros empíricos para o cálculo dos carbonos olefínicos, conforme Tabela 4.

TABELA 3. Parâmetros empíricos<sup>c</sup> para o cálculo do deslocamento químico de carbonos olefínicos, usando a Eq.(18).

	(a)	(b)
$\alpha$	10,62	
$\beta$	7,18	cor. $\alpha$ -4,83
$\gamma$	-1,47	cor. $\beta$ -2,27
$\alpha'$	-7,90	cor. $\alpha'$ 2,51
$\beta'$	-1,84	cor. $\beta'$ 0
$\gamma'$	1,50	<u>cis</u> * -1,12

\*o incremento cis, é usado para cada interação cis entre grupos alquila ligados a dupla.

(a) parâmetros do substituinte.

(b) termos de correção.

<sup>c</sup> Dados da Ref. 145

TABELA 4. Parâmetros empíricos<sup>a</sup> para o cálculo do deslocamento químico de carbonos olefínicos para substituintes em  $\alpha$  e  $\alpha'$ .

	$\alpha$	$\alpha'$
OR	+29	-39
OAc	+18	-27
COCH <sub>3</sub>	+15	+ 6
CHO	+13	+13
COOH	+ 4	+ 9
COOR	+ 6	+ 7
CN	-16	+15
Cl	+ 3	- 6
Br	- 8	- 1
I	-38	+ 7
C <sub>6</sub> H <sub>5</sub>	+12	-11

<sup>a</sup>Dados da Ref.117

Em 1985, Barfield e col.<sup>146</sup> em estudos com olefinas contendo como substituintes o grupo ciano e metoxicárbonila, utilizaram as regras de aditividade para determinar o

deslocamento químico de  $^{13}\text{C}$  dos carbonos olefínicos através da Equação 19.

$$\delta_{\text{C}} = 124,61 + \sum_{j=\alpha,\beta} z_j n_j + \sum'_{i,j} z_{ij} \quad (19)$$

Onde  $z_j$  é a contribuição de um substituinte na posição  $j$  ( $\alpha, \beta$ ),  $n_j$  é o número de tais substituintes ( $n_j=0,1,2$ ) e  $z_{ij}$  são parâmetros determinados para cada par de substituintes  $i$  e  $j$ . A inclusão deste último termo de interação de um par de substituintes já havia sido proposta por Vladimiroff e Malinowski<sup>147,148</sup> para carbonos saturados.

Barfield conseguiu boa concordância dos resultados calculados com os experimentais. Entretanto este método tem a desvantagem da determinação de um grande número de parâmetros  $z_{ij}$ , que não são facilmente interpretados.

#### 4.4.2. CARBONOS $\text{sp}^3$ .

Grant e Paul<sup>149</sup>, desenvolveram um método para o cálculo do deslocamento químico de carbonos  $\text{sp}^3$ , em hidrocarbonetos lineares ou ramificados, baseado na aditividade do substituinte, que pode ser expresso pela Equação 20.

$$\delta_{\text{C}_k} = C + \sum_i n_{ik} A_i \quad (20)$$

Onde  $C$  é uma constante correspondente ao deslocamento químico do composto de referência,  $k$  é o átomo de carbono para o qual o deslocamento químico está sendo calculado,  $A_i$  é o parâmetro do substituinte,  $n_{ik}$  é o número de substituintes na posição  $i$  relativa ao  $k$ . Obtendo para um carbono alfa  $A_1 = +9,1$  ppm, o efeito de um carbono em beta  $A_2 = +9,4$  ppm, e para um carbono em gama  $A_3 = -2,5$  ppm.

Para compostos mais complexos, onde interações do substituinte tornam-se importantes, termos de correção-

adicionais devem ser usados<sup>145</sup>.

Mais tarde Lindeman e Adams<sup>150</sup> publicaram um método semelhante para alcanos substituídos, utilizando a seguinte relação:

$$\delta_{C_k} = B_s + \sum_{M=2} D_M A_{SM} + \gamma_{sN_{k3}} + \Delta_{SN_{k4}} \quad (21)$$

Na Equação 21, B, A,  $\gamma$  e  $\Delta$  são constantes, onde o termo  $A_{SM}$  descreve o efeito estérico de carbonos vizinhos; s é o número de carbonos ligados diretamente a k;  $D_M$  é o número de carbonos que estão ligados a k e tem M átomos de carbonos ligados;  $N_{k3(4)}$  é o número de carbonos 3(4) ligações distantes de k.

Um método semelhante ao de Shoolery<sup>30</sup> para hidrogênios do grupo metileno é proposto<sup>2</sup>, para o cálculo do deslocamento químico do carbono metilênico (-CH<sub>2</sub>-). Neste método, considera-se o metano dissustituido (Y-CH<sub>2</sub>-X), e o deslocamento químico do CH<sub>2</sub> é calculado através da Eq.

$$22. \quad \delta_{CH_2} = \delta_{ref} + \alpha_Y + \alpha_Z \quad (22)$$

sendo  $\delta_{ref}$  o deslocamento químico do metano;  $\alpha_Y$  e  $\alpha_Z$  são os efeitos dos grupos ligados ao metileno e são calculados pela diferença entre o valor do deslocamento químico de R-Y (R-Z) e o valor do correspondente R-H, conforme Eq.

$$23. \quad \begin{aligned} \alpha_Y &= \delta_{R-Y} - \delta_{R-H} \\ \alpha_Z &= \delta_{R-Z} - \delta_{R-H} \end{aligned} \quad (23)$$

Este método foi utilizado para o cálculo do deslocamento químico do grupo CH<sub>2</sub> em propanonas  $\alpha$ -monossustituidas<sup>2</sup>.

Inúmeros métodos para o cálculo do deslocamento químico de carbonos sp<sup>3</sup> são descritos na literatura<sup>151-154</sup>, sendo alguns bastante específicos para determinados sistemas.

mas, como o método de Bucci<sup>155</sup>, para compostos do tipo -  
 $(CH_3)_nM$  e  $(C_2H_5)_nM$ , onde correlacionando o deslocamento -  
químico com a eletronegatividade de Pauling do átomo M e o  
número de elétrons solitários através de relações empíri -  
cas, conseguiu boa concordância, com os dados experimen -  
tais, mas seu método não foi aplicado a nenhum outro siste  
ma.

## Capítulo 5

### ESPECTROSCOPIA NO INFRAVERMELHO DE OLEFINAS

A estrutura olefínica de uma molécula é caracterizada por vários modos vibracionais; vibração de estiramento da ligação C=C, vibração de estiramento da ligação =C-H e as respectivas vibrações de deformação no plano e - fora do plano.

Bandas de absorção no infravermelho, associadas com vários tipos de duplas ligações, foram extensivamente estudadas<sup>156,157</sup>.

A vibração de estiramento C=C, fornece bandas fracas em compostos não conjugados, podendo a posição de absorção ser modificada pela natureza do substituinte nos dois átomos de carbonos olefínicos. Em compostos que contém somente uma dupla isolada, a absorção ocorre normalmente entre 1680-1620 cm<sup>-1</sup><sup>158</sup>.

Thompson e Torkington<sup>159</sup> estudaram haletos de alila e álcool alílico, observando sempre a absorção C=C, próxima a 1650 cm<sup>-1</sup>.

Randell<sup>158</sup> também estudou pequenas moléculas olefínicas, alquil-substituídas, obtendo para a vibração C=C valores entre 1650-1647 cm<sup>-1</sup>.

Sheppard e Sutherland<sup>160</sup> sugeriram a possibilidade de diferenciar entre os tipos de dupla ligação RR<sub>1</sub>C=CH<sub>2</sub> e RR<sub>1</sub>C=CHR<sub>2</sub> através da posição da banda de absorção-nesta região, obtendo uma variação de 1655-1645 cm<sup>-1</sup> e 1680-1670 cm<sup>-1</sup> respectivamente na análise de um grande número de compostos dos dois tipos. Sugeriram também que estes dois tipos de compostos podem ser diferenciados pela intensidade da absorção nesta região, sendo que para a dupla terminal a banda é a mais intensa.

A frequência de estiramento =CH<sub>2</sub>, ocorre acima -

de  $3000\text{ cm}^{-1}$ , normalmente entre  $3092\text{-}3077\text{ cm}^{-1}$ .<sup>158</sup> Pela análise destas bandas é possível diferenciar estruturas  $\text{C}=\text{CH}_2$  ( $3079\text{ cm}^{-1}$ ) e  $\text{C}=\text{CH}$  ( $3019\text{ cm}^{-1}$ ).

Também utilizada para detectar dupla ligação carbono-carbono e diferenciar as várias estruturas é a análise da deformação fora do plano dos hidrogênios ligados ao carbono olefínico, que ocorrem na região de  $1000\text{-}800\text{ cm}^{-1}$ , estas bandas costumam ser as mais intensas nos espectros de i.v. de olefinas.

Atribuição detalhada de vários modos vibracionais que produzem estas bandas características foram descritas por Sheppard e Simpson<sup>157</sup>.

Em etilenos substituídos assimetricamente<sup>158</sup>  $\text{R}_1\text{R}_2\text{C}=\text{CH}_2$ , a deformação fora do plano das ligações C-H ocorre a  $890\text{ cm}^{-1}$ . A introdução no carbono alfa dos grupos Cl,CN,OR e OH normalmente produzem um pequeno deslocamento, sendo absorção observada em  $900\text{ cm}^{-1}$ .

A vibração de deformação  $=\text{CH}_2$  no plano, para olefinas substituídas assimetricamente mostra forte absorção entre  $1420\text{-}1410\text{ cm}^{-1}$ .<sup>157</sup>

### 5.1. ISOMERISMO ROTACIONAL DE COMPOSTOS METALÍLICOS POR INFRAVERMELHO.

A existência de equilíbrios entre isômeros rotacionais em compostos alílicos do tipo  $\text{CH}_2=\text{CHCH}_2\text{X}$  (X= halogênios e CN), foi bem estabelecida, com base na espectroscopia vibracional<sup>161,162</sup> e microonda<sup>163</sup>.

Compostos metalílicos ( $\text{CH}_2=\text{C}(\text{CH}_3)\text{CH}_2-\text{Z}$ ), onde o H do grupo metino ( $=\text{CH}$ ) é trocado por um grupo metila, também foram objeto de estudos por infravermelho.<sup>164-166</sup>

Os diferentes isômeros rotacionais destes compostos surgem devido a rotação da ligação simples entre o carbono olefínico ( $\text{sp}^2$ ) e o carbono metíleno substituído ( $\text{sp}^3$ )

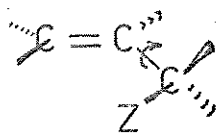


Figura 17. Rotação da ligação simples  $sp^2 - sp^3$ .

Pentin e Morozov<sup>164</sup> em estudos de infravermelho de cloreto de metalila ( $\text{CH}_2 = \text{C}(\text{CH}_3)\text{CH}_2\text{Cl}$ ), baseados em resultados experimentais da dependência da intensidade de bandas espectrais com a temperatura e através de cálculos de frequências de várias configurações nucleares de equilíbrio, concluíram que o cloreto de metalila existe em equilíbrio de três isômeros rotacionais, que chamou de *cis*, *trans* e um isômero intermediário não simétrico.

A nomenclatura utilizada pelos autores, foi feita, considerando a posição do heteroátomo Z, em relação ao grupo metileno olefínico (=CH<sub>2</sub>). Na Figura 18, *cis* (I), *trans* (III) e intermediária (II). Para estes isômeros rotacionais, a nomenclatura bastante utilizada atualmente<sup>167</sup> é *syn gauche* e *anti*, para as conformações I, II e III repectivamente, em analogia a compostos carbonílicos.

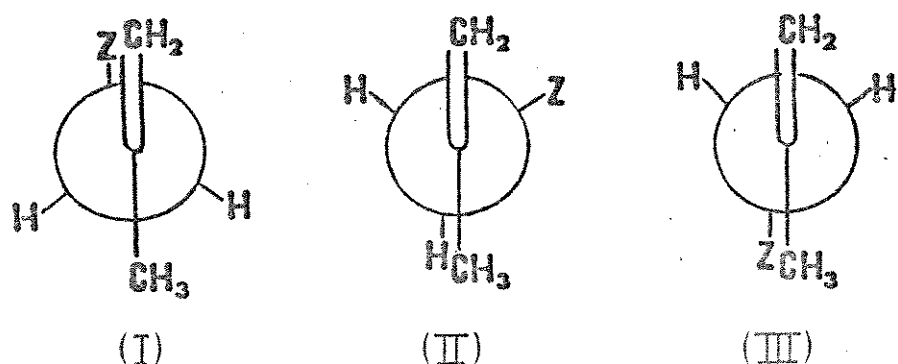
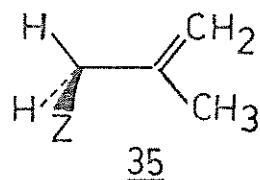


Figura 18. Isômeros rotacionais dos compostos metalílicos.

A existência dos tres isômeros rotacionais para estes compostos, foi criticada por Northam, Oliver e Crowder<sup>168</sup>, que propuseram a existência de somente dois rotâmeros, com base em estudos feitos com iodeto de metalila, onde no estado líquido foi detectada a existência de somente um isômero rotacional (III), e um segundo detectado só mente no estado de vapor a elevadas temperaturas. O isômero III, seria favorecido sobre um menos estável, presumivelmente I, por cerca de 4 kcal/mol.

Segundo Karabatsos e Fenoglio<sup>10</sup>, a escolha do rotâmero III, como o mais estável é um pouco intuitiva e arbitraria, sugerindo que uma estrutura média entre I e III, como 35, deve representar melhor o isômero rotacional mais estável.



Para todas as moléculas metalílicas estudadas ( $Z = Cl, Br, I$  e  $CN$ ) por infravermelho, as informações do número de confôrmeros presentes, foram obtidas pela frequência de vibração de deformação  $CH_2$  do grupo  $CH_2X$ , estas frequências são fortemente dependentes da conformação e ocorrem na região de  $1300-1200\text{ cm}^{-1}$ .

No caso do  $CH_2C(CH_3)CH_2Cl^{164}$ , as bandas observadas em  $1290$ ,  $1260$  e  $1220\text{ cm}^{-1}$ , foram atribuidas aos rotâmeros *cis*, *trans* e intermediário.

Diallo<sup>165,166</sup>, estudou por infravermelho cianeto-de metalila e brometo de metalila, observando para  $Z = CN$  as frequências  $1225$ ,  $1213$  e  $1195\text{ cm}^{-1}$  e para  $Z = Br$   $1285$ ,  $1260$  e  $1207\text{ cm}^{-1}$ . Comparando o espectro do brometo de metalila com o do cloreto de metalila, Figura 19, obervou que as intensidades relativas das duas bandas de frequências mais

baixas eram inversas. Ao variar as condições experimentais, como solvente e temperatura no espectro do brometo de metalila, observou que para soluções diluídas em solvente não polar ( $CS_2$ ), as duas bandas de frequência mais alta 1285 e  $1260\text{ cm}^{-1}$ , mostraram um pequeno decréscimo na intensidade, quando comparadas com o espectro no estado líquido. Em meio polar ( $CH_3CN$ ), a banda de frequência mais baixa,  $1207\text{ cm}^{-1}$  é intensificada.

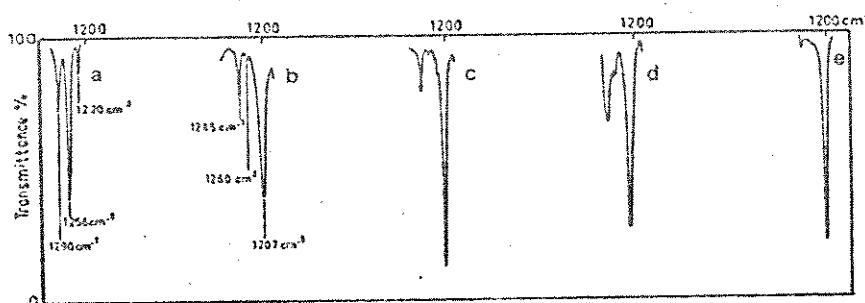


Figura 19.<sup>166</sup> Espectro de i.v. do cloreto e brometo de metalila.  
 a-porção do i.v. do  $CH_2Cl(CH_3)CH_2Cl$  líquido.  
 b- $CH_2Cl(CH_3)CH_2Br$  em fase líquida, c-solução de  $CS_2$ ,  
 d-solução de  $CH_3CN$ , e-temperatura do  $N_2$  líquido.

Como também foi demonstrado por outros estudos<sup>166</sup> a sensibilidade na intensidade das bandas, indicam no mínimo três diferentes espécies que podem variar em alguma extensão com a variação da constante dielétrica do meio. A mesma conclusão é tirada no espectro a baixa temperatura, onde a banda em  $1207\text{ cm}^{-1}$ , aumenta enquanto que as outras duas absorções 1260 e  $1285\text{ cm}^{-1}$  diminuem de intensidade.

A dependência da intensidade com a temperatura, foi usada, nas bandas de absorção de 1285 e  $1207\text{ cm}^{-1}$ , para estimar a diferença de energia entre os dois rotâmeros do brometo de metalila no estado líquido. Para determinar  $\Delta E$ , a relação de intensidade das bandas mencionadas, expressas em termos de área, foram medidas a uma variação de

temperatura de 22 a -80°C, obtendo  $\Delta E = 0,35$  kcal/mol.

Para o cianeto de metalila, as bandas 1225 e- $1213\text{ cm}^{-1}$ , foram usadas para estimar o  $\Delta E$  entre as duas formas, a temperatura foi variada de -75° até a temperatura ambiente obtendo  $\Delta E = 1,40$  kcal/mol.

Outros estudos por infravermelho também foram feitos por Conceill e col.<sup>165</sup>, para alcocis insaturados, dentre os quais o álcool metalílico. Este estudo não é especificamente sobre isomerismo rotacional, e sim um estudo sobre a influência estérica e eletrônica pela introdução de um grupo metila em várias posições no álcool alílico, através da variação da absorção da banda do grupo OH, que ocorre na região de  $3620\text{ cm}^{-1}$ .

## Parte II

### Apresentação e Discussão dos Resultados

# Capítulo 1

## SÍNTESE DOS COMPOSTOS

### 1.1. INTRODUÇÃO.

Para o estudo de r.m.n. de  $^1\text{H}$  e  $^{13}\text{C}$  proposto por este trabalho, foram preparados, uma série de compostos metalílicos (2-metilpropenos 3-substituidos),  $\text{CH}_2=\text{C}(\text{CH}_3)\text{CH}_2-\text{Z}$  onde  $\text{Z} = \text{Cl}, \text{Br}, \text{I}, \text{OH}, \text{OMe}, \text{OEt}, \text{SH}, \text{SMe}, \text{SEt}, \text{NMe}_2$  e  $\text{NEt}_2$ .

Estes compostos foram sintetizados em nosso laboratório (ver parte experimental), conforme indicado no Esquema I, página seguinte.

A substituição nucleofílica em sistemas metalílicos, bem como em sistemas alílicos<sup>1</sup>, podem ocorrer via-mecanismo bimolecular normal ( $\text{SN}_2$ ), envolvendo o ataque do nucleófilo ao átomo de carbono que contém o grupo a ser substituído ou um ataque do nucleófilo ao carbono insaturado, deslocando o substituinte num processo concertado, como já foi amplamente discutido no Cap.1, Parte I, página !! .

No caso dos 2-metilpropenos 3-substituidos, ambos mecanismos levam a somente um produto, devido a simetria da molécula, Figura 20, entretanto o mecanismo  $\text{SN}'_2$ , parece ser pouco provável pois o carbono alfa, contém além do substituinte, somente hidrogênios, o que favorece o mecanismo  $\text{SN}_2$ .

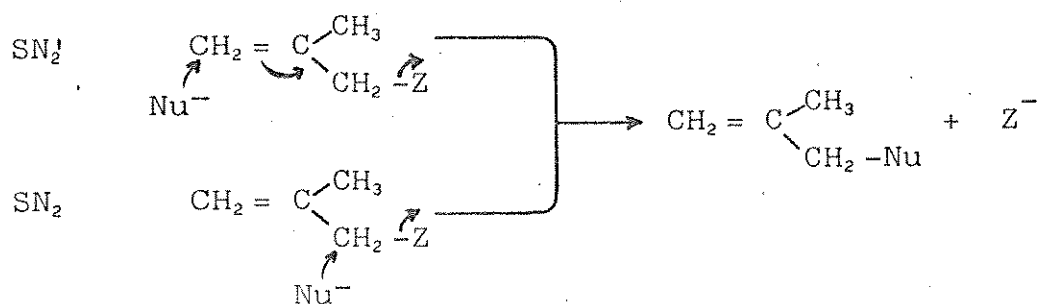
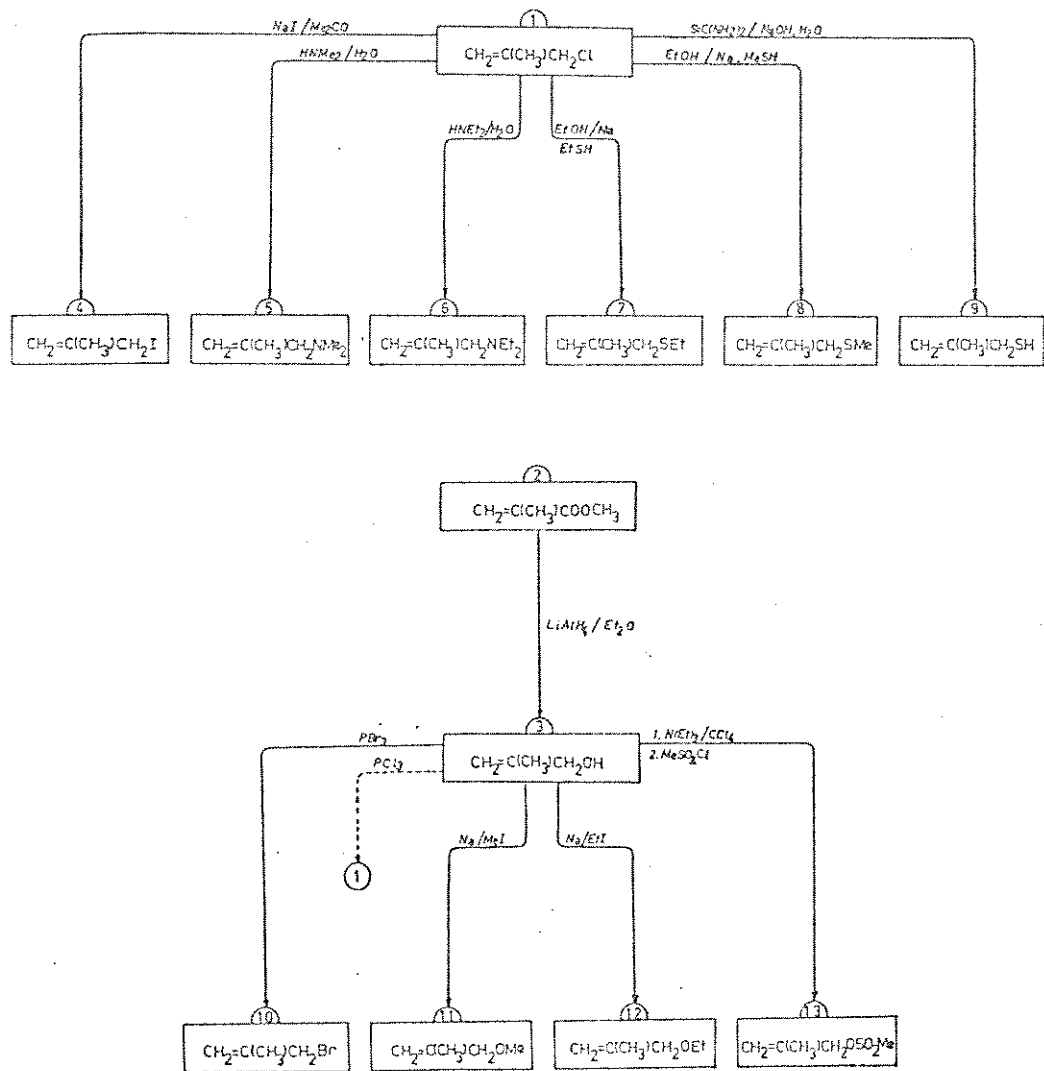


Figura 20. Mecanismo  $\text{SN}_2$  e  $\text{SN}'_2$  em compostos metalílicos 3-substituidos.



EQUEMA I. Reações para obtenção dos compostos metalílicos.

Para a obtenção dos compostos propostos, partiu-se do cloreto de metalila (1) e do álcool metalílico (3).

Devido ao tamanho da cadeia carbônica dos compostos metalílicos, com quatro átomos de carbono, e sendo estes insaturados, líquidos, sujeitos a polimerização, sendo alguns instáveis e muito voláteis, os rendimentos nessas reações são moderados.

De maneira geral, todos os compostos metalílicos apresentam dificuldades experimentais, necessitando de modificações de alguns métodos mais antigos<sup>170</sup>, utilizados para a sua preparação, e de compostos análogos.

A seguir discutiremos a obtenção destes compostos por classe, halogenados, oxigenados, etc., suas modificações e cuidados experimentais.

#### 1.2. COMPOSTOS METALÍLICOS HALOGENADOS.

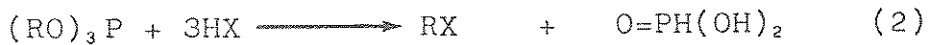
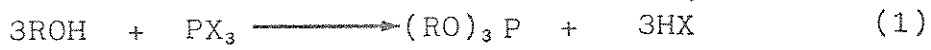
Os compostos metalílicos halogenados, preparados em nosso laboratório, foram o 3-cloro-2-metilpropeno (1), 3-bromo-2-metilpropeno (10) e o 3-iodo-2-metilpropeno (4).

Para a obtenção de (4) e (10), com iodo e bromo na posição 3, um método é descrito por Tamele<sup>170</sup>, usando cloreto de metalila (1), com iodeto de sódio ou brometo de sódio, sob refluxo em acetona, obtendo rendimentos muito baixos, 15-20% para o 3-bromo-2-metilpropeno (10) e 12% para o 3-iodo-2-metilpropeno (4).

Devido a pouca solubilidade do brometo de sódio em acetona, Brewster<sup>171</sup>, usou brometo de lítio que é mais solúvel em acetona, obtendo o composto (10) com melhor rendimento.

Usamos a reação de substituição do álcool metalílico (3) com haleto de fósforo, tribrometo de fósforo para a obtenção de (10) e tricloreto de fósforo para a obtenção de (1)<sup>170</sup>, conseguindo, após purificação por redestila-

ção melhor rendimento que o método de Tamele. A função do haleto de fósforo, nas reações com álcool é converter o grupo hidroxila em um bom grupo abandonador, conforme as Reações 1 e 2 abaixo:<sup>167</sup>



O composto (4), com iodo na posição 3, foi obtido com 55% de rendimento, aumentando-se o tempo de reação de 3 horas, conforme Tamele<sup>170</sup>, para 24 horas, usando-se o procedimento que Letsinger e Traynham<sup>172</sup> utilizaram para iodeto de alila.

Várias tentativas foram feitas para a obtenção do 2-metilpropeno com fluor na posição 3. Desde a tentativa de modificar o substrato, usando intermediários sintéticos (conforme ítem 1.7), até métodos alternativos, entre os quais podemos destacar reações em transferência de fase (PTC)<sup>173</sup>, uso de éter de coroa<sup>174</sup>, para aumentar a nucleofilicidade do Fluor e resina de troca iônica<sup>175</sup>, usando Amberlyste A-26, mas em nenhuma destas tentativas conseguiu-se o composto fluorado.

### 1.3. COMPOSTOS METALÍLICOS OXIGENADOS.

Foram preparados, o álcool 2-metilpropen -3-ol(3) e os éteres, 3-metóxi-2-metilpropeno (11), 3-etóxi-2-metilpropeno (12).

Os éteres (11) e (12), foram obtidos a partir do álcool metalílico, pela formação do alcóxido de sódio desse álcool (3), e reagindo-se com iodeto de alquila. A reação para obtenção de éteres à partir de álcoois, é conhecida como síntese de Williamson. (Reaç.3).

Devido ao baixo ponto de ebulação dos éteres formados, torna-se difícil a separação por destilação do iodeto

to de alquila que não reage. Assim usou-se um excesso do álcool metalílico, calculando-se o rendimento da reação utilizando o iodeto de alquila como reagente limite.



(11) R= CH<sub>3</sub> (3)

(12) R= C<sub>2</sub>H<sub>5</sub>

A redução do éster metaacrilato de metila (2), com hidreto de lítio e alumínio, forneceu o álcool metalílico (3). Tanto o éster (2), quanto o álcool são compostos facilmente polimerizáveis, portanto na purificação do álcool, foi necessário tomar cuidado com a temperatura.

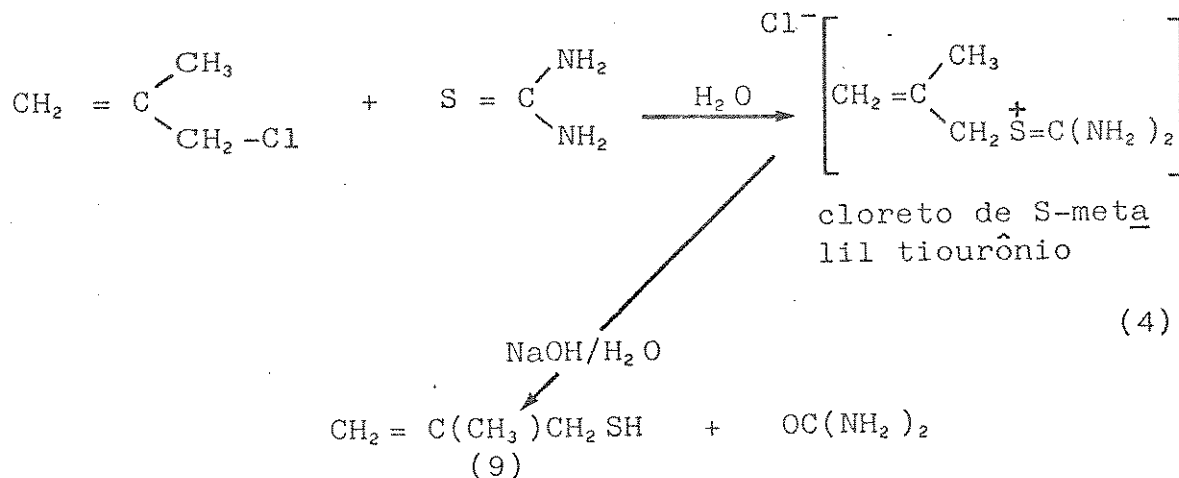
O baixo rendimento desta reação pode ser atribuído ao tipo de precipitado dos complexos de alumínio quando trabalha-se a mistura de reação e a solubilidade do álcool em fase aquosa, bem como sua adsorção no precipitado formado no meio reacional.

#### 1.4. COMPOSTOS METALÍLICOS COM ENXOFRE.

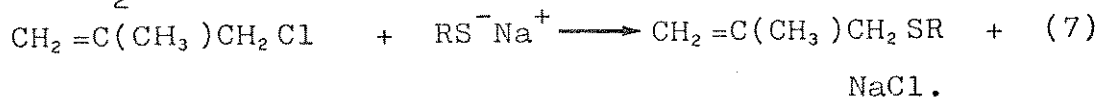
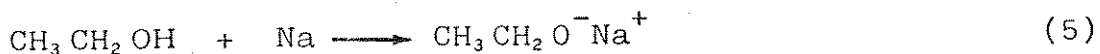
Na preparação do 3-tiol-2-metilpropeno (9), as principais dificuldades experimentais encontradas, foram no controle das reações secundárias, tais como a formação de sulfeto, dissulfeto e oxidação à sulfona.

O uso de bisulfeto de sódio (NaSH), com o cloreto do composto correspondente, produz quantidades apreciáveis de sulfeto, devido a instabilidade do sal intermediário (RS<sup>-</sup>Na<sup>+</sup>) que se forma e reage novamente com o composto clorado. Para minimizar estes problemas, na obtenção do tiol (9), a partir do cloreto de metalila usou-se tiouréia em solução aquosa que produz o sal de tiourônio mais estável, e destilando-se o tiol formado sob atmosfera de nitro-

gênio livre de oxigênio, Reação 4. Mesmo usando-se a tiouréia, se a destilação não for feita sob atmosfera de nitrogênio obtém-se o dissulfeto.



Os outros compostos metalílicos com enxofre na posição 3, ou seja o 3-metiltio-2-metilpropeno (8) e o 3-etiltio-2-metilpropeno (7), foram obtidos pela reação do cloreto de metalila com o íon alquil-mercapteto, que é gerado a partir do tiol que possui suficiente acidez ( $\text{pK}_a \sim 10$ ) para produzir o referido íon na presença de etóxido de sódio, conforme Reações 5,6 e 7 abaixo esquematizadas.



(8)  $\text{R} = \text{CH}_3$

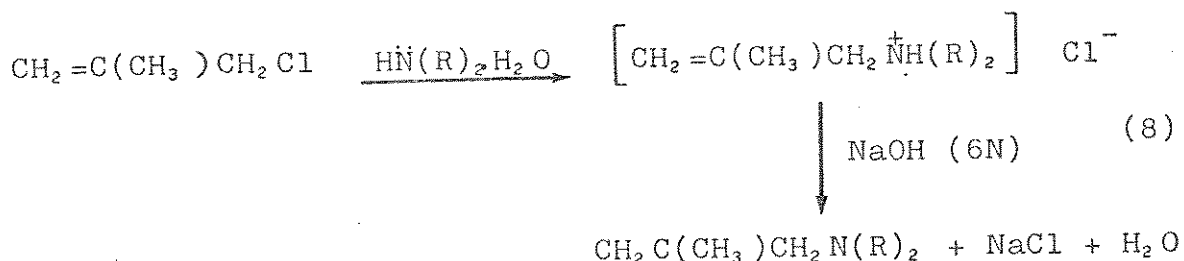
(7)  $\text{R} = \text{C}_2\text{H}_5$

Também estes compostos foram purificados por destilação sob atmosfera de nitrogênio, livre de oxigênio para evitar reações secundárias.

#### 1.5. COMPOSTOS METALÍLICOS NITROGENADOS.

As aminas preparadas em nosso laboratório foram 3-N,N-dimetilamino-2-metilpropeno (5) e 3-N,N-dietilamino-

2-metilpropeno (6), obtidas à partir do cloreto de metalila e solução aquosa de dimetilamina para o composto (5) e dietilamina para o composto (6), Reação 8.



(5) R= CH<sub>3</sub>

(6) R= C<sub>2</sub>H<sub>5</sub>

Após a neutralização com hidróxido de sódio, trabalha-se a mistura de reação com éter, e sua purificação é feita por destilação fracionada. Mesmo usando-se coluna de fracionamento, as frações recolhidas continham quantidades variáveis de éter. Com exceção de algumas frações, que apresentaram grau de pureza aceitável. Portanto esse método não é eficiente em termos de rendimento, devido a dificuldade de separação da amina do éter usado como solvente.

#### 1.6. CIANETO DE METALILA.

Para a obtenção da nitrila, com o grupo ciano na posição 3, usou-se o método descrito por Diallo<sup>165</sup>, partiu-se do cloreto de metalila (1), reagindo-se com o cianeto de sódio em dimetilsulfóxido previamente tratado, deparando-se com um produto rearranjado, onde o grupo ciano, localizava-se na posição 1, (composto 14).

Outras tentativas para a obtenção do cianeto de metalila foram feitas, desde a modificação do método citado, até a utilização de outros reagentes, obtendo-se quantitativamente o composto 14, (Esquema 2), com exceção da tentativa feita conforme o procedimento descrito por Tamele<sup>170</sup>, onde recuperou-se o produto de partida (1). O com-

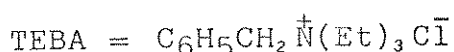
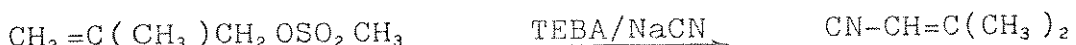
posto 14 foi caracterizado por r.m.n. de  $^1\text{H}$  e  $^{13}\text{C}$ .



14



M= K, Na e Cu.



### ESQUEMA II. Reações para obtenção do ciareto de metalila.

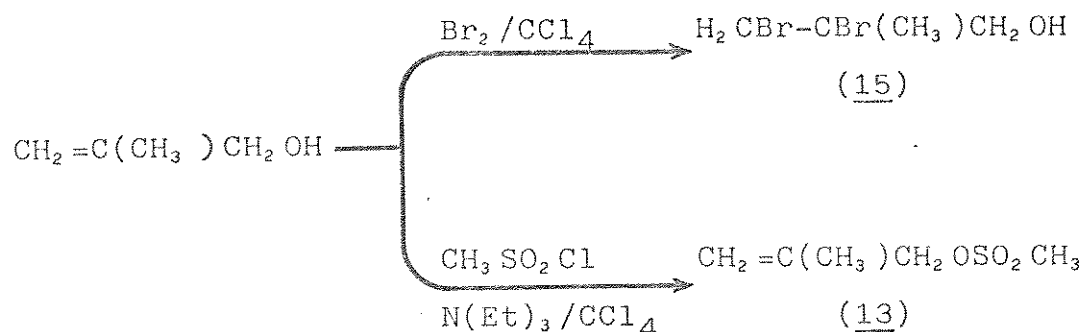
O rearranjo observado leva a um produto mais estável, com possibilidade de ressonância do grupo ciano com os elétrons pi da ligação dupla. Presume-se que o produto 14, possa se formar tanto pela abstração do hidrogênio alfa ao grupo ciano, quanto por isomerização térmica.

A formação de 14, através do intermediário ( $\text{CH}_2=\text{C}(\text{CH}_3)\text{CH}_2\text{CN}$ ), exige que as condições reacionais sejam suficientemente básicas para abstrair o hidrogênio alfa ao ciano, cujo pKa deve estar entre 25-30 unidades de pKa. O dimetilsulfóxido (pKa≈35) explicaria tal condição, mas a acetonitrila (pKa≈25) não, e em ambas obteve-se o mesmo produto. A temperatura desenvolvida na reação leva-nos a sugerir uma isomerização térmica.

### 1.7. INTERMEDIARIOS SINTÉTICOS.

Os intermediários sintéticos, 2,3-dibromo-2-metilpropeno-1-ol (15) e metanosulfonato de 2-metil-3-propenila (13), foram sintetizados com o objetivo de adequar, tanto as propriedades físicas do substrato, aumentando seu peso molecular, no caso de 15, quanto para melhorar o gru-

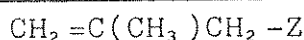
po abandonador para as reações  $S_N2$ , caso de 13.



A tentativa de obter o p-toluenosulfonato de 2-metil-3-propenila (17), ( $\text{CH}_2=\text{C}(\text{CH}_3)\text{CH}_2\text{OSO}_2\text{C}_6\text{H}_5\text{CH}_3$ ) à partir do álcool não foi bem sucedida, promoveu-se a adição de  $\text{Br}_2$  a ligação dupla do álcool obtendo (15), que também não reagiu com o cloreto de p-toluenosulfônico para fornecer o - composto tosilado (17).

Na Tabela 5, encontram-se as propriedades físicas dos compostos metalílicos preparados em nosso laboratório.

TABELA 5. Propriedades físicas dos compostos metalílicos.



Nº	Z	p.e. (°C)	Rendimento (%)
1	Cl	71-72	34
3	OH	114-115	35
4	I	159-160	55
5	NMe <sub>2</sub>	80-83	26*
6	NET <sub>2</sub>	100-104	50*
7	SET	-	57
8	SCH <sub>3</sub>	113-114	25*
9	SH	92-94	64*
10	Br	91-92	36
11	OMe	50-52	64
12	OEt	84-86	67
13	OSO <sub>2</sub> Me	-	62

\* percentual isolado, do referido composto com pureza adequada ao estudo espectroscópico.

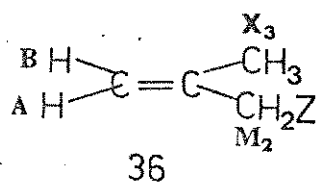
## Capítulo 2

RESONÂNCIA MAGNÉTICA NUCLEAR DE  $^1\text{H}$  DE 2-METILPROPENOS 3-SUBSTITUIDOS.

Neste capítulo discutiremos inicialmente a atribuição dos sinais de  $^1\text{H}$  dos 2-metilpropenos 3-substituidos. A seguir serão interpretados os dados de r.m.n. de  $^1\text{H}$ , deslocamentos químicos e as constantes de acoplamento geminal e à longa distância em função da substituição na posição 3. Os espectros de  $^1\text{H}$  encontram-se no final deste capítulo.

### 2.1. ATRIBUIÇÃO DOS SINAIS DE $^1\text{H}$ .

Os 2-metilpropenos 3-substituidos (36), constituem um sistema de spin do tipo  $\text{ABM}_2\text{X}_3$ , sendo a parte AB referente aos hidrogênios olefínicos que podem estar *cis* ou *trans* ao grupo metíleno substituído ( $\text{M}_2$ ).



A simples inspeção espectral para os 2-metilpropenos 3-substituidos, mostrou sinais bem distintos para os hidrogênios do grupo metíleno substituído ( $\text{M}_2$ ) e do grupo-metila ( $\text{X}_3$ ), sendo estes sinais facilmente atribuídos a partir dos espectros normais com o auxílio da integração dos seus sinais.

Embora existam métodos empíricos<sup>39,40</sup>, para determinar os deslocamentos químicos dos hidrogênios olefínicos  $\text{H}_A$  e  $\text{H}_B$ , sabe-se que a não equivalência destes hidrogênios é dependente de muitos fatores, como efeitos conformativos, anisotrópicos, além da eletronegatividade e outros, que nem sempre são previsíveis pelo cálculo.

Utilizamos técnicas experimentais , bem conhecidas e bastante úteis para atribuir os sinais de  $H_A$  e  $H_B$  , - como; o deslocamento induzido por lantanídeo (LIS) e efeito nuclear Overhauser (NOE) , as quais discutiremos a seguir.

### 2.1.1. DESLOCAMENTO INDUZIDO POR LANTANÍDEO.(LIS)

A atribuição dos hidrogênios olefínicos ( $H_A$ ) e ( $H_B$ ), nos compostos metalílicos, pelo uso de reagentes de deslocamento lantanídicos, foi feita para os compostos da série que apresentam pares de elétrons disponíveis para a complexação com o íon metálico. Os compostos utilizados foram : 2-metilpropen -3-ol(3), 3-N,N -dietylamino-2-metil propeno (6) e 3-metóxi-2-metilpropeno (11).

Os reagentes de deslocamento lantanídicos utilizados foram Eu(fod)<sub>3</sub>, e Pr(fod)<sub>3</sub>, os quais induzem deslocamentos para campo baixo e campo alto respectivamente.

O solvente utilizado nestas experiências foi o-CCl<sub>4</sub>, por ser um solvente inerte e também pela solubilidade dos reagentes de deslocamento neste solvente.

A técnica que usamos, consistiu na adição de incrementos de 2-4 mg de reagente de deslocamento lantanídico à solução do substrato com concentração conhecida, obtendo-se o espectro após cada adição e agitação manual durante alguns minutos. Observando-se que na experiência com Eu(fod)<sub>3</sub>, o tempo de agitação requerido é maior a medida que aumentamos sua concentração na amostra.

Não sendo nosso objetivo determinar a geometria do complexo formado e nem fazer um tratamento detalhado pelo uso do reagente de deslocamento lantanídico, nos limitamos a uma análise quantitativa do deslocamento induzido observado, para a atribuição correta dos hidrogênios olefínicos, através da observação espectral e método gráfico pe-

la correlação dos deslocamentos químicos induzidos pelo lantanídeo vs a razão molar entre o reagente de deslocamento e o substrato ( [RD] / [S] ).

Pela análise espectral, observa-se claramente que o hidrogênio olefínico que absorve em campo mais baixo ( $H_A$ ) é o que sofre maior deslocamento induzido.

Na Figura 22, temos os espectros do álcool metalílico em diferentes concentrações de  $\text{Pr}(\text{fod})_3$ , observando-se que em (b) os sinais dos hidrogênios olefínicos coalescem, já em (c), o hidrogênio  $H_A$  ultrapassa  $H_B$ , tornando-se a separação entre os hidrogênios olefínicos cada vez maior, o mesmo se observa para o éter metalílico na Figura 23.

O  $\text{Eu}(\text{fod})_3$  foi utilizado para fins comparativos, desde que ele induz deslocamentos para campo baixo. A Figura 24 apresenta os espectros do éter metalílico com diferentes concentrações de  $\text{Eu}(\text{fod})_3$ , onde os sinais dos hidrogênios olefínicos não coalescem, porque ambos deslocam-se para campo baixo, sendo que para  $H_A$  o deslocamento é maior.

Embora os grupos OH e OMe que contém sítio para-complexação com o ion metálico estejam em carbono  $\text{sp}^3$ , podendo estar em várias posições em relação aos hidrogênios olefínicos, Figura 21, em todas as possíveis posições assumidas pela livre rotação, a distância com o hidrogênio *cis* ao grupo  $\text{CH}_2-\text{Z}$  é sempre menor. É bem estabelecida pe la Eq. 9 de Mc Connell e Robertson, que o deslocamento induzido depende da distância ( $r^3$ ).

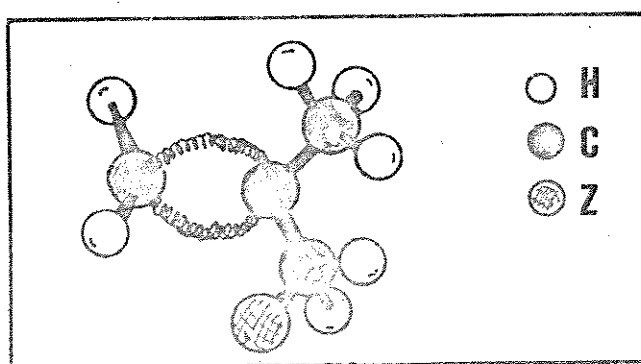


Figura 21. Modelo "stick-ball" da molécula dos compostos metalílicos.

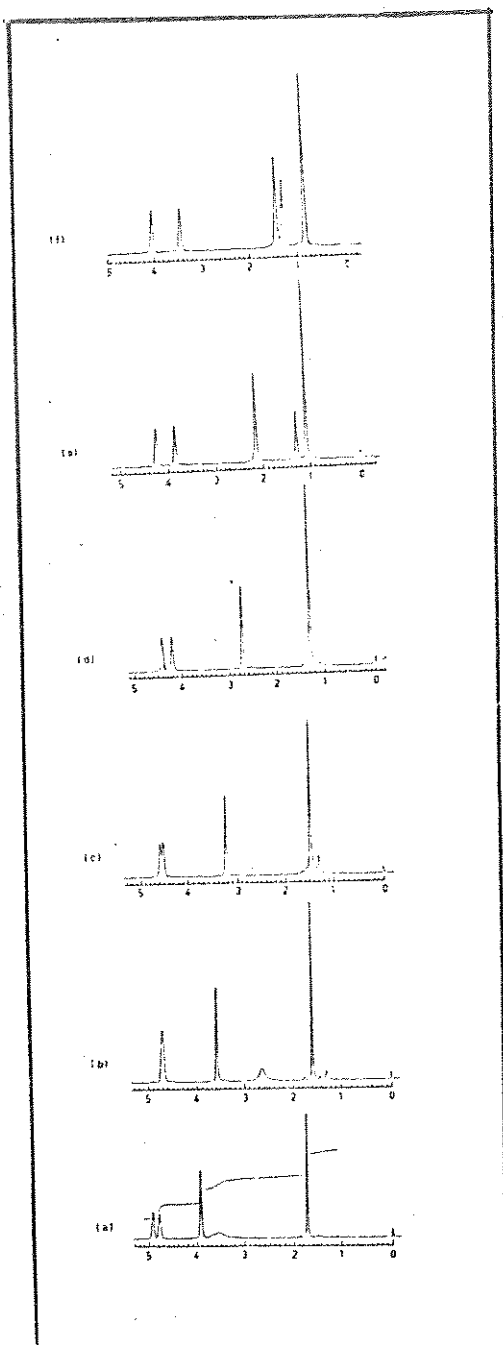


Figura 22. Espectro de n.m.r. de  $^1\text{H}$  do álcool metallílico(3).  
em  $\text{CCl}_4$ , (b) a (f) com incrementos adicionais de  
 $\text{Pn}(\text{Fod})_3$ ,

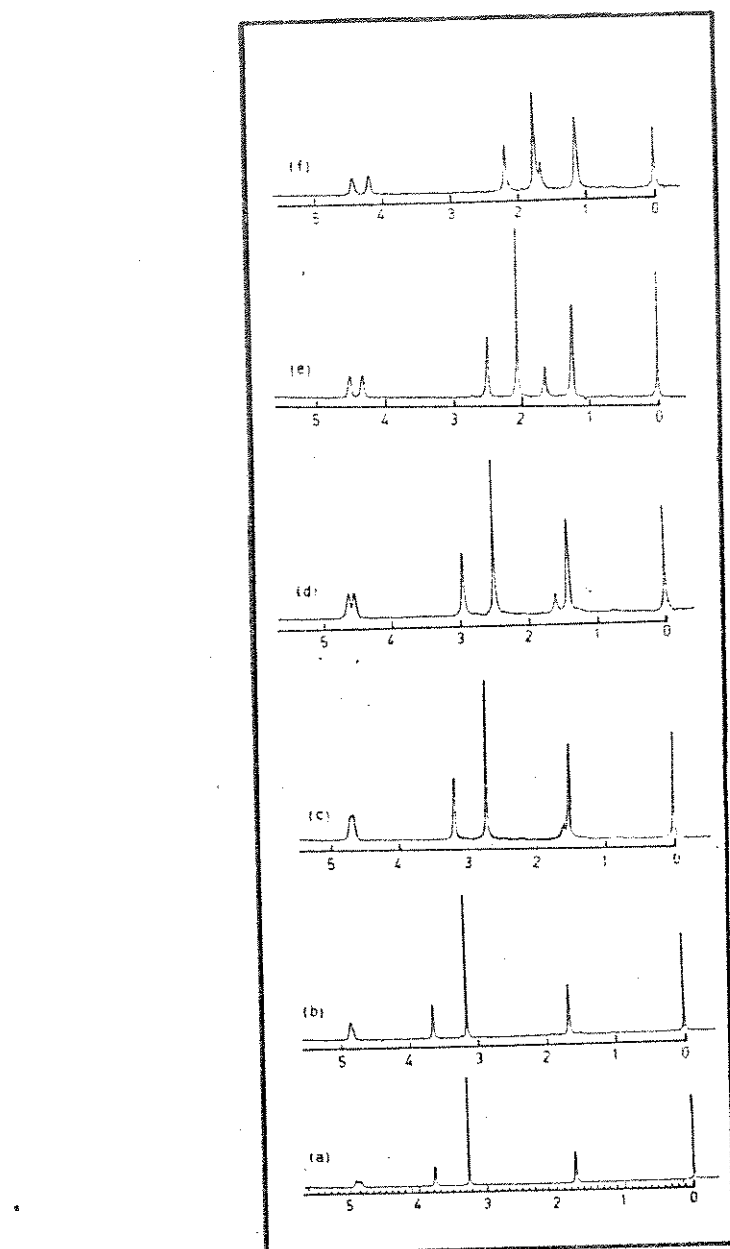


Figura 23. Espectro de n.m.n. de  $^1H$  do éter metalilico(11), em  $CCl_4$ , (b) a (f) com incrementos adicionais de  $Pn(fod)_3$ .

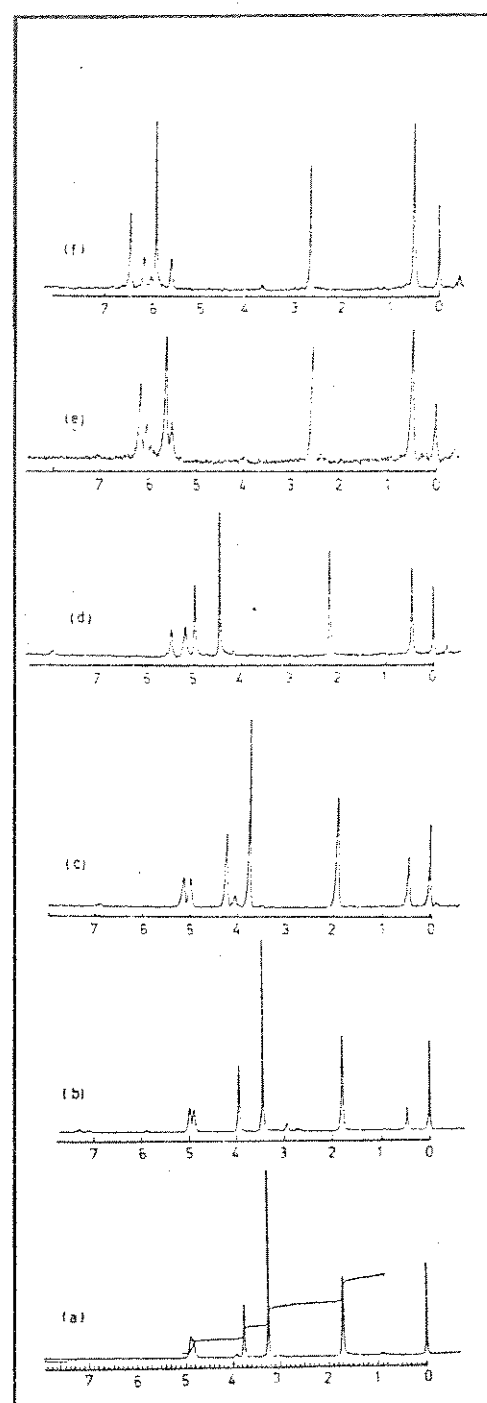


Figura 24. Espectro de n.m.r. de  $^1\text{H}$  do éter metalílico (11), em  $\text{CCl}_4$ , (b) a (f) com incrementos adicionais de  $\text{Eu}(\text{Lod})_3$ .

Concluindo-se que a atribuição correta para os hidrogênios olefínicos nestes compostos é que  $H_A$ , o hidrogênio em campo mais baixo está *cis* ao grupo  $\text{CH}_2\text{-Z}$  e  $H_B$  o hidrogênio que absorve em campo mais alto está *trans* a este grupo. (Fig.21).

Além da observação espectral, que foi discutida, usou-se o método gráfico correlacionando os deslocamentos-químicos induzidos vs a razão molar entre o reagente de deslocamento e o substrato [RD] / [S].

O método gráfico por nós utilizado está descrito na página 29, Ref. 70 e 71. Este método corrige os desvios da linearidade, utilizando os valores dos deslocamentos químicos, medidos diretamente do espectro, para determinar novas concentrações, chamadas de concentrações "corrigidas".

Estas novas concentrações são determinadas por que na realidade a simples relação [RD] / [S] experimental não pode ser determinada com precisão, não refletindo a proporcionalidade entre os deslocamentos induzidos e esta relação, conduzindo a gráficos não lineares.

Nas Figuras 25,26 e 27, temos os gráficos obtidos usando os valores "corrigidos", estes gráficos foram construídos à partir dos dados listados nas Tabelas 6, 7 e 8.

Também foram feitas experiências com 3-N,N-dietil amino-2-metilpropeno (6), com  $\text{Pr}(\text{fod})_3$ , observando-se também um maior deslocamento induzido para o hidrogênio de campo mais baixo, entretanto não usou-se o método gráfico porque após a quinta adição do reagente de deslocamento os sinais tornaram-se alargados, ficando difícil de determinar exatamente os deslocamentos químicos.

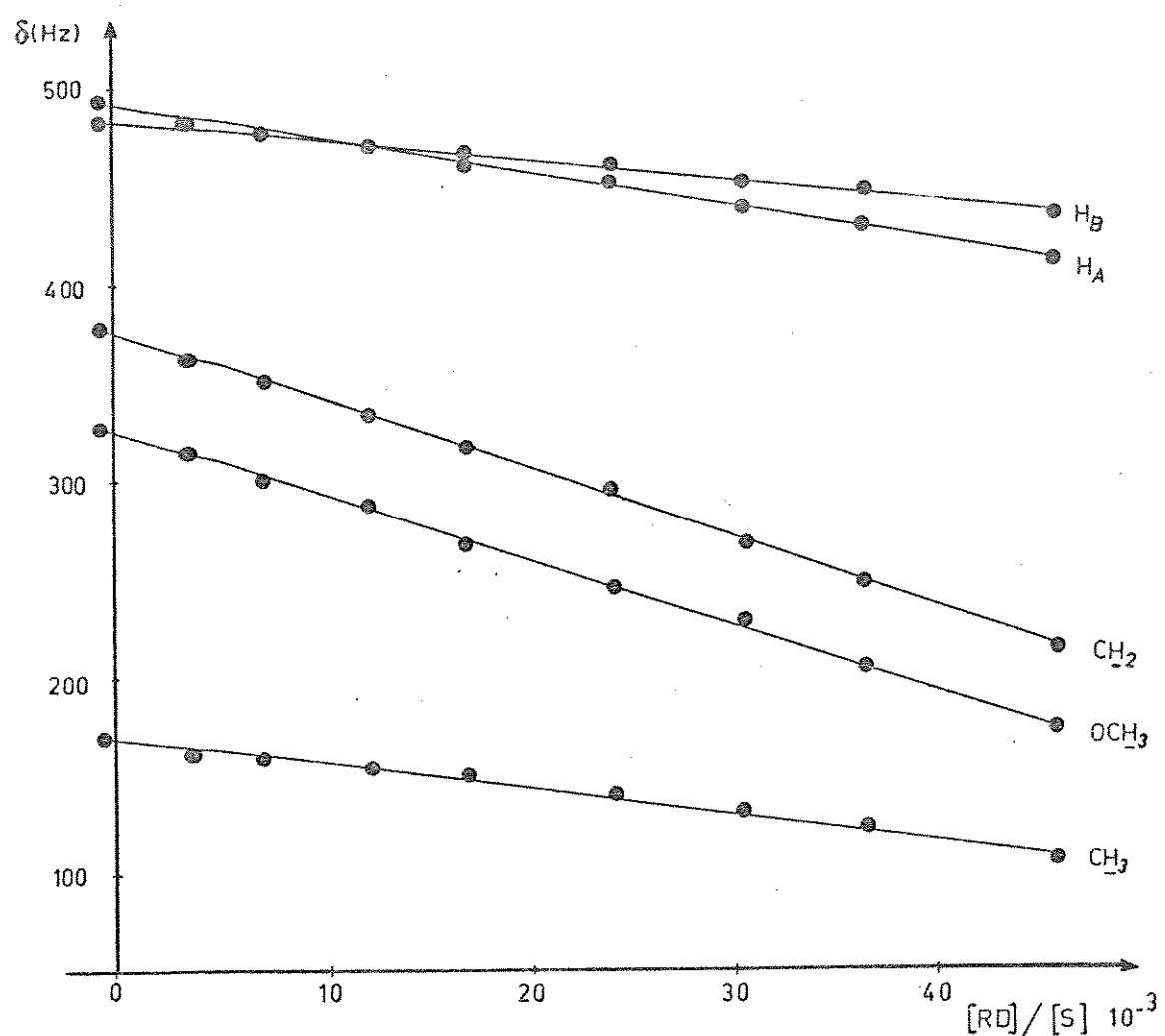


Figura 25. Variações dos deslocamentos químicos induzidos com a relação molar  $[RO] / [S]$  para os hidrogênios do 3-metóxi-2-metilpropeno na presença de Prf $\beta$ odI<sub>3</sub>.

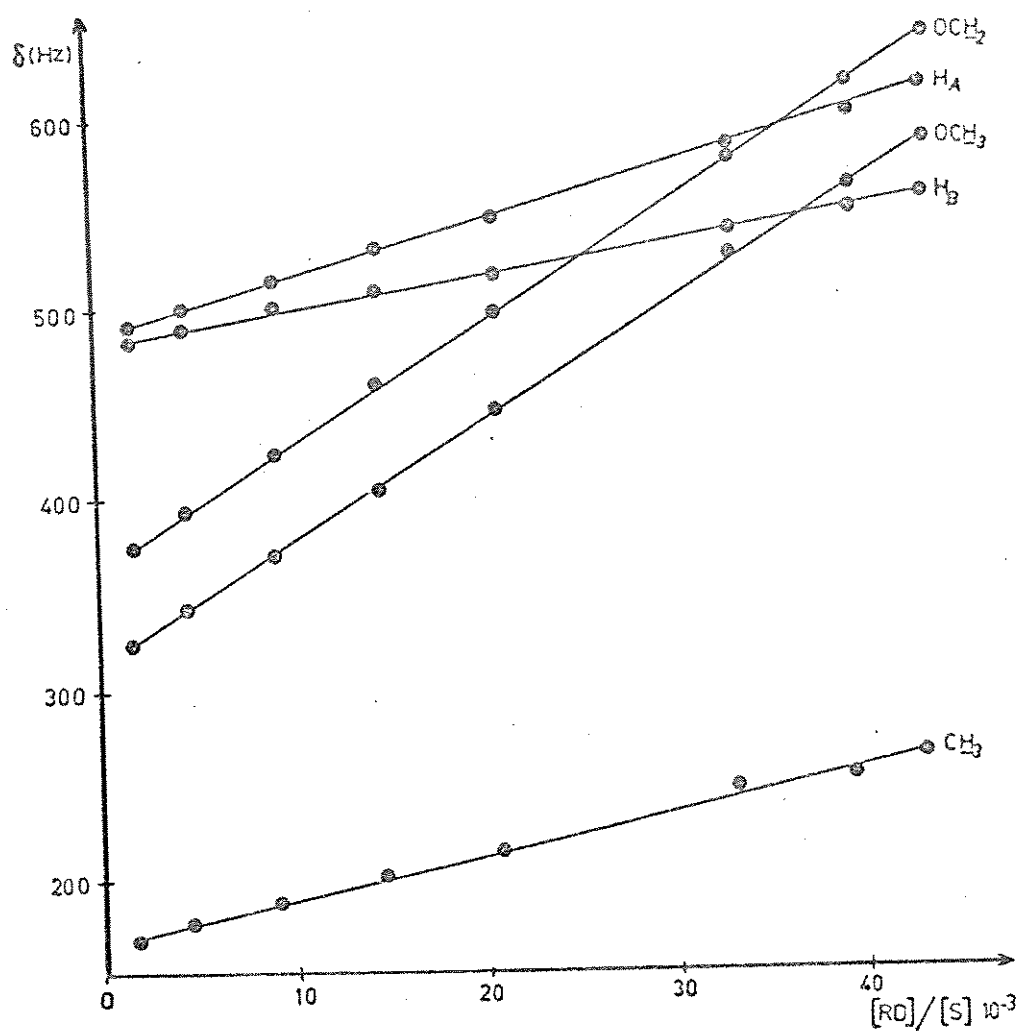


Figura 26. Variação dos deslocamentos químicos induzidos com a relação molar  $[RO]/[S]$  para os hidrogênios do 3-metóxi-2-metilpropeno na presença de  $\text{Eu}(\text{fod})_3$ .

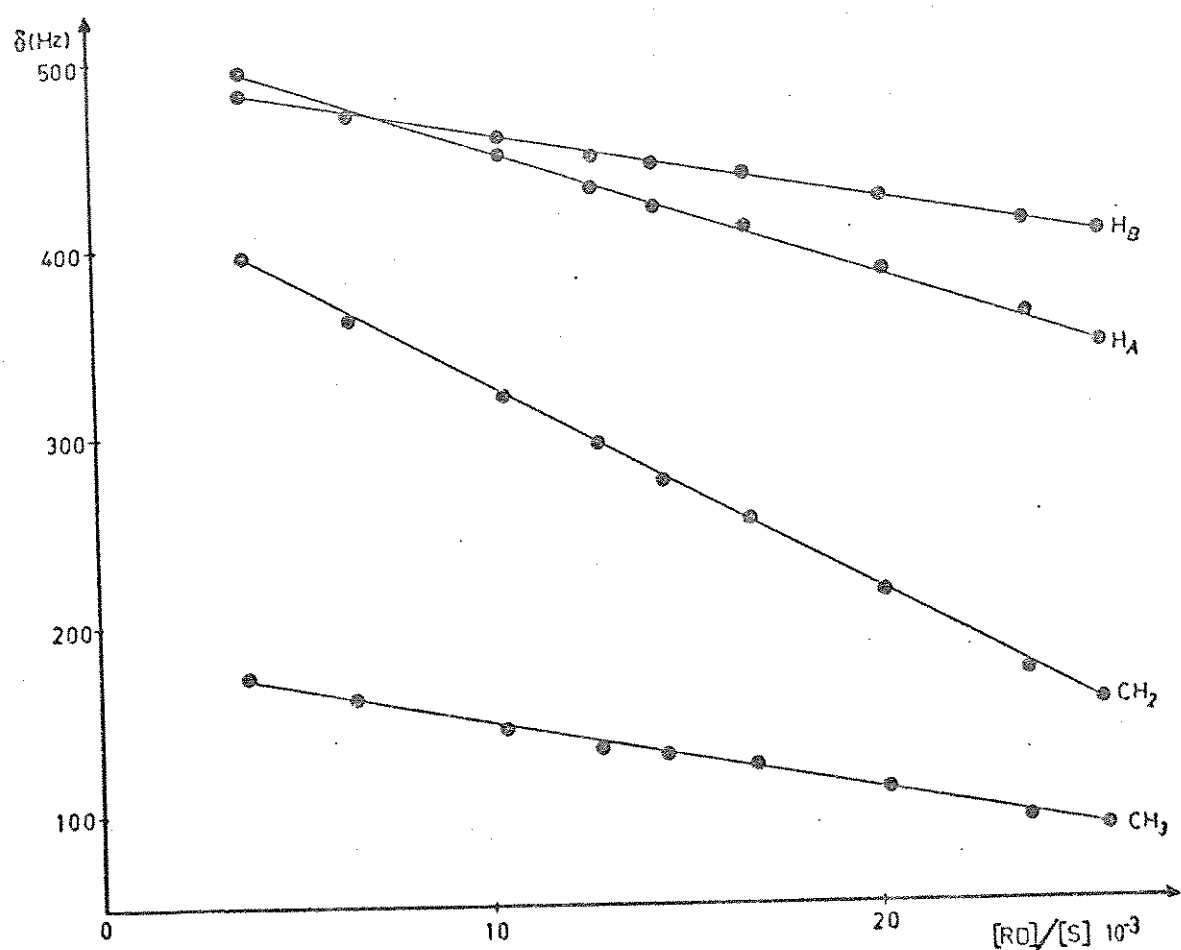


Figura 27. Variação dos deslocamentos químicos induzidos com a relação molar  $[RO] / [S]$  para os hidrogénios do 2-metilpropen-3-ol na presença de  $\text{Pr}(\text{fod})_3$ .

TABELA 6. Deslocamentos químicos induzidos por Pr(fod)<sub>3</sub>, para 2-metilpropen -3-ol em CCl<sub>4</sub>.  
 (CH<sub>2</sub>=C(CH<sub>3</sub>)CH<sub>2</sub>OH)

AMOSTRA	[RD] / [S] x 10 <sup>-3</sup>	$\Delta \nu$ (Hz) <sup>c</sup>			
		H <sub>A</sub>	H <sub>B</sub>	CH <sub>2</sub>	CH <sub>3</sub>
1 <sup>b</sup>	3,69	493	480	395	174
2	6,55	472	472	360	161
3	10,39	450	457	321	144
4	12,83	434	449	294	136
5	14,57	422	443	274	132
6	16,30	411	438	254	126
7	20,02	386	425	216	112
8	23,82	364	413	174	96
9	25,64	347	406	158	92

<sup>a</sup> valor "corrigido" pela Equação (10). <sup>b</sup> amostra sem Pr(fod)<sub>3</sub>, <sup>c</sup> posição do sinal em relação ao sinal do TMS.

TABELA 7. Deslocamentos químicos induzidos por Pr(fod)<sub>3</sub>, para 3-metóxi-2-metilpropeno em CCl<sub>4</sub>.  
 (CH<sub>2</sub>=C(CH<sub>3</sub>)CH<sub>2</sub>OMe)

AMOSTRA	[RD] / [S] x 10 <sup>-3</sup>	$\Delta \nu$ (Hz) <sup>c</sup>				
		H <sub>A</sub>	H <sub>B</sub>	CH <sub>2</sub>	OCH <sub>3</sub>	CH <sub>3</sub>
1 <sup>b</sup>	-0,48	492	486	377	326	170
2	3,35	483	483	364	315	165
3	6,69	479	479	351	302	160
4	12,05	471	471	334	287	154
5	16,81	464	467	317	269	149
6	23,64	452	460	294	247	140
7	30,18	439	453	268	233	130
8	36,63	431	449	247	204	123
9	45,61	417	441	215	173	112

<sup>a</sup> valor "corrigido" pela Equação (10). <sup>b</sup> amostra sem Pr(fod)<sub>3</sub>, <sup>c</sup> posição do sinal em relação ao sinal do TMS.

TABELA 8. Deslocamentos químicos induzidos por  $\text{Eu}(\text{fod})_3$  para 3-metóxi-2-metilpropeno em  $\text{CCl}_4$ .  
 $(\text{CH}_2=\text{C}(\text{CH}_3)\text{CH}_2\text{OMe})$

AMOSTRA	$[\text{RD}] / [\text{S}]^a \times 10^{-3}$	$\Delta \nu (\text{Hz})^c$				
		$\text{H}_A$	$\text{H}_B$	$\text{CH}_2$	$\text{OCH}_3$	$\text{CH}_3$
1 <sup>b</sup>	1,75	492	486	377	326	170
2	4,66	500	490	394	342	178
3	9,18	514	500	423	370	188
4	14,78	531	508	460	406	202
5	14,78	548	518	498	446	216
6	33,87	584	542	582	529	250
7	39,29	604	552	618	564	257
8	43,16	616	558	644	588	266

<sup>a</sup> valor "corrigido" pela Equação (10). <sup>b</sup> amostra sem  $\text{Eu}(\text{fod})_3$ , posição do sinal em relação ao sinal do TMS.

### 2.1.2. EFEITO NUCLEAR OVERHAUSER.

Na tentativa de utilizar o efeito nuclear Overhauser, para atribuir os hidrogênios olefinicos ( $\text{H}_A$  e  $\text{H}_B$ ), utilizou-se dois métodos para medidas do NOE:

a) Pela integração dos hidrogênios após o NOE: - nesta técnica promove-se a irradiação de uma das ressonâncias em questão, com um campo secundário, observando simultaneamente a variação na intensidade dos sinais dos outros núcleos através do integrador.

O composto metalílico utilizado para esta experiência, foi o 3-cloro-2-metilpropeno, por apresentar uma razoável diferença entre os deslocamentos químicos de seus hidrogênios olefinicos.

A irradiação foi promovida no grupo  $\text{CH}_3$ , pois como a magnitude do NOE é também determinada pela distância entre os núcleos, esperaríamos que o hidrogênio olefinico *cis* ao grupo metila, sofresse um maior NOE. Entretanto, como podemos observar na Figura 28, onde temos a integra-

ção normal dos hidrogênios olefínicos (a) e a integração - destes, quando o grupo  $\text{CH}_3$  é irradiado (b), a variação da integração observada é muito pequena, praticamente desprezível. Neste caso não podemos utilizar a medida do NOE como critério de atribuição, desde que a modificação da integração está dentro do erro experimental do aparelho.

Este resultado insatisfatório, pode ser atribuído a diversos fatores, entre eles, uma possível contribuição intramolecular, que é conhecida<sup>41</sup> por diminuir o NOE, devido a possibilidade de relaxação do  $\text{H}_B$  pelo  $\text{H}_A$  que está - em uma posição geminal, como também a proximidade da ressonância dos dois hidrogênios olefínicos, que podem ser afetadas quando a ressonância do grupo  $\text{CH}_3$  é saturada.

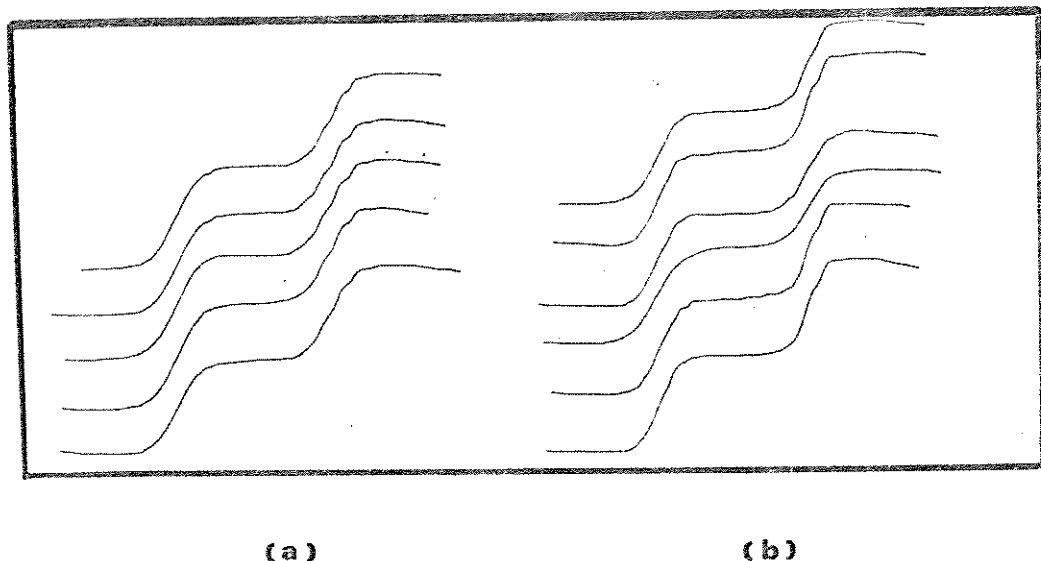


Figura 28. NOE para os hidrogênios olefínicos do 3-cloro-2-metilpropeno, em  $\text{CCl}_4$  (a) integração normal (b) irradiando o grupo  $\text{CH}_3$ .

b) NOE diferencial: esta técnica consiste na obtenção de dois espectros, um em condições normais e outro - com dupla irradiação, defasados de  $180^\circ$ , e a soma destes espectros resultará na destruição de picos de iguais intensi-

dades e um sinal para as absorções que apresentarem aumento de intensidade, resultado do efeito NOE. Este programa poderá ser repetido n vezes no caso de amostras diluidas. Esta técnica permite observar o efeito NOE com mais precisão do que com o método de integração, e o erro experimental depende do aparelho que está sendo registrado, estando relacionado com a precisão do ajuste de fase.

A técnica de NOE diferencial, foi feita para o 2-metilpropen -3-ol ( álcool metalílico), na Bruker, da Alemanha, em um aparelho Bruker a 250 MHz. Conforme Figura 29,- o efeito NOE foi observado para o hidrogênio do grupo OH, - devido sua maior proximidade com o grupo CH<sub>3</sub>, irradiado, não sendo observado para os hidrogênios olefínicos.

## 2.2 INTERPRETAÇÃO DOS DADOS DE RMN DE <sup>1</sup>H.

### 2.2.1. DESLOCAMENTOS QUÍMICOS.

Os deslocamentos químicos dos hidrogênios olefínicos ocorrem na região entre 5,15 a 4,76 ppm em relação ao sinal do TMS, sofrendo desproteção quando se compara esses valores com os dos deslocamentos químicos do 2-metilpropeno.

Os hidrogênios do grupo metíleno sofrem o efeito-direto do substituinte, tendo sua ressonância entre 2,81 a 3,99 ppm, sendo de 1,68 ppm para o composto não substituído.

A variação no deslocamento químico dos hidrogênios do grupo metila, não é tão pronunciada 1,70 a 1,89 ppm, devido a distância do heteroátomo e a posição oposta no plano da molécula.

Na Tabela 9 , estão listados os deslocamentos químicos de todos os hidrogênios dos 2-metilpropenos 3-substituídos.

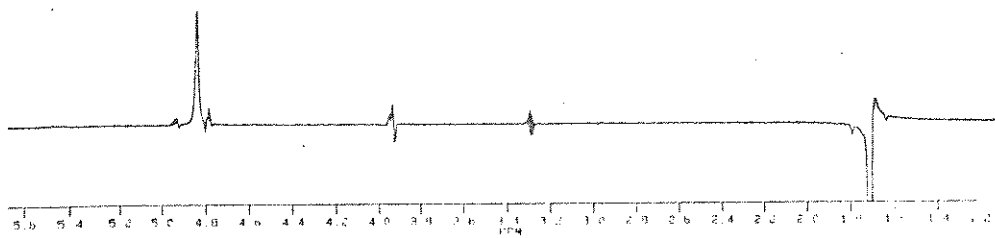
A introdução do substituinte Z, na posição 3, causa uma não equivalência química nos hidrogênios olefínicos-

## NOE DIFFERENCE-SPECTRUM SAMPLE III



MONO:200  
AU PROB:  
NCE11F,AU  
DATE 23-10-85  
TIME 9:41

SA,NA TT  
SA,NO HOMO 101  
SOLVENT Aceton  
SF 250.133  
SF0 0.0  
SF02 0.0  
SF2 250.133  
SI 90.130.200  
SI 430.200  
SI 655.36  
TD 655.36  
SX 1146.789  
SX2 1146.789  
HZ/P1 0.035  
VD 0.0  
PH 2.0  
RD 0.0  
AQ 28.574  
RG 4  
NS 80  
TE 237



## SAMPLE II



MONO:100  
AU PROB:  
NCE11F,AU  
DATE 23-10-85  
TIME 9:17

SA,NA TT  
SA,NO HOMO 101  
SOLVENT Aceton  
SF 250.133  
SF0 0.0  
SF02 0.0  
SF2 250.133  
SI 90.130.200  
SI 430.200  
SI 655.36  
TD 655.36  
SX 1146.789  
SX2 1146.789  
HZ/P1 0.035  
VD 0.0  
PH 2.0  
RD 0.0  
AQ 28.574  
RG 4  
NS 80  
TE 237  
DE 545.0  
DR 12

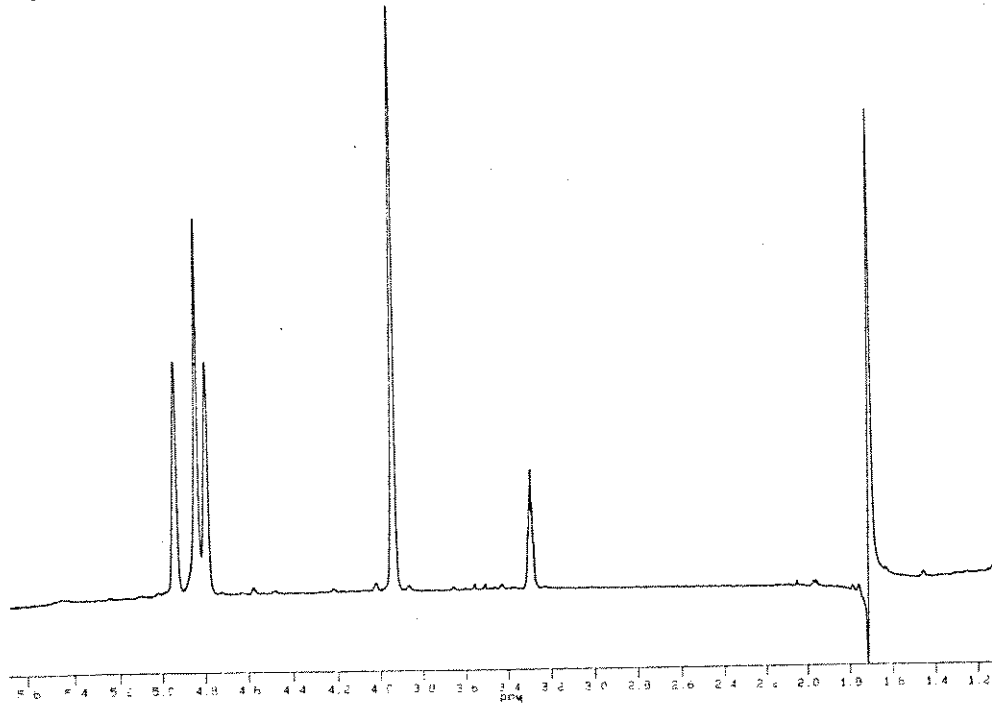


Figura 29. NOE diferencial para o álcool metálico(3).

resultando deslocamentos químicos diferentes para estes hidrogênios. No caso do 3-N,N-dimetilamino-2-metilpropeno (5) e 3-etiltio-2-metilpropeno (7), os sinais destes hidrogênios são tão próximos e estão de tal forma sobrepostos que não é possível distingui-los, ver Figura 30.

TABELA 9. Deslocamentos químicos (em ppm) dos  $^1\text{H}$  para 2-metilpropenos-3-substituidos.

Z	(B) H	C =	CH <sub>3</sub> (X <sub>3</sub> )	CH <sub>2</sub> (M <sub>2</sub> )	CH <sub>3</sub> (X <sub>3</sub> )	CH <sub>3</sub>	CH <sub>2</sub>
	H(A)	C	CH <sub>2</sub> -Z (M <sub>2</sub> )				
H <sup>®</sup>	4,63	4,63	1,68	1,68	-	-	-
Cl	5,07	4,93	3,99	1,89	-	-	-
Br	5,13	4,93	3,89	1,86	-	-	-
I	5,22	4,90	3,89	1,94	-	-	-
OH	4,94	4,79	3,94	1,72	-	-	-
OCH <sub>3</sub>	4,92	4,86	3,75	1,70	3,26	-	-
OCH <sub>2</sub> CH <sub>3</sub>	4,93	4,84	3,82	1,72	1,18	3,40	-
N(CH <sub>3</sub> ) <sub>2</sub>	4,80	4,80	2,81	1,77	2,19	-	-
N(CH <sub>2</sub> CH <sub>3</sub> ) <sub>2</sub>	4,84	4,77	2,88	1,71	0,98	2,43	-
SH*	4,90	4,76	3,12	1,88	-	*1,25	-
SCH <sub>3</sub>	4,92	4,90	3,08	1,84	1,95	-	-
SCH <sub>2</sub> CH <sub>3</sub>	4,76	4,76	3,03	1,80	1,20	2,35	-
COOCH <sub>3</sub> <sup>+</sup>	6,06	5,52	-	1,94	3,75	-	-
OSO <sub>2</sub> CH <sub>3</sub>	5,15	5,07	4,60	1,86	2,98	-	-

+ o grupo COOCH<sub>3</sub> está ligado diretamente no carbono sp<sup>2</sup>.

® Org. Magn. Reson. 19, 37 (1982).

A comparação dos deslocamentos químicos dos hidrogênios dos 2-metilpropenos 3-substituídos, com os hidrogênios do 2-metilpropeno, mostra uma considerável desproteção em todos os hidrogênios, a qual não pode ser atribuída somente ao efeito indutivo do substituinte, desde que tentativas de correlacionar a eletronegatividade dos grupos Z, com

os deslocamentos químicos dos hidrogênios não forneceram nenhuma relação direta.

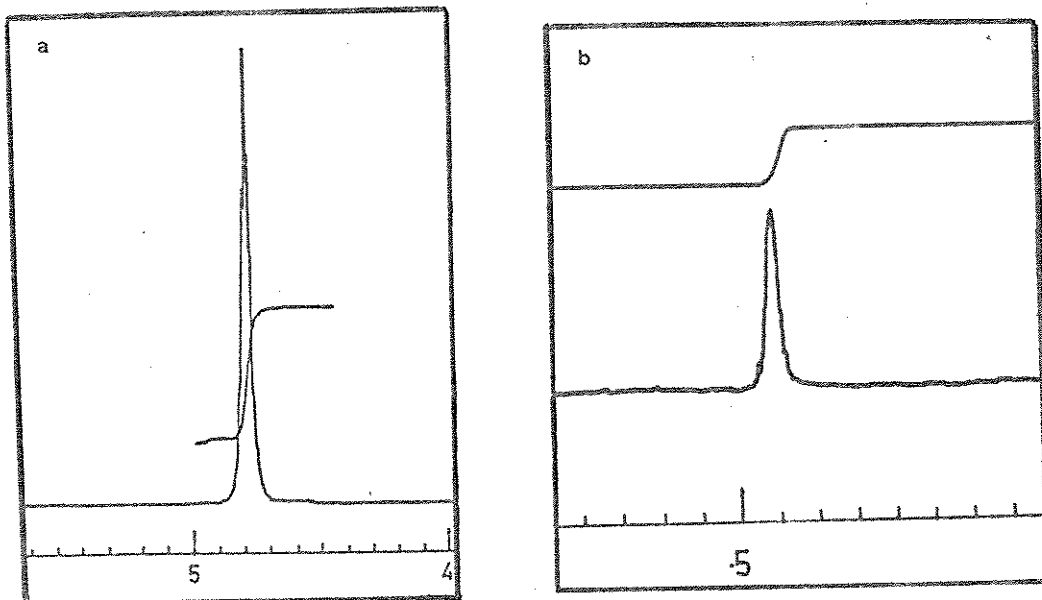


Figura 30. Sinal de ressonância dos hidrogênios definidos  
 (a) para 3-etiltio-2metilpropeno (7)  
 (b) para 3-N,N-dimetilamino-2-metilpropeno (5)

Se considerarmos a eletronegatividade dos heteroátomos, halogênios, oxigênio, enxofre... deveríamos observar uma maior desproteção para os hidrogênios dos compostos oxigenados, o que não ocorre, confirmando que a eletronegatividade não é a única contribuição para a desproteção observada. A anisotropia magnética da ligação dupla e efeitos conformacionais, parecem estar contribuindo para a desproteção dos hidrogênios.

Os 2-metilpropenos 3-substituídos, devido à livre rotação da ligação  $sp^2$ - $sp^3$  do carbono que contém o substituinte (Fig. 21), podem assumir as conformações eclipsada (*syn*), gauche e bissectada (*anti*).

Neste trabalho, adotaremos a nomenclatura *syn*, *gauche* e *anti*, Figura 31, conforme as regras de Klyne e Prelog<sup>8</sup>, para descrever as possíveis conformações dos compostos metalílicos, desde que os ângulos entre o grupo metíleno olefínico e o substituinte Z não são conhecidos, e esta nomenclatura é utilizada para cetonas<sup>10</sup>,

para indicar a posição do substituinte em relação a ligação C=O.

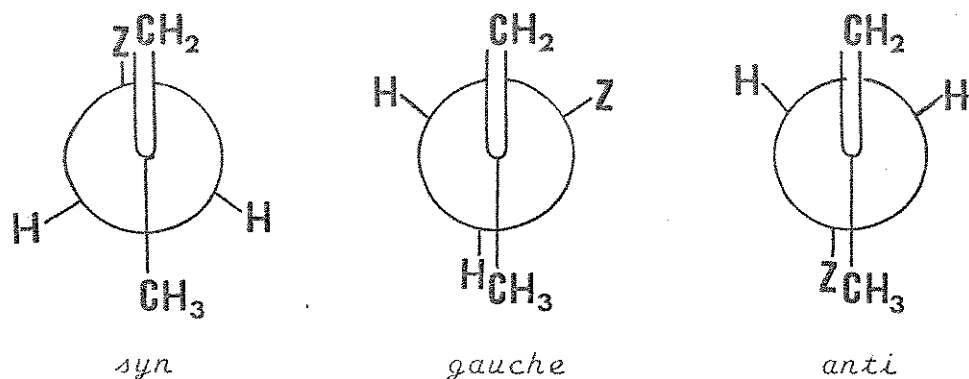


Figura 31. Conformações dos 2-metilpropenos 3-substituídos.

Pela inspeção dos deslocamentos químicos dos hidrogênios olefínicos (Tabela 9), observa-se que na série dos halogênios, o H<sub>A</sub> (*cis*), sofre desproteção na seguinte ordem I > Br > Cl , sendo o inverso da eletronegatividade.

Embora efeitos conformacionais possam contribuir para esta desproteção, no caso de hidrogênios este efeito deve ser muito pequeno , desde que os deslocamentos químicos de <sup>1</sup>H não são tão sensíveis a efeitos conformacionais quanto <sup>13</sup>C. Um outro efeito que deve ser considerado é o efeito de anisotropia magnética do heteroátomo, que tem sua origem na circulação de elétrons ao seu redor e induz um campo secundário, que afeta o deslocamento químico dos hidrogênios da sua vizinhança.

A direção resultante do campo elétrico local para cada núcleo de hidrogênio é tal que a ressonância dos hidrogênios se desloca para campo baixo.

No caso de compostos metalílicos halogenados a desproteção observada para os hidrogênios, pode ser atribuí

ida ao efeito de anisotropia do grupo vizinho. A ordem de desproteção citada anteriormente, pode ser explicada pelo tamanho do halogênio, observa-se que a medida que diminui seu tamanho o efeito de anisotropia também diminui, sendo mais pronunciado para o hidrogênio *cis* ao halogênio.

Spiesecke e Schneider<sup>176</sup>, utilizaram um modelo molecular (Figura 32), para explicar o efeito de anisotropia de grupos vizinhos, para etanos substituídos com halogênio, que traduz de maneira bastante satisfatória o observado experimentalmente.

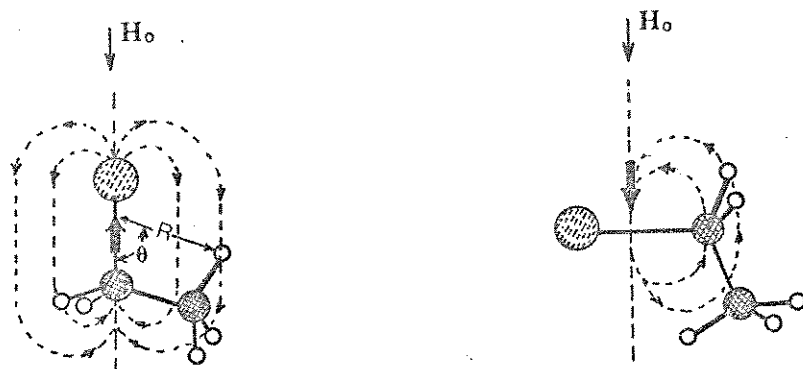


Figura 32.<sup>176</sup> Campo magnético induzido para  $\text{CH}_3\text{CH}_2\text{I}$  quando um campo  $H_0$  é aplicado.

No entanto para os compostos metalílicos oxigenados o  $H_A$  (*cis*) não sofre muita variação com o aumento do grupo ligado ao oxigênio, Z=OH 4,94 ppm, OMe 4,92 ppm e OEt 4,93 ppm, demonstrando que estes substituintes causam semelhantes efeitos sobre  $H_A$ . O mesmo ocorre para o  $H_B$ , com uma ligeira diferença no caso do álcool (Tabela 9), em relação aos éteres.

Nos compostos que apresentam nitrogênio, como por exemplo o grupo dimetilamino, na posição 3, observa-se uma sobreposição nos sinais de  $H_A$  e  $H_B$  (conforme Fig. 30), devido aos seus deslocamentos químicos serem muito semelhantes. Quando aumentamos o volume do substituinte ligado ao nitrogênio, ou seja no caso de Z =NET<sub>2</sub>, os hidrogênios ole-

finicos absorvem à frequências diferentes, podendo-se pensar que ocorram interações entre o grupo metila do composto metalílico e os grupos etila. Esta interação no entanto não é observada para Z= SET, onde também observa-se sobreposição de  $H_A$  e  $H_B$  (Figura 30), enquanto que para os de mais compostos de enxofre (SH e SMe), temos sinais diferentes para estes hidrogênios.

Portanto podemos concluir que dependendo da natura do heteroátomo e do volume dos grupos alquilas a ele ligados, teremos a predominância do efeito anisotrópico, da eletronegatividade ou do efeito estérico.

#### 2.2.2. CONSTANTES DE ACOPLAMENTO $^1H$ - $^1H$ .

Os 2-metilpropenos 3-substituidos, constituem um sistema de spin do tipo ABM<sub>2</sub>X<sub>3</sub>, sendo a parte AB, relativa aos hidrogênios olefínicos e M<sub>2</sub>X<sub>3</sub> devido aos hidrogênios - do grupo metíleno substituído e grupo metila.

Estes compostos apresentam os seguintes acoplamientos entre os hidrogênios de sua molécula : acoplamento-geminal,  $J_{gem}$ , entre os dois hidrogênios olefínicos ; acoplamento alílico,  $^4J$ , entre os hidrogênios olefínicos e os hidrogênios do grupo metila e metíleno substituído,  $^4J_{H,CH_3}$  e  $^4J_{H,CH_2}$ , podendo ser cisóide ou transóide de acordo com a posição em relação ao plano da molécula e o acoplamento-à longa distância, através de quatro ligações sigma, entre os hidrogênios do grupo metila e metíleno substituído. Estes acoplamentos estão esquematizados na Figura 33.

De maneira geral, estes acoplamentos apresentam valores muito pequenos, entre 2,3 e 0,4 Hz. A introdução do substituinte altera significativamente as constantes de acoplamento, observando-se que pequenas variações já são suficientes para modificar o aspecto dos sinais, e em alguns casos se torna difícil ou mesmo inviável uma análise-

de primeira ordem.

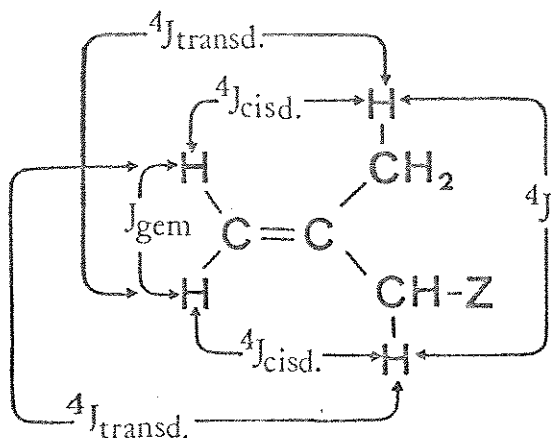


Figura 33. Acoplamentos entre os  $^1H$  dos 2-metilpropenos 3-substituidos.

Na Tabela 10, estão listados os valores obtidos para as constantes de acoplamento entre os hidrogênios dos 2-metilpropenos 3-substituidos.

Os sinais das constantes de acoplamento não foram determinados por este trabalho. Entretanto, os sinais para o acoplamento alílico, foram determinados para sistemas semelhantes como : propenos 2-substituidos<sup>100</sup> ( $\text{CH}_2=\text{C}(\text{CH}_3)\text{X}$ ) 2-metilpropenos 1-substituidos<sup>101</sup> ( $(\text{CH}_3)_2\text{C}=\text{CHX}$ ) e propenos - 3-substituidos<sup>93</sup> ( $\text{CH}_2=\text{CHCH}_2\text{X}$ ), obtendo sempre valores-negativos para estes sistemas. Podendo-se por analogia , considerar que para os compostos metalílicos , os acoplamentos alílicos ( $^4J_{\text{BM}}$ ,  $^4J_{\text{BX}}$ ,  $^4J_{\text{AX}}$  e  $^4J_{\text{MX}}$ ), devam também ser - negativos.

Por outro lado, para o acoplamento geminal  $^2J_{\text{AB}}$ , observa-se que não existe uma tendência geral para um de - terminado sinal, encontrando-se, por exemplo para compos-

tos vinílicos ( $\text{CH}_2=\text{CHX}$ )<sup>100</sup>,  $J_{\text{gem}}$  negativos e positivos, - sendo fortemente dependentes de X. Por este motivo não a tribuiremos sinais às constantes  $^2J_{\text{AB}}$  dos compostos metalílicos, considerando os valores tabelados (Tabela 10), como valores absolutos.

TABELA 10. Constantes de acoplamento (em Hz), dos 2-metilpropenos 3-substituídos.

Z	$(\text{B})\text{H} > \text{C} = \text{C}(\text{X})$					
	$^2J_{\text{AB}}$	$^4J_{\text{trans}}_{\text{BM}}$	$^4J_{\text{cis}}_{\text{BX}}$	$^4J_{\text{trans}}_{\text{AX}}$	$^4J_{\text{cis}}_{\text{AM}}$	$^4J_{\text{MX}}$
H <sup>a</sup>	-	-	1,25	1,25	-	-
Cl	1,60	-	1,40	0,90	0,80	-
Br	1,50	-	1,40	0,90	0,80	-
I	1,50	-	1,40	0,80	0,80	-
OH	2,10	1,10	1,50	0,90	1,55	0,50
OMe	2,25	0,90	1,45	0,95	1,40	0,45
OEt	2,30	0,90	1,50	1,00	1,40	0,50
NMe <sub>2</sub>	2,10	0,80	1,20	1,00	1,10	0,40
NET <sub>2</sub>	2,30	0,80	1,60	1,00	1,20	0,40
SH	1,60	1,20	1,40	0,80	1,00	-
SMe	1,60	0,80	1,40	0,80	1,00	-
SET	1,80	0,85	1,40	0,90	0,95	-

<sup>a</sup>Dados da Ref. 32

Para os compostos metalílicos halogenados (Cl, Br e I), as constantes de acoplamento são facilmente determinadas à partir da expansão de cada sinal, conforme podemos ver pelas Figuras 34 e 35.

No caso dos compostos metalílicos oxigenados, os quais apresentam seus sinais alargados, conforme Figuras - 36, 37 e 38, principalmente o álcool alílico, torna-se difícil determinar com precisão os valores das constantes de acoplamento por simples inspeção espectral. Para determinar com certeza os valores das constantes de acoplamento, foi irradiada simultaneamente e sucessivamente as ressonâncias dos grupos  $\text{CH}_2$  e  $\text{CH}_3$ , mas devido ao aumento da relação sinal/ruido, e a forma irregular e sobreposta das linhas não se pode medir as constantes de acoplamento para calcular o espectro por iteração<sup>177</sup> mesmo tendo-se usado o programa CORREL<sup>178</sup> para a acumulação de espectros, por isto ajustou-se gradualmente os valores das constantes de acoplamento, até reproduzir graficamente os espectros experimentais, mediante o programa NMRCAL. Estas experiências foram efetuadas na Universidade de Buenos Aires. Nas Figuras 39, 40 e 41, temos os espectros para o álcool metálico (3) e para os éteres metalílicos (11) e (12), onde podemos ver na parte superior os espectros expandidos obtidos experimentalmente, e na parte inferior os espectros simulados.

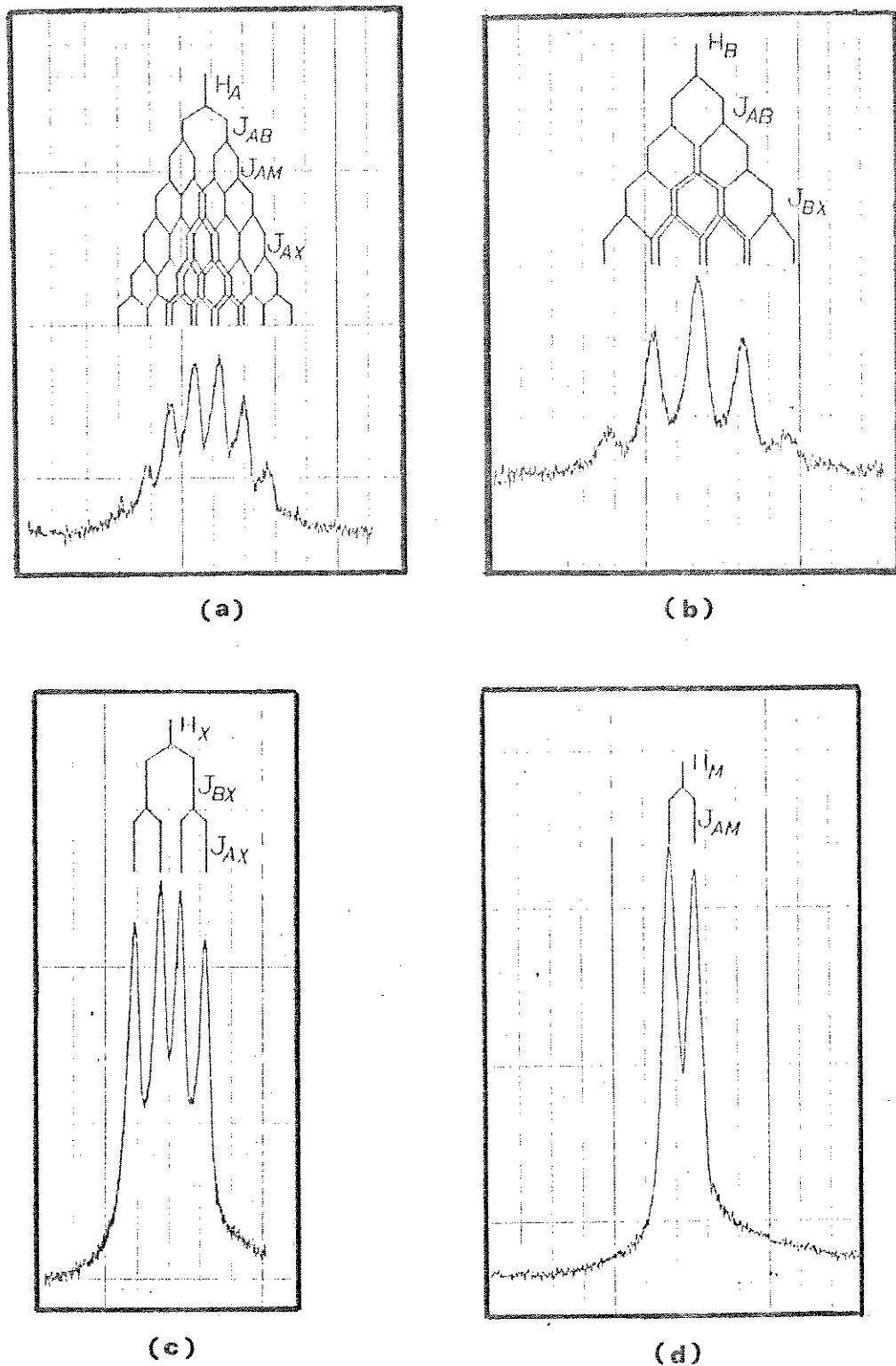


Figura 34. Expansão à 50Hz dos sinais dos hidrogênios do 3-íodo-2-metilpropeno (4), (a)-  $H_A$ , (b)-  $H_B$ , (c)- grupo  $CH_3$ , (d)- grupo  $CH_2$ .

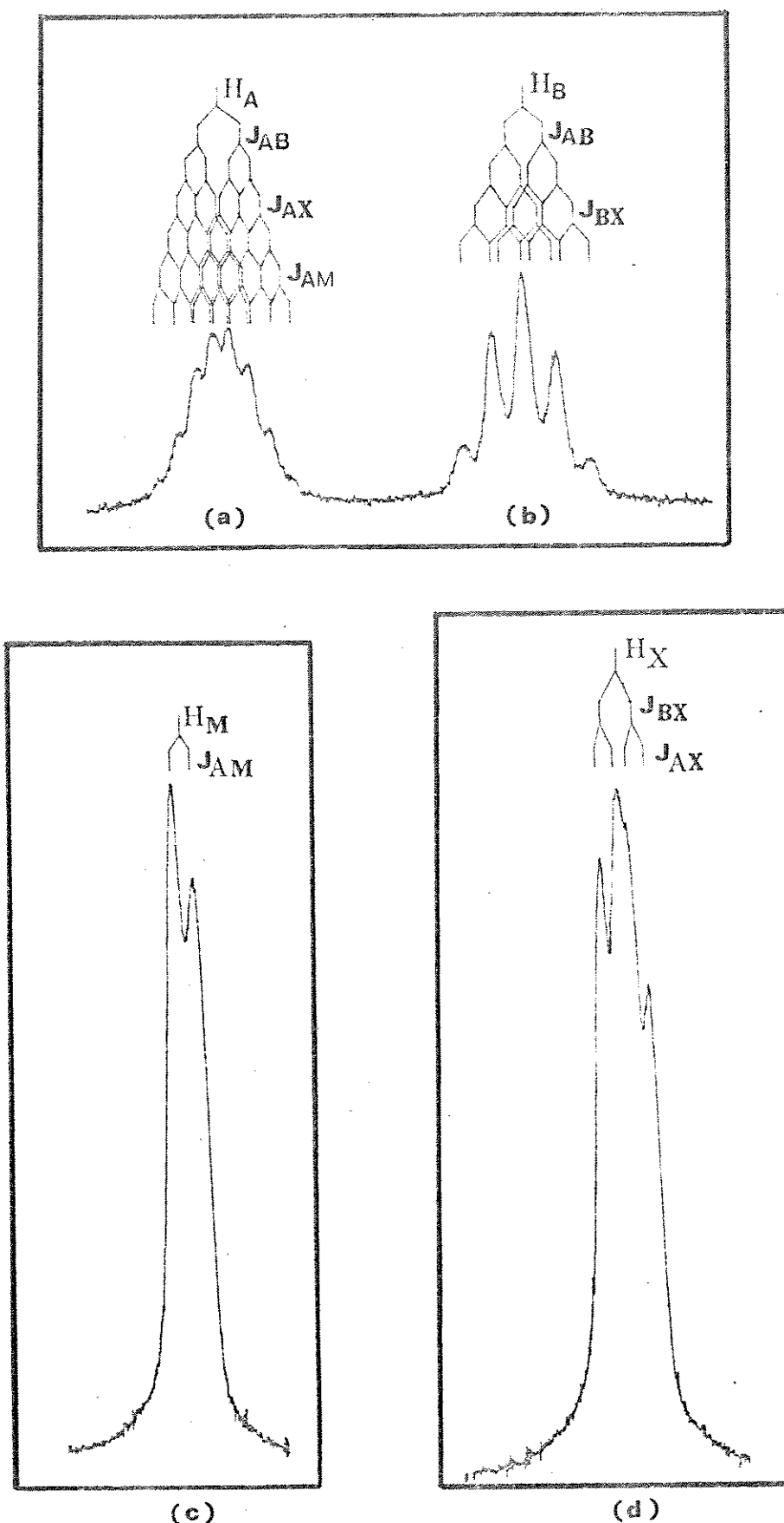


Figura 35. Expansão à 50 Hz dos sinais dos hidrogênios do 3-cloro-2-metilpropeno (1), (a)-  $H_A$ , (b)-  $H_B$ ; (c)- grupo  $CH_3$ , (d)- grupo  $CH_2$ .

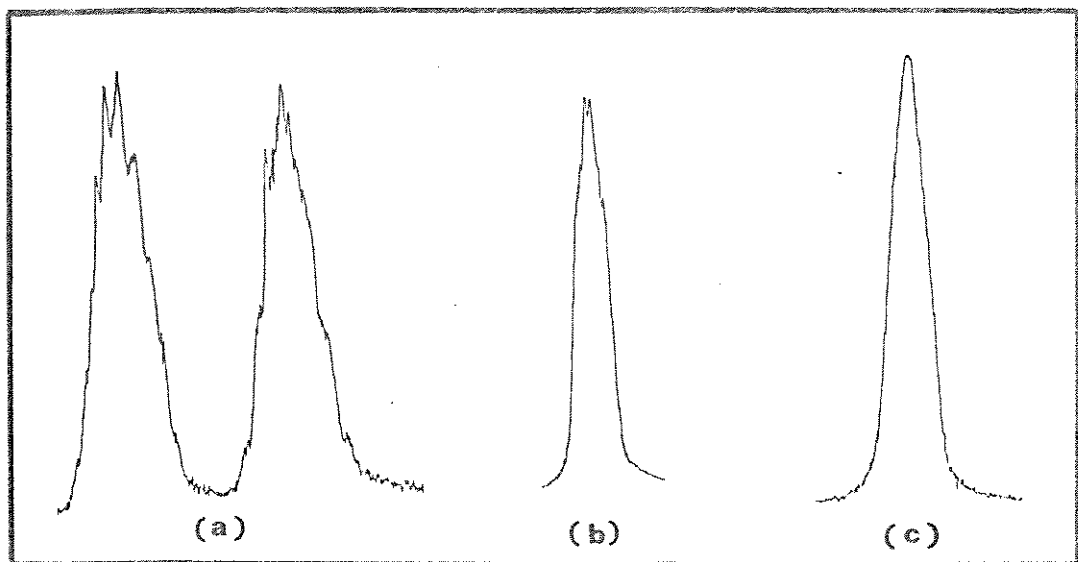


Figura 36. Expansão à 50Hz dos sinais dos hidrogênios do 2-metilpropen-3-ol (3). (a)- hidrogênios olefínicos, (b)- grupo  $\text{CH}_3$ , (c)- grupo  $\text{CH}_2$ .

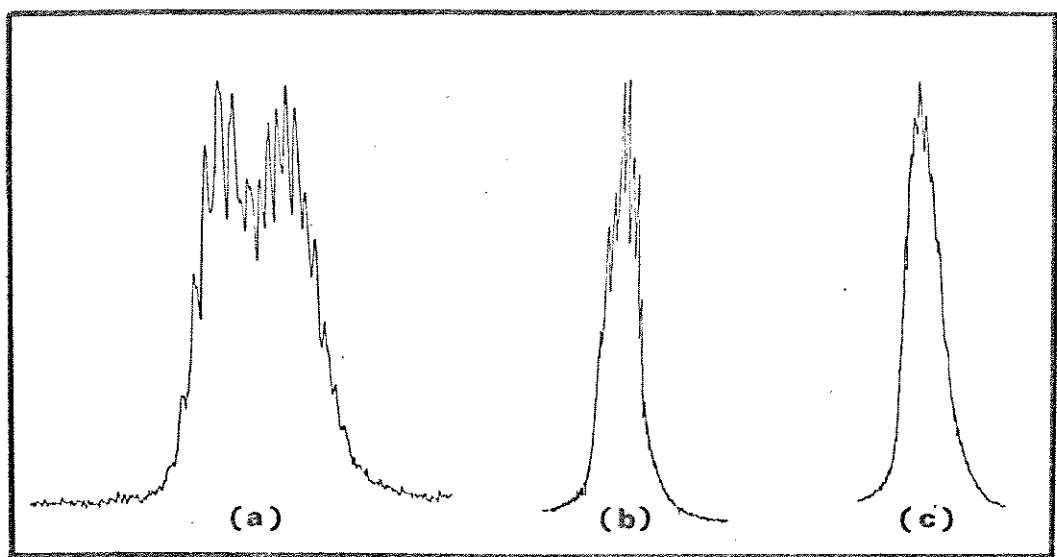


Figura 37. Expansão à 50Hz dos sinais dos hidrogênios do 3-metóxi-2-metilpropeno (11). (a)- sinais dos hidrogênios olefínicos, (b)-grupo  $\text{CH}_3$ , (c)-grupo  $\text{CH}_2$

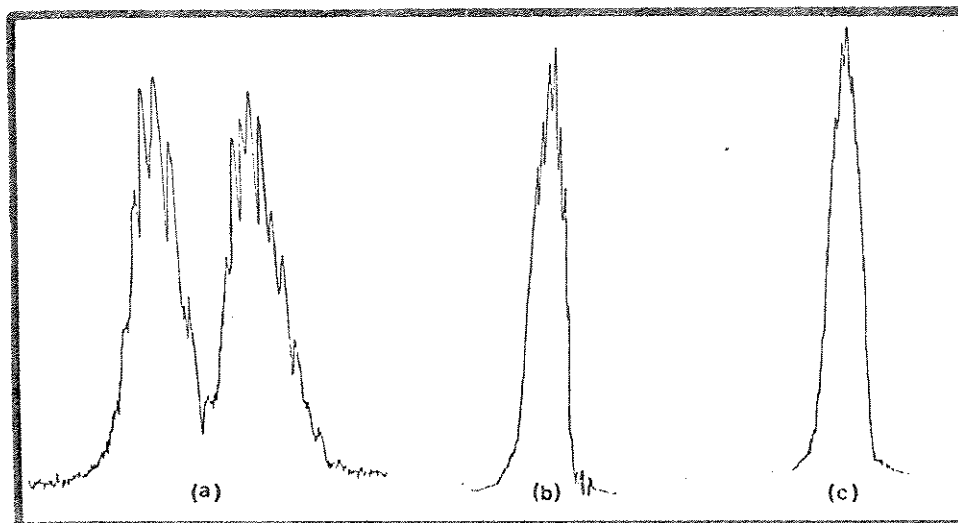


Figura 38. Expansão à 50 Hz dos sinais dos hidrogênios do 3-etoxi-2-metilpropeno (12). (a)- sinais dos hidrogênios olefinicos, (b)-grupo CH<sub>3</sub>, (c)- grupo CH<sub>2</sub>.

Para os demais compostos , os valores das constantes de acoplamento , determinados através do espectro foram usados na simulação de espectros pelo programa UEAITR conforme os exemplos apresentados nas Figuras 42,43 e 44 para os compostos , 3-tiol-2-metilpropeno (9) , 3-N,N-dimetilamino-2-metilpropeno (5) e 3-N,N-diethylamino-2-metilpropeno (6).

Técnicas de dupla ressonância também foram utilizadas para auxiliar na determinação das constantes de acoplamento, conforme podemos ver através das Figuras 45, 46 e 47.

Na Figura 45(a) , temos os sinal para os hidrogênios olefinicos de 3-N,N-Dietilamino-2-metilpropeno, em (b) o sinal destes hidrogênios com o desacoplador ligado na frequência de ressonância dos hidrogênios do grupo metila e em (c) o sinal dos hidrogênios elefínicos com a frequência do desacoplador centrada nos hidrogênios do grupo metíleno -

substituído, observando-se assim a modificação dos sinais - quando se elimina um dos acoplamentos. Ainda na Figura 45- temos os sinais dos hidrogênios dos grupos metila e metileno substituído, (d) normal e (e) quando a frequência do desacoplador é centrada na frequência dos hidrogênios olefínicos, observando-se que os sinais coalescem.

Nas Figuras 46 e 47 , temos os sinais para os hidrogênios do 3-tiol-2-metilpropeno e 3-metiltio-2-metilpropeno, onde observa-se também a modificação dos sinais.

A experiência de dupla ressonância, foi feita para os demais compostos metalílicos. Esta experiência foi executada em espectrômetro de 80MHz, o que dificultou em alguns casos a determinação das constantes de acoplamento - devido a proximidade dos sinais dos hidrogênios olefínicos- havendo sobreposição de linhas, conforme podemos ver nas Figuras 46 e 47.

A variação na magnitude do acoplamento alílico - com a natureza do substituinte , é dependente da posição em em que se encontra este substituinte no fragmento alílico,<sup>93,99,180</sup> (Figura 14), devido a sua grande sensibilidade a efeitos - conformacionais.

Os 2-metilpropenos 3-substituídos estudados neste trabalho, apresentam duas substituições no fragmento alílico; o grupo metila no carbono C-2 e o heteroátomo substituinte (Z) no carbono C-3. Estas substituições no fragmento alílico, causam variações na magnitude dos acoplamentos alílicos que discutiremos a seguir.

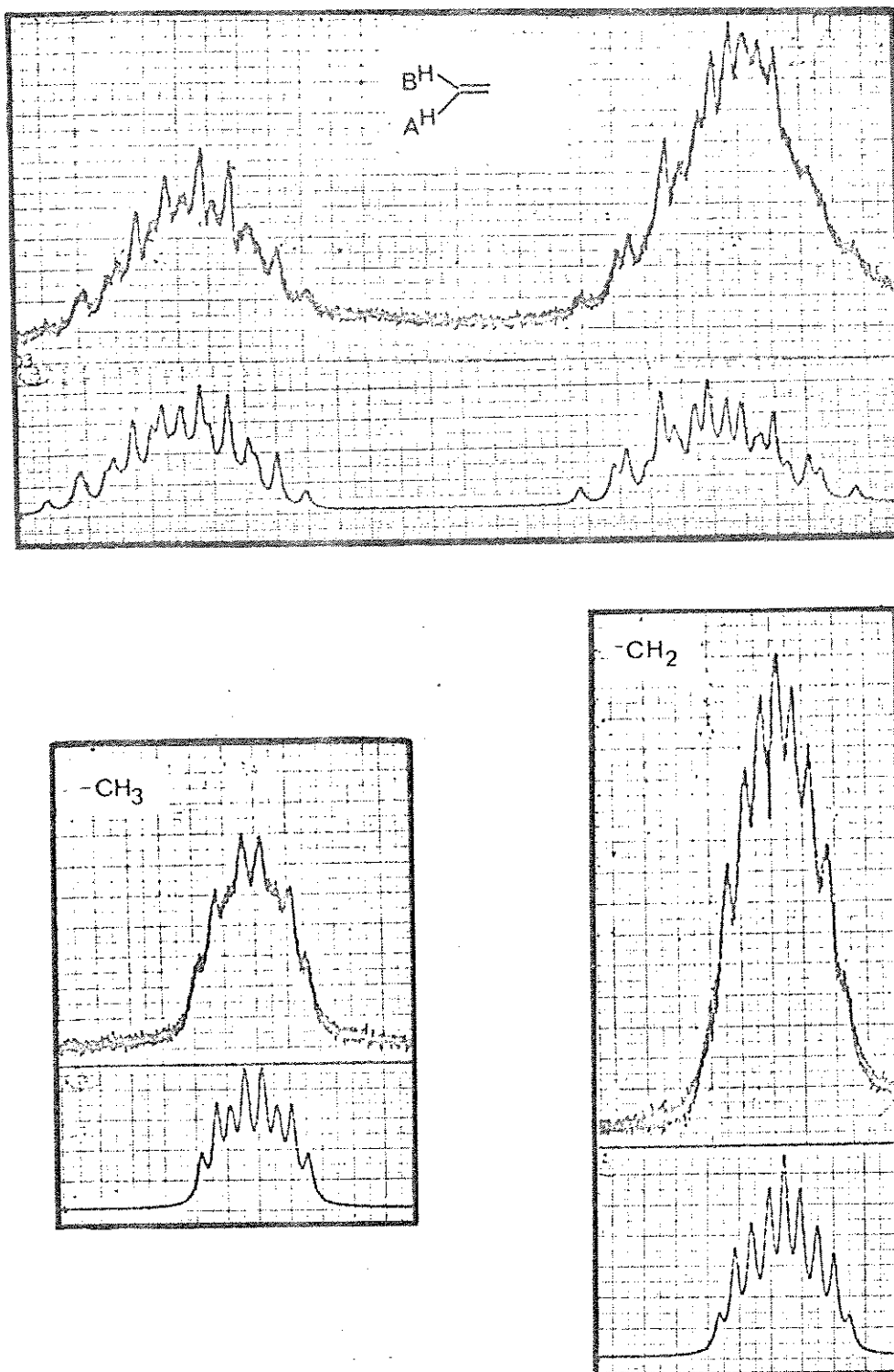


Figura 39. Expansão à 40Hz dos sinais aos hidrogénios do 2-metilpropeno-3-ol ( $\beta$ ), na parte superior espectros experimentais, na parte inferior espectros simulados.

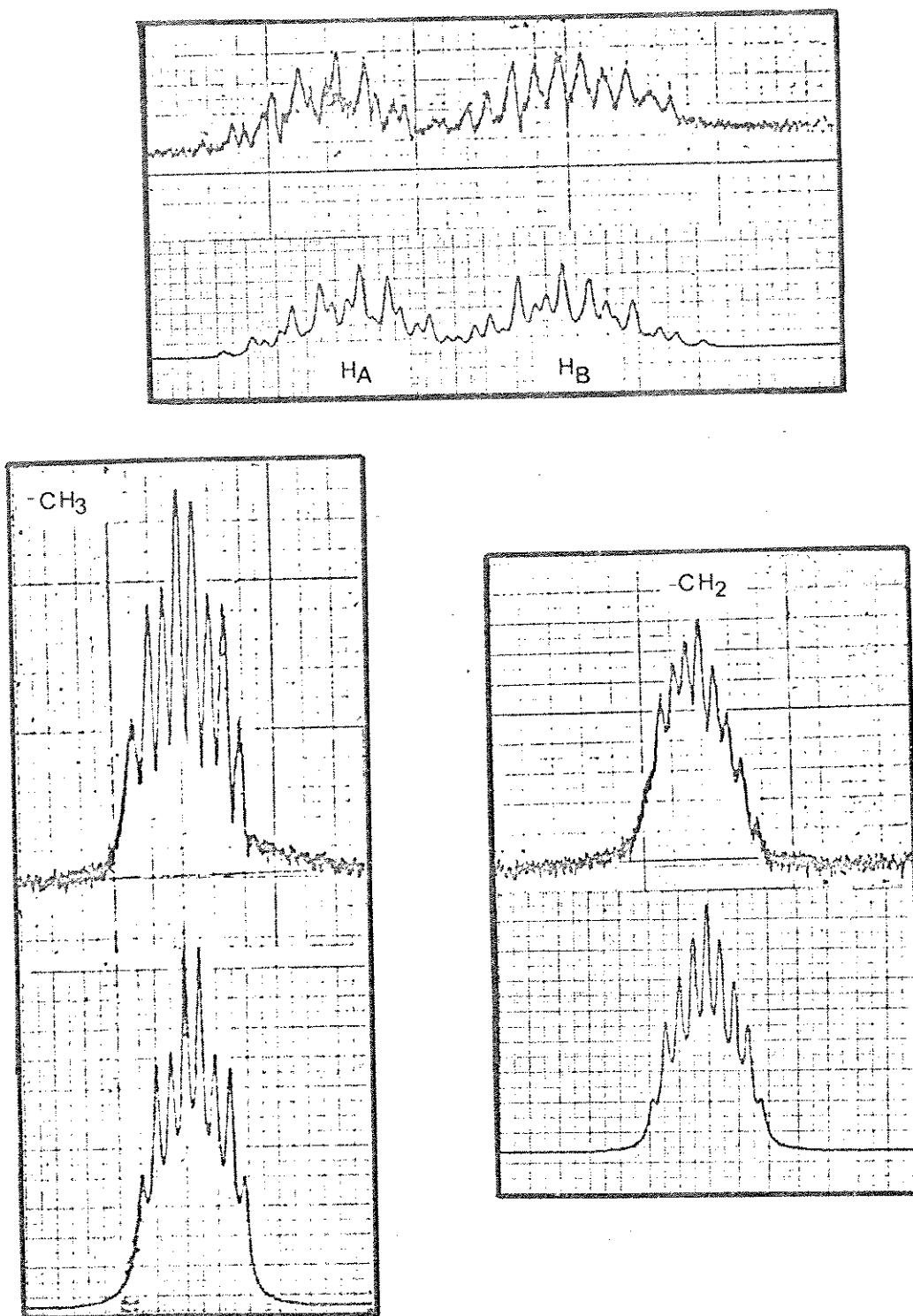


Figura 40. Expansão à 40Hz dos sinais dos hidrogênios do 3-metóxi-2-metilpropeno, na parte superior espectros experimentais, na parte inferior espec<sub>r</sub>tos simulados.

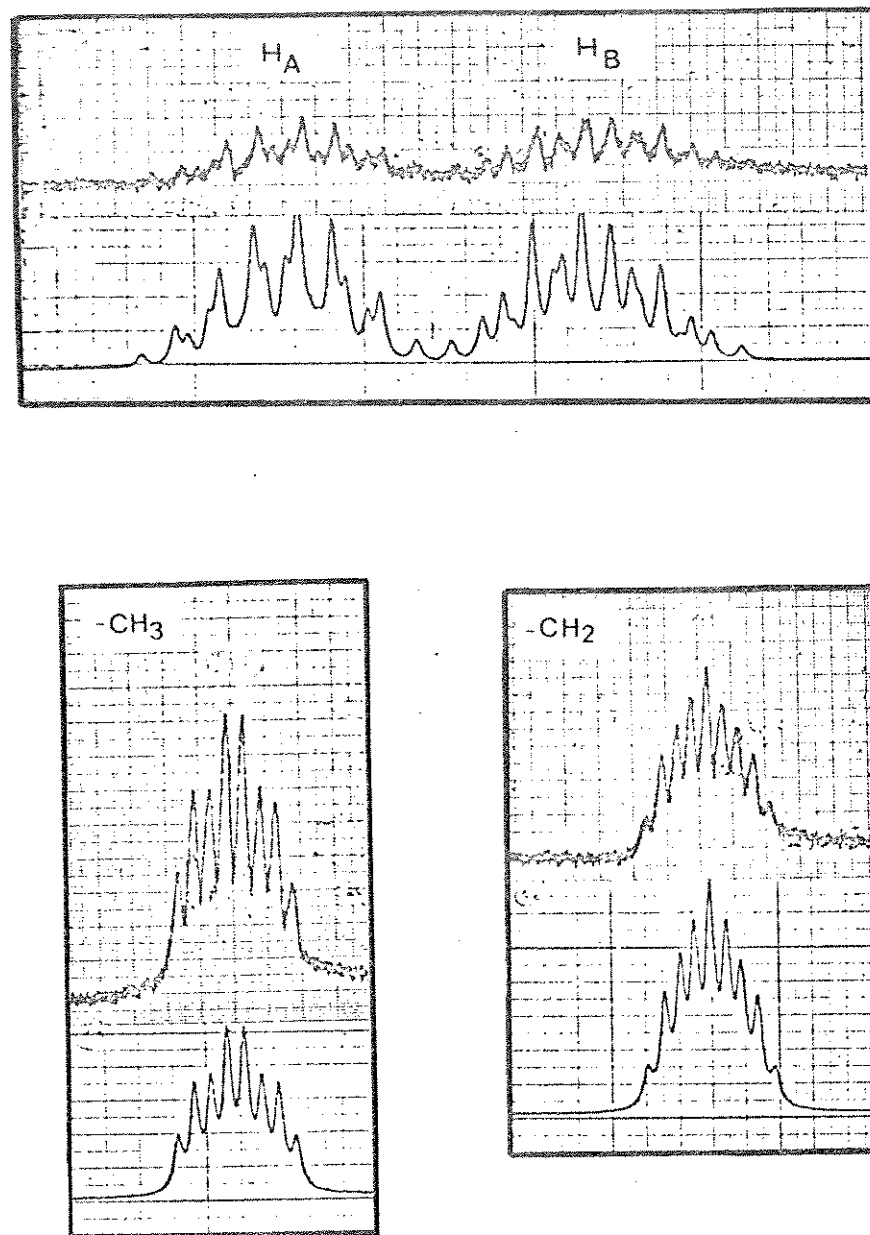


Figura 41. Expansão à 40Hz dos sinais dos hidrogênios do 3-  
etóxi-2-metilpropeno(12), na parte superior espectros  
experimentais, na parte inferior espectros  
simulados.

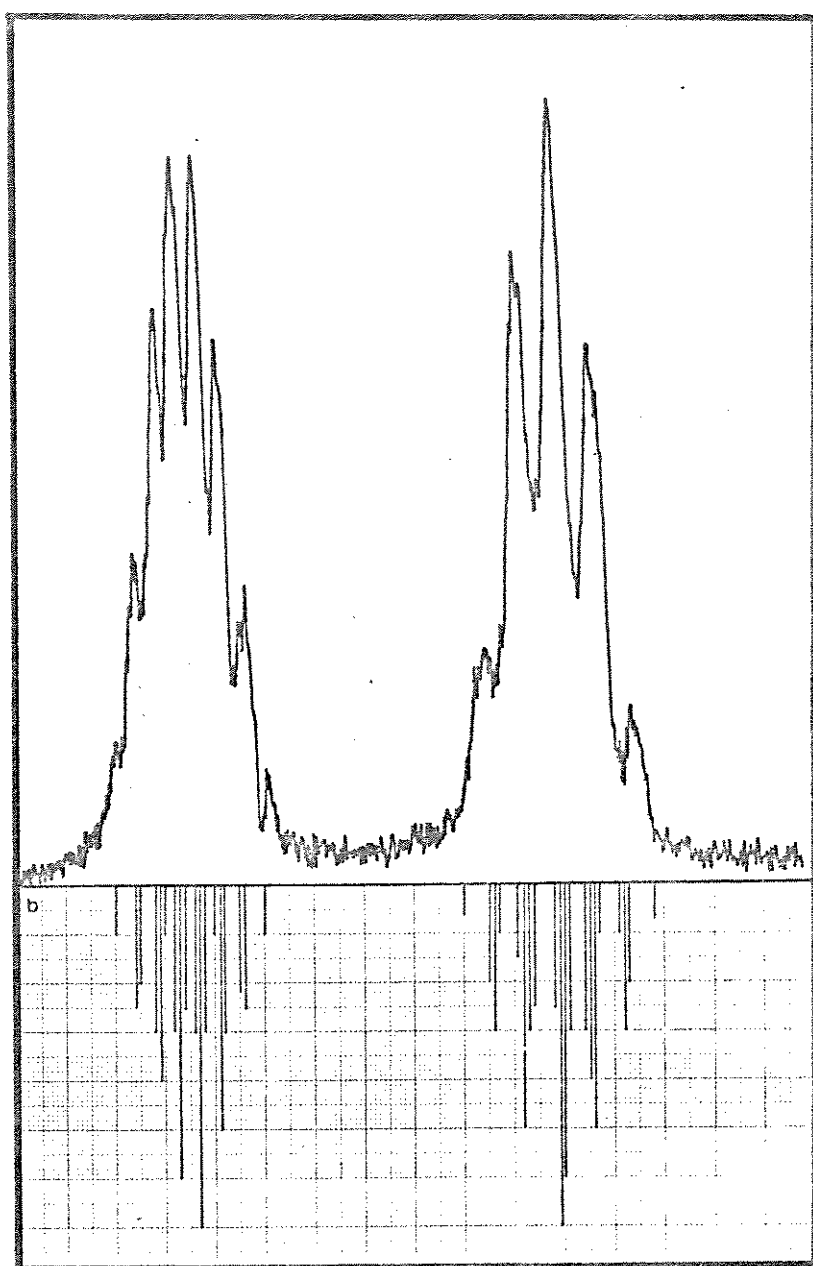


Figura 42. Sinais expandidos dos hidrogênios olefínicos do 3-tiol-2-metilpropeno (9), (b) espectro simulado.

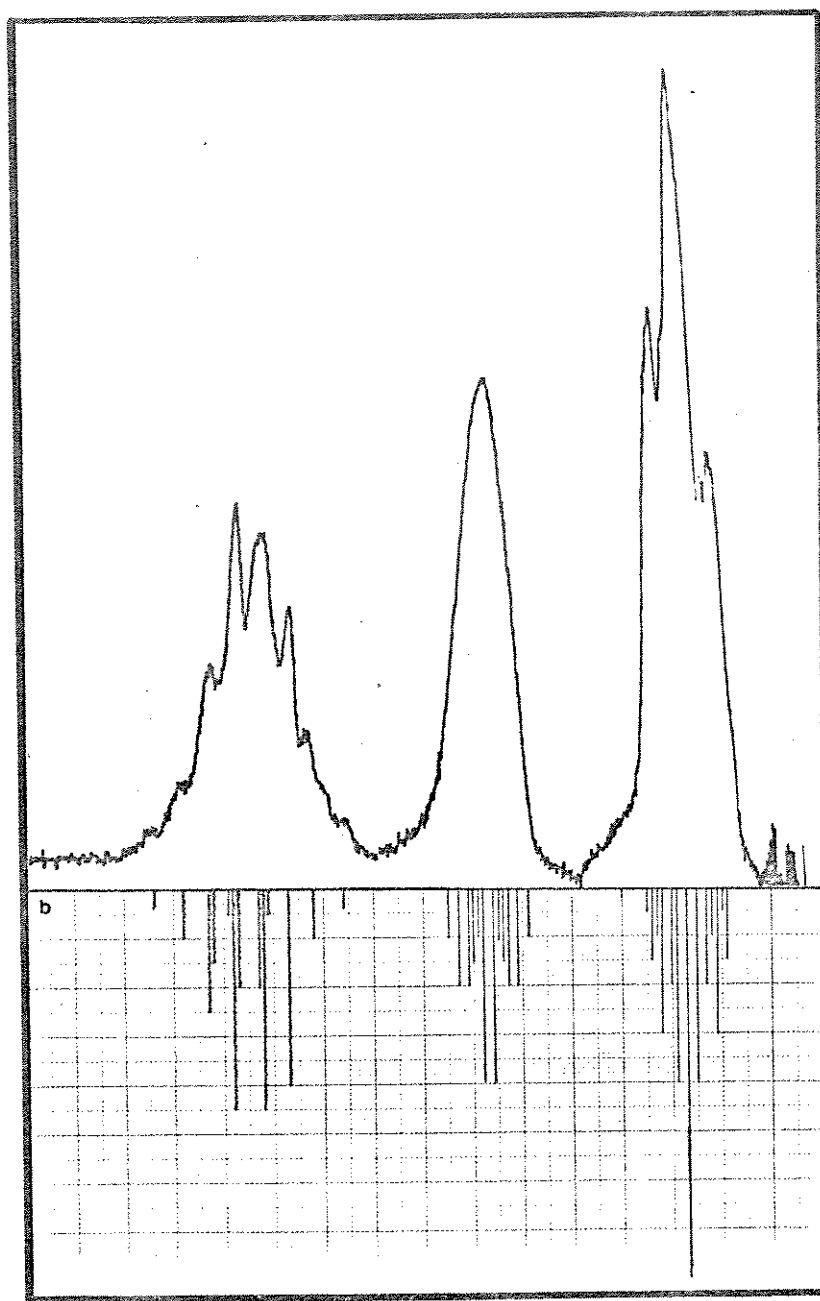


Figura 43. Sinais expandidos dos hidrogênios do 3-*N,N*-Dimetilamino-2-metilpropeno (5), (b) espectro simulado.

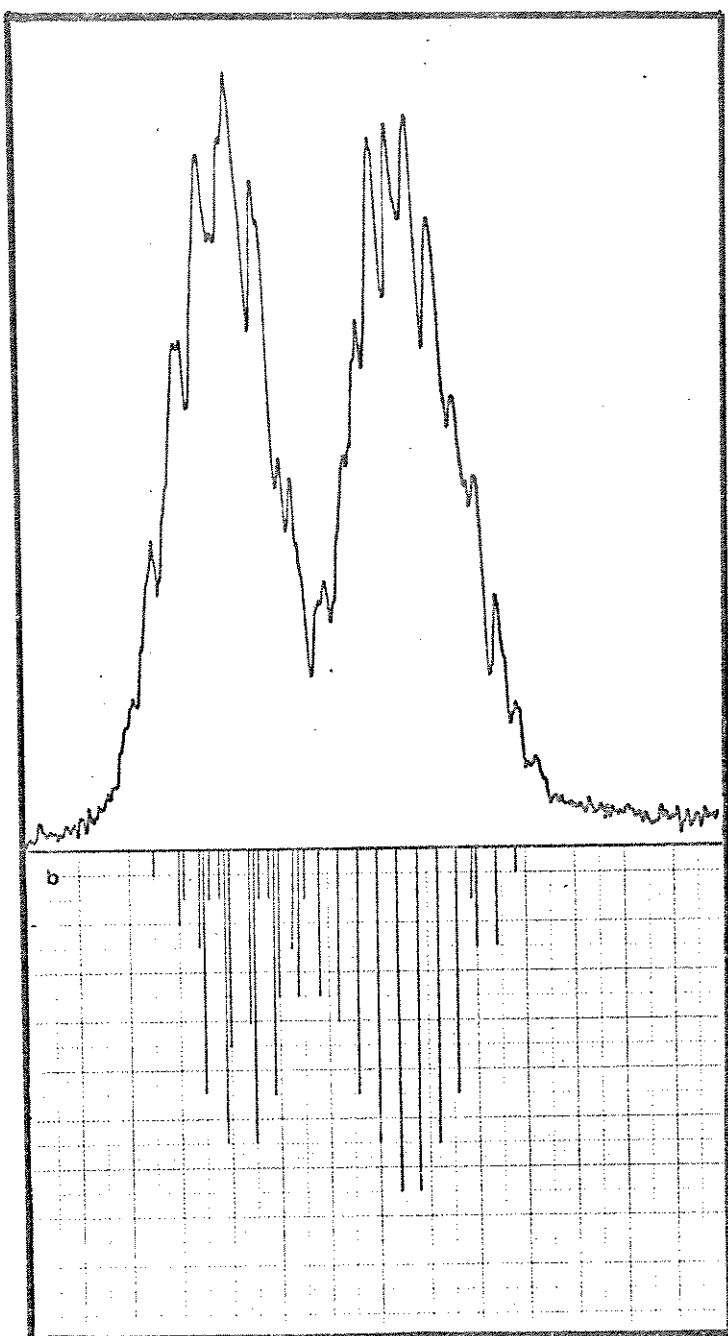


Figura 44. Sinais expandidos dos hidrogênios olefinicos do-  
*3-N,N-Dietilamino-2-metilproeno (6)*, (b) espectro  
simulado.

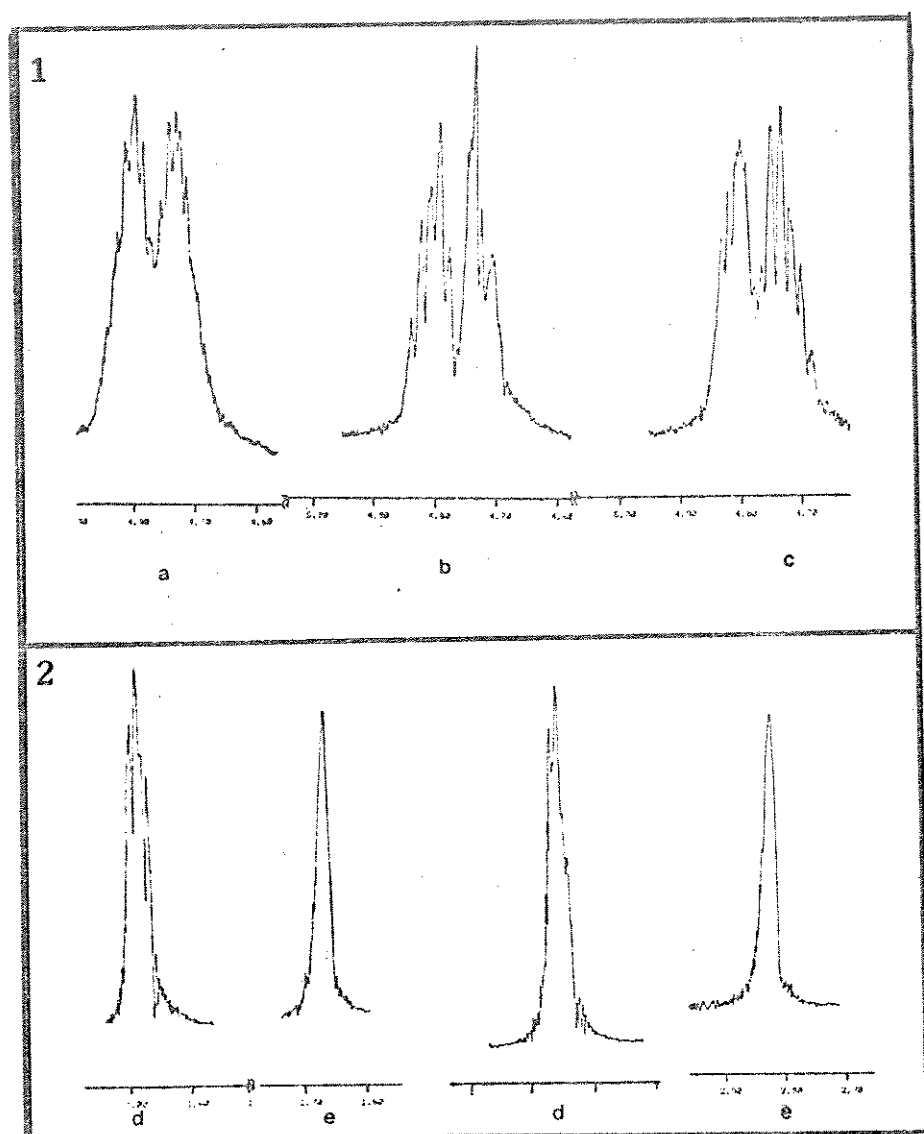


Figura 45. Espectro de r.m.n. de  $^1H$  do 3-*N,N*-Dietilamino-2-metilpropeno(121) (80MHz) com dupla ressonância.  
 1- sinal expandido dos hidrogênios olefínicos - (a) normal (b) irradiando o  $CH_3$ , (c) irradiando o  $CH_2$ . 2- sinais dos grupos  $CH_3$  e  $CH_2$  (d) normal (e) irradiando os hidrogênios olefínicos.

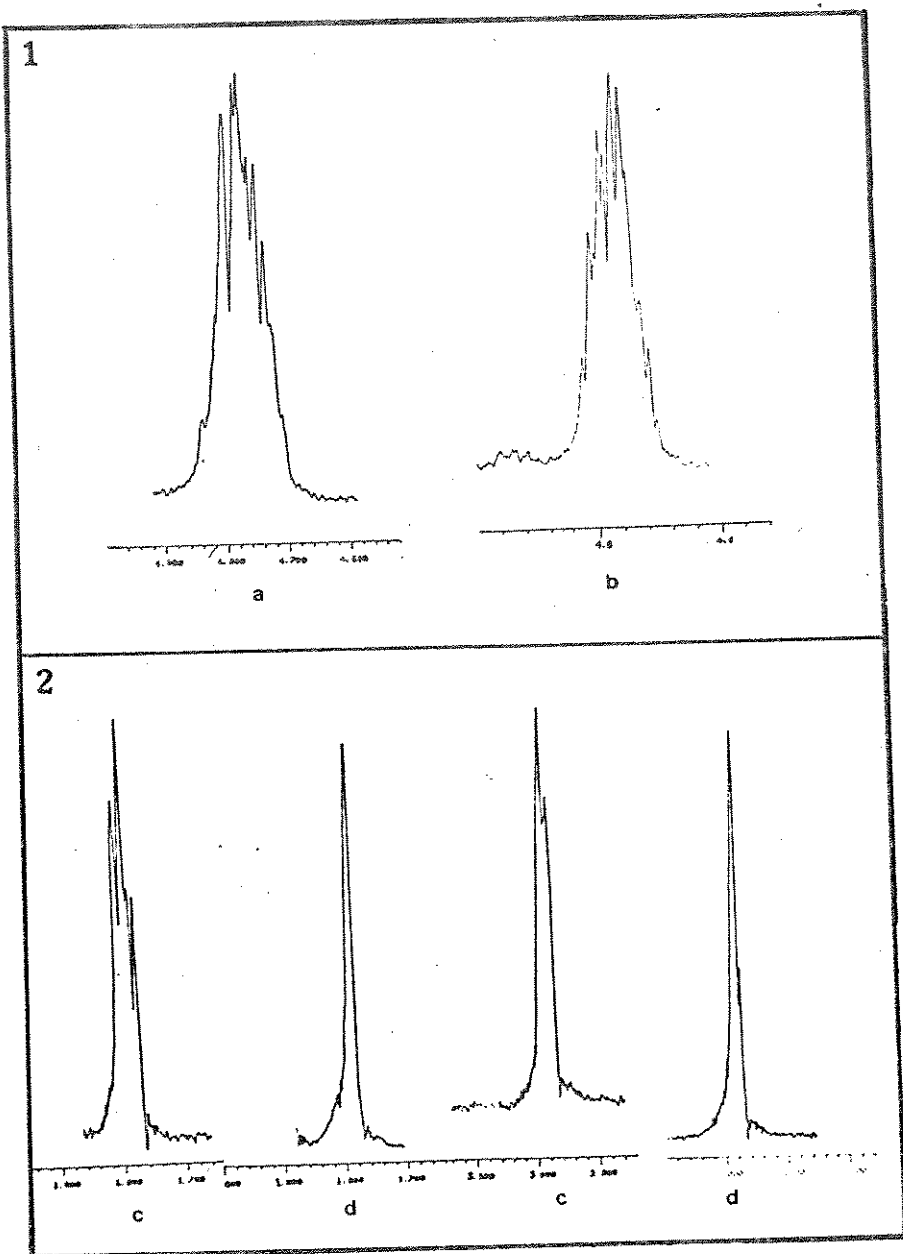


Figura 46. Espectro de r.m.n. de  $^1H$  do 3-tiol-2-metilpropeno (9) (80MHz) com dupla ressonância. 1- sinal expandido dos hidrogênios olefínicos (a) irradiando o  $CH_3$ , (b) irradiando o  $CH_2$ . 2- sinais dos grupos  $CH_3$  e  $CH_2$  (c) normal (d) irradiando os hidrogênios olefínicos.

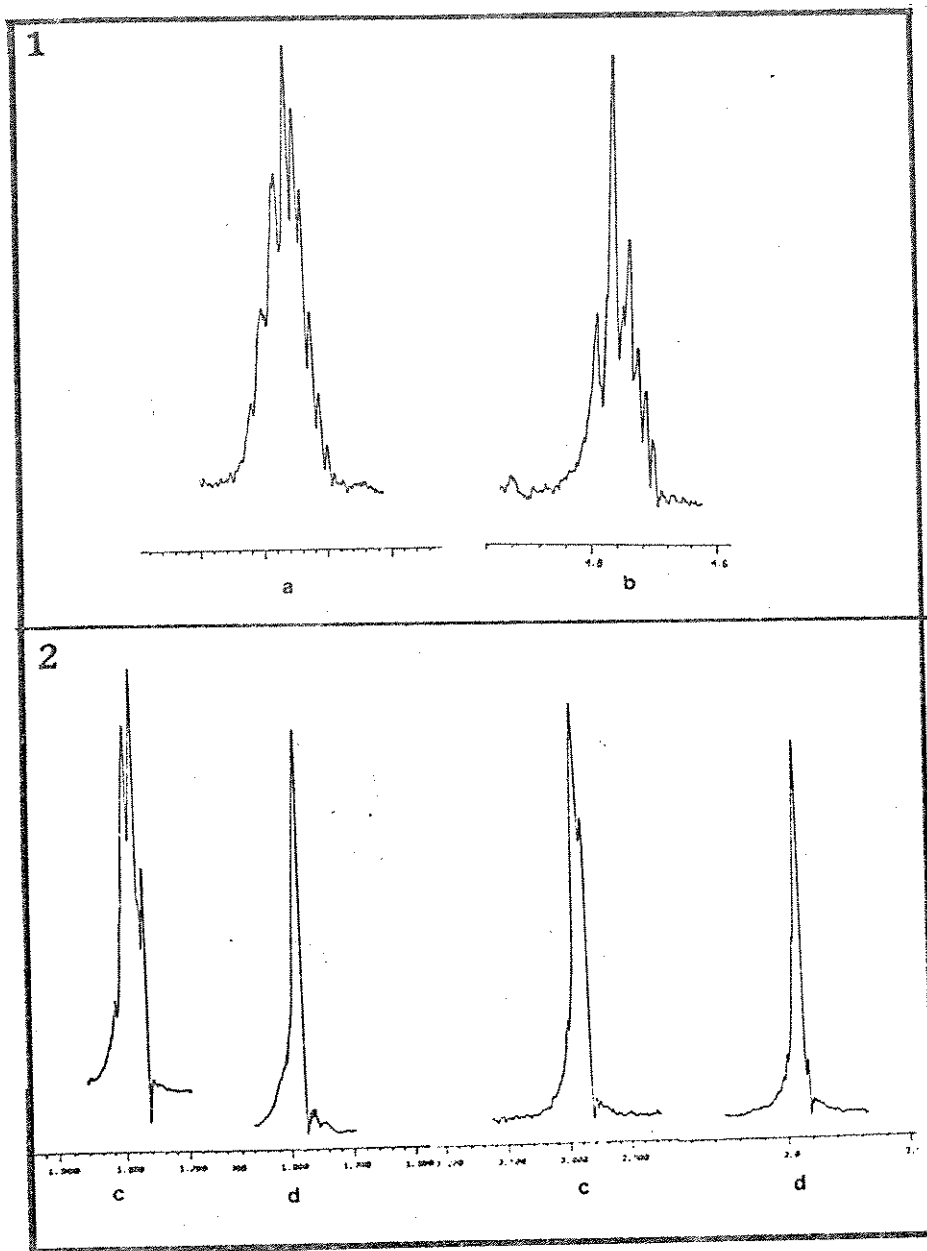


Figura 47. Espectro de r.m.n. de  $^1H$  do 3-metiltio-2-metilpropeno (8) (80MHz) com dupla ressonância.  
 1- sinal dos hidrogênios olefínicos (a) normal  
 (b) irradiando o  $CH_3$ . 2- sinais aos grupos  $CH_3$   
 e  $CH_2$  (c) normal (d) irradiando os hidrogênios-  
 olefínicos.

Os acoplamentos alílicos  $^4J_{BX}$  e  $^4J_{AX}$ , entre os hidrogênios olefínicos e os hidrogênios do grupo metila, não sofrem consideráveis variações nos seus valores, com a introdução de substituintes diferentes na posição 3, conforme podemos observar na Tabela 10, onde seus valores estão entre 1,40 e 1,60 Hz para  $^4J_{BX}^{cis}$  e 0,9 e 1,0 Hz para  $^4J_{AX}^{trans}$ .

Esta pequena variação é explicada devido ao fato que esse acoplamento alílico, envolvendo o grupo metila é um valor médio para o fragmento H-C=C-CH<sub>3</sub>, cuja estrutura não depende muito das variações conformacionais do restante da molécula. Por outro lado, os acoplamentos alílicos- $^4J_{BM}^{trans}$  e  $^4J_{AM}^{cis}$  observados entre os hidrogênios olefínicos e os hidrogênios do grupo metileno substituído, são influenciados pelo substituinte Z, observando-se variações de 0,8 a 1,2 Hz para  $^4J_{BM}$  e 0,8 a 1,55 Hz para  $^4J_{AM}$ , havendo neste caso variações devido as contribuições conformativas, além do efeito da eletronegatividade do substituinte.

Para os compostos metalílicos em estudo observou-se que  $^4J^{cis} > ^4J^{trans}$ , sendo esta observação também encontrada para propenos 2-substituídos.<sup>93</sup>

Embora teoricamente todos os compostos metalílicos possam apresentar acoplamento à longa distância,  $^4J$ , através de quatro ligações sigma entre o grupo metila e metileno substituído, (através do esqueleto sigma), somente para os compostos oxigenados e nitrogenados estes acoplamentos foram observados. Este fato nos leva a pensar, que sendo estes substituintes mais volumosos, tenhamos uma conformação preferencial, com considerável população que favorece o caminho de acoplamento, uma vez que estes acoplamentos

tos também são dependentes de fatores conformacionais.

A seguir apresentaremos os espectros de r.m.n. de  $^1\text{H}$ , à 100 MHz e 250 MHz, espectros normais e expandidos, Figuras 48 a 65. Os sinais expandidos, são referentes somente aos sinais dos hidrogênios olefínicos ( $\text{H}_A$  e  $\text{H}_B$ ), ao grupo metileno substituído ( $\text{CH}_2\text{Z}$ ) e grupo metila ( $\text{CH}_3$ ), ligado ao carbono olefínico.

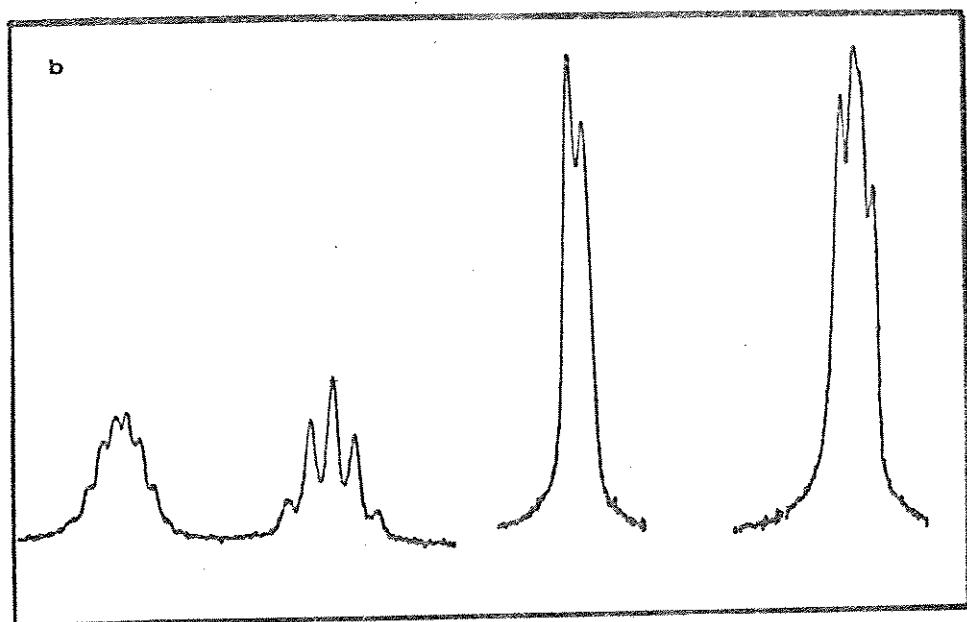
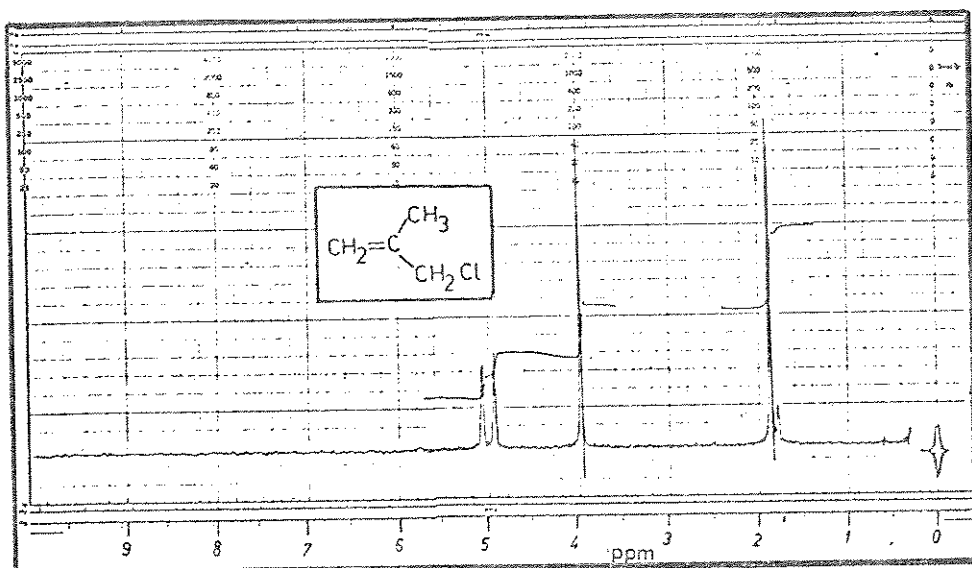


Figura 48. Espectro de r.m.n. de  $^1\text{H}$  do 3-cloro-2-metilpropeno (1) em  $\text{CCl}_4$  (100MHz). (b) Expansão à 50Hz.

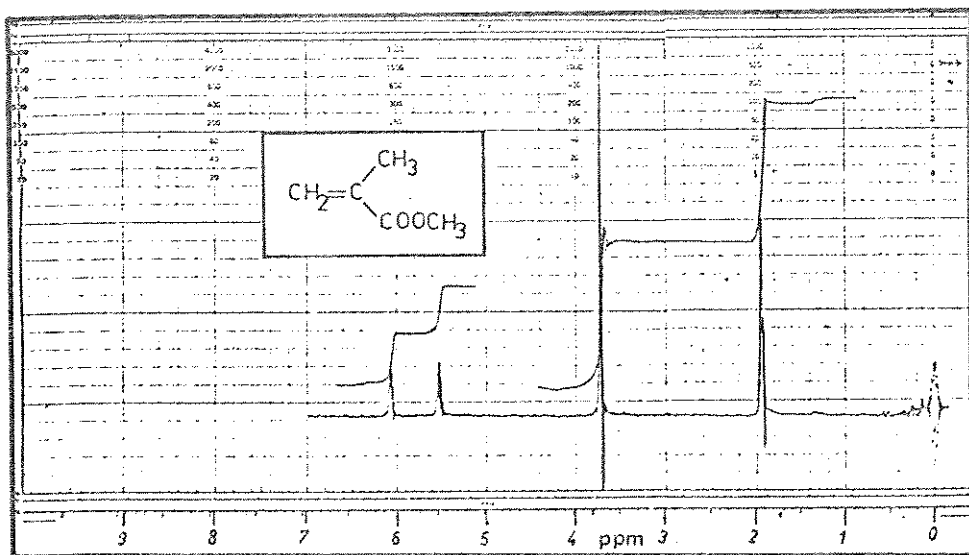
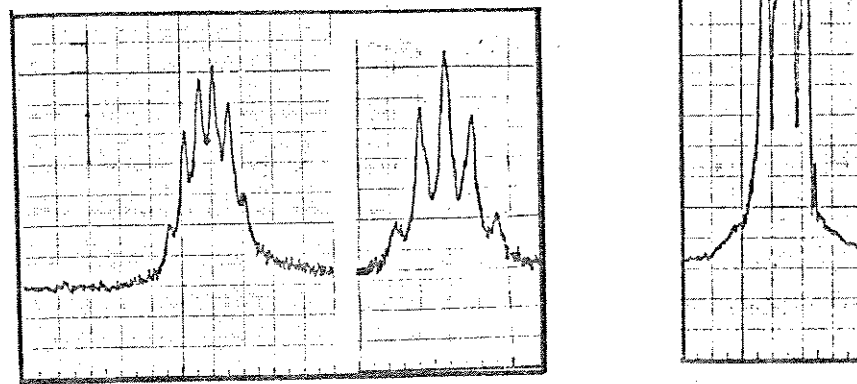
**b**

Figura 49. Espectro de r.m.n. de  $^1\text{H}$  do 2-metilpropenoato de metila (2) em  $\text{CCl}_4$  (100MHz), (b) Expansão à 50 Hz.

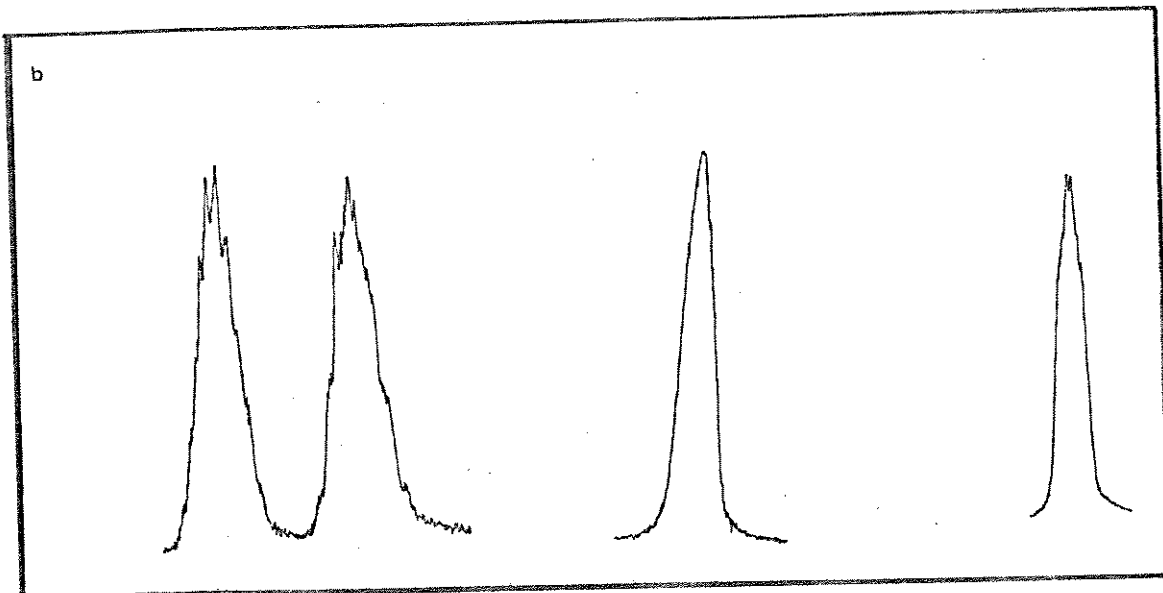
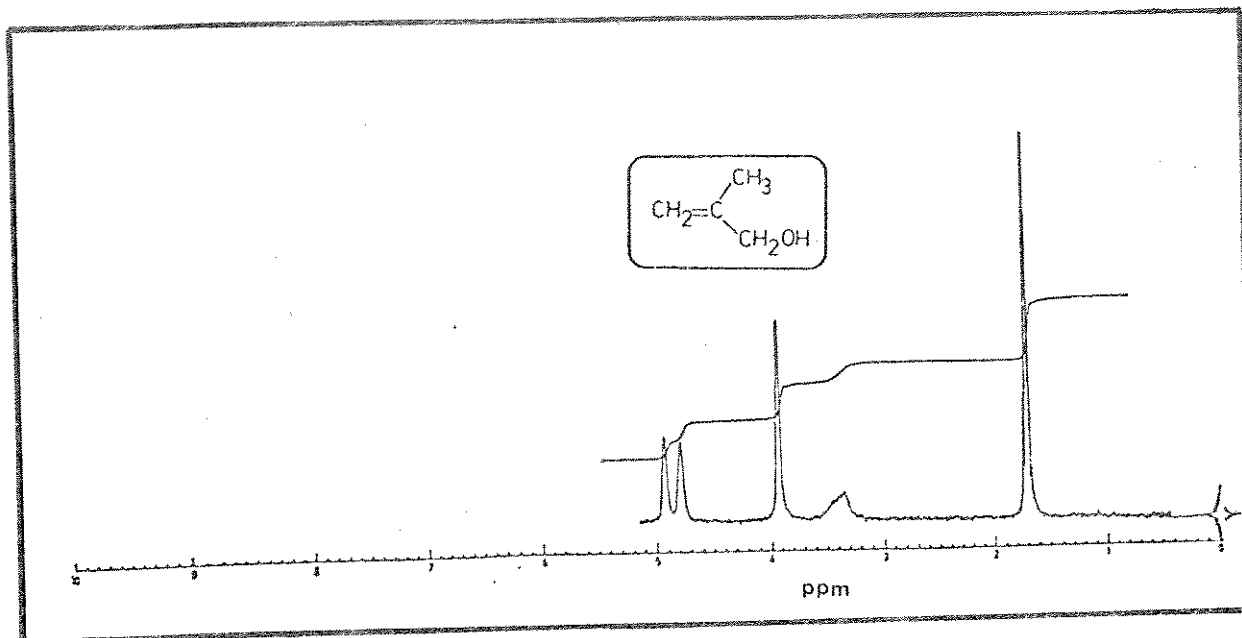


Figura 50. Espectro de r.m.n. de  $^1\text{H}$  do 2-metilpropen-3-ol (3) em  $\text{CCl}_4$  (100MHz), (b) Expansão à 50Hz.

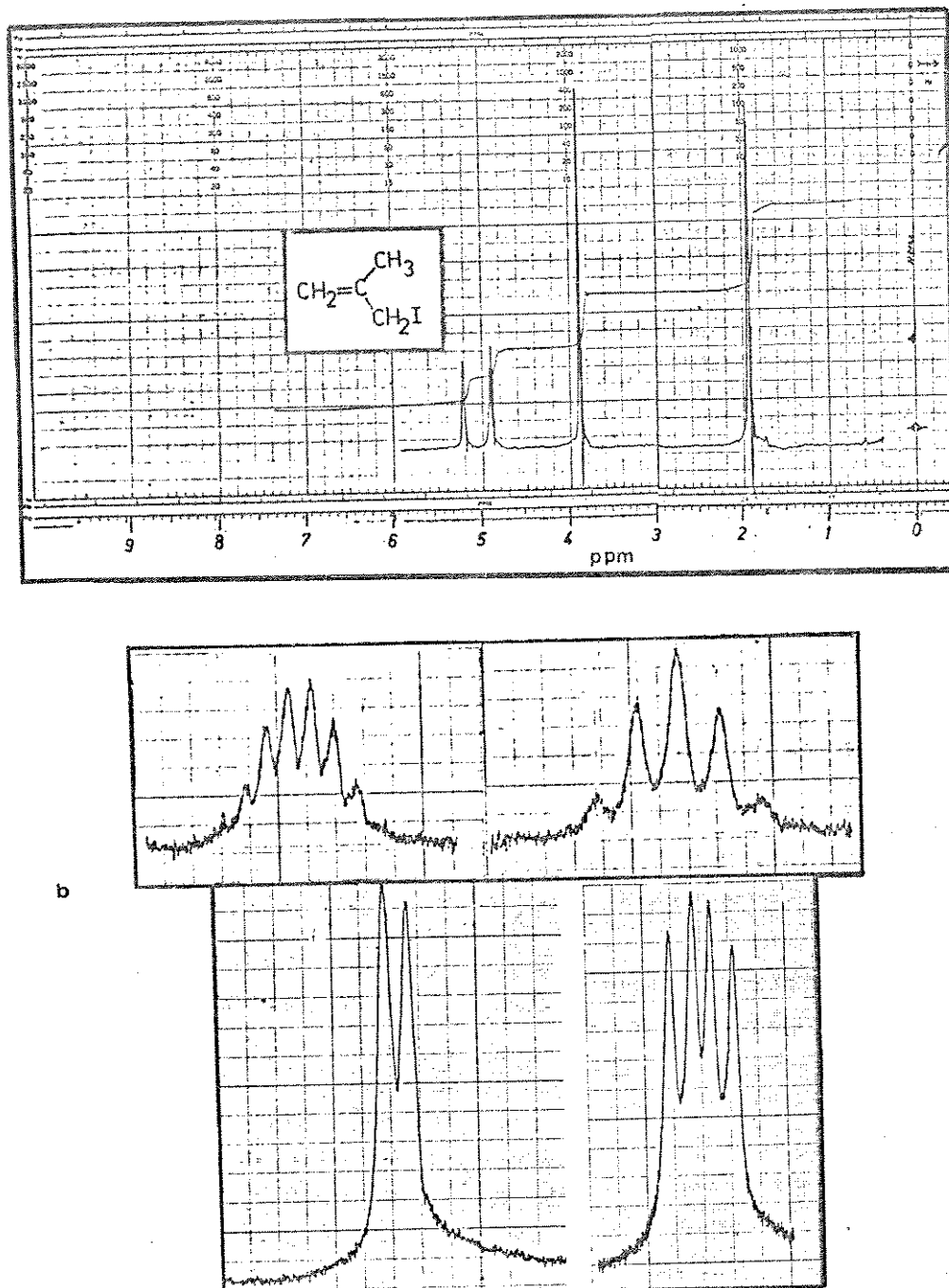


Figura 51. Espectro de r.m.n. de  $^1\text{H}$  do 3-iodo-2-metilpropeno (4) em  $\text{CCl}_4$  (100MHz), (b) Expansão à 50Hz.

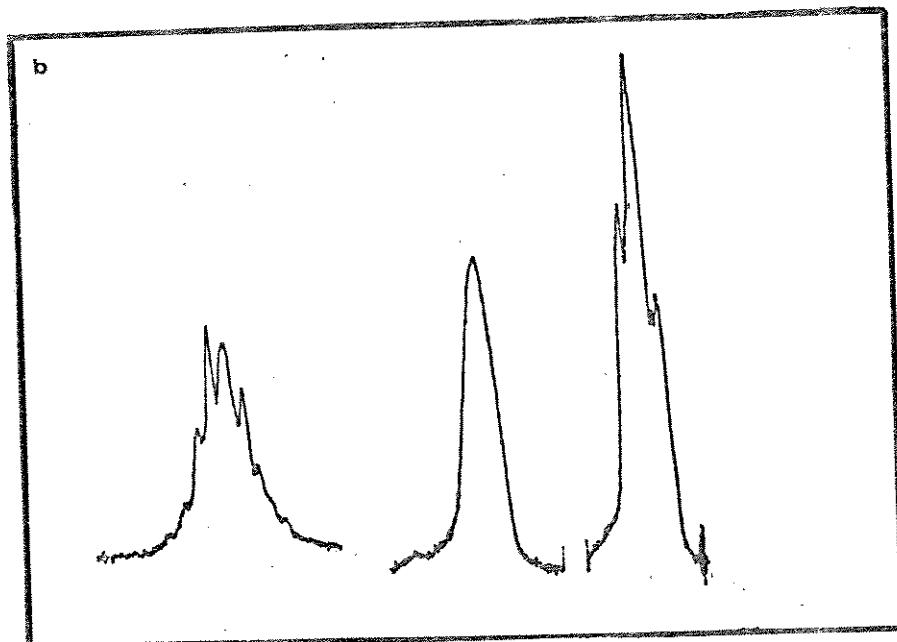
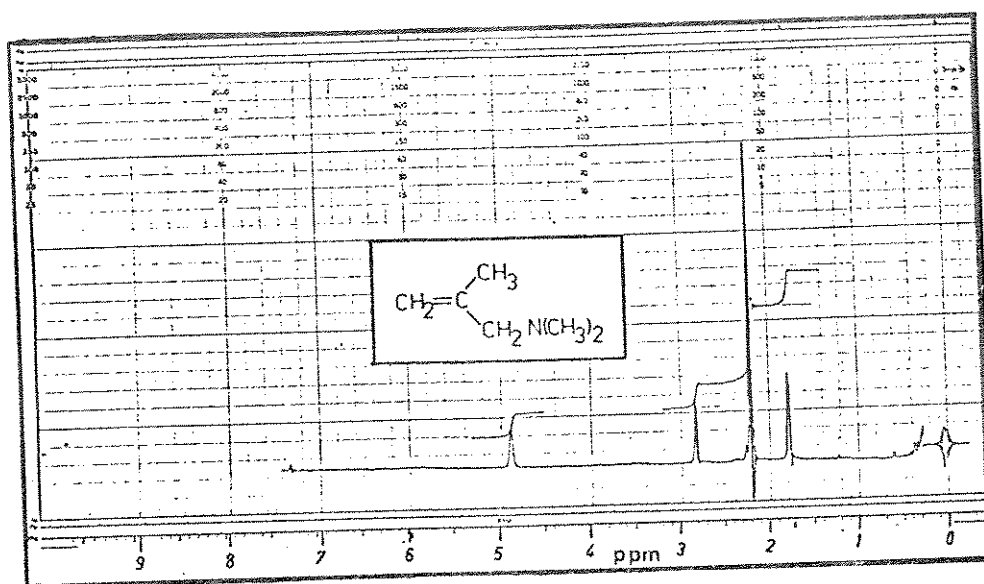


Figura 52. Espectro de r.m.n. de  $^1\text{H}$  do 3-*N,N*-Dimetilamino-2-metilpropeno (5) em  $\text{CCl}_4$  (100 MHz), (b) Expan - são à 50 Hz.

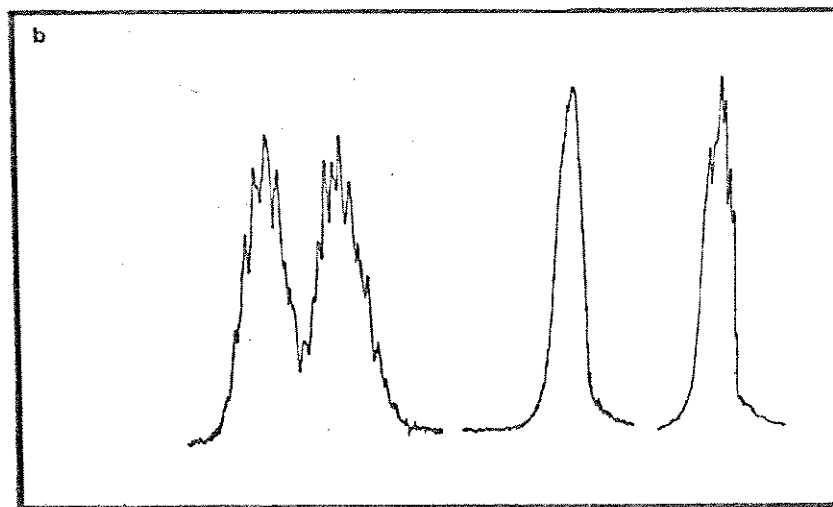
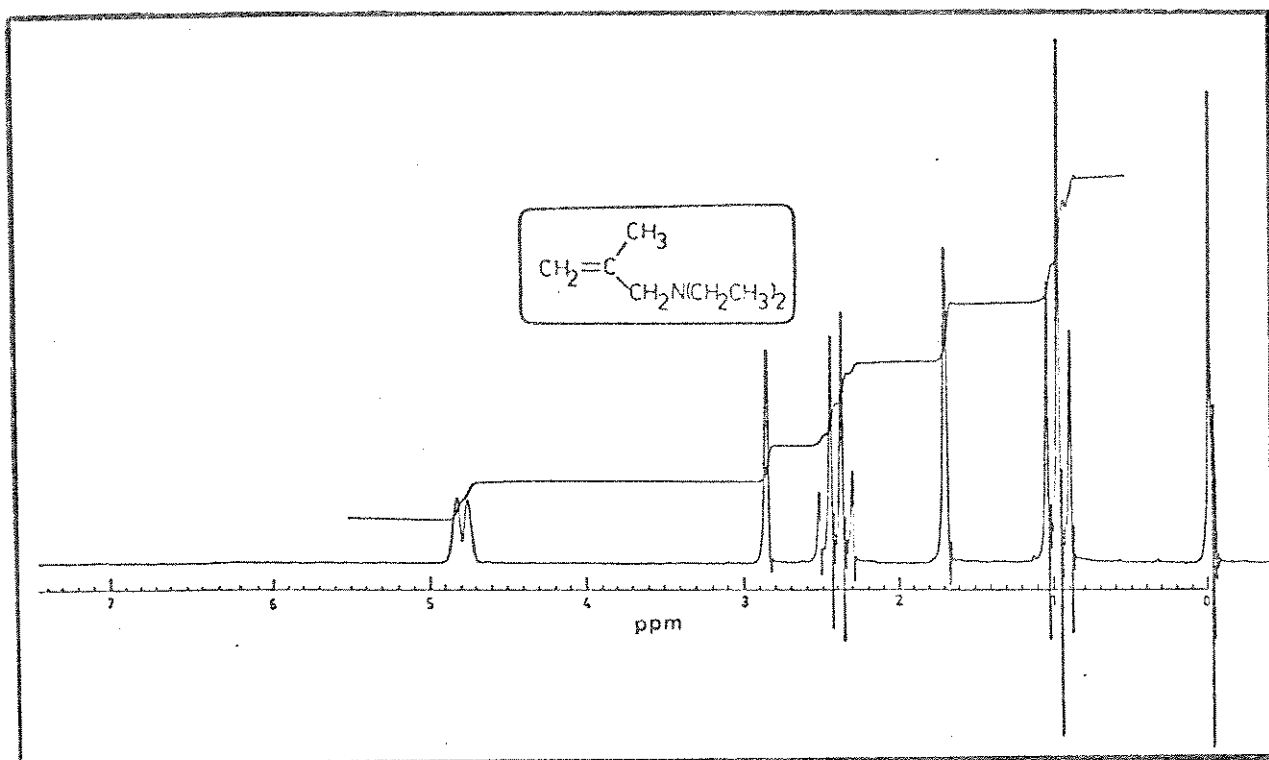


Figura 53. Espectro de r.m.n. de  $^1\text{H}$  do 3-N,N-Dietilamino-2-metilpropeno (6) em  $\text{CCl}_4$  (100MHz), (b) Expan  
são à 50Hz.

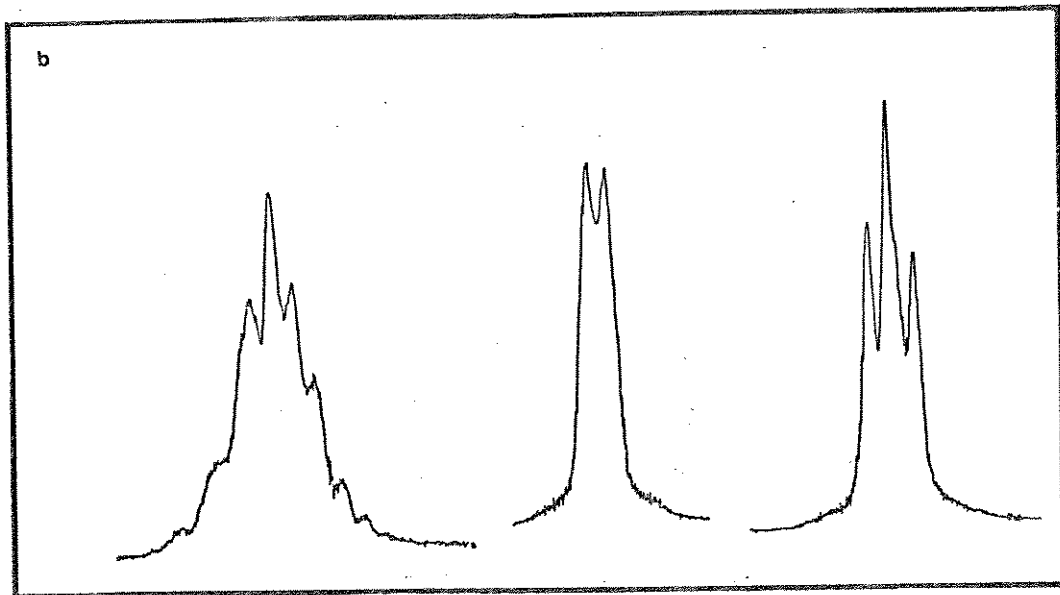
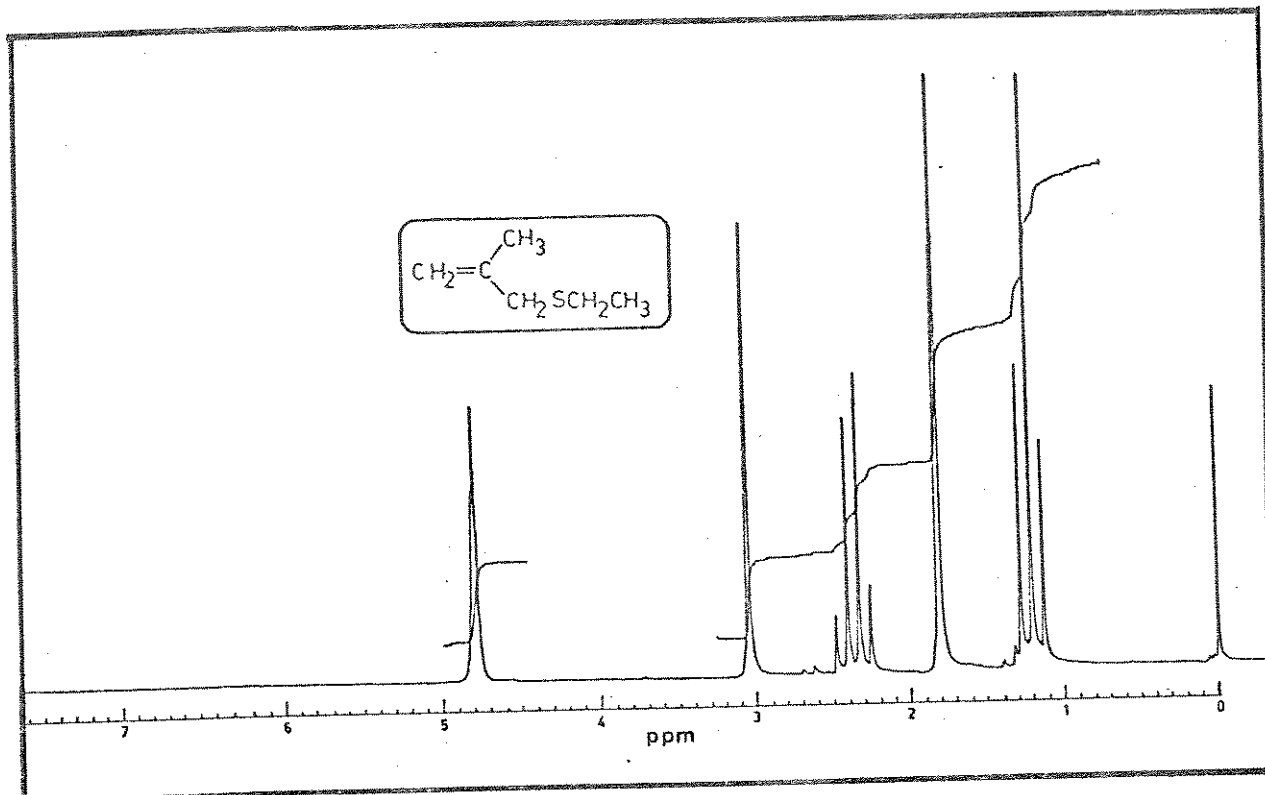


Figura 54. Espectro de r.m.n. de  $^1\text{H}$  do 3-etylito-2-metilpropeno (7) em  $\text{CCl}_4$  (100MHz), (b) Expansão à 50Hz.

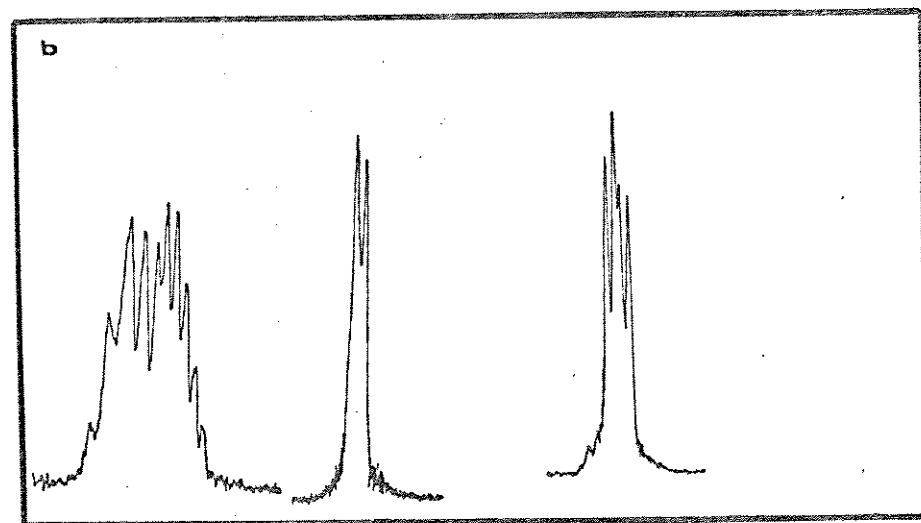
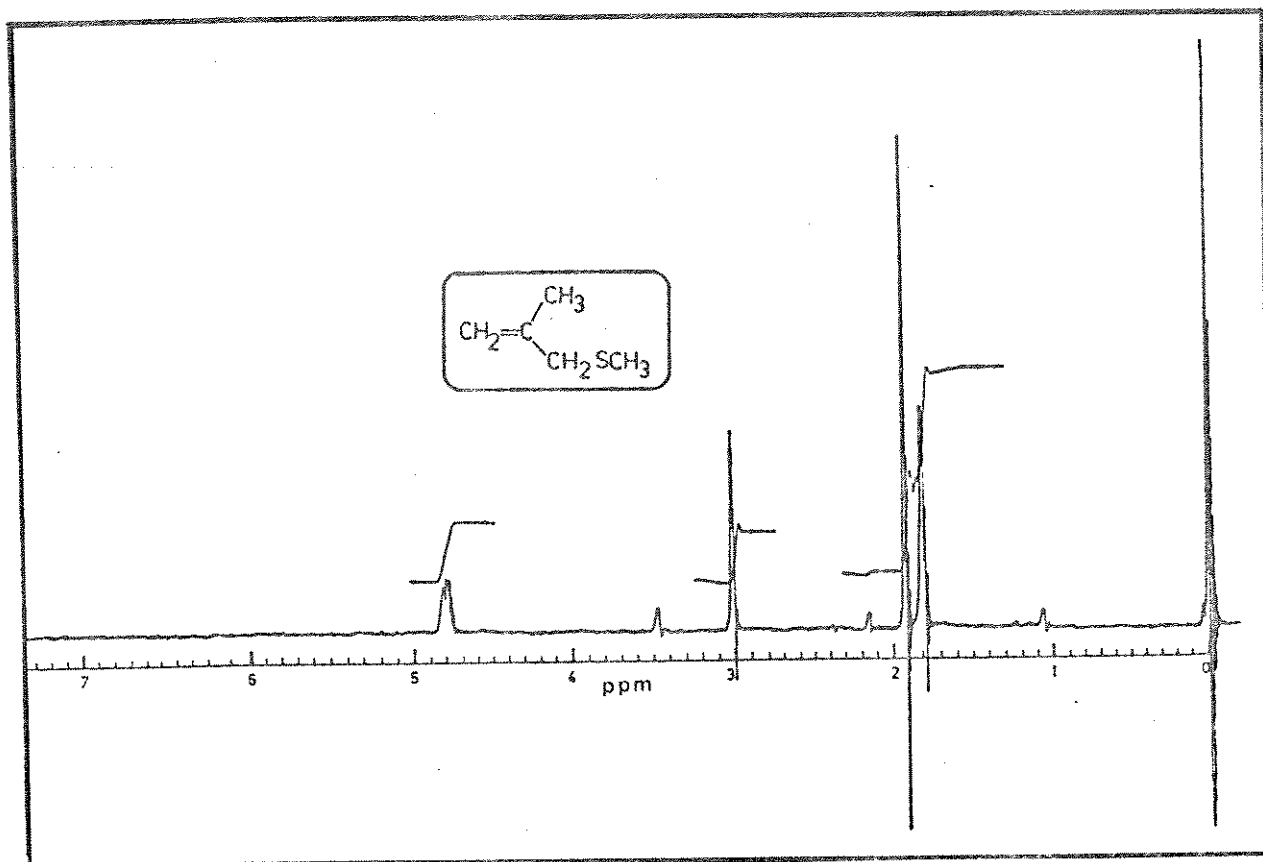


Figura 55. Espectro de r.m.n. de  $^1\text{H}$  do 3-metiltio-2-metilpropeno (8) em  $\text{CCl}_4$  (100MHz), (b) Expansão à 50Hz.

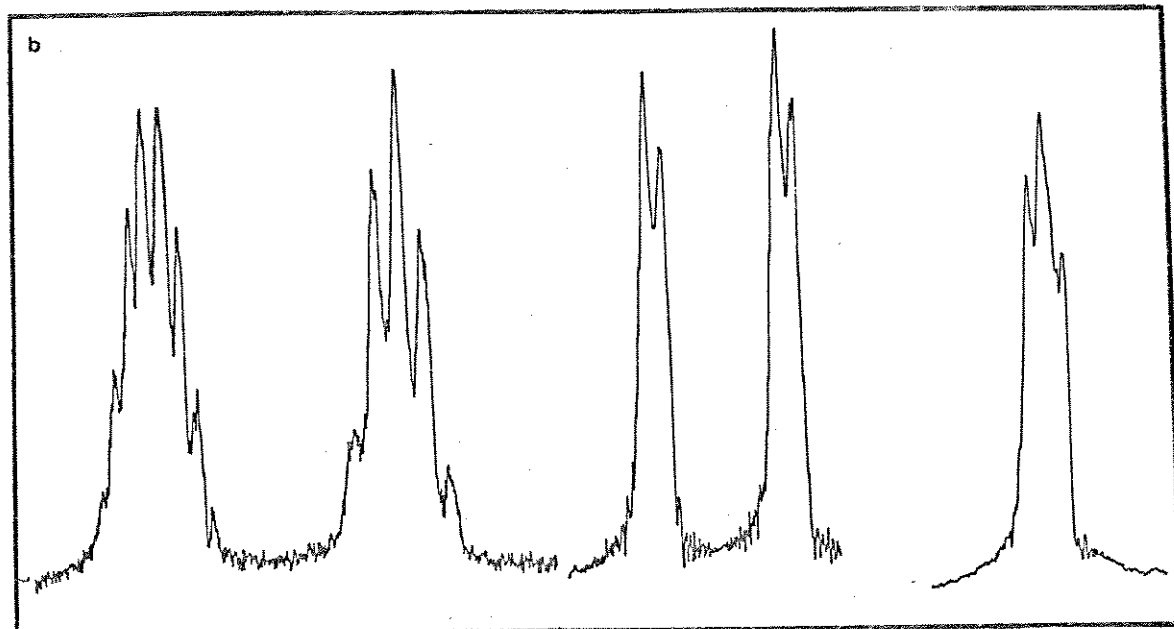
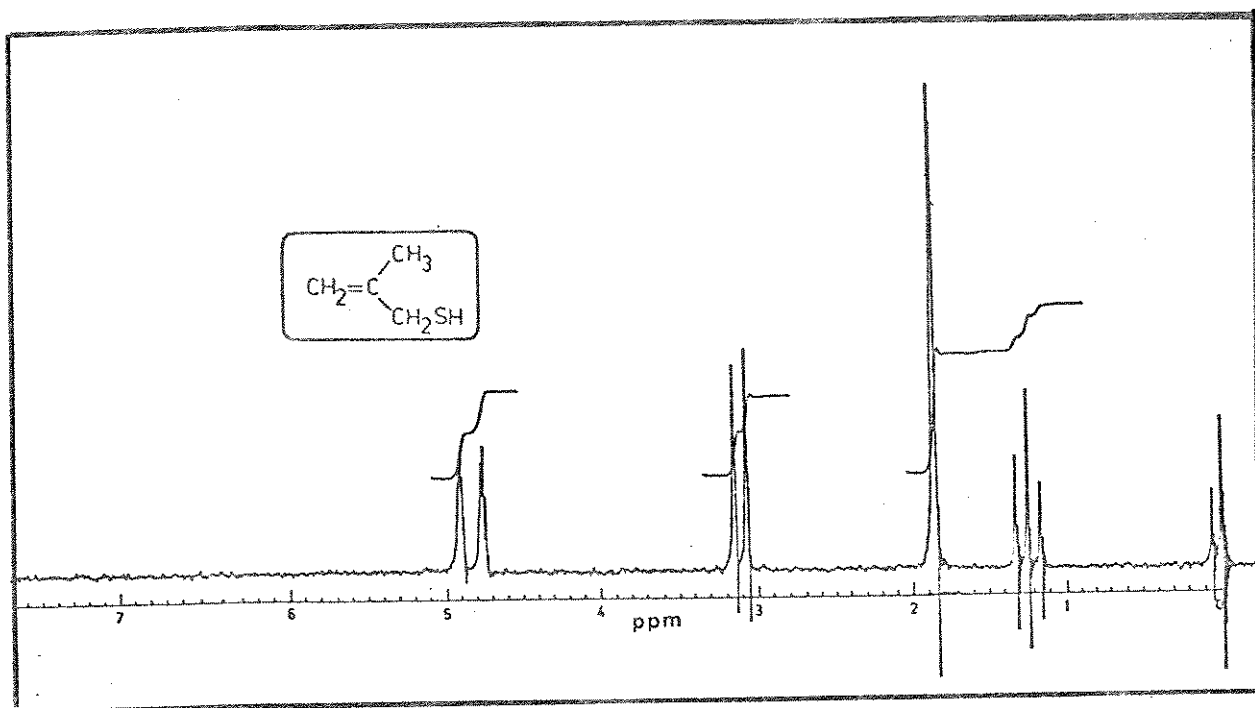


Figura 56. Espectro de r.m.n. de  $^1\text{H}$  do 3-tiol-2-metilpropano (a) em  $\text{CCl}_4$  (100MHz), (b) Expansão à 50Hz.

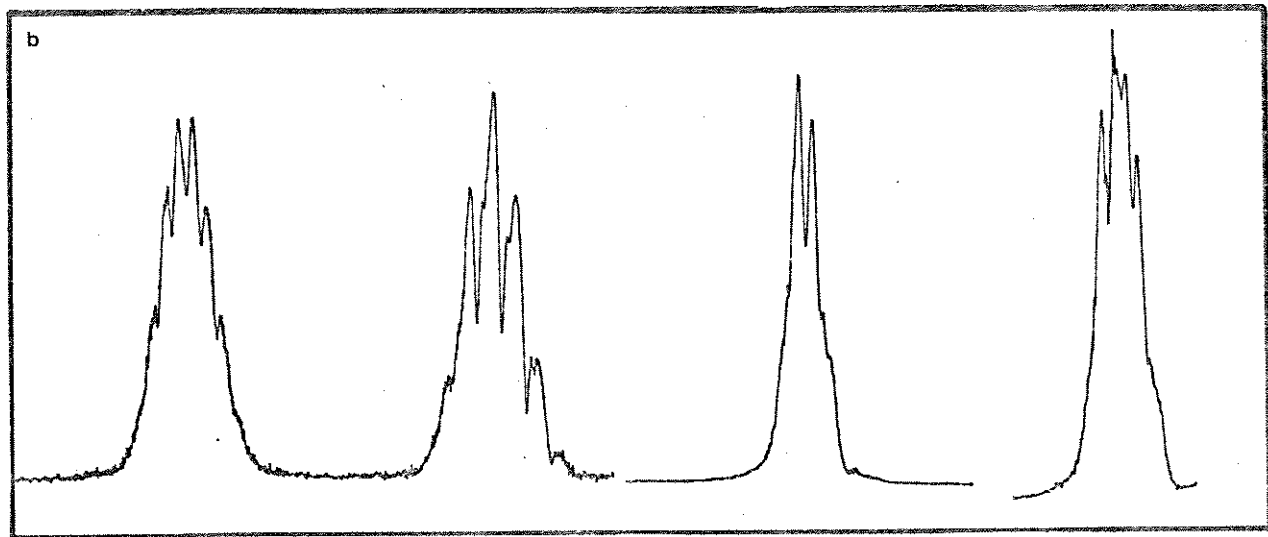
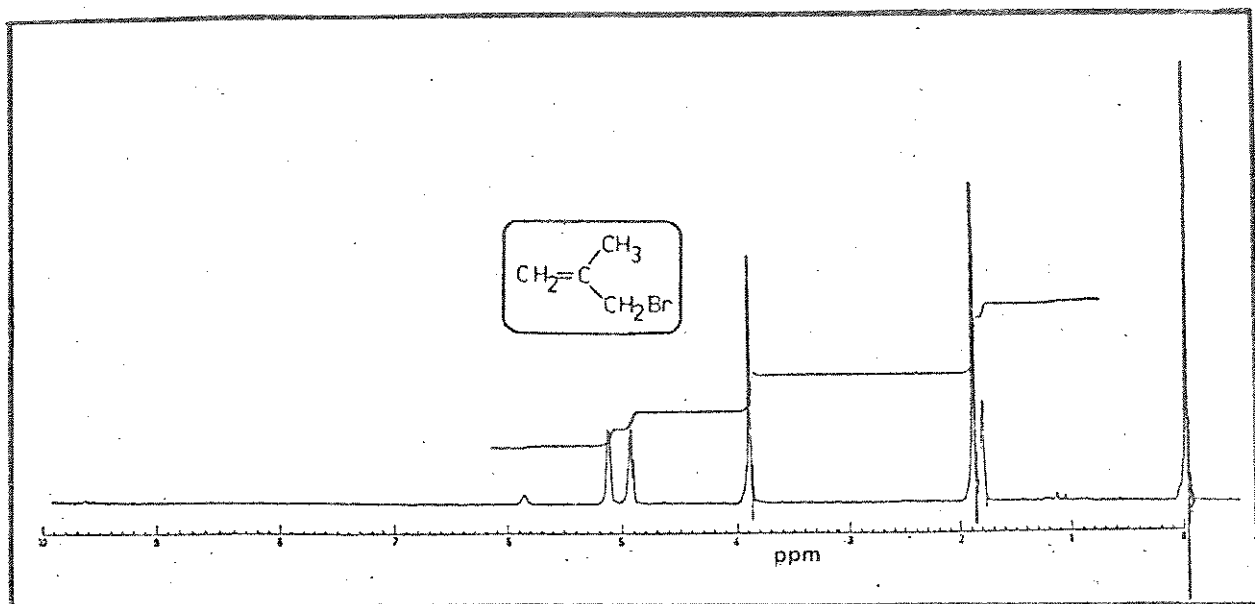


Figura 57. Espectro de r.m.n. de  $^1\text{H}$  do 3-bromo-2-metilpropeno (10) em  $\text{CCl}_4$  (100MHz), (b) Expansão à 50Hz.

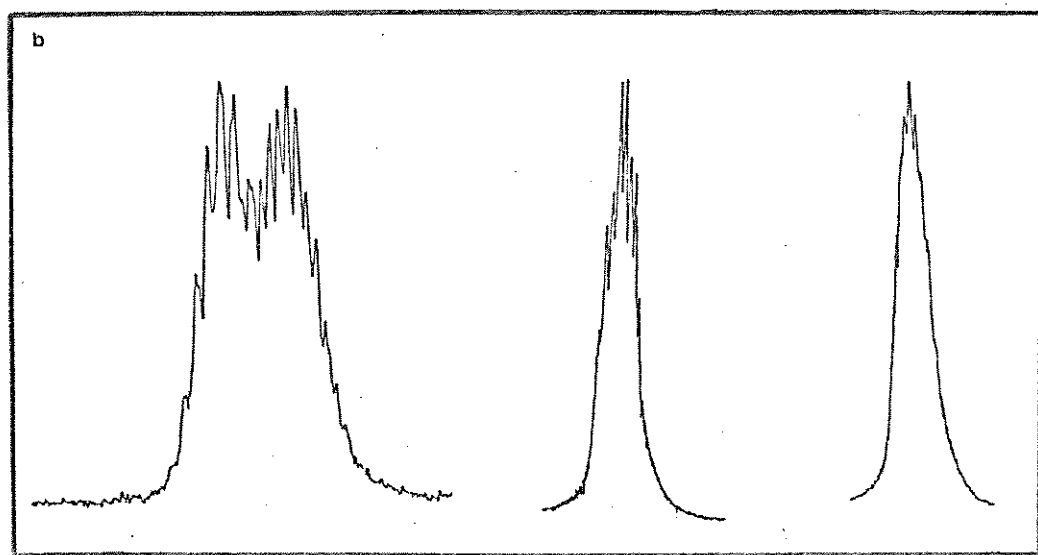
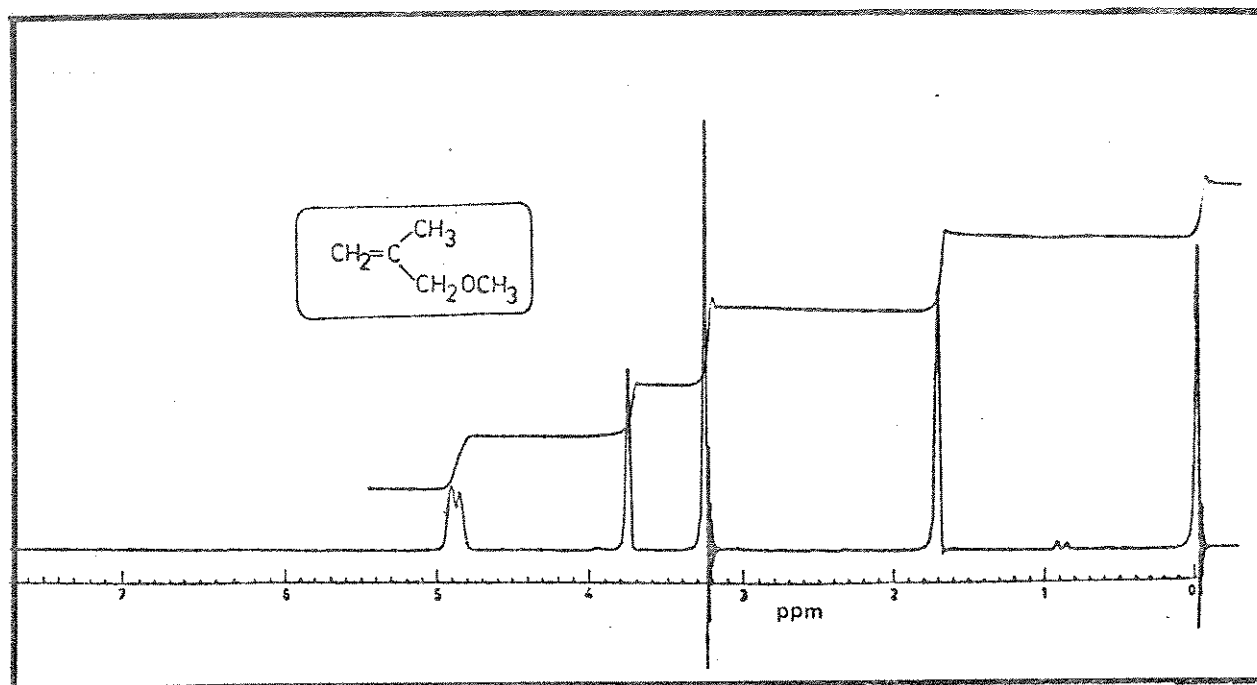


Figura 58. Espectro de r.m.n. de  $^1\text{H}$  do 3-metóxi-2-metilpropano (11) em  $\text{CCl}_4$  (100MHz), (b) Expansão à 50Hz.

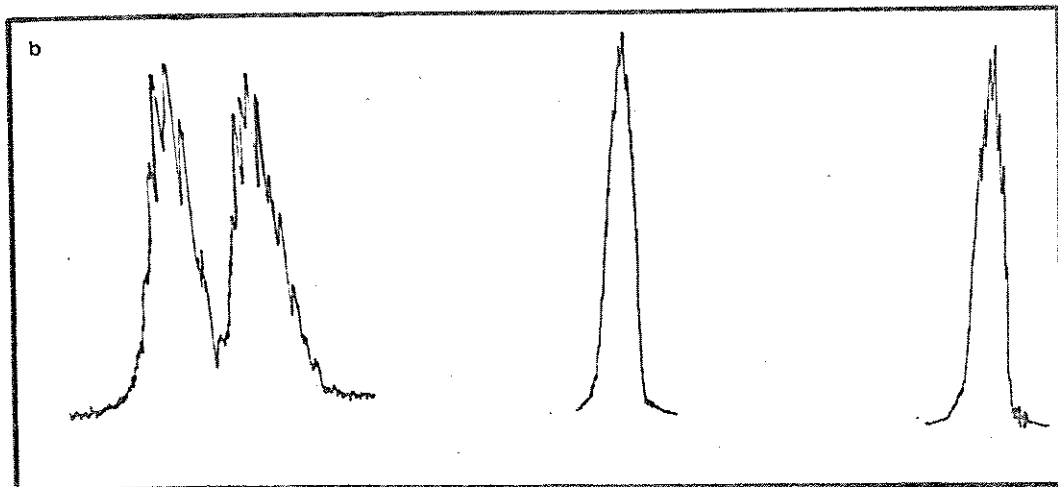
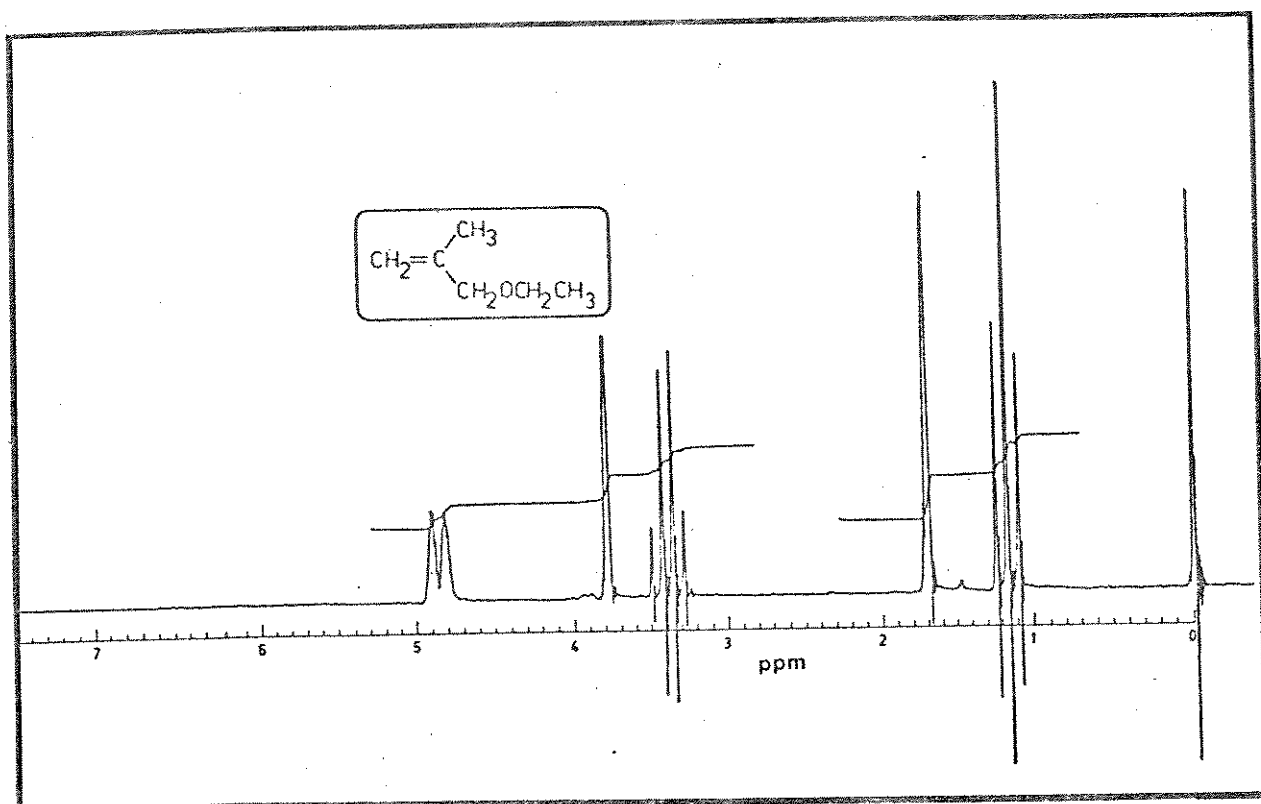


Figura 59. Espectro de r.m.n. de  $^1\text{H}$  do 3-etóxi-2-metilpropano (12) em  $\text{CCl}_4$  (100MHz), (b) Expansão à 50Hz.

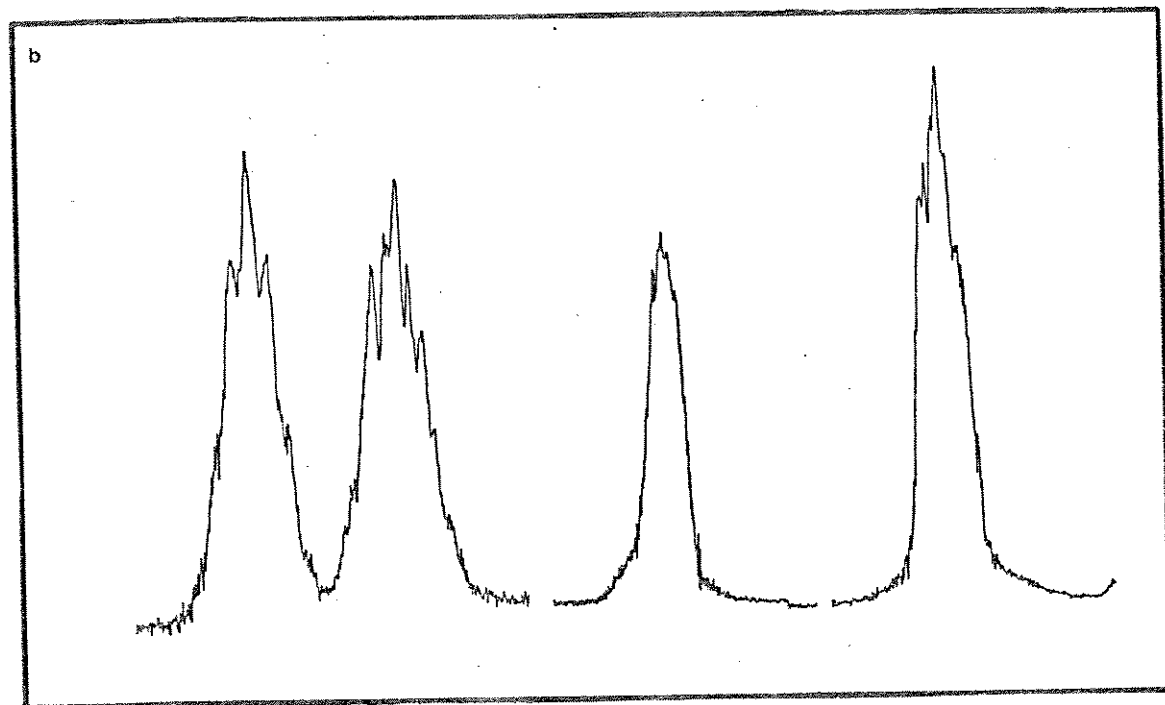
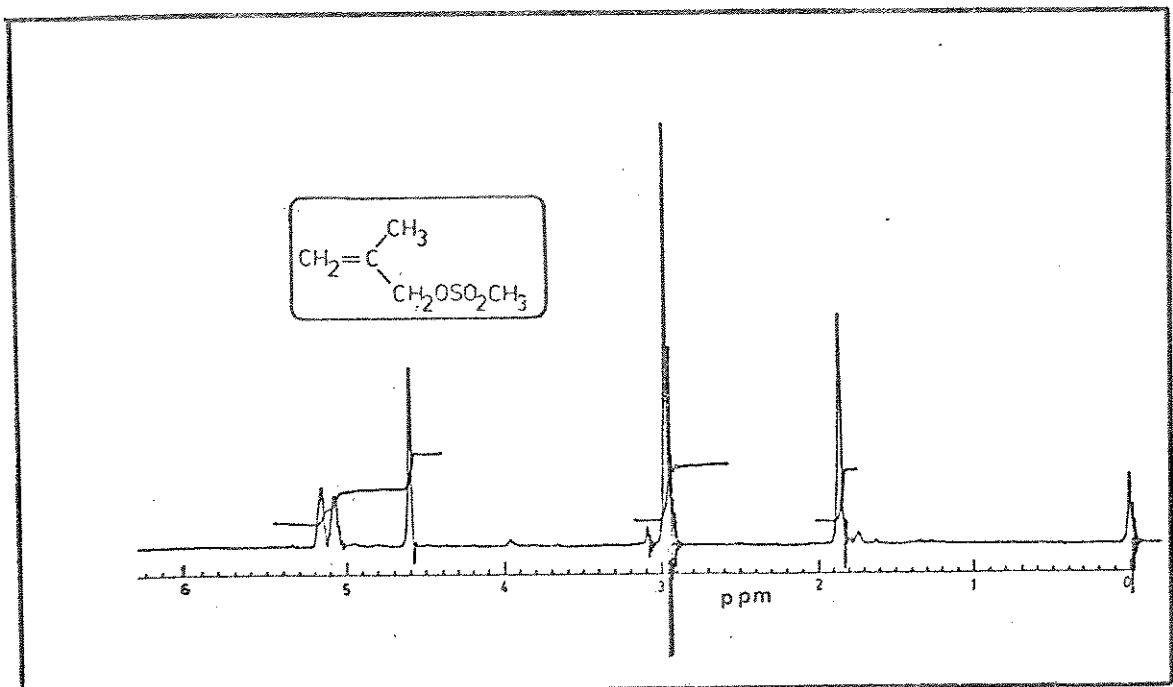


Figura 60. Espectro de n.m.r. de  $^1\text{H}$  do metanossulfonato de 2-metil-3-propenila (13) em  $\text{CCl}_4$  (100MHz), (b)-Expansão à 50 Hz.

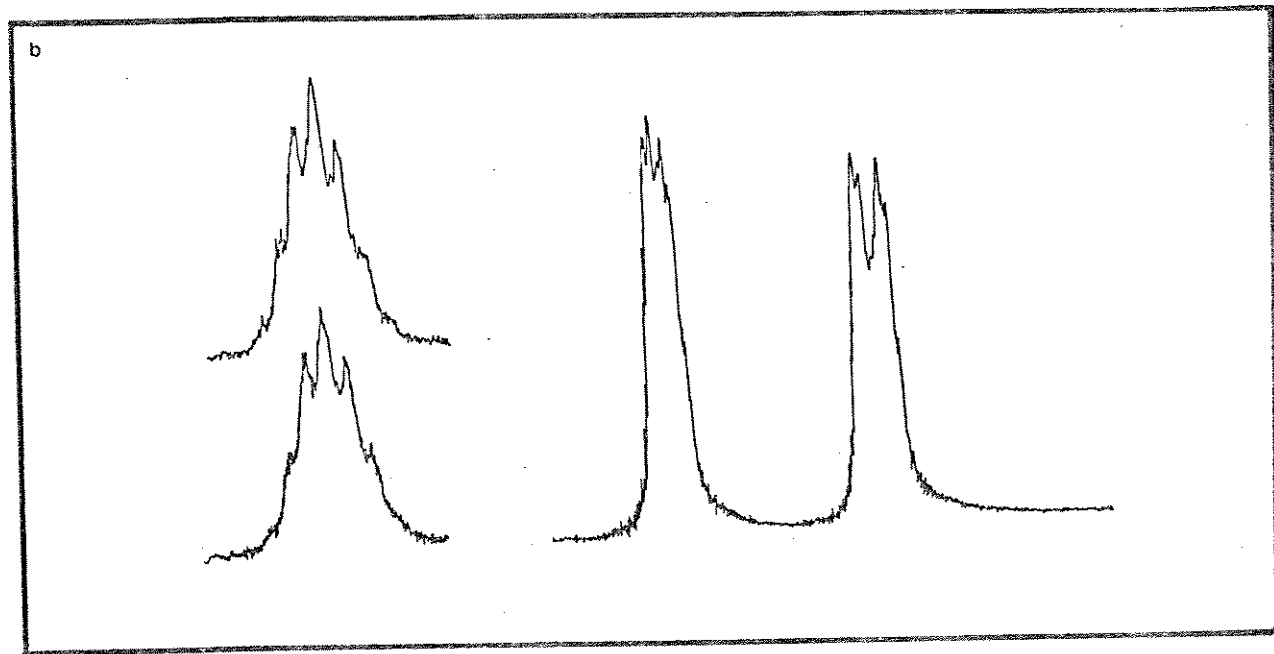
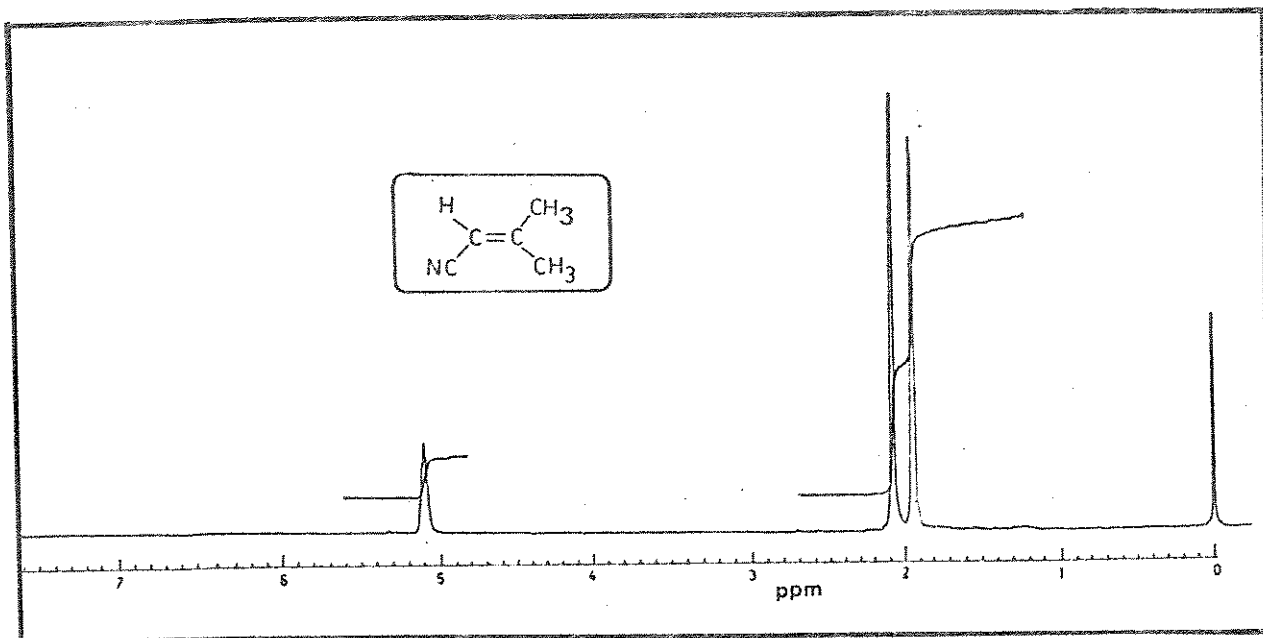


Figura 61. Espectro de r.m.n. de  $^1\text{H}$  do 1-ciano-2-metilpropane no (14) em  $\text{CCl}_4$  (100MHz), (b) Expansão à 50Hz.

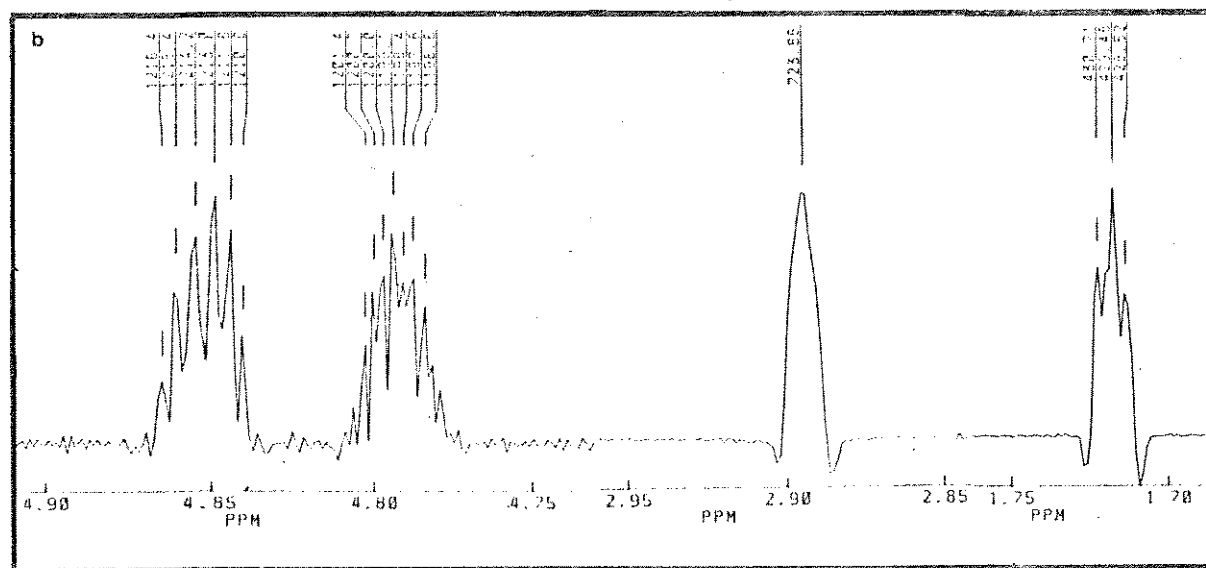
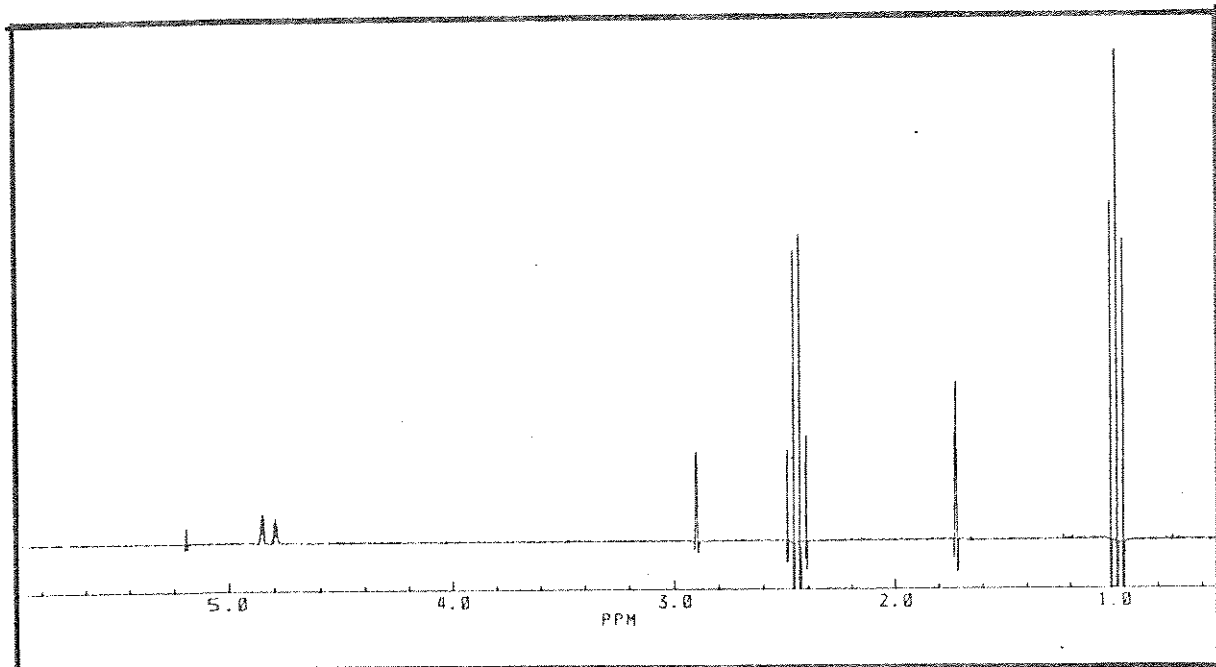


Figura 63. Espectro de n.m.r. de  $^1\text{H}$  do 3-N,N-Dietilamino-2-metilpropeno em  $\text{CHCl}_3$ , (250MHz), (b) sinais expandidos.

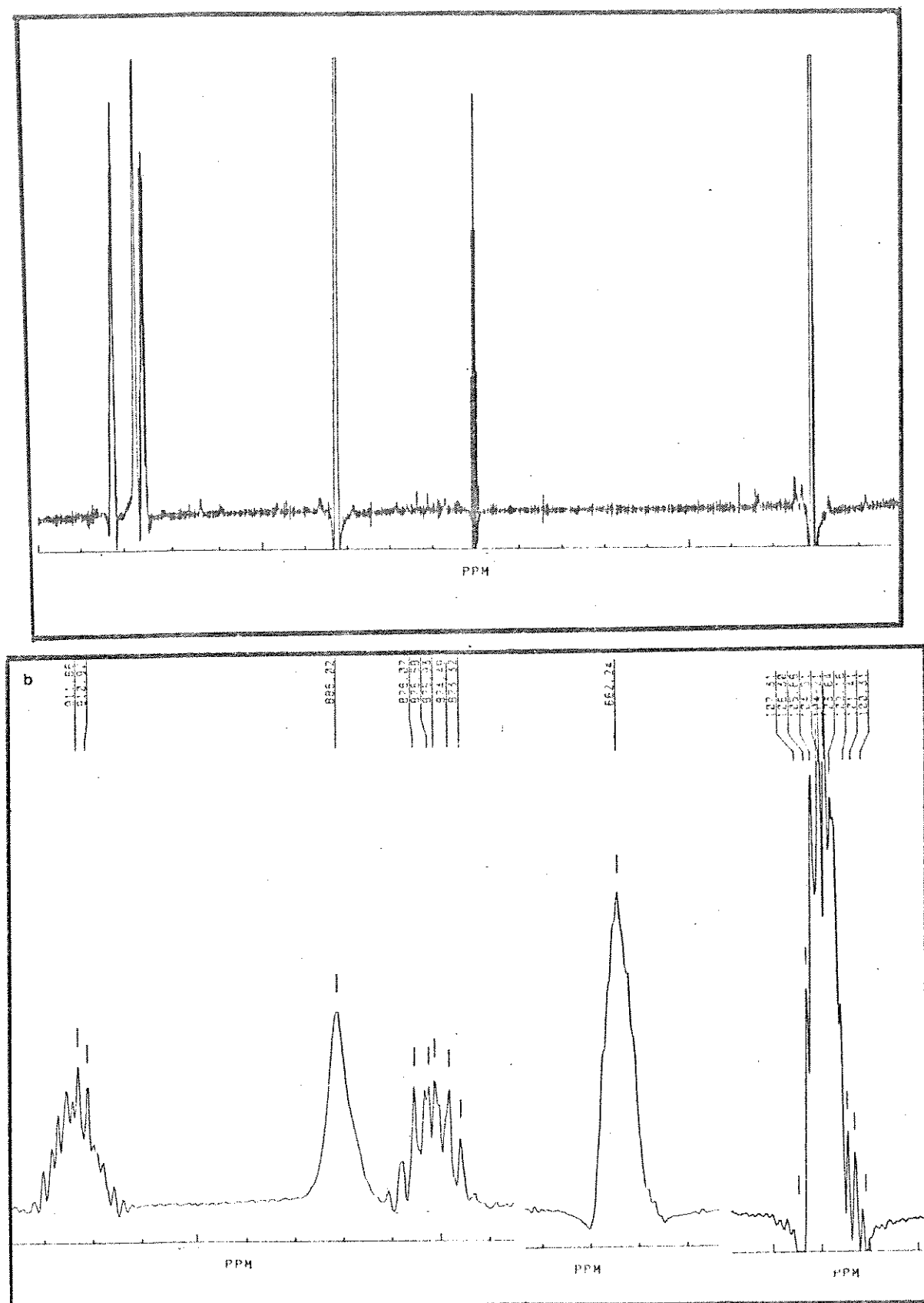


Figura 6.4. Espectro de n.m.r. de  $^1\text{H}$  do 2-metilpropen-3-ol em acetona- $d_6$  (250MHz), (b) sinais expandidos.

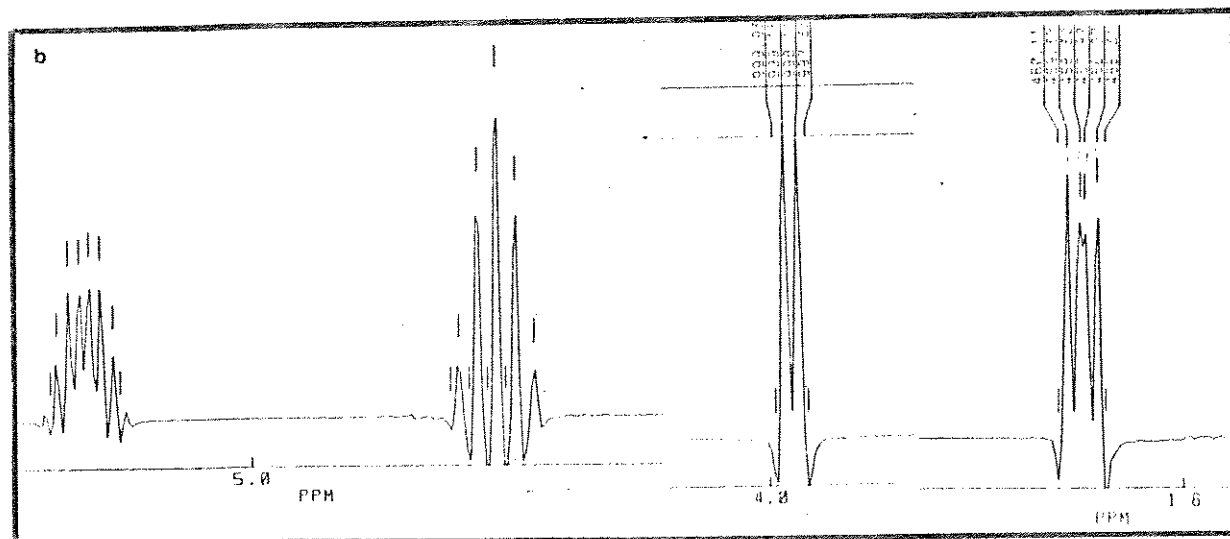
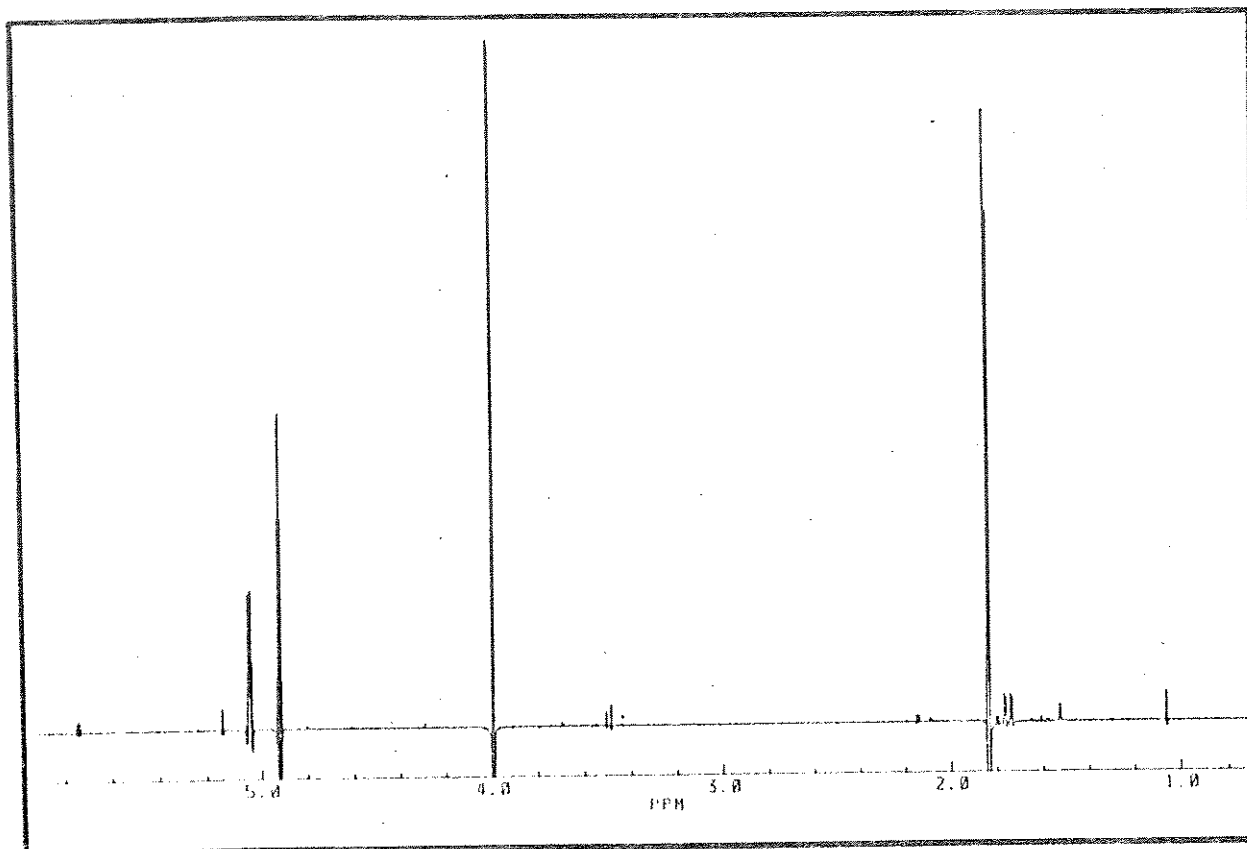


Figura 65. Espectro de r.m.n. de  $^1\text{H}$  ao 3-cloro-2-metilprope no em  $\text{CHCl}_3$  (250MHz), (b) sinais expandidos.

## Capítulo 3

### RESSONÂNCIA MAGNÉTICA NUCLEAR DE $^{13}\text{C}$ DE 2-METILPROOPENOS 3-SUBSTITUIDOS.

Neste capítulo, discutiremos a influência dos substituintes nos deslocamentos químicos de  $^{13}\text{C}$ , nas constantes de acoplamento  $^{13}\text{C}-\text{H}$ , nos compostos metalílicos, procurando observar correlações com diversos parâmetros eletrônicos do substituinte. Métodos empíricos de cálculo utilizados para determinar os deslocamentos químicos dos carbonos olefínicos e carbono alfa-metilênico também serão discutidos.

Os espectros de  $^{13}\text{C}$  dos 2-metilpropenos-3-substituidos se mostraram simples, com sinais bem distintos para os carbonos nas respectivas regiões, não necessitando de técnicas especiais para a atribuição de seus sinais. Os espectros foram obtidos em solução de clorofórmio (ver parte Experimental), e todos os deslocamentos químicos foram determinados pelo espectro desacoplado de próton (DFL), - também chamado "Broad band decoupling" ou "Noise decoupling" e pelo espectro acoplado com próton (DA), "Gated decoupling". Os espectros encontram-se no final deste Capítulo.

#### 3.1. INTERPRETAÇÃO DOS DADOS DE R.M.N. DE $^{13}\text{C}$ .

Os valores obtidos para os deslocamentos químicos dos compostos metalílicos, estão relacionados na Tabela 11, sendo os carbonos 5 e 6 pertencentes ao substituinte Z numerados conforme exemplo:  $\overset{5}{\text{OCH}_3}$ ,  $\overset{5}{\text{OCH}_2}\overset{6}{\text{CH}_3}$  ...

TABELA 11. DESLOCAMENTOS QUÍMICOS DE  $^{13}\text{C}$  (em ppm).

$\text{Z}$	C-1	C-2	C-3	C-4	C-5	C-6
$\text{H}^{\text{a}}$	110,70	141,70	23,60	23,60	-	-
$\text{CH}_3^{\text{b}}$	108,68	147,63	30,86	22,46	12,46	-
Cl	114,62	141,14	49,20	19,45	-	-
Br	115,59	141,43	38,01	20,18	-	-
I	114,27	142,52	12,01	20,99	-	-
$\text{N(Me)}_2$	112,67	143,13	66,91	20,62	45,26	-
$\text{N(Et)}_2$	112,04	144,07	60,31	20,85	46,74	11,67
OH	108,98	144,19	65,47	18,50	-	-
OMe	111,87	141,90	76,41	19,24	57,57	-
OEt	111,53	142,23	74,40	19,40	65,23	15,09
SH	111,96	144,37	31,82	20,59	-	-
SMe	113,21	140,73	41,46	20,57	14,53	-
SEt	112,98	141,29	38,97	20,71	24,85	14,36
$\text{OSO}_2\text{Me}$	115,58	137,97	73,28	19,04	37,75	-

<sup>a</sup> J. Magn. Reson. 7, 36 (1972).

<sup>b</sup> Org. Magn. Reson. 8, 426 (1976).

Para a interpretação da variação dos deslocamentos químicos de  $^{13}\text{C}$  dos compostos metalílicos, com a substituição, inicialmente procuraremos verificar possíveis correlações entre os carbonos destes compostos e os carbonos de compostos alílicos ( $\text{CH}_2=\text{CH}-\text{CH}_2-\text{Z}$ ), Tabela 12, com iguais substituintes Z. Estas correlações são apresentadas nas Figuras 66,67 e 68. Podendo-se verificar uma boa correlação entre os carbonos-3, com o substituinte ligado diretamente neste carbono, observando-se para os carbonos-olefínicos os seguintes coeficientes : para o C-1  $r= 0,942$  e para o C-2  $r= 0,994$ .

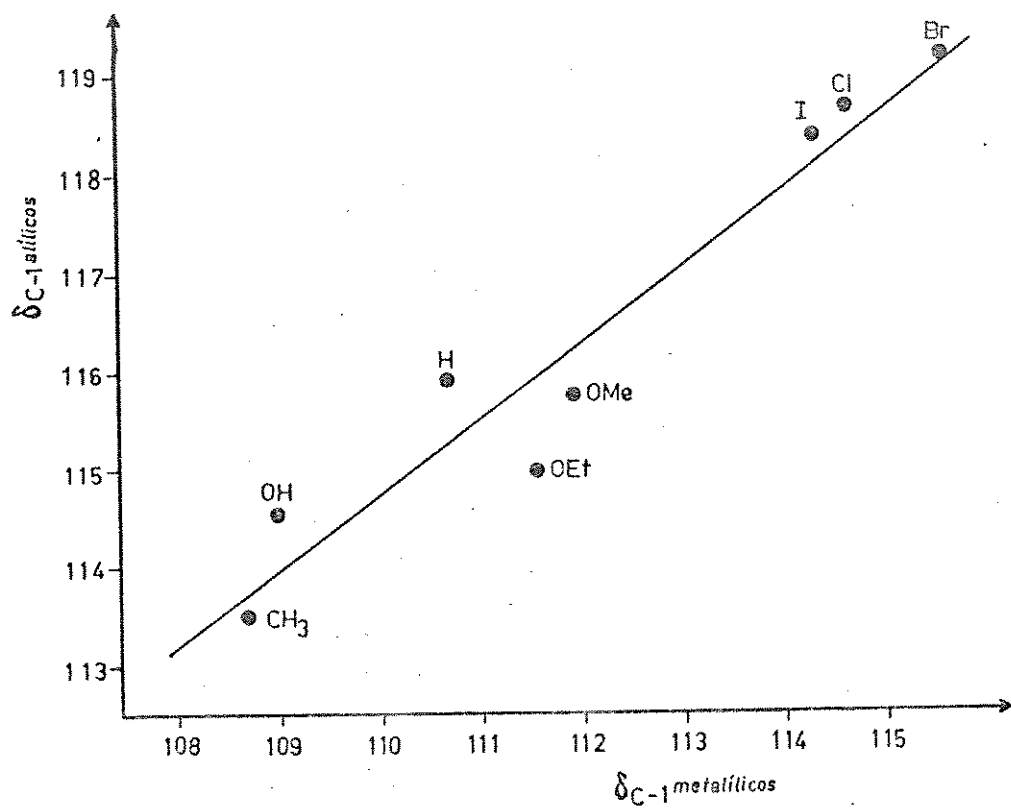


Figura 66. Correlação entre os deslocamentos químicos do C-1 de compostos alilicos e metalilicos (em ppm)  
Equação da reta:  $\delta_{C-1}$  alil. = 30,911 + 0,762.  
 $\delta_{C-1}$  metalil.  $n=0,942$

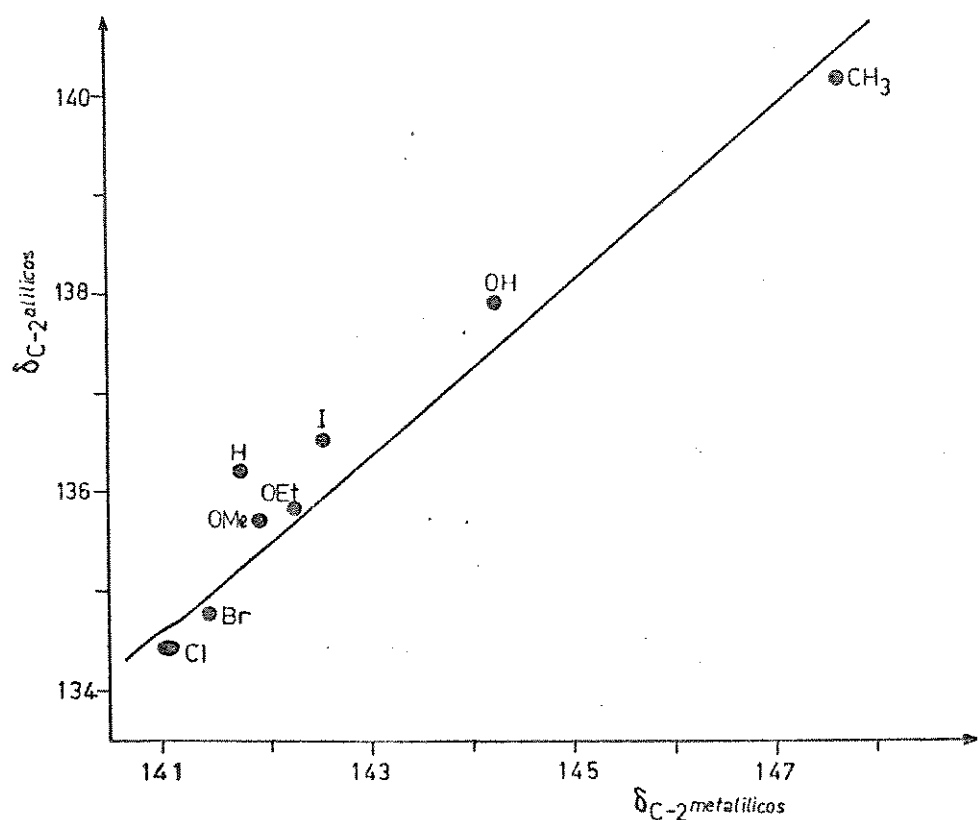


Figura 67. Correlação entre os deslocamentos químicos do C-2 de compostos alílicos e metalílicos (em ppm).  
Equação da reta :  $\delta_{C-2}^{alil.} = 9,404 + 0,888 \cdot \delta_{C-2}^{metalil.}$ .  
 $r = 0,994$

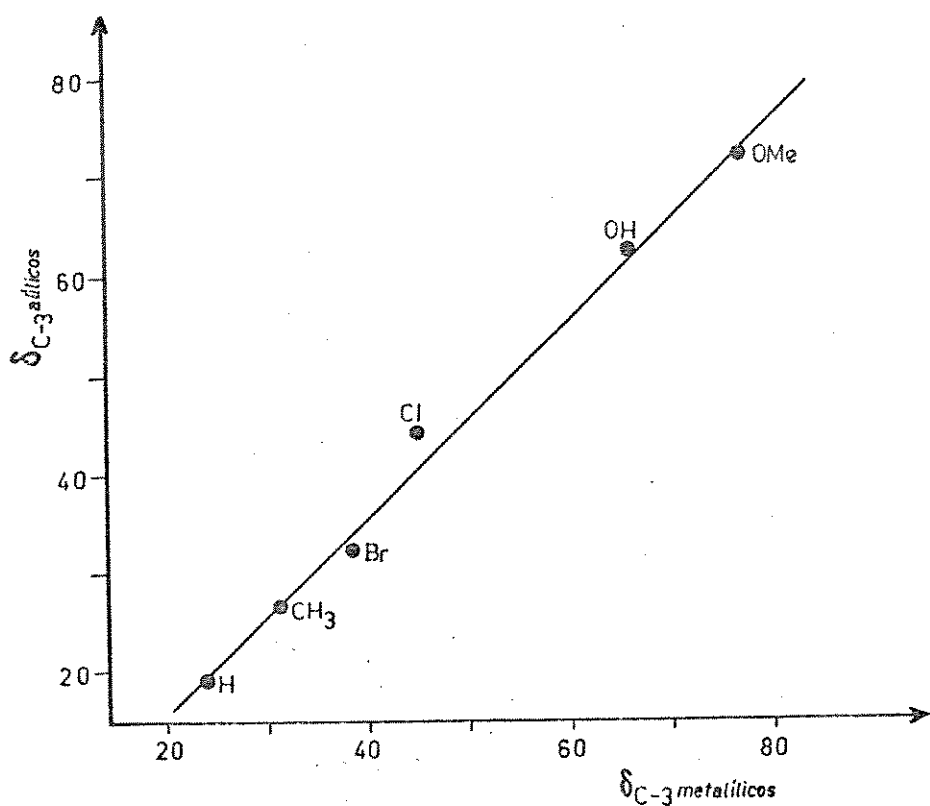
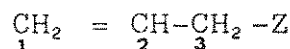


Figura 68. Correlação entre os deslocamentos químicos do C-3 de compostos alílicos e metalílicos (em ppm)  
Equação da reta:  $\delta_{C-3 \text{ alil.}} = -5,437 + 1,023 \cdot \delta_{C-3 \text{ metalil.}}$   
 $R^2 = 0,999$

TABELA 12. Deslocamentos químicos de  $^{13}\text{C}$  para compostos alílicos<sup>10,114,115</sup> (em ppm).



<u>Z</u>	<u>C-1</u>	<u>C-2</u>	<u>C-3</u>
H	115,9	136,2	18,7
$\text{CH}_3$	113,5	140,2	26,8
Cl	118,7	134,4	44,8
Br	119,2	134,7	32,4
I	118,4	136,6	5,4
OH	114,8	137,9	62,8
OMe	115,7	135,7	72,0
OEt	114,7	135,8	-
NMe <sub>2</sub>	117,3	136,0	63,0
NEt <sub>2</sub>	116,9	136,1	56,4
SH	115,4	137,4	27,6

A boa correlação observada para o carbono -3(alfa substituído) , entre compostos alílicos e metalílicos , demonstra que o efeito da substituição no carbono  $\text{sp}^3$  , para as duas séries é o mesmo, e a introdução do grupo metila nos compostos metalílicos, no carbono-2, não produz efeitos consideráveis na densidade eletrônica deste carbono.

A variação no deslocamento químico do carbono-3, para os compostos alílicos foi atribuída por Yonemoto<sup>115</sup> , principalmente ao efeito indutivo do substituinte, sendo semelhante ao efeito observado para derivados do metano<sup>19</sup> , com os mesmos substituintes.

Para melhor avaliar o efeito no carbono-3 em compostos metalílicos, fez-se uma correlação entre o deslocamento químico do carbono-3 para propanos substituídos , ( $\text{CH}_3-\overset{1}{\text{CH}}_2-\overset{2}{\text{CH}}_2-\overset{3}{\text{CH}}_2-\text{X}$ ), listados na Tabela 13, observando-se boa-correlação (  $r= 0,998$  ), podendo-se visualizar através da

Figura 69.

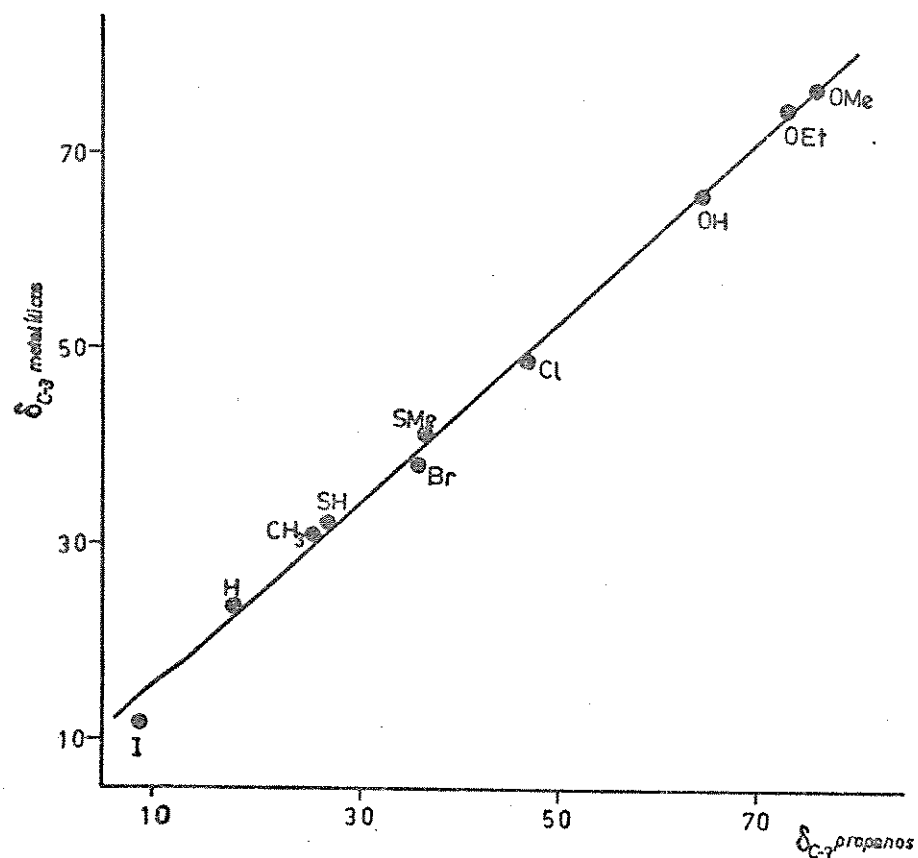


Figura 69. Correlação entre os deslocamentos químicos do C-3 de propanos substituídos e de 2-metilpropanos 3-substituídos.

TABELA 13. Deslocamentos químicos de <sup>13</sup>C para o C-3 em propanos substituídos<sup>a</sup> (em ppm).

CH <sub>3</sub> -CH <sub>2</sub> -CH <sub>2</sub> -Z			
Z	C-3	Z	C-3
H	17,4	OEt	72,5
CH <sub>3</sub>	25,0	SH	26,4
Cl	46,6	SMe	36,3
Br	35,7 <sup>c</sup>	OH	64,2
I	9,2	OCH <sub>3</sub>	75,5

<sup>a</sup>medido em relação ao TMS. <sup>c</sup>Ref. 181  $\delta_{TMS} = \delta_{CS_2} - 192,8$   
Dados das referências 115, 181-183.

Em compostos alílicos<sup>115</sup>, a variação no deslocamento químico dos carbonos insaturados é atribuída ao efeito de campo elétrico produzido pelo substituinte.

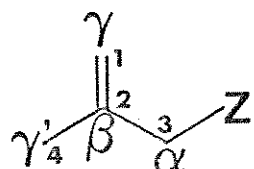
Nas Figuras 66 e 67, que mostram a correlação entre os deslocamentos químicos dos carbonos insaturados (C-1 e C-2) de compostos alílicos e metalílicos observa-se que a introdução do grupo metila no C-2 dos metalílicos, gera outros efeitos além dos observados para os compostos alílicos, que são refletidos pelos valores dos coeficientes de correlação, para o C-1 ( $r=0,942$ ) e para o C-2 ( $r=0,994$ ), embora estes coeficientes demonstrem a existência de excelentes correlações lineares.

### 3.2. EFEITOS EMPÍRICOS DOS SUBSTITUINTES NOS DESLOCAMENTOS QUÍMICOS DE $^{13}\text{C}$ .

Vários são os fatores que contribuem para a blindagem de núcleos de  $^{13}\text{C}$ , que geralmente se combinam de maneira complexa. A natureza do grupo funcional, o número e posição do substituinte em relação ao carbono considerado e a hibridização do carbono, são em parte fatores determinantes.

O uso de correlações empíricas e métodos empíricos de cálculo tem sido utilizado com grande sucesso.

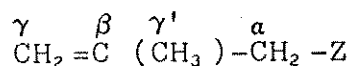
Os compostos metalílicos estudados neste trabalho, apresentam o seguinte esqueleto básico (37);



Os efeitos dos substituintes Z sobre os carbonos do esqueleto acima, podem ser denominados de efeito  $\alpha$  ,  $\beta$  ,  $\gamma$  e  $\gamma'$ , sendo o efeito  $\alpha$  sobre o carbono metilênico  $sp^3$  - (C-3), efeito  $\beta$  sobre o carbono olefinico (C-2), o efeito-  $\gamma$  sobre o carbono metilênico olefinico (C-1) e  $\gamma'$  sobre- o carbono metílico (C-4). Estes efeitos foram definidos à partir da Equação 23 (página 49 ), obtendo-se os valores - numéricos que estão listados na Tabela 14.

O efeito alfa produzido no C-3 pelo substituinte Z é de desproteção, de maneira semelhante ao observado para compostos saturados<sup>117</sup> , sendo a eletronegatividade do substituinte e o efeito indutivo os principais fatores para tal desblindagem.

TABELA 14. Efeitos dos substituintes para os carbonos de 2-metilpropeno 3-substituidos. (em ppm).



Z	$\alpha$	$\beta$	$\gamma$	$\gamma'$
H	0	0	0	0
Cl	+25,60	-0,56	+3,92	-4,15
Br	+14,41	-0,27	+4,89	-3,42
I	-11,59	+0,82	+3,57	-2,61
N(Me) <sub>2</sub>	+43,31	+1,43	+1,97	-2,98
N(Et) <sub>2</sub>	+39,71	+2,37	+1,34	-2,75
OH	+41,87	+2,49	-1,72	-5,10
OMe	+52,81	+0,20	+1,17	-4,36
OEt	+50,80	+0,53	+0,83	-4,20
SH	+8,22	+2,67	+1,26	-3,01
SMe	+17,86	-0,97	+2,51	-3,03
SEt	+15,37	-0,41	+2,28	-2,89

No caso dos halogênios (Cl, Br e I), observa-se que o efeito alfa não é proporcional a eletronegatividade do substituinte, quando se compara este efeito com o efeito alfa dos demais heteroátomos da série. O Iodo causa - uma proteção de -11,59 ppm, e o efeito de desproteção diminui do cloro para o Bromo, esta variação observada é devido a blindagem diamagnética produzida pelo átomo pesado. O efeito do átomo pesado é proporcional ao tamanho do átomo, sendo para I > Br > Cl.

Os efeitos  $\beta$  e  $\gamma$  do substituinte sobre os carbonos olefínicos, seja através da ligação sigma sobre o C-2 ou através da ligação pi sobre o C-1, não variam de maneira regular para os compostos metalílicos. Os dados desses efeitos, mostrados na Tabela 14, nos permitem verificar que para a maioria dos substituintes os dois carbonos olefínicos sofrem desproteção ou seja, as densidades eletrônicas dos dois carbonos olefínicos diminuem.

Com exceção do composto no qual Z=OH, o carbono-em gama é desblindado, desblindagem esta que já havia sido observada para compostos alílicos<sup>115</sup>, mas nenhuma explicação foi sugerida.

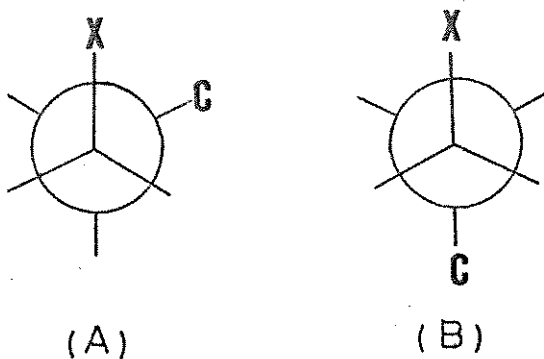
No caso dos compostos metalílicos esta não uniformidade observada na variação dos efeitos beta e gama do substituinte pode ser atribuída provavelmente a efeitos conformacionais, desde que o carbono que contém o heteroátnomo é  $sp^3$ , com livre rotação, e a introdução do grupo metila no carbono-2, pode colocar o substituinte *syn*, *gauche* ou *anti* ao grupo metilênico olefínico, causando modificações nas densidades eletrônicas destes carbonos, produzindo efeitos diferentes e dependentes da conformação preferencial dos compostos metalílicos para cada tipo de substituinte.

O isomerismo rotacional dos compostos metalílicos

é discutido no Capítulo 5, Parte I.

O efeito  $\gamma'$  produzido no carbono-4, causa proteção para este carbono em toda a série de metalílicos Z substituídos.

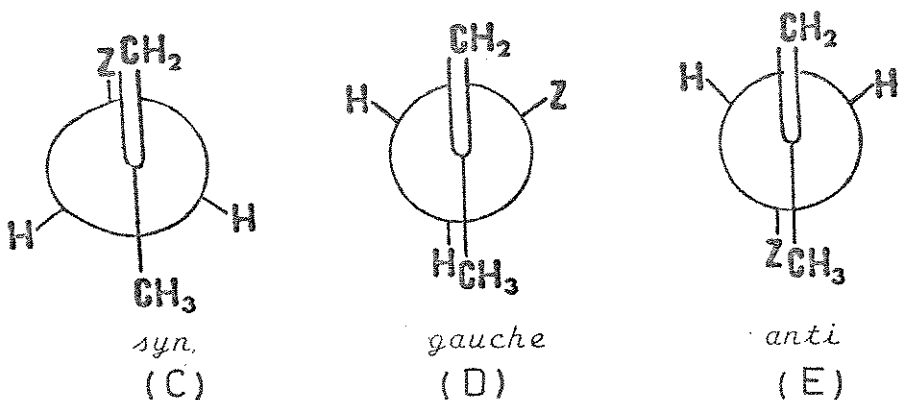
O efeito gama através de somente ligações sigma, já é bem documentado<sup>140,141</sup>, sendo atribuído a interação estérica entre o substituinte e o H do carbono que está sendo considerado, alterando a polarização da ligação C-H desse carbono, aumentando sua blindagem. Estas interações são atribuídas às posições  $\gamma$ -gauche (A) do carbono  $\gamma$  em relação ao heteroátomo, não ocorrendo para o rotâmero  $\gamma$ -anti(B).



Nos compostos metalílicos halogenados, observa-se que o efeito  $\gamma'$  sobre o carbono do grupo metila é um efeito de proteção o qual diminui com o tamanho do halogênio, sendo para I = -2,61, Br = -3,42 e Cl = -4,15 ppm. Semelhante tendência é também observada para compostos saturados, sendo esta variação atribuída a efeitos estéricos, onde a população relativa do confôrmero *gauche* diminui com o tamanho do heteroátomo, diminuindo a magnitude do efeito gama.

Isto nos permite propor que para os compostos metalílicos halogenados, no caso do iodo a conformação mais estável deve ser aquela em que o grupo metila e o átomo de iodo estão numa relação *anti*, que corresponde a conformação denominada *syn* (C), segundo a nomenclatura utilizada-

neste trabalho. Para o Cl e Br o equilíbrio conformacional deve se deslocar em direção ao rotâmero *gauche* (D), o que explicaria a variação do efeito  $\gamma'$  na série dos metalílicos halogenados.



Esta proposição não vem de encontro com o que foi proposto por Northam, Oliver e Crowder<sup>168</sup> para o iodeto de-metila, onde o iodo localizava-se eclipsado com o grupo-metila (E).

Para os demais heteroátomos N, O e S também observa-se o efeito  $\gamma'$  de proteção sobre o carbono-4

### 3.3. CORRELAÇÕES ENTRE DESLOCAMENTOS QUÍMICOS DE $^{13}\text{C}$ E PARÂMETROS ELETRÔNICOS E ESTÉRICOS.

#### 3.3.1. $\sigma_I$ -EFEITO POLAR DE CHARTON.<sup>184</sup>

De um modo geral não se encontra uma boa correlação entre deslocamento químico de  $^{13}\text{C}$  e os valores de  $\sigma_I$  para os quatro carbonos do esqueleto metalílico.

Na Tabela 15 apresentamos os valores dos coeficientes  $a$ ,  $b$  e  $r$ (coeficiente de correlação) da Equação 24.

$$\delta = a \sigma_I + b \quad (24)$$

TABELA 15. Coeficientes de correlação para  $\delta^{13}\text{C}$  vs  $\sigma_I$  nos compostos metalílicos.

<u><math>\delta</math></u>	<u>a</u>	<u>b</u>	<u>r</u>
C-1	108,04	14,51	0,880
C-2	146,42	-12,33	0,803
C-3	42,39	12,84	0,095
C-4	21,37	- 3,91	0,480

A melhor correlação encontrada é entre o deslocamento químico do carbono-1 e o  $\sigma_I$ , que é apresentada na Figura 70. Os demais casos não são mostrados devido aos baixos valores de r e também porque a distribuição dos pontos aparece de forma aleatória no plano xy.

Esses resultados obtidos indicariam que no caso do C-1, os deslocamentos químicos seriam dependentes principalmente do efeito polar enquanto que para os demais carbonos, outros efeitos, tais como estéricos e conformacionais teriam um papel significativo.

### 3.3.2. $\nu_S$ -EFEITO ESTÉRICO DE CHARTON.<sup>184</sup>

Praticamente não existe uma correlação linear geral entre o efeito estérico e os deslocamentos químicos dos quatro carbonos do esqueleto metalílico. Na Tabela 16 encontram-se os valores de a, b e r da Equação 25.

$$\delta = a \nu_S + b \quad (25)$$

A falta de correlação observada, tanto para o efeito polar de Charton, como para o efeito estérico de Charton, indicam que somente um ou outro efeito não são os responsáveis pela blindagem observada nos deslocamentos

químicos com a mudança do substituinte nos compostos metalílicos.

TABELA 16. Coeficientes de correlação para  $\delta^{13}\text{C}$  vs  $\nu_s$  nos compostos metalílicos.

$\delta$	a	b	r
C-1	108,40	67,88	0,553
C-2	144,88	-3,67	0,322
C-3	91,66	-78,42	0,703
C-4	18,34	3,21	0,530

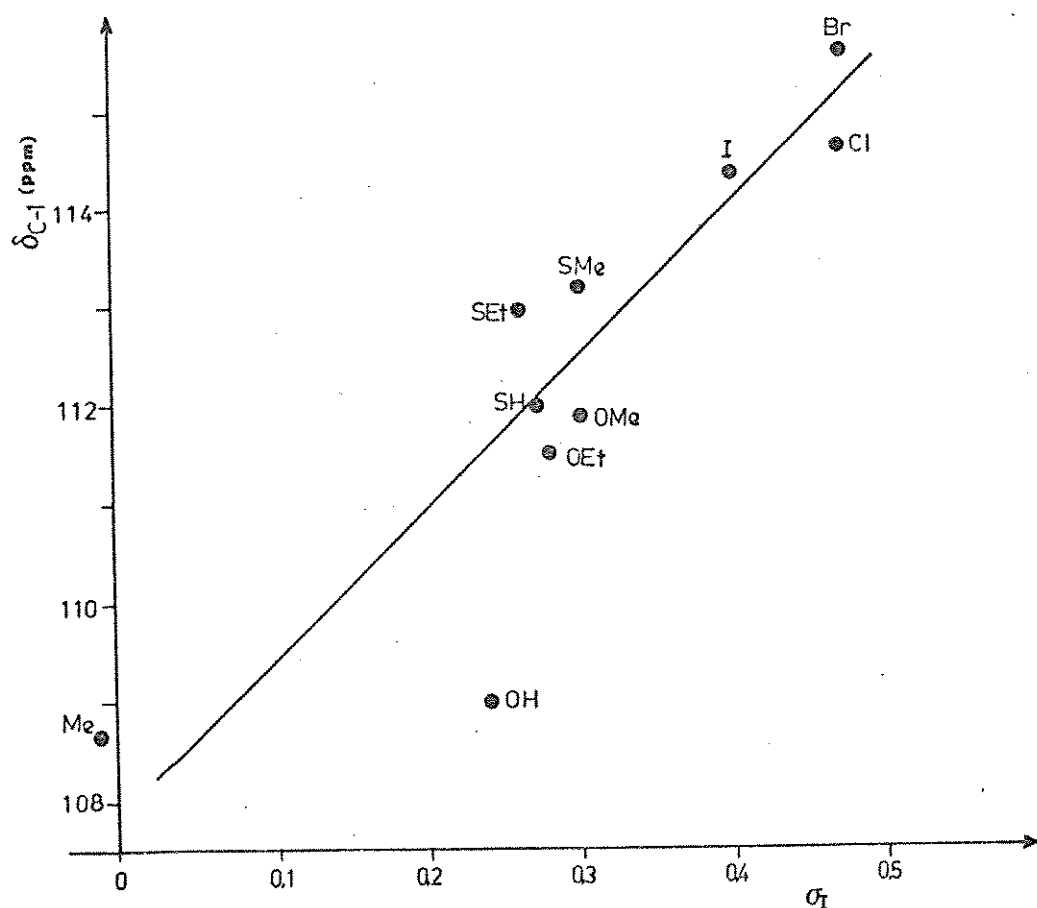


Figura 70. Correlação entre os deslocamentos químicos do C-1 de compostos metalílicos e o parâmetro polar de Charton ( $\sigma_I$ ).  $r=0,880$ .

### 3.3.3. $\sigma_I$ e $\nu_s$ - EFEITOS POLAR E ESTÉRICO DE CHARTON.

A consideração de ambos efeitos através de relações de regressão multilinear, mostra que se obtém melhores valores no caso dos quatro carbonos considerados. Pode-se mesmo afirmar que no caso do C-1, a correlação é muito boa ( $r=0,958$ ), sendo que se observa também para os de mais carbonos uma melhora significativa nos coeficientes de correlação, como se pode observar na Tabela 17. Nesta Tabela, são apresentados os valores de  $c$ (constante)  $\rho$  e  $\gamma$  (coeficientes de  $\sigma_I$  e  $\nu_s$ , respectivamente) da Equação 26.

$$\delta = c + \rho \sigma_I + \gamma \nu_s \quad (26)$$

TABELA 17. Coeficientes de correlação multilinear entre  $\delta - \gamma \nu_s$  vs  $\sigma_I$

<u><math>\delta</math></u>	<u><math>c</math></u>	<u><math>\rho</math></u>	<u><math>\gamma</math></u>	<u><math>r</math></u>
C-1	105,68	13,47	4,74	0,958
C-2	144,33	-11,81	-1,83	0,819
C-3	87,57	19,76	-81,49	0,715
C-4	19,32	-5,03	4,07	0,801

Na Figura 71, é apresentada a correlação entre os deslocamentos químicos corrigidos para o efeito estérico - ( $\delta - \gamma \nu_s$ ) e os valores de  $\sigma_I$ , para o C-1. Os dados e parâmetros utilizados na Figura 71, estão relacionados na Tabela 18.

O fato de se ter  $\rho \gg \gamma$ , indica, como havia sido concluído no item 3.3.1., que o efeito polar é predominante para o carbono-1, mas existe uma pequena parcela do efeito estérico atuando na variação dos deslocamentos químicos, desde que o  $r$  melhora de 0,880 para 0,958, quando se inclui o efeito estérico.

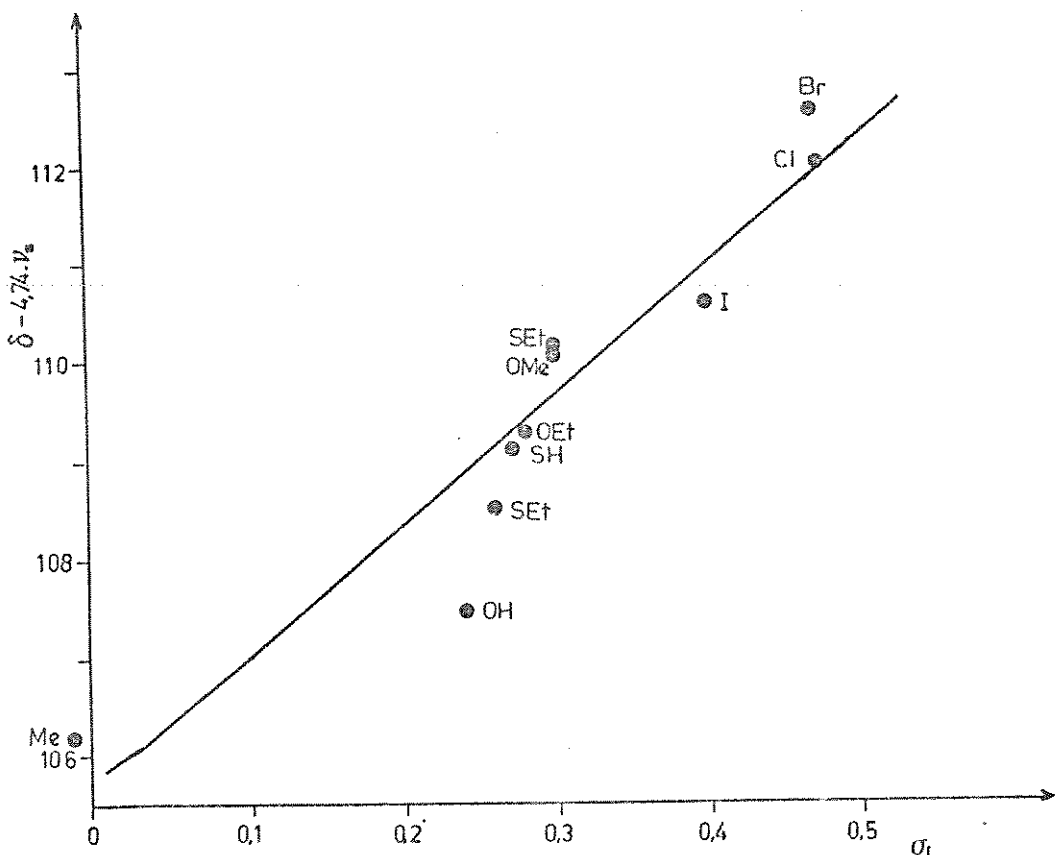


Figura 71. Correlação entre os deslocamentos químicos corrigidos do C-1 e o parâmetro polar  $\sigma_I$   $n=0,958$

TABELA 18. Deslocamentos químicos experimentais ( $\delta$ ) e corrigidos ( $\delta - \gamma_{v_s} v_s$ ) para o C-1 de 2-metilpropenos 3-substituídos e os parâmetros estérico ( $v_s$ ) e polar de Charton ( $\sigma_I$ ).

Z	$\delta$	$v_s$	$\sigma_I$	$\delta - \gamma_{v_s} v_s$
Me	108,68	0,52	-0,01	106,22
Cl	114,62	0,55	0,47	112,01
Br	115,59	0,65	0,47	112,51
I	114,27	0,78	0,40	110,57
OH	108,98	0,32	0,24	107,46
OMe	111,87	0,36	0,30	110,16
OEt	111,53	0,48	0,28	109,25
SH	111,96	0,60	0,27	109,12
SMe	113,21	0,64	0,30	110,18
SEt	112,98	0,94	0,26	108,52

$\gamma = 4,74$  (calculado a partir da Equação 26).

### 3.3.4. $\mathcal{F}$ -EFEITO DE CAMPO DE SWAIN-LUPTON.<sup>185</sup>

Uma boa correlação linear entre o efeito de campo ( $\mathcal{F}$ ) e o carbono-1 foi observada, com coeficiente de correlação  $r=0,934$ . Não sendo observado portanto nenhuma correlação linear para os demais carbonos do esqueleto metalílico com o efeito de campo.

Na Figura 72, temos a correlação obtida entre o Carbono-1 e o efeito de campo de Swain-Lupton.

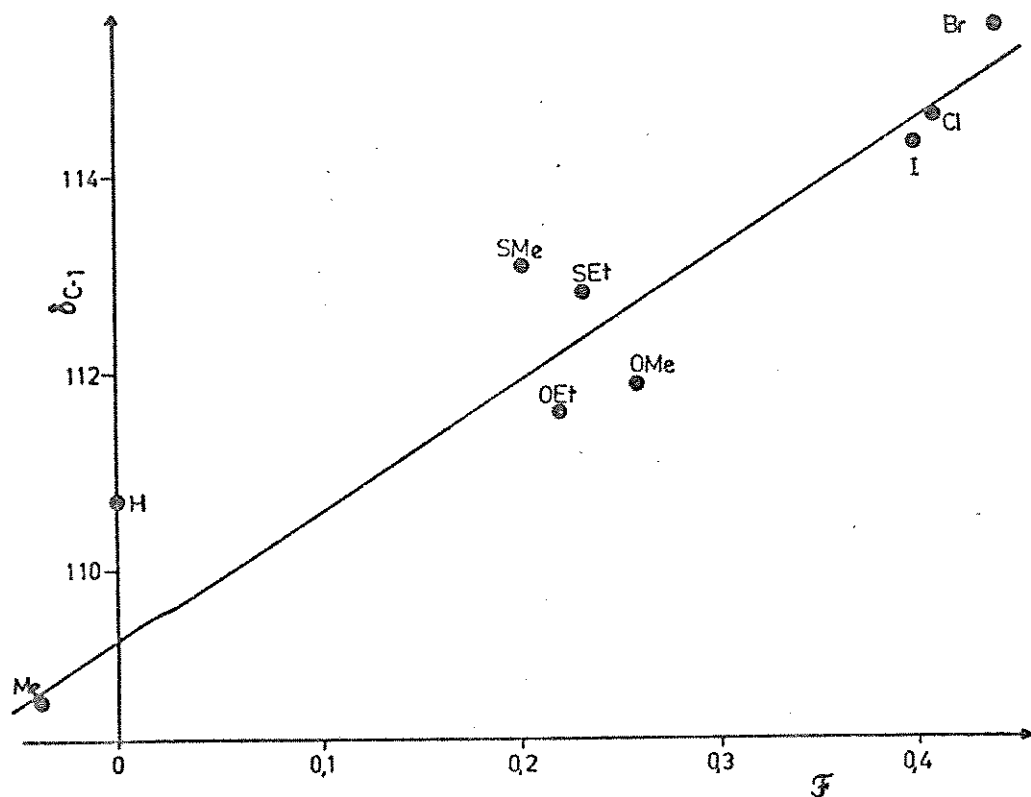


Figura 72. Correlação entre os deslocamentos químicos do C-1 de compostos metalílicos e o efeito de campo ( $\mathcal{F}$ ).  
Equação da reta:  $\delta = 109,83 + 11,77 \cdot \mathcal{F}$  ( $n=0,934$ )

Os resultados descritos pelas correlações entre os parâmetros dos substituintes e os deslocamentos químicos dos carbonos do esqueleto metalílico indicam que a variação observada para o C-1 é resultante da contribuição de todos esses efeitos ( $\nu_s$ ,  $\sigma_i$  e  $\mathcal{F}$ ), desde que somente para este carbono boas correlações foram obtidas, confirmado por outro lado que o efeito de campo responsável pela variação nos deslocamentos químicos do C-1 em compostos alílicos é também observado nos compostos metalílicos.

### 3.4. CORRELAÇÕES ENTRE OS DESLOCAMENTOS QUÍMICOS DE COMPOSTOS METALÍLICOS E PROPANONAS $\alpha$ -MONOSSUBSTITUIDAS.

#### 3.4.1. CARBONO-1.

O núcleo correspondente ao carbono C-1 de 2-metilpropenos 3-substituídos é o átomo de Oxigênio das propanonas  $\alpha$ -monossubstituídas. Embora se dispusesse de poucos dados para os deslocamentos químicos de  $^{17}\text{O}$ , a correlação obtida, entre cinco pontos, nos forneceu um bom coeficiente de correlação ( $r=0,920$ ).

#### 3.4.2. CARBONO-2.

Os núcleos que se correspondem são o carbono olefínico quaternário e o carbono carbonílico. Observa-se que os deslocamentos químicos de  $^{13}\text{C}$  desses dois núcleos efetivamente não se correlacionam, o que é refletido pelo baixo coeficiente de correlação ( $r=0,497$ ).

#### 3.4.3. CARBONO-3.

Os núcleos que se correspondem são os carbonos ligados ao substituinte Z e ao carbono  $\text{sp}^2$ . Verifica-se neste caso, uma excelente correlação ( $r=0,986$ ) entre ambos o que indica que mesmo que ocorram interações de orbitais no caso de cetonas, esta interação não modifica muito

o efeito do heteroátomo neste carbono, mas sim a densidade eletrônica no grupo carbonila. Na Figura 73 apresentamos a correlação entre os deslocamentos químicos deste carbono para os compostos metalílicos e as propanonas  $\alpha$ -substituídas.

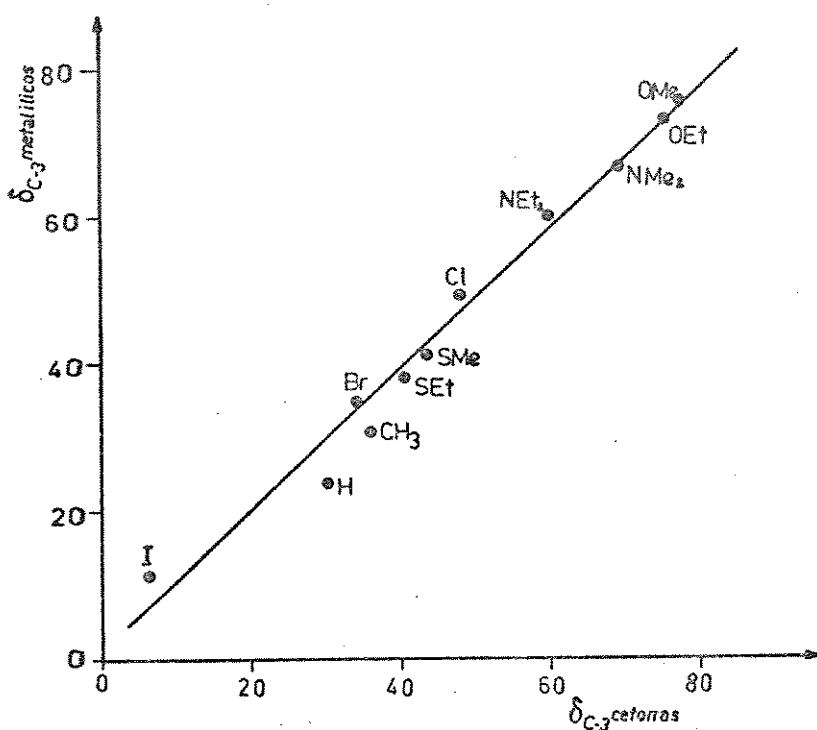


Figura 73. Correlação entre os deslocamentos químicos de  $^{13}C$  do C-3 de 2-metilpropenos 3-substituídos e propanonas  $\alpha$ -monossubstituídas. ( $r=0,986$ ).

#### 3.4.4. CARBONO-4.

Os núcleos que se correspondem são os carbonos - metílicos ligados ao carbono  $sp^2$ . Verifica-se também aqui uma boa correlação ( $r=0,908$ ), que só não é expressa por um

melhor coeficiente de correlação devido a pequena variabilidade dos valores de deslocamentos químicos nas cetonas.

Em resumo, esses resultados indicam que existe - uma certa correlação entre os deslocamentos químicos de  $^{13}\text{C}$  dos compostos metalílicos e das propanonas monossubstituídas, observando-se no entanto que as densidades eletrônicas no C-2, sofrem influências diferentes do substituinte, indicando que no caso das cetonas provavelmente deva mesmo ocorrer interação entre o oxigênio e o heteroátomo, como foi proposto<sup>2</sup>, pois esta interação reflete diretamente sobre a densidade eletrônica do carbono carbonílico(C-2).

### 3.5. MÉTODOS EMPÍRICOS DE CÁLCULO.

Métodos empíricos foram utilizados para calcular o deslocamento químico dos carbonos nos compostos metalílicos, na tentativa de elucidar a influência do substituinte e observar a aplicabilidade das regras de aditividade, quando se calcula os deslocamentos químicos dos carbonos olefínicos e carbono  $\alpha$ -metilênico.

#### 3.5.1. CARBONO $\alpha$ -METILÊNICO.(C-3)

Para calcular o deslocamento químico de carbonos- $\text{sp}^3$ , existem vários métodos, conforme descrito na Parte I,- Capítulo 4. Neste trabalho utilizamos o método onde considera-se o carbono alfa, como o metano dissustituido , -  $\text{MV} - \text{C} - \text{Z}$ , onde MV(metilvinil) é o grupo  $\text{CH}_2=\text{C}(\text{CH}_3)-$  e Z é o heteroátomo substituinte, obtendo-se o deslocamento químico do carbono alfa metilênico através da Equação 27, sendo -2,3 o deslocamento químico em ppm do metano,  $\alpha_{\text{MV}}$  é o - efeito alfa do grupo metilvinila e  $\alpha_Z$  é o efeito alfa do substituinte Z.

$$\delta_{\text{CH}_2-Z} = -2,3 + \alpha_{\text{MV}} + \alpha_Z \quad (27)$$

Os valores de  $\alpha_Z$ , listados na Tabela 19, foram obtidos de um exaustivo levantamento<sup>2</sup> de dados de deslocamentos químicos das funções, cujos efeitos do substituinte em alfa foram determinados. Através deste levantamento foi observado que o efeito alfa do substituinte torna-se constante à partir do terceiro membro da série, sendo o efeito  $\alpha_Z$  determinado à partir do valor médio entre os últimos valores de cada série.

Para o  $\alpha_{\text{MV}}$ , calculado de maneira análoga, obtém-se o valor de 24,08 ppm, que também é um valor médio calculado à partir do 2-metilpropeno, 2-metilbuteno, etc..

Os valores de deslocamentos químicos do metíleno, calculados pela Equação 27, encontram-se na Tabela 19 e sua comparação com valores experimentais forneceram os valores de  $\Delta\delta$ .

Do ponto de vista empírico, poderíamos utilizar os valores de  $\Delta\delta$ , como termos de correção, utilizando para cada grupo de substituintes um valor médio, por exemplo, no caso de Z= Oxigênio 4,7ppm, Z=Enxofre 1,3ppm, etc., transformando-se a Equação 27 na Equação 28, que seria válida para 2-metilpropenos 3-substituídos.

$$\delta_{\text{CH}_2-Z} = -2,3 + \alpha_{\text{MV}} + \alpha_Z + \Delta\delta \quad (28)$$

Estudos semelhantes feitos com cetonas  $\alpha$ -monosubstituídas e N,N-dietilcetamidas  $\alpha$ -monossustituidas<sup>186</sup> utilizando o mesmo método de cálculo do metíleno alfa substituído conduziram a grandes divergências entre os valores calculados e experimentais, Tabela 20, principalmente quando Z= halogênios, Oxigênio e Enxofre.

TABELA 19. Deslocamentos químicos de  $^{13}\text{C}$ , calculados e experimentais do carbono  $\alpha$ -metilênico em 2-metil - propenos 3-substituídos.

<u>Z</u>	<u><math>\alpha_Z</math></u>	<u><math>\delta_{\text{calc.}}^a</math></u>	<u><math>\delta_{\text{exp.}}</math></u>	<u><math>\Delta\delta^b</math></u>
Cl	31,5	53,28	49,20	-4,08
Br	20,0	41,78	38,01	-3,77
I	-10,5	11,28	12,01	+0,73
N(Me) <sub>2</sub>	46,4	68,18	69,91	+1,73
N(Et) <sub>2</sub>	40,1	61,88	60,31	-1,57
OH	48,3	70,08	65,47	-4,61
OMe	59,5	81,28	76,41	-4,87
OEt	57,3	79,08	74,40	-4,68
SH	11,1 <sup>c</sup>	32,88	31,82	-1,06
SMe	20,8	42,58	41,46	-1,12
SEt	18,6	40,38	38,97	-1,41
Me	9,1	30,88	30,86	-0,02
Et	18,5	40,28	40,29	+0,01

a-  $\delta_{\text{calc.}}$ , a partir da Equação 27. b-  $\Delta\delta$  foram calculados como a diferença entre  $\delta_{\text{calc.}}$  e  $\delta_{\text{exp.}}$ , c-Org.Magn.Reson.8,108, (1976).

A não aditividade do substituinte, observada para amidas e cetonas foi atribuída a interações eletrônicas e estéricas entre o substituinte e o grupo carbonila.

As dificuldades de interpretação dos resultados com amidas e cetonas, nos levaram a usar o mesmo método para o cálculo do deslocamento químico do carbono alfa metilê

nico de compostos metalílicos. Estes compostos apresentam-geometria do carbono beta, semelhante às cetonas alfa monosubstituídas, diferindo no tipo de ligação deste carbono. No caso das cetonas temos uma dupla ligação polarizada, do grupo carbonila, ( $C=O \leftrightarrow \overset{\dagger}{C}-\bar{O}$ ), além disto o oxigênio - possui um par de elétrons não ligantes que pode interagir com o substituinte, resultando a não aditividade computada pelo cálculo.

Em compostos metalílicos, não temos a polarização da dupla ligação e nem elétrons não ligantes no grupo metilvinila, observando-se pela Tabela 19, que os valores calculados do carbono alfa metilênico não diferem muito dos valores experimentais, mostrando uma certa aditividade do substituinte metilvinila e do heteroátomo ligados no mesmo carbono. Entretanto os valores de  $\Delta \delta$  para compostos metalílicos halogenados e oxigenados, são maiores que os demais, indicando que o carbono alfa para estes compostos é mais blindado que o esperado pelo cálculo, podendo-se eventualmente atribuir essas diferenças a interações entre o heteroátomo - Z e o grupo metilvinila, alterando a densidade eletrônica do carbono alfa metilênico, de maneira menos acentuada que nas cetonas.

Por outro lado sabe-se que não existe uma teoria bem definida sobre os mecanismos de blindagem de r.m.n. de  $^{13}C$ , não sendo possível determinar dados de deslocamentos químicos a partir de estrutura molecular. Assim, a introdução simultânea de dois substituintes no mesmo carbono, poderá conduzir a efeitos nem sempre aditivos e nem sempre previsíveis.

TABELA 20. Diferença entre os deslocamentos químicos de  $^{13}\text{C}$  experimentais e calculados para o carbono  $\alpha$ -metilênico, conforme Eq.27, para propanonas  $\alpha$ -monossustituidas<sup>b</sup> e N,N-dietilacetamidas  $\alpha$ -monossustituidas<sup>a</sup>.

Z	amidas <sup>a</sup>		cetonas <sup>b</sup>	
	$\Delta\delta$		$\Delta\delta$	
H	0,3		-2,0	
Cl	11,9		11,6	
Br	15,4		13,6	
I	14,3		11,6	
OMe	8,5		9,8	
SMe	7,7		5,8	
NMe <sub>2</sub>	5,1		5,1	
Me	4,5		0,9	
Et	4,8		1,4	

<sup>a</sup>Z-CH<sub>2</sub>C(O)NET<sub>2</sub>, <sup>b</sup>CH<sub>3</sub>COCH<sub>2</sub>Z

Um outro tratamento que pode ser feito para tentar fatorar os efeitos dos substituinte  $\alpha_Z$  e  $\alpha_{MV}$ , é através do uso de correlações lineares, igualando-se os valores de deslocamentos químicos experimentais aos calculados, conforme Equação 29.

$$\delta_{\text{exp.}} = -2,3 + a \alpha_Z + b \alpha_{MV} \quad (29)$$

Os valores de a e b da Equação 29, são interpretados como efeitos de atenuação dos substituintes.

A resolução desta Equação, utilizando os valores da Tabela 19, nos fornece  $a=1,01$  e  $b=0,91$  ( $r=0,997$ ).

O valor  $a=1,01$ , indica que o efeito do substituinte Z, não varia muito na presença do grupo metilvinila, enquanto que  $b=0,91$  demonstra uma diminuição no efeito do metilvinila (~10%), devido a presença do heteroátomo Z.

A Figura 74 ilustra a correlação linear obtida entre o deslocamento químico de  $^{13}\text{C}$  e o efeito dos substituintes ( $r=0,997$ ).

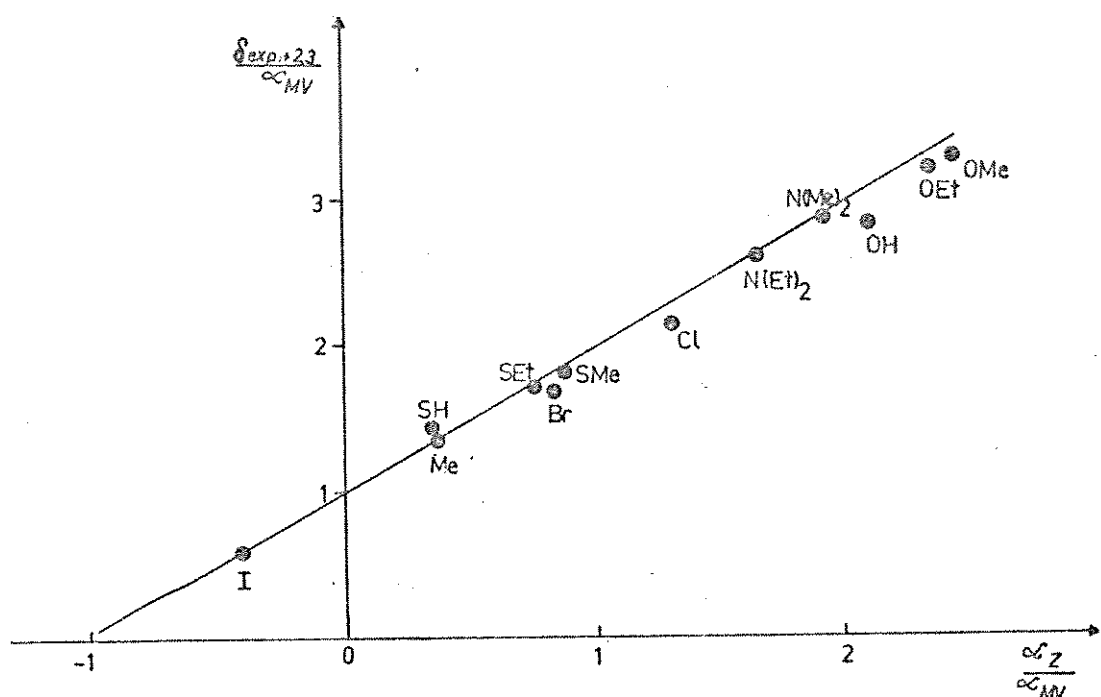


Figura 74. Correlação entre os deslocamentos químicos e os efeitos dos substituintes.

### 3.5.2. CARBONOS OLEFÍNICOS. (C-1 e C-2)

O cálculo do deslocamento químico de  $^{13}\text{C}$  dos carbonos  $\text{sp}^2$  dos compostos metalílicos, foi feito utilizando - se o método de Roberts<sup>142</sup>, descrito na página 46 , através - da Equação 18, fazendo-se as modificações necessárias para-

o sistema proposto por este trabalho, que serão discutidas a seguir.

A notação utilizada para os substituintes nos compostos metalílicos está representada na Figura 75, onde os substituintes localizados no mesmo lado da ligação dupla são representados pelos símbolos  $\alpha$  e  $\beta$  e quando através da ligação dupla são designados por  $\alpha'$  e  $\beta'$ .

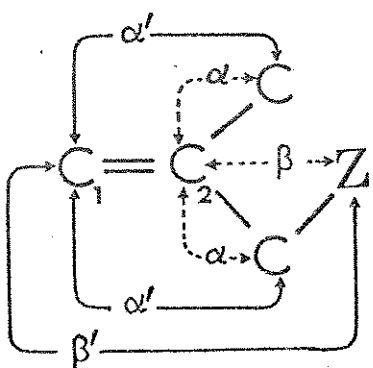
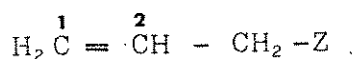


Figura 75. Notação utilizada para o cálculo do deslocamento químico dos carbonos 1 e 2.

O método desenvolvido por Roberts se aplica para olefinas simples ou ramificadas, onde os parâmetros são tabelados para poucos heteroátomos, e os efeitos de um substituinte em alfa e beta são gerais (p.ex. beta para OR), conforme Tabela 21. Portanto neste estudo determinamos os parâmetros  $\beta$  e  $\beta'$  para cada substituinte, através de dados de deslocamentos químicos de  $^{13}\text{C}$  de compostos alílicos existentes na literatura<sup>110,115</sup>, conforme exemplo a seguir.



$$\begin{aligned} C_1 \quad \delta_{\text{exp.}} &= 122,4 + \alpha' + \beta'_Z \\ \beta'_Z &= \delta_{\text{exp.}} - 122,4 - \alpha' \end{aligned}$$

$$\begin{aligned} C_2 \quad \delta_{\text{exp.}} &= 122,4 + \alpha + \beta_Z \\ \beta_Z &= \delta_{\text{exp.}} - 122,4 - \alpha \end{aligned}$$

Os parâmetros beta assim determinados, estão -  
listados na Tabela 21.

TABELA 21. Parâmetros<sup>a</sup>  $\beta$  e  $\beta'$  para o cálculo dos deslo-  
camentos químicos dos carbonos olefínicos.

Z	Parâmetros deste trabalho		Parâmetros de Roberts <sup>b</sup>	
	$\beta$	$\beta'$	$\beta$	$\beta'$
H	0	0		
CH <sub>3</sub>	7,18	-1,13	7,2	-1,8
Cl	1,38	4,20	-1,0	2,0
Br	1,68	4,70	~0	2,0
I	3,58	3,90		
OH	4,88	0,30	6,0	-1,0
OMe	2,68	1,20	2,0 <sup>c</sup>	-1,0 <sup>c</sup>
OEt	2,78	0,20		
NMe <sub>2</sub>	3,28	0,40		
NET <sub>2</sub>	3,28	0,40		
SH	1,98	1,90		

<sup>a</sup>em ppm      <sup>b</sup>Dados das Referências 142 e 19. <sup>c</sup>valores para OR.

Os fatores de correção devido a ramificação na cadeia que contém os carbonos olefínicos também foram revisados por nós. A interação  $\alpha\alpha$  e  $\alpha'\alpha'$  foi determinada usando-se como referência o 2-metilpropeno, obtendo-se os valores de -1,94ppm e 4,1ppm respectivamente para estes parâmetros, Figura 76 a e b. Esta interação é semelhante aos fatores de correção corr.  $\alpha$  e corr.  $\alpha'$  referidos por Roberts, (pg. 47).

Para a correção devido a interação  $\alpha\beta$  e  $\alpha'\beta'$  usou-se como referência o 2-metilbuteno, resultando -1,25ppm e -0,18ppm respectivamente para estes fatores, Figura 76 c e d.

Os valores de alfa utilizados no cálculo, tanto para o grupo metila como para o grupo metileno substituídos, foram os mesmos de Roberts<sup>145</sup>,  $\alpha = + 10,62$  e  $\alpha' = -7,90$ .

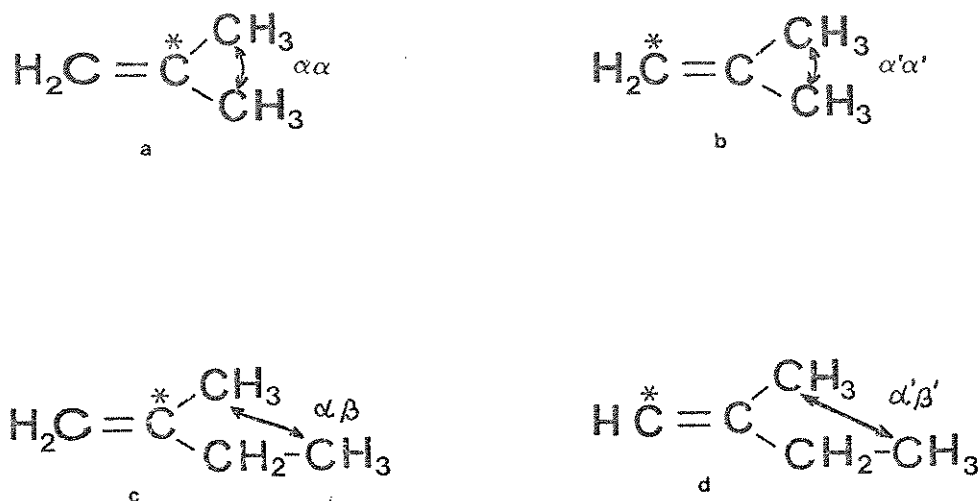


Figura 76. Notação para os parâmetros  $\alpha\alpha$  e  $\alpha'\alpha'$  (a e b) e  $\alpha\beta$  e  $\alpha'\beta'$  (c e d).

Os dados obtidos para o deslocamento químico dos carbonos  $sp^2$  dos compostos metalílicos, calculados pela Eq. 18 estão na Tabela 22.

Os deslocamentos químicos para os carbonos 1 e 2-calculados desta maneira, apresentam boa concordância com os valores experimentais, com  $\Delta\delta$  médio de 0,85ppm, indicando a validade deste método para estimar os deslocamentos químicos dos carbonos  $sp^2$  em compostos metalílicos.

A concordância obtida indica que existe uma grande diferença de comportamento entre os compostos carbonílicos e olefinas. No caso dos compostos carbonílicos, os deslocamentos químicos de  $^{13}\text{C}$  do carbono carbonílico de cetonas e amidas não podiam ser calculados através de regras

de aditividade<sup>2,186</sup>, pois as discrepâncias ( $\Delta\delta$ ) eram maiores que os próprios efeitos dos parâmetros utilizados no cálculo.

TABELA 22. Deslocamentos químicos calculados e experimentais para  $\text{CH}_2 = \underset{1}{\text{C}}(\text{CH}_3)\underset{2}{\text{C}}\text{H}_2\text{Z}$  em ppm

Z	C-2			C-1		
	$\delta_{\text{calc}}$	$\delta_{\text{exp}}$	$\Delta\delta$	$\delta_{\text{calc}}$	$\delta_{\text{exp}}$	$\Delta\delta$
CH <sub>3</sub>	147,63	147,63	0,00	109,39	108,68	0,71
Cl	141,83	141,14	0,69	114,63	114,62	0,01
Br	142,13	141,43	0,70	115,22	115,59	0,37
I	144,03	142,52	1,51	114,42	114,27	0,15
OH	145,33	144,19	1,14	110,82	108,98	1,84
OMe	143,13	141,90	1,23	111,72	111,87	0,15
OEt	143,23	142,23	1,00	110,72	111,53	0,81
NMe <sub>2</sub>	143,83	143,13	0,70	110,72	112,67	1,95
NEt <sub>2</sub>	143,73	144,07	0,34	110,92	112,04	1,12
SH	142,43	144,37	1,94	112,42	111,96	0,46

Assim enquanto no caso dos compostos carbonílicos  $\alpha$ -monossubstituídos as interações de orbitais entre o heteroátomo e o grupo carbonila são importantes, no caso de compostos metalílicos as interações entre o heteroátomo e a dupla olefínica são menos significativas.

### 3.6. CONSTANTES DE ACOPLAMENTO $^{13}\text{C}-\text{H}$ .

As constantes de acoplamento, carbono-hidrogênio-para a série de compostos metalílicos deste trabalho, foram obtidas à partir dos dados espectrais fornecidos pelos-spectros de carbono-13 acoplado com próton, portanto os valores de  $^1J_{\text{C},\text{H}}$  apresentados a seguir são valores médios.

3.6.1. ACOPLAMENTO  $^{13}\text{C}$ -H ATRAVÉS DE UMA LIGAÇÃO. ( $^1\text{J}_{\text{CH}}$ ).

Os valores obtidos para o acoplamento através de uma ligação, estão listados na Tabela 23.

TABELA 23. Constantes de acoplamento  $^1\text{J}_{\text{CH}}$  de 2-metilpropenos 3-substituidos.

$\text{Z}$	$^1\text{J}_{\text{C}-\text{H}} (\text{Hz})$				
	$\text{C}_1-\text{H}$	$\text{C}_3-\text{H}$	$\text{C}_4-\text{H}$	$\text{C}_5-\text{H}$	$\text{C}_6-\text{H}$
H	157,00	126,00	126,00	-	-
Cl	155,87	146,53	125,75	-	-
Br	157,31	154,10	124,45	-	-
I	156,64	148,60	126,67	-	-
OH	155,85	142,45	126,47	-	-
OMe	157,31	141,48	126,18	141,42	-
OEt	155,98	138,43	125,63	140,06	124,82
SH	156,00	138,00	126,00	-	-
SMe	154,45	135,71	123,80	138,43	-
SEt	155,86	134,69	127,30	138,10	126,00
N(Me) <sub>2</sub>	153,90	130,92	125,92	133,57	-
N(Et) <sub>2</sub>	153,70	130,33	122,35	132,99	124,95

Conforme os valores tabelados para  $^1\text{J}_{\text{CH}}$ , podemos observar que o efeito do substituinte para os carbonos 1 e 4 é muito pequeno, estando estes valores entre 153 e 157Hz para o C-1 , e entre 122e 127Hz para o C-4. Esta pequena variação, também observada para os deslocamentos químicos destes mesmos carbonos, já era prevista, devido a distância do substituinte em relação a estes carbonos.

Por outro lado, o carbono 3, apresenta uma grande variação nos valores de  $^1\text{J}_{\text{C}_3\text{H}}$ , que é observada quando se compara o  $^1\text{J}_{\text{C}_3\text{H}}$  de 126Hz do 2-metilpropeno , com os demais compostos da série. Esta variação reflete a direta substituição

ção, o que proporciona uma modificação na carga efetiva do carbono.

Sabe-se que além da hibridização, um dos principais fatores que afetam a magnitude de  $^1J_{CH}$  é a eletronegatividade do substituinte, entretanto, para os compostos metalílicos, tentativas de correlacionar a eletronegatividade de Pauling<sup>187</sup> do substituinte com  $^1J_{C_3H}$ , não forneceram nenhuma correlação linear geral. Por outro lado, observa-se uma correlação para  $^1J_{C_3H}$  com o efeito de campo de Swain - Lupton<sup>185</sup> ( $F$ ), que é uma medida para o efeito induutivo exercido pelo substituinte, Figura 77.

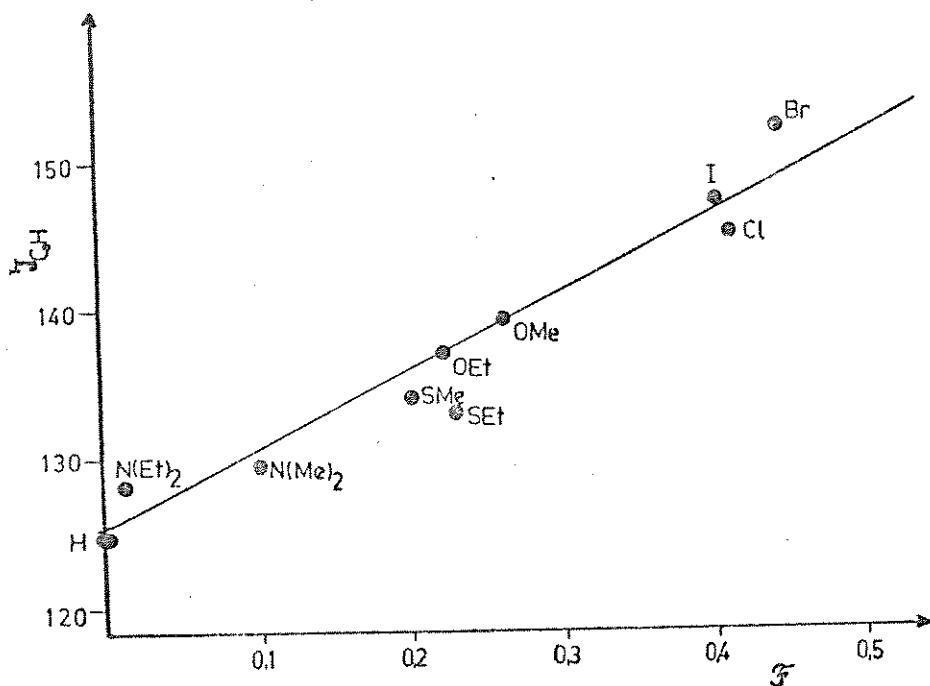


Figura 77. Correlação entre a constante de acoplamento  $^1J_{CH}$  do carbono 3, em Hz, e o efeito de campo de Swain-Lupton ( $F$ )

$$\text{Equação da reta: } ^1J_{C_3H} = 126,32 + 54,46 \cdot F \quad r=0,963$$

Na correlação obtida na Figura acima, todos os pontos são considerados, a análise de regressão obtida não considerando os pontos para  $\text{N}(\text{Et})_2$  e  $\text{S}(\text{Et})$ , nos fornece um coeficiente de correlação  $r=0,993$ , indicando que para es-

tes substituintes, outros fatores, além do efeito de campo devem ter significativa importância, o que faz com que estes substituintes caiam fora da reta.

Foram feitas, outras tentativas de correlacionar o  $J_{C_3H}$ , por exemplo com os deslocamentos químicos de  $^{13}C$ , não fornecendo nenhuma correlação linear geral.

### 3.6.2. ACOPLAMENTO $^{13}C$ -H ATRAVÉS DE DUAS LIGAÇÕES. ( $^2J_{CH}$ )

O acoplamento geminal  $^2J_{CH}$  é normalmente pequeno<sup>124</sup>, sendo muitas vezes sua determinação dificultada pela pouca resolução na expansão dos sinais.

Para os compostos metalílicos, somente o carbono 2 apresenta acoplamento geminal, através da ligação pi, - com os hidrogênios olefínicos e através de ligações sigma- com os hidrogênios dos grupos metila e metileno substituído.

Seus valores não foram determinados devido a baixa resolução dos seus sinais, pela expansão à partir de espectros à 100MHz sendo praticamente impossível a determinação mesmo que aproximada para este acoplamento. Em espectros obtidos na Bruker para alguns compostos à 250MHz, observa-se o desdobramento das linhas no sinal do carbono 2, Nas Figuras 78 e 79, temos o sinal do carbono 2 expandido, para alguns compostos metalílicos, demonstrando a dificuldade em determinar os valores para  $^2J_{C_2H}$ , através de um ou de outro caminho de acoplamento, desde que a forma do sinal, com sobreposição de linhas, indicam que os valores destes acoplamentos além de serem pequenos são diferentes.

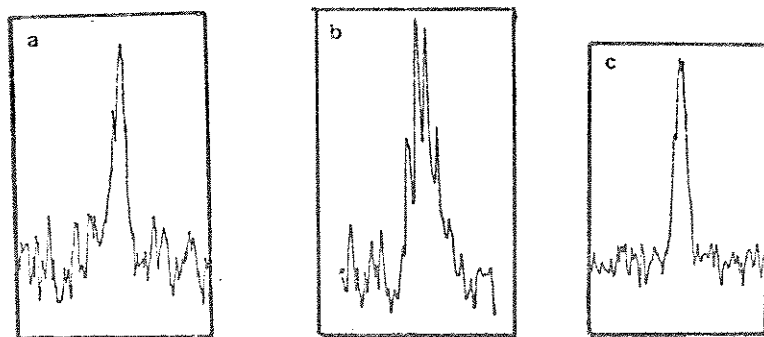


Figura 78. Expansão do sinal de  $^{13}\text{C}$  do carbono olefínico quaternário(C-2), dos compostos metalílicos - com (a)  $\text{I}^-$  (b)  $\text{NET}_2^-$ , (c)  $\text{OMe}$  ligados ao carbono 3, espectro obtido à 100MHz.

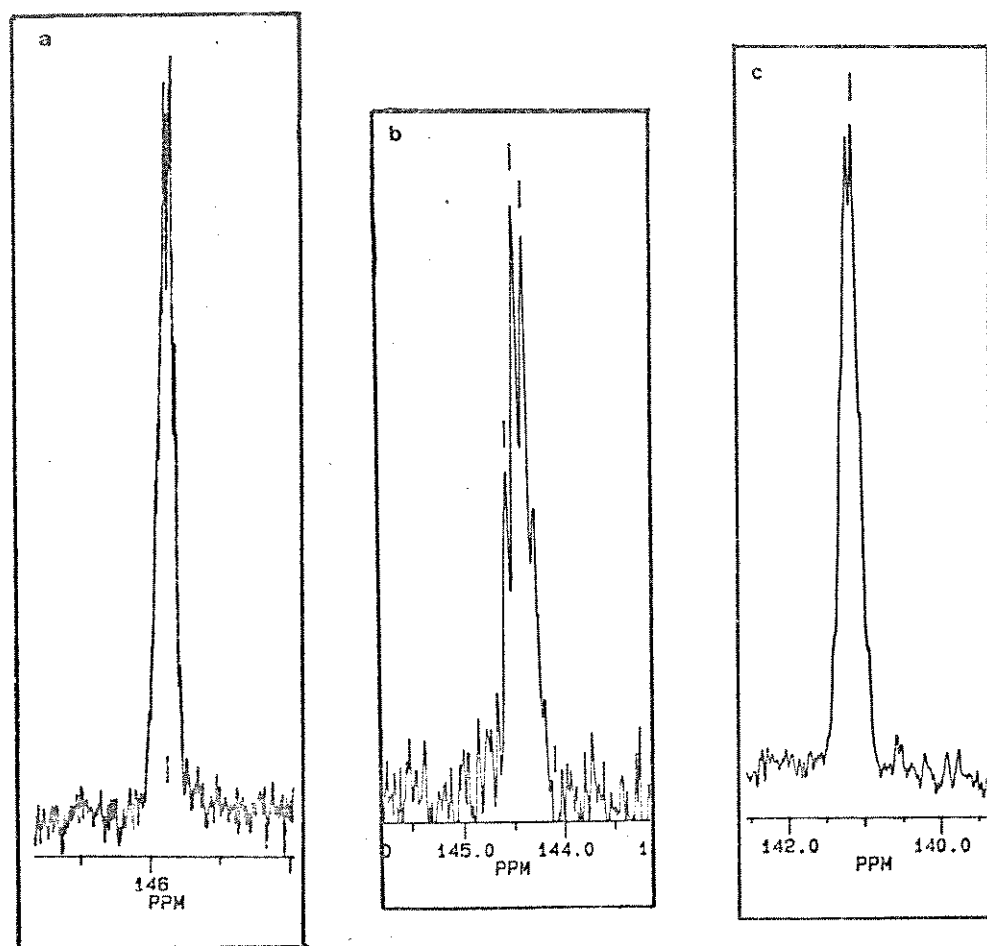


Figura 79. Expansão do sinal de  $^{13}\text{C}$  do carbono olefínico quaternário(C-2), dos compostos metalílicos - com (a)  $\text{OH}^-$  (b)  $\text{NET}_2^-$ , (c)  $\text{Cl}^-$  ligados ao carbono-3, espectro obtido à 250 MHz.

### 3.6.3. ACOPLAMENTO $^{13}\text{C}$ -H ATRAVÉS DE TRES LIGAÇÕES. ( $^3J_{\text{CH}}$ )

O acoplamento vicinal entre carbono-hidrogênio para os compostos metalílicos é observado para os carbonos - C-1, C-3 e C-4, sendo que o carbono C-1 acopla com os hidrogênios do grupo metila e os hidrogênios do grupo metileno - substituído, resultando num sexteto. Os carbonos C-3 e C-4 acoplam com os hidrogênios olefínicos e com os hidrogênios do grupo metila e metileno substituído, respectivamente, observando-se que para estes carbonos os sinais são mais complexos, os multipletes observados através da expansão do espectro de  $^{13}\text{C}$  acoplado com próton, mostram que estes acoplamentos são diferentes, conforme podemos visualizar pelas Figuras 80 e 81, em que os sinais assimétricos demonstram a dificuldade em se medir estes acoplamentos.

Tentativas de aplicar técnicas experimentais, como o desacoplamento seletivo de prótons e a observação dos demais sinais de  $^{13}\text{C}$  acoplado com os demais prótons não forneceram bons resultados devido a capacidade do aparelho-a disposição (XL-100).

Na Figura 82, temos os sinais para o carbono C-1 apresentando um sexteto, em que os valores médios obtidos para todos os substituintes estão em torno de 5Hz.

A seguir apresentaremos os espectros de r.m.n. de  $^{13}\text{C}$ , desacoplado e acoplado com próton obtidos à 100 MHz - para os compostos metalílicos, Figuras 83 à 96.

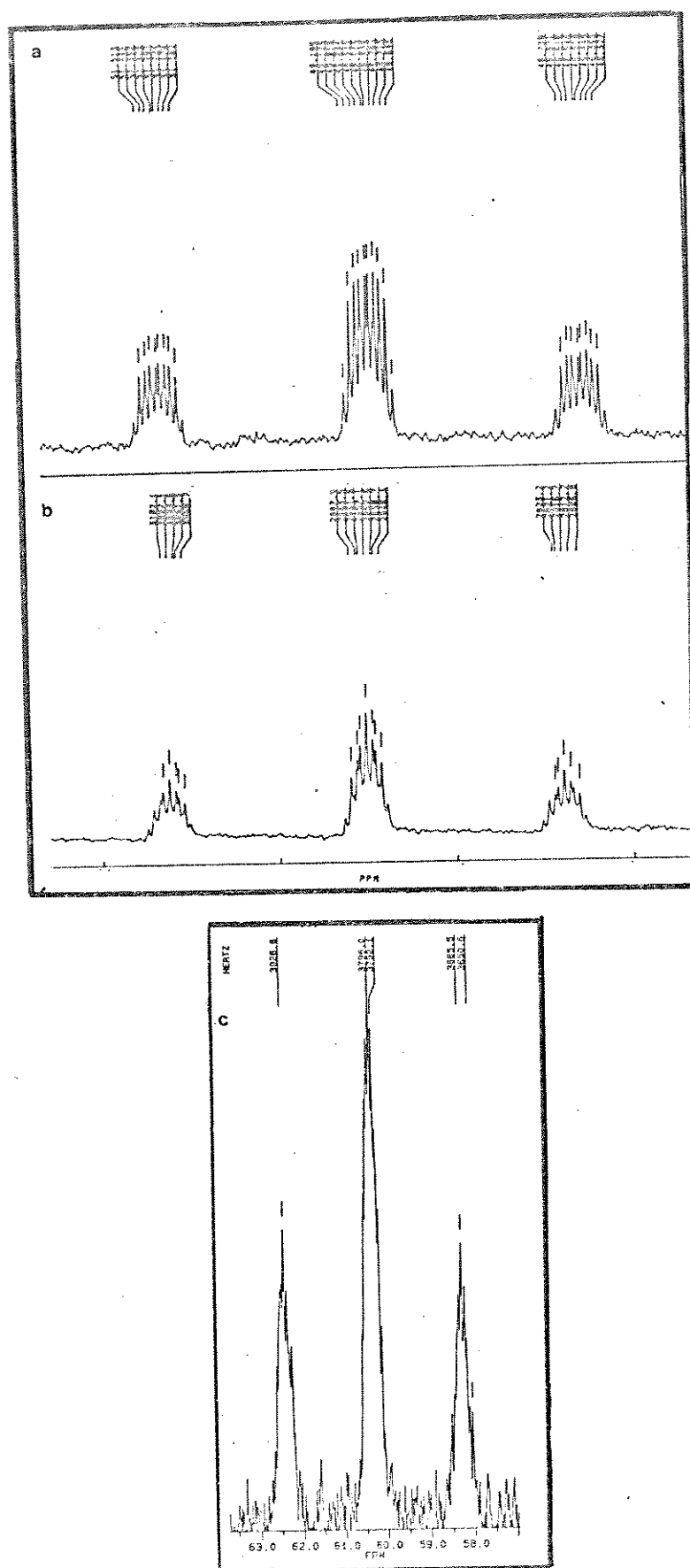


Figura 80. Expansão do sinal de  $^{13}\text{C}$  do carbono(C-3) dos compostos metálicos com (a)-Cl, (b)-OH e (c)- $\text{N}(\text{Et}_2)_2$  ligados a este carbono, espectros acoplados obtidos à 250MHz.

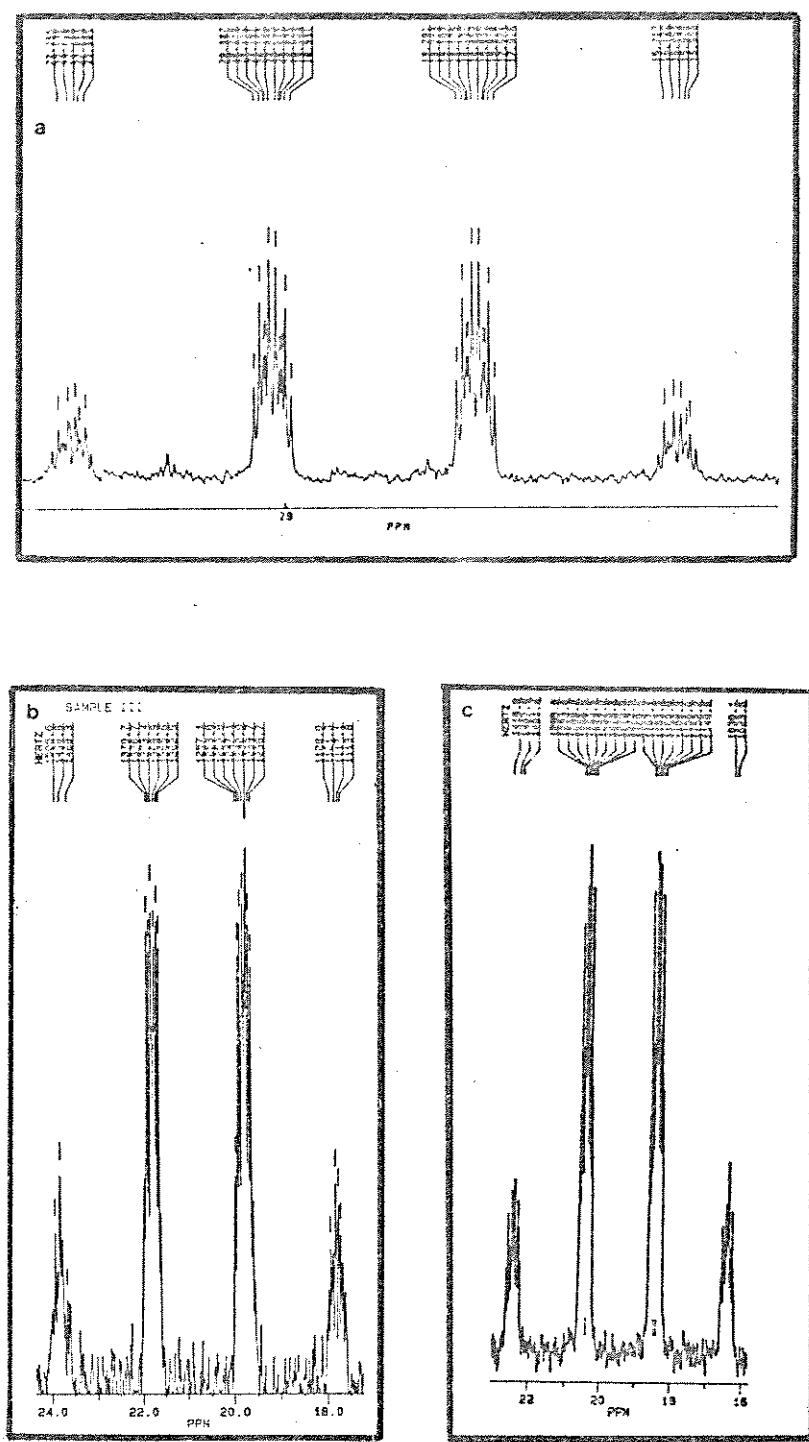


Figura 8.1. Expansão do sinal de  $^{13}\text{C}$  ao carbono(C-4) dos compostos metallílicos com (a)-Cl, (b)- $\text{N}(\text{Et}_2)_2$  e (c)-OH ligados ao carbono-3, espectros acoplados obtidos à 250MHz.

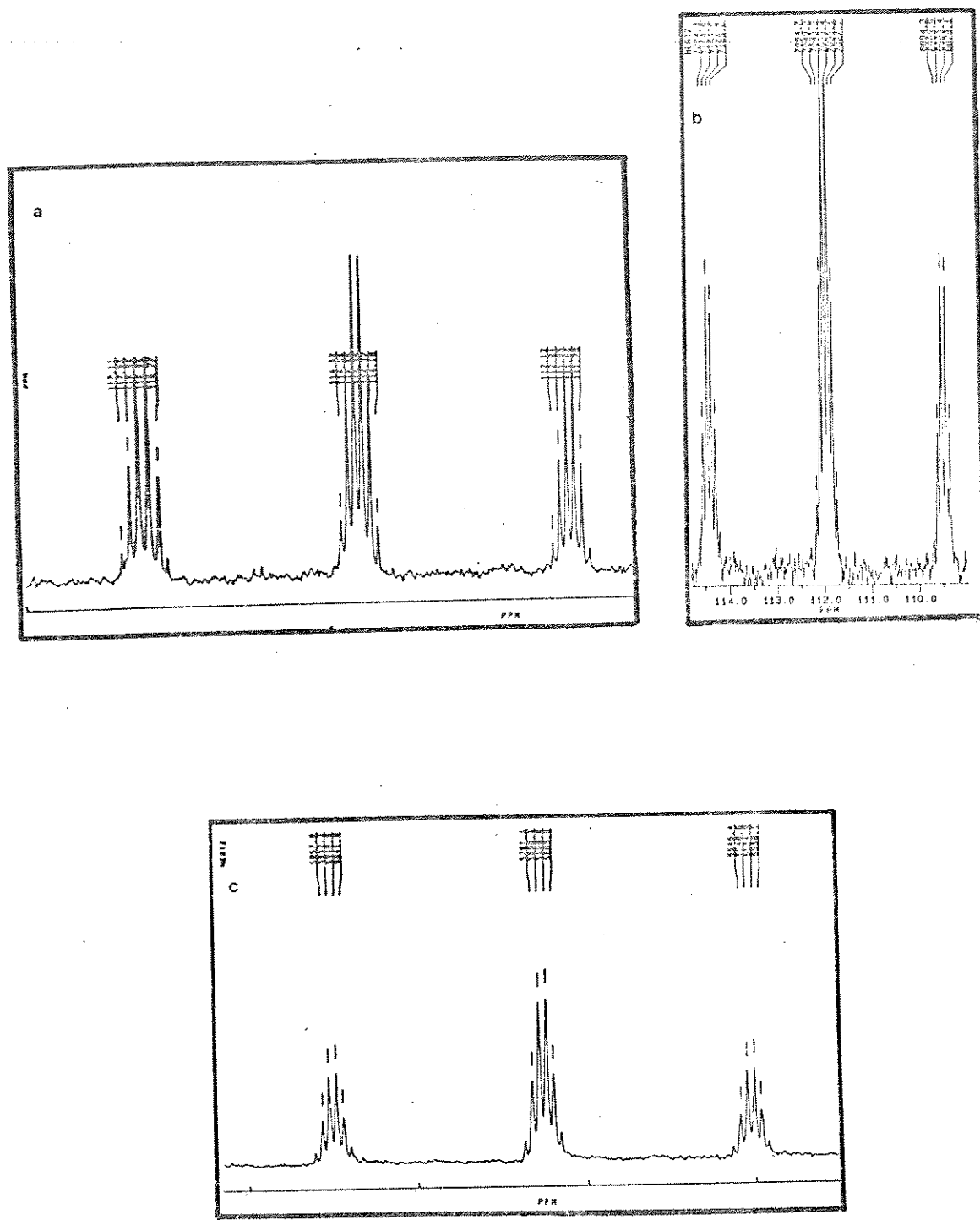


Figura 82. Expansão do sinal de  $^{13}\text{C}$  do C-1 dos compostos metálicos com (a)-Cl, (b)- $\text{NEt}_2$  e (c)-OH ligados ao carbono-3, espectros acoplados obtidos à 250MHz.

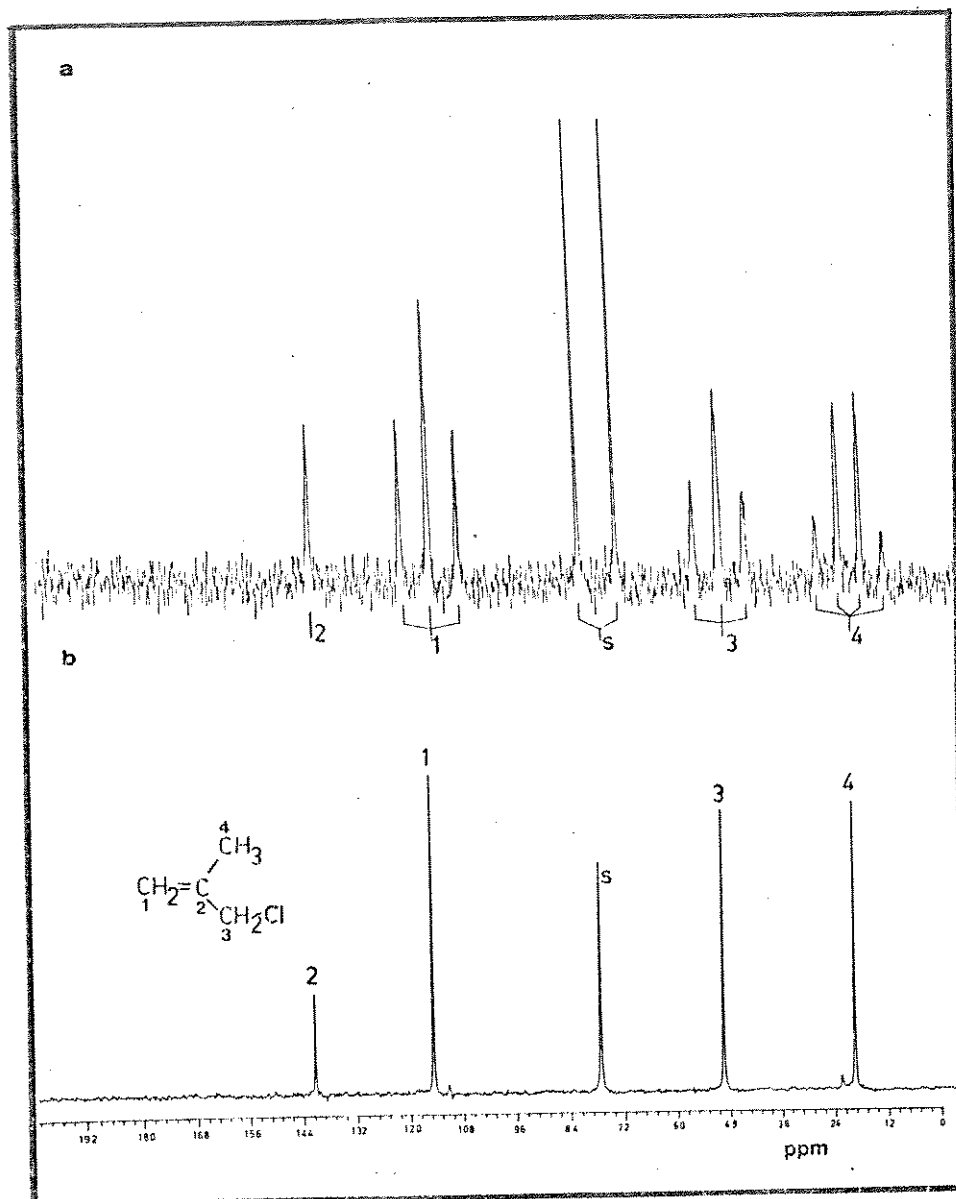


Figura 83. Espectro de r.m.n. de  $^{13}\text{C}$  do 3-cloro-2-metilpropano (1), em  $\text{CHCl}_3$ , (100MHz), (a)-acoplado com próton (D $\Delta$ T) e (b)-desacoplado (DFL).

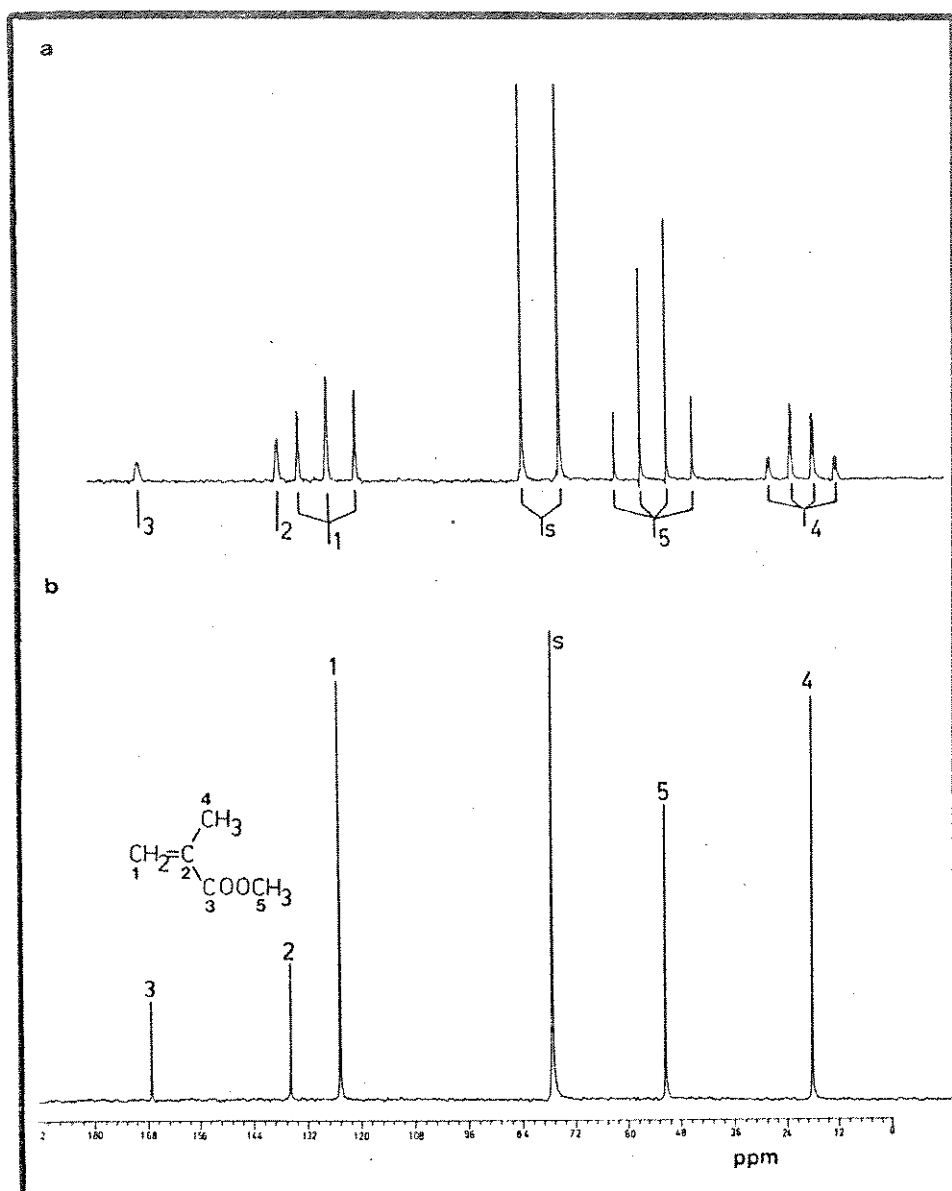


Figura 84. Espectro de r.m.n. de  $^{13}\text{C}$  do 2-metilpropenoato de metila (2), em  $\text{CHCl}_3$ , (100MHz), (a)-acoplado com próton (DA) e (b)-desacoplado (DFL).

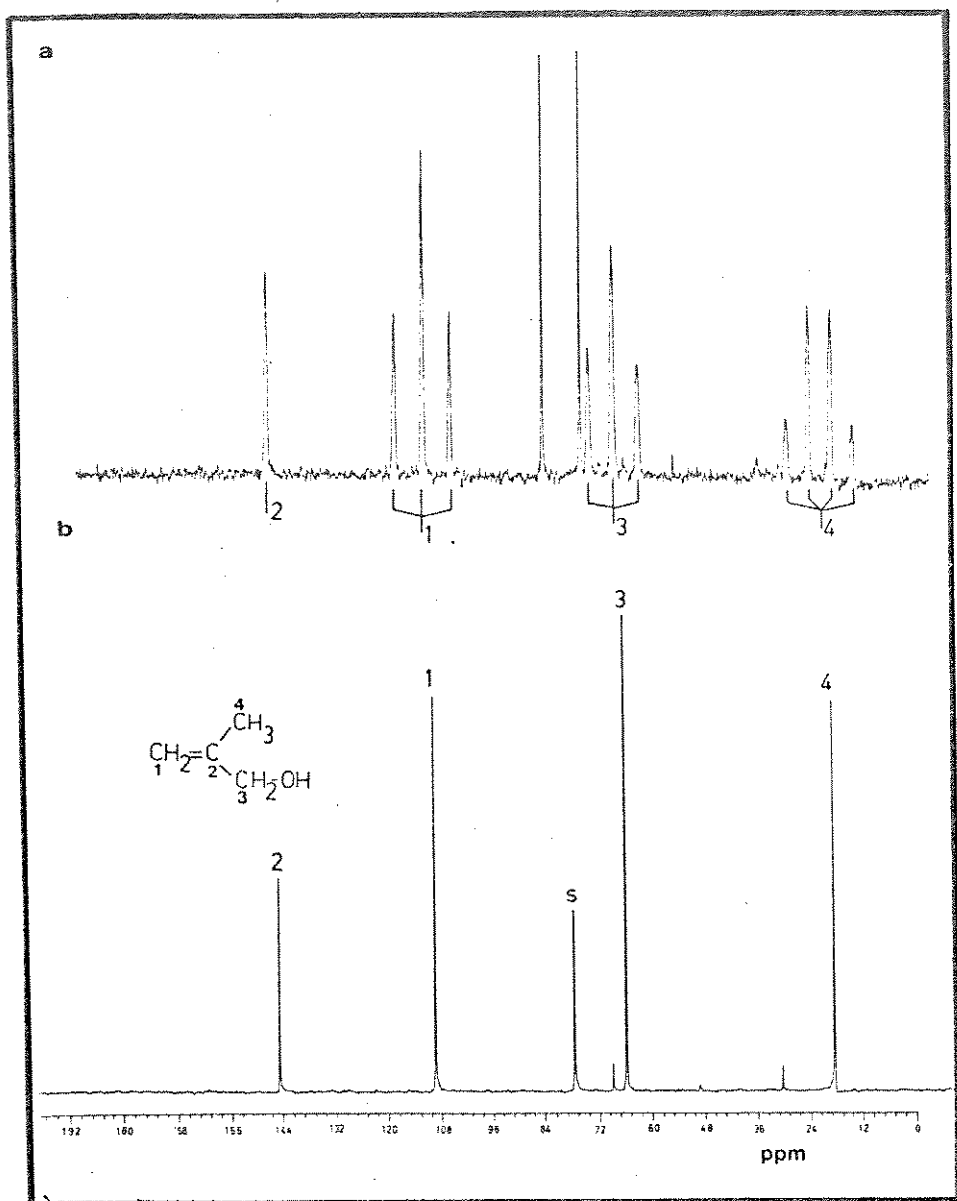


Figura 85. Espectro de r.m.n. de  $^{13}\text{C}$  do 2-metilpropen-3-ol (3), em  $\text{CHCl}_3$ , (100MHz), (a)-acoplado com próton (DAI) e (b)-desacoplado (DFL).

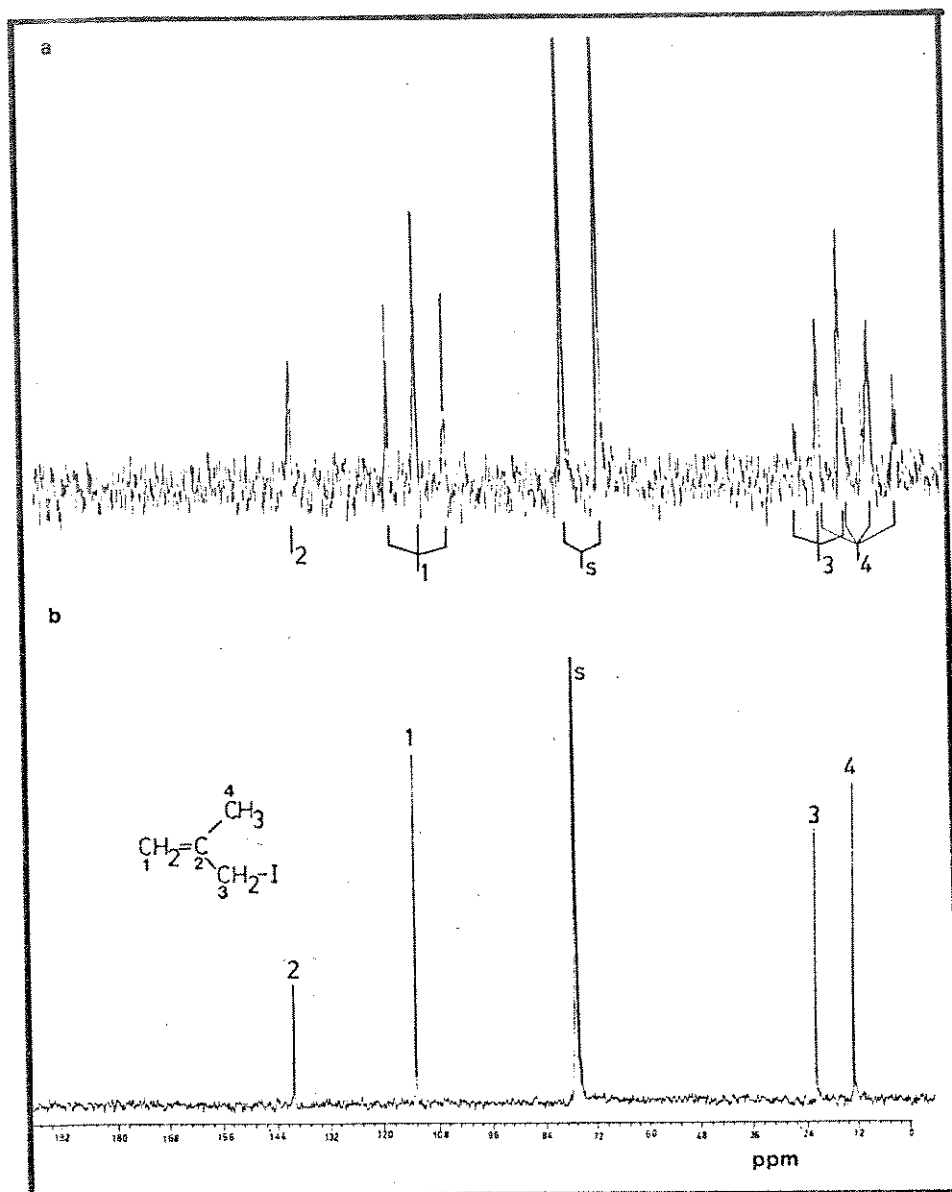


Figura 86. Espectro de r.m.n. de  $^{13}\text{C}$  do 3-iodo-2-metilprope-  
no (4), em  $\text{CHCl}_3$ , (100MHz), (a)-acoplado com pró-  
ton (1A) e (b)- desacoplado (DFL).

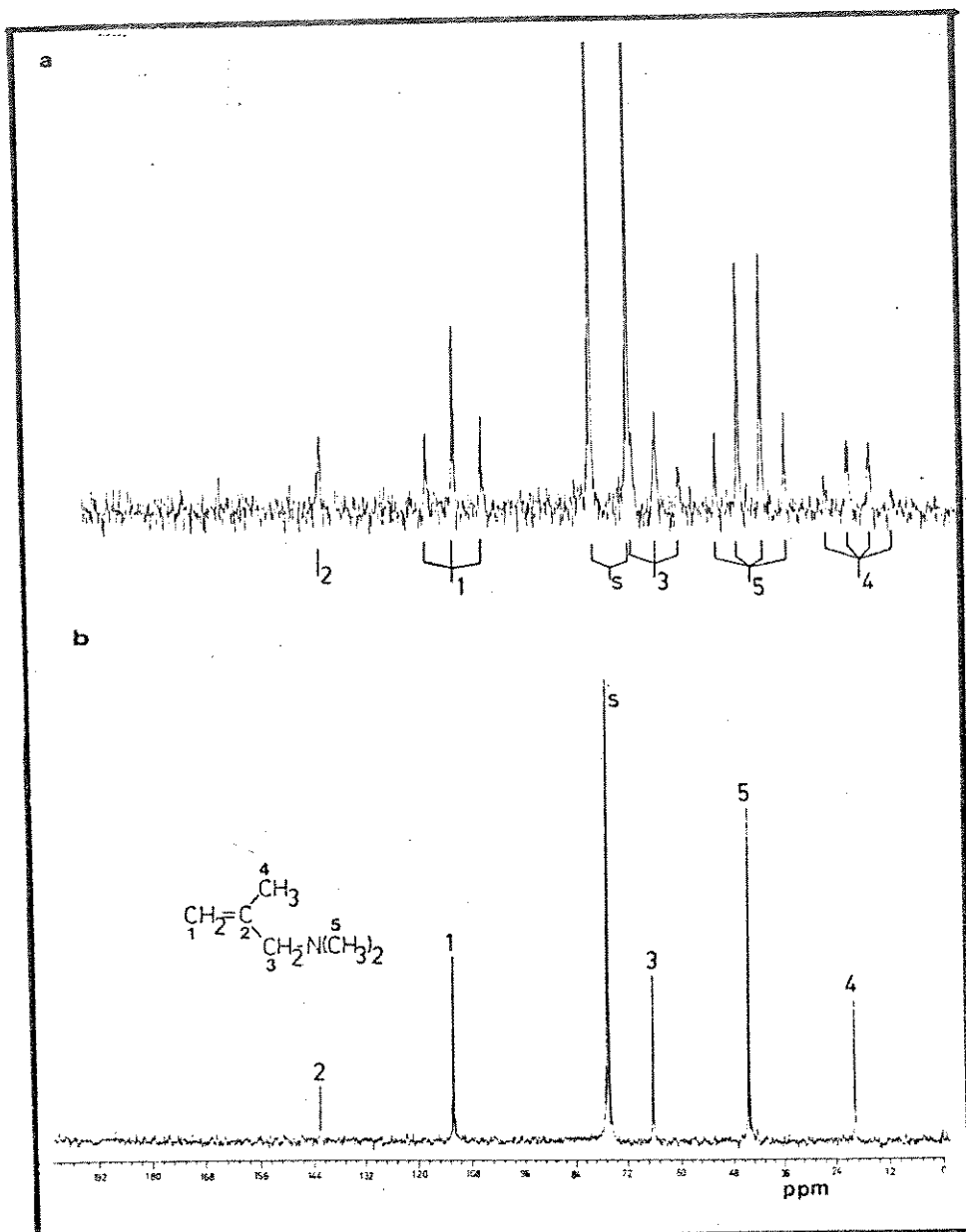


Figura 87. Espectro de r.m.n. de  $^{13}\text{C}$  do 3-*N,N*-Dimetilamino-2-metilpropeno (5) em  $\text{CHCl}_3$  (100MHz), (a)-acoplado com próton (DA) e (b)-desacoplado (DFL).

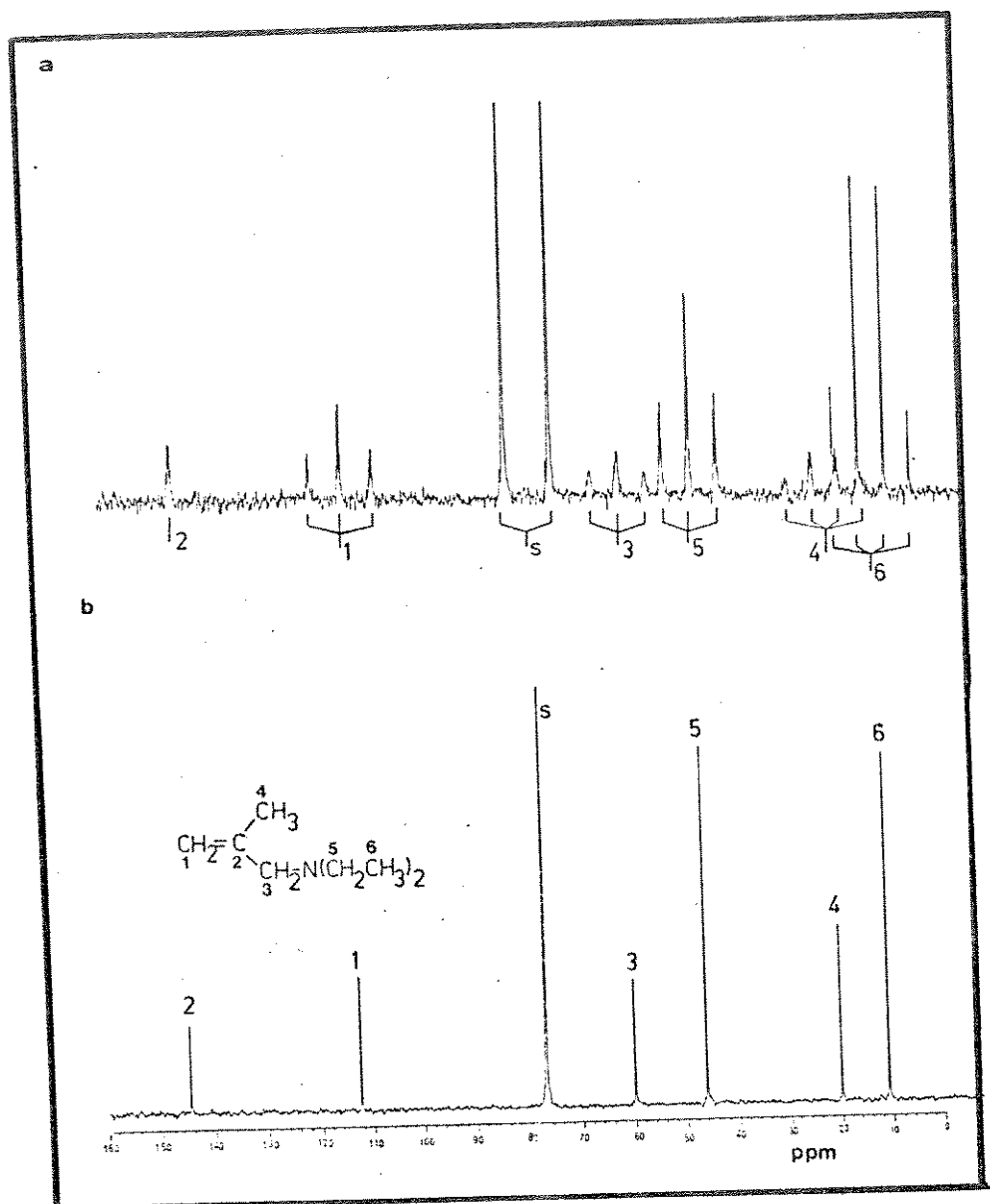


Figura 88. Espectro de r.m.n. de  $^{13}\text{C}$  do 3-*N,N*-Dietilamino-2-metilpropeno (6), em  $\text{CHCl}_3$ , (100 MHz), (a)-acoplado com próton (DA), (b)-desacoplado (DFL).

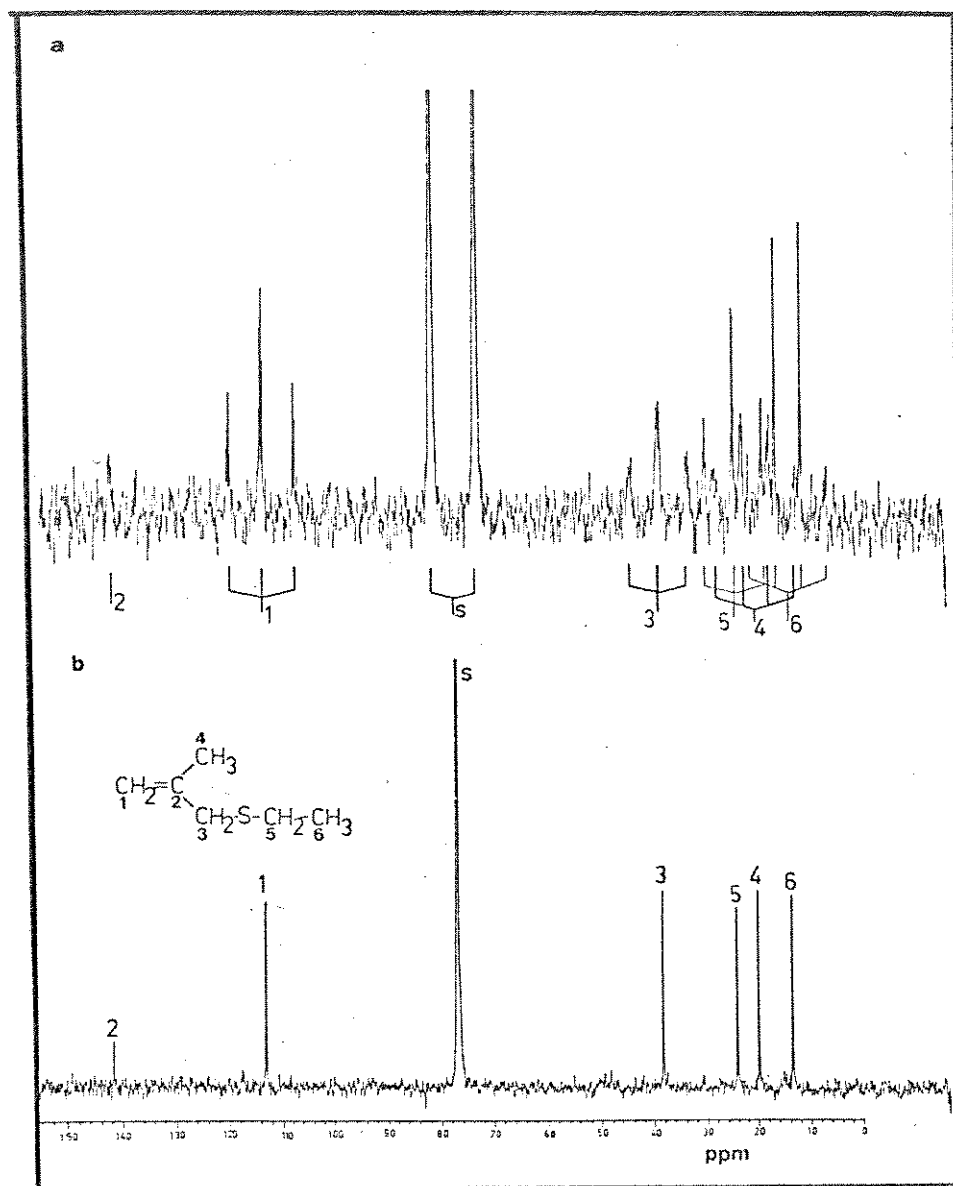


Figura 89. Espectro de r.m.n. de  $^{13}\text{C}$  do 3-etiltio-2-metilpropeno (7), em  $\text{CHCl}_3$ , (100MHz), (a)-acoplado com próton (DA) e (b)-desacoplado (DFL).

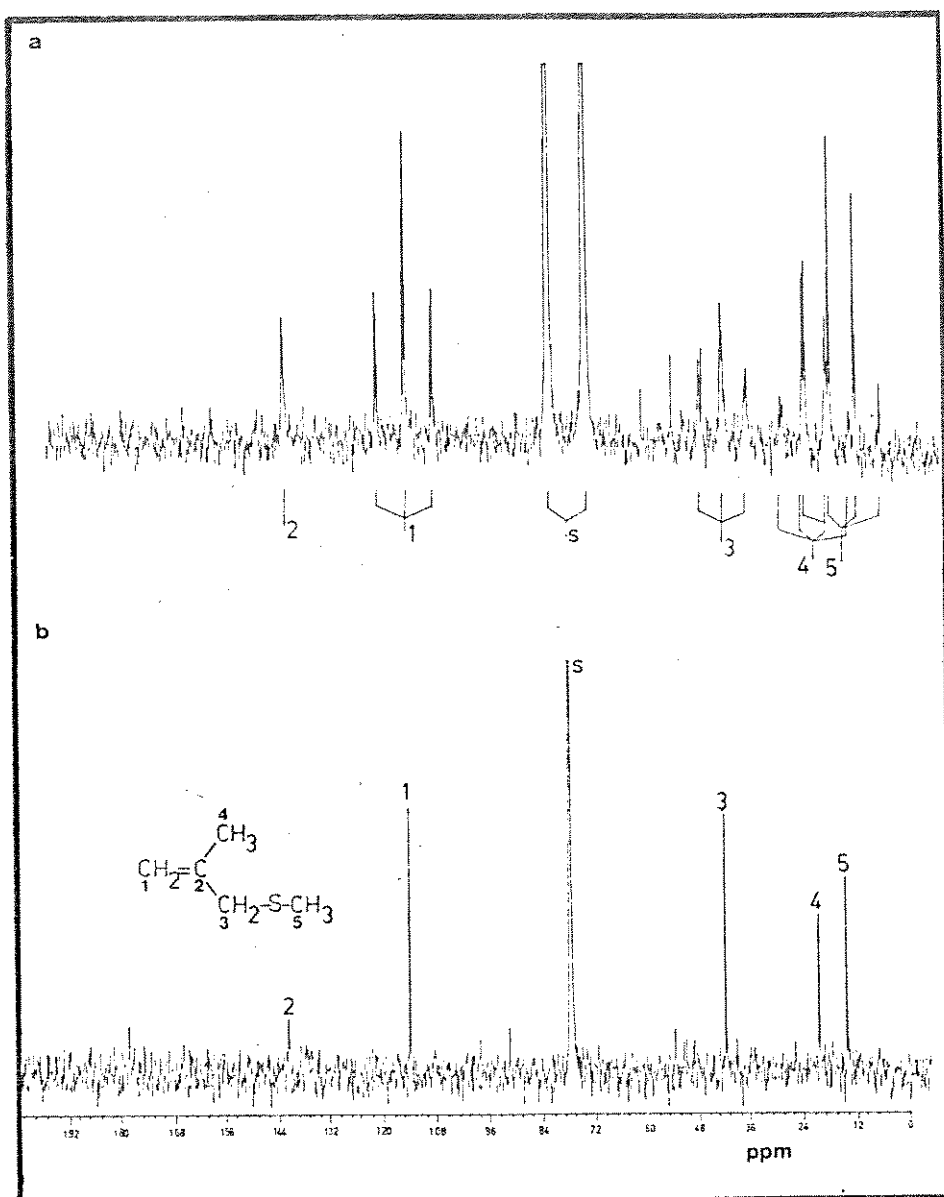


Figura 90. Espectro de r.m.n. de  $^{13}\text{C}$  do 3-metiltio-2-metil propeno (8) em  $\text{CHCl}_3$ , (100MHz), (a)-acoplado com próton (DA) e (b)-desacoplado (DFL).

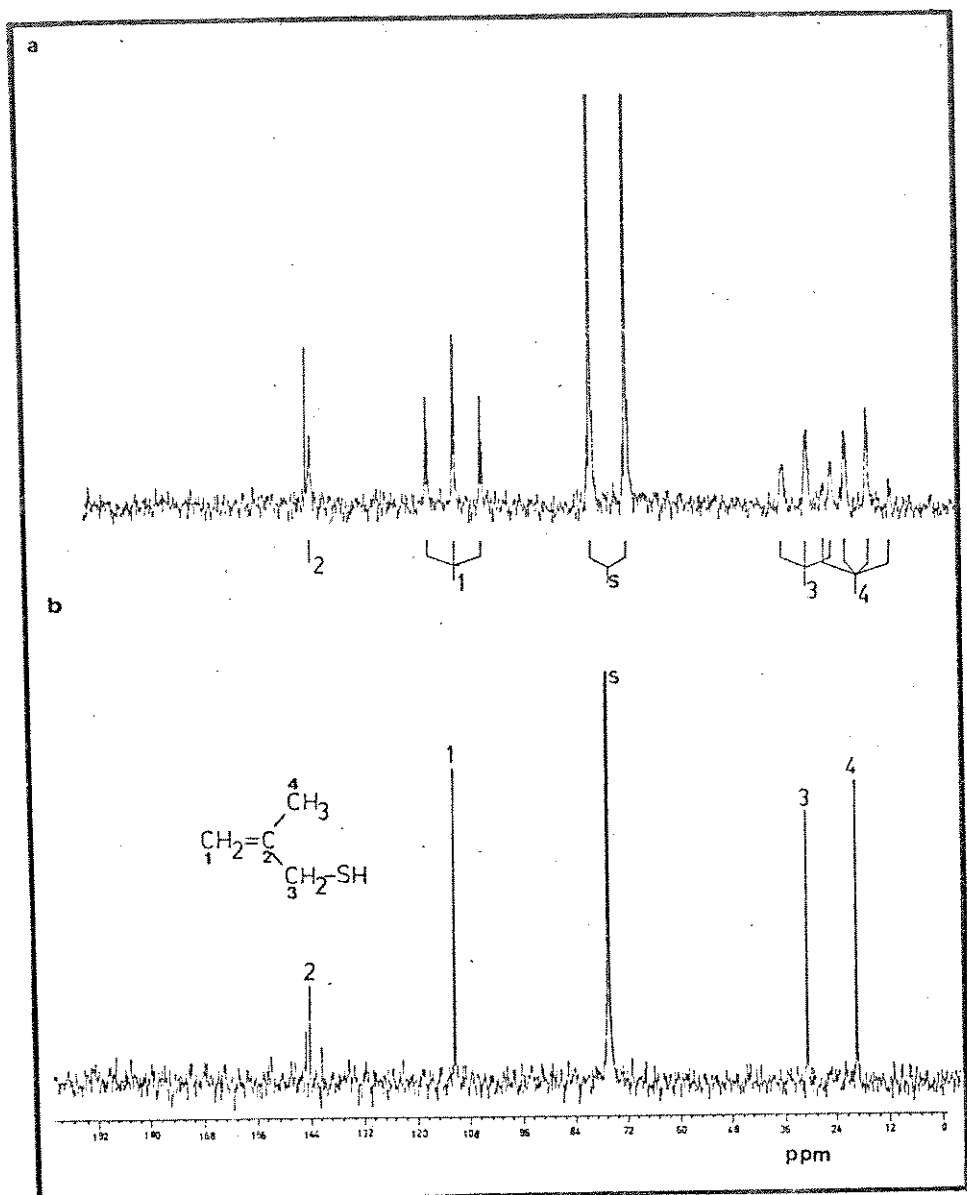


Figura 91. Espectro de r.m.n. de  $^{13}\text{C}$  do 3-tiol-2-metilpropano (9), em  $\text{CHCl}_3$ , ( $100\text{MHz}$ ), (a)-acoplado com próton (DAI) e (b)-desacoplado (DFL).

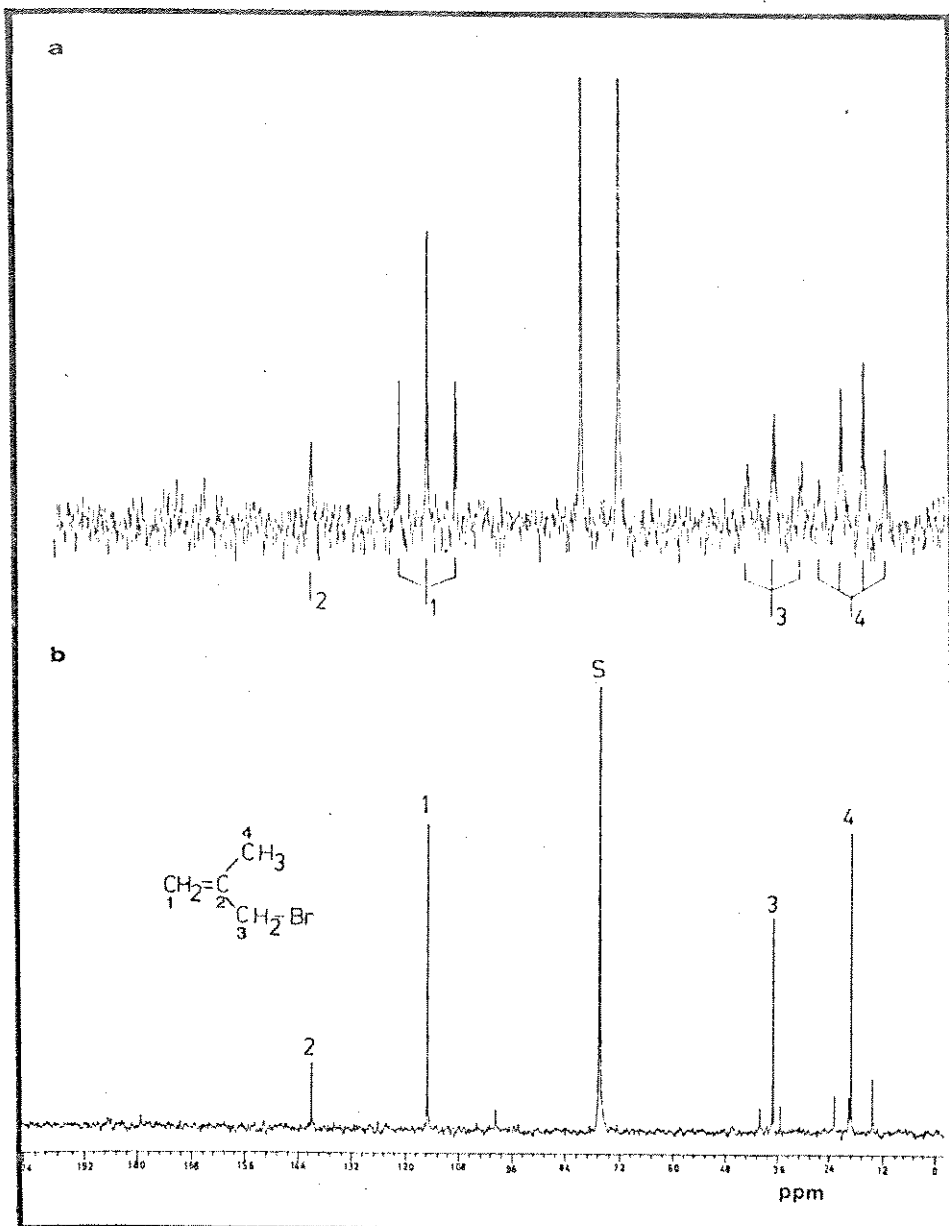


Figura 92. Espectro de r.m.n. de  $^{13}\text{C}$  do 3-bromo-2-metilpropano (10), em  $\text{CHCl}_3$ , (100MHz), (a)-acoplado com - próton (DA) e (b)-desacoplado (DFL).

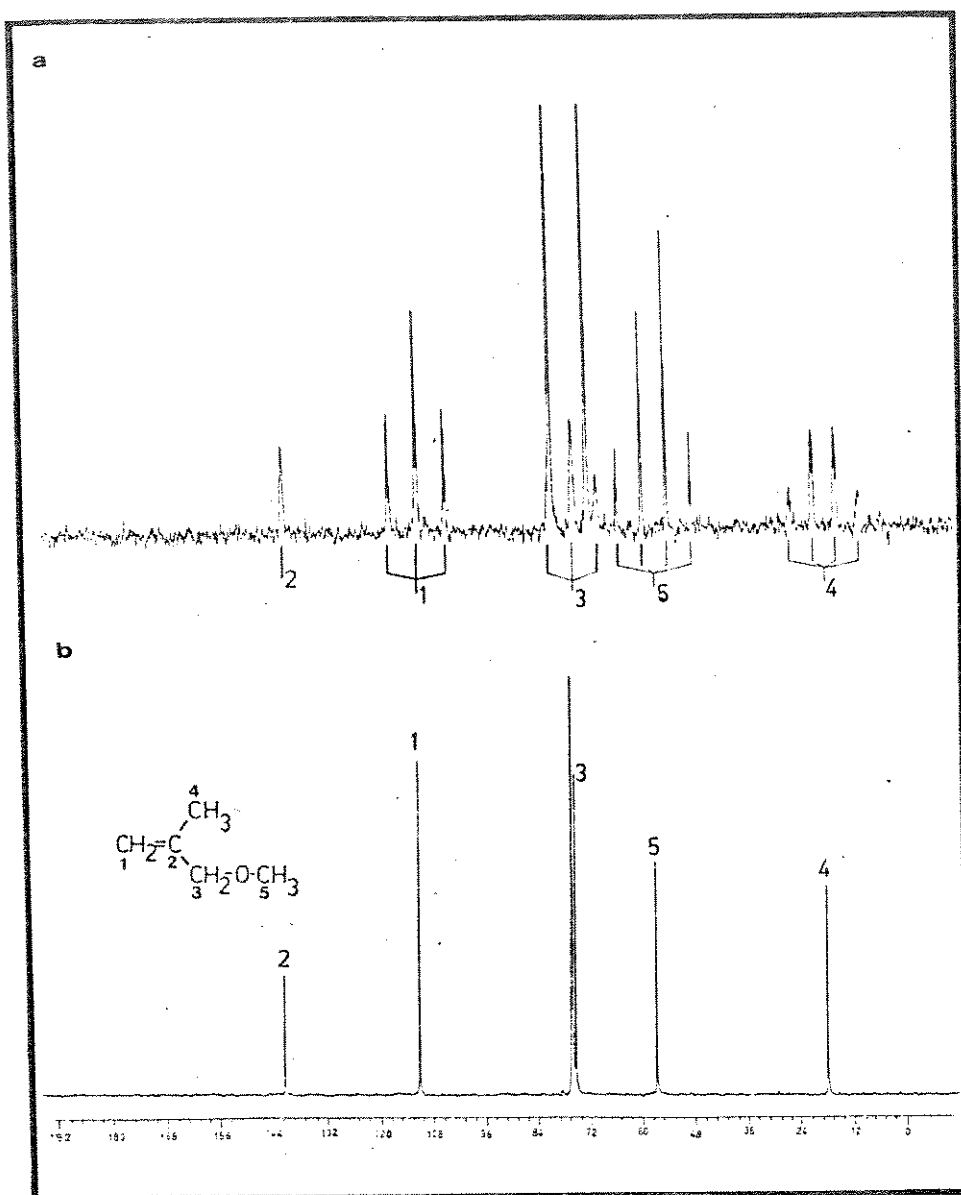


Figura 93. Espectro de n.m.n. de  $^{13}\text{C}$  do 3-metóxi-2-metilpropeno (11), em  $\text{CHCl}_3$ , (100MHz), ( $\alpha$ )-acoplado com próton (DA) e ( $\beta$ )-desacoplado (DFL).

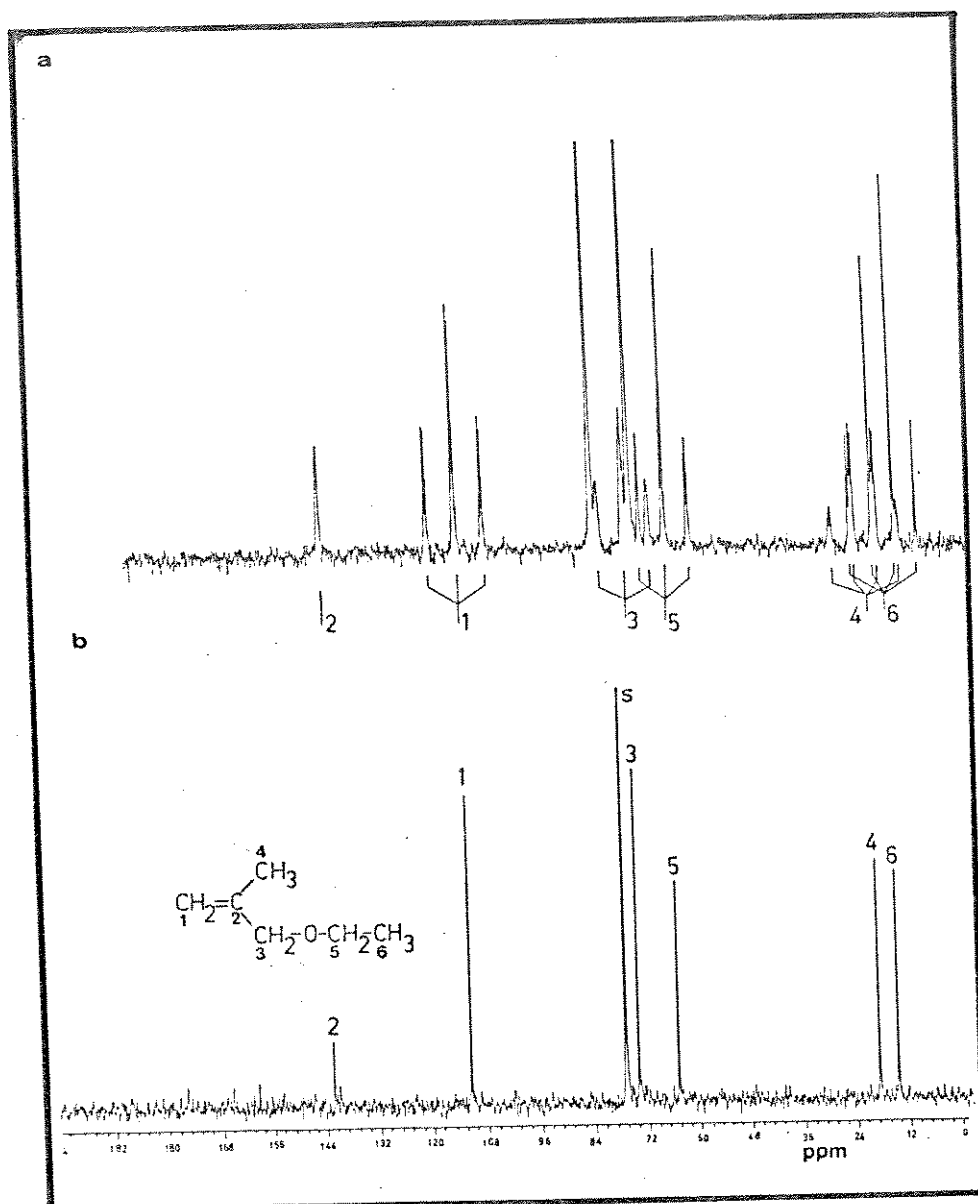


Figura 9.4. Espectro de r.m.n. de  $^{13}\text{C}$  do 3-etóxi-2-metilpropano (12), em  $\text{CHCl}_3$ , (100MHz), (a)-acoplado com próton (DAI) e (b)-desacoplado (DFL).

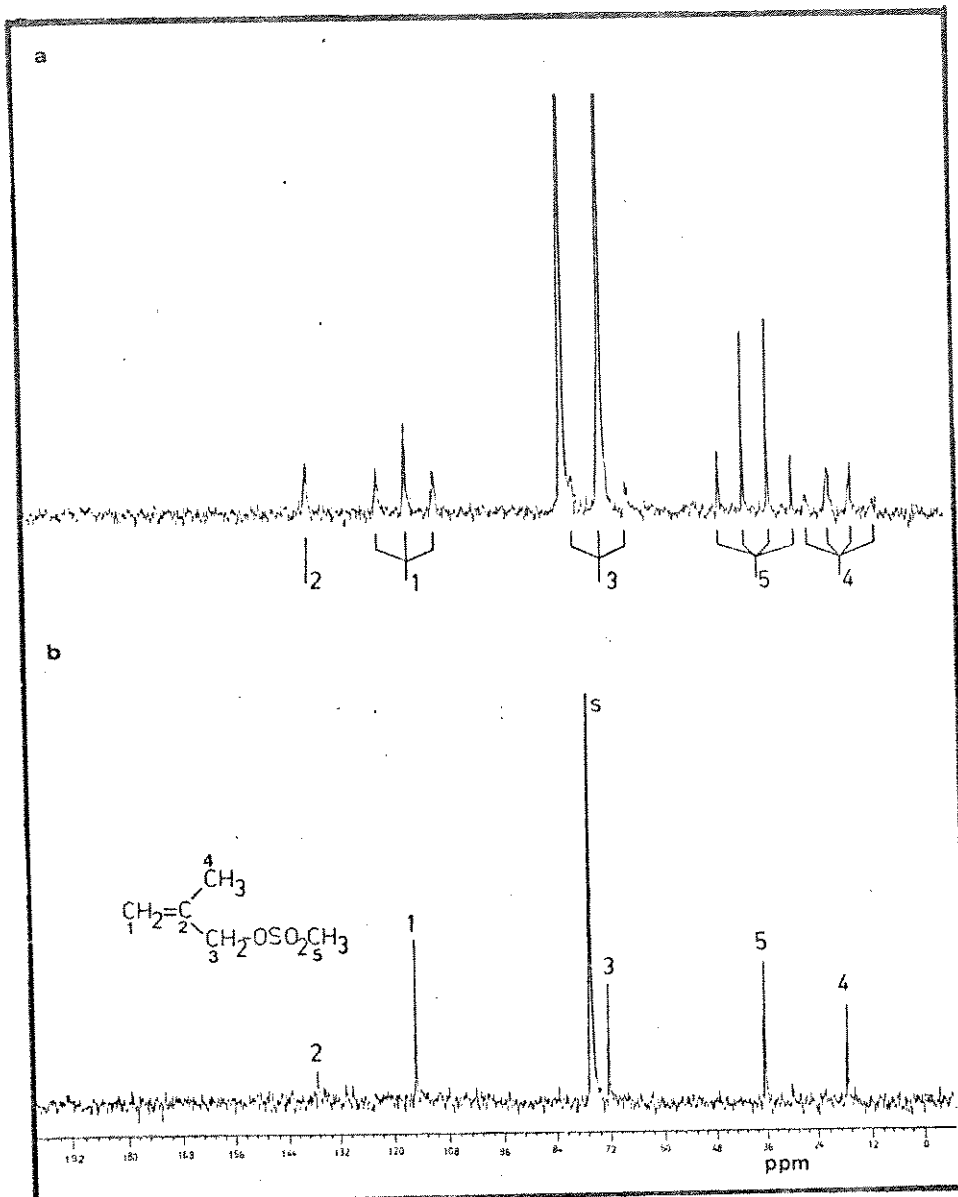


Figura 95. Espectro de r.m.n. de  $^{13}\text{C}$  do metanossulfonato de 2-metil-3-propenila (13), em  $\text{CHCl}_3$ , (100 MHz), (a)-acoplado com próton (DA) e (b)-desacoplado - (DFL).

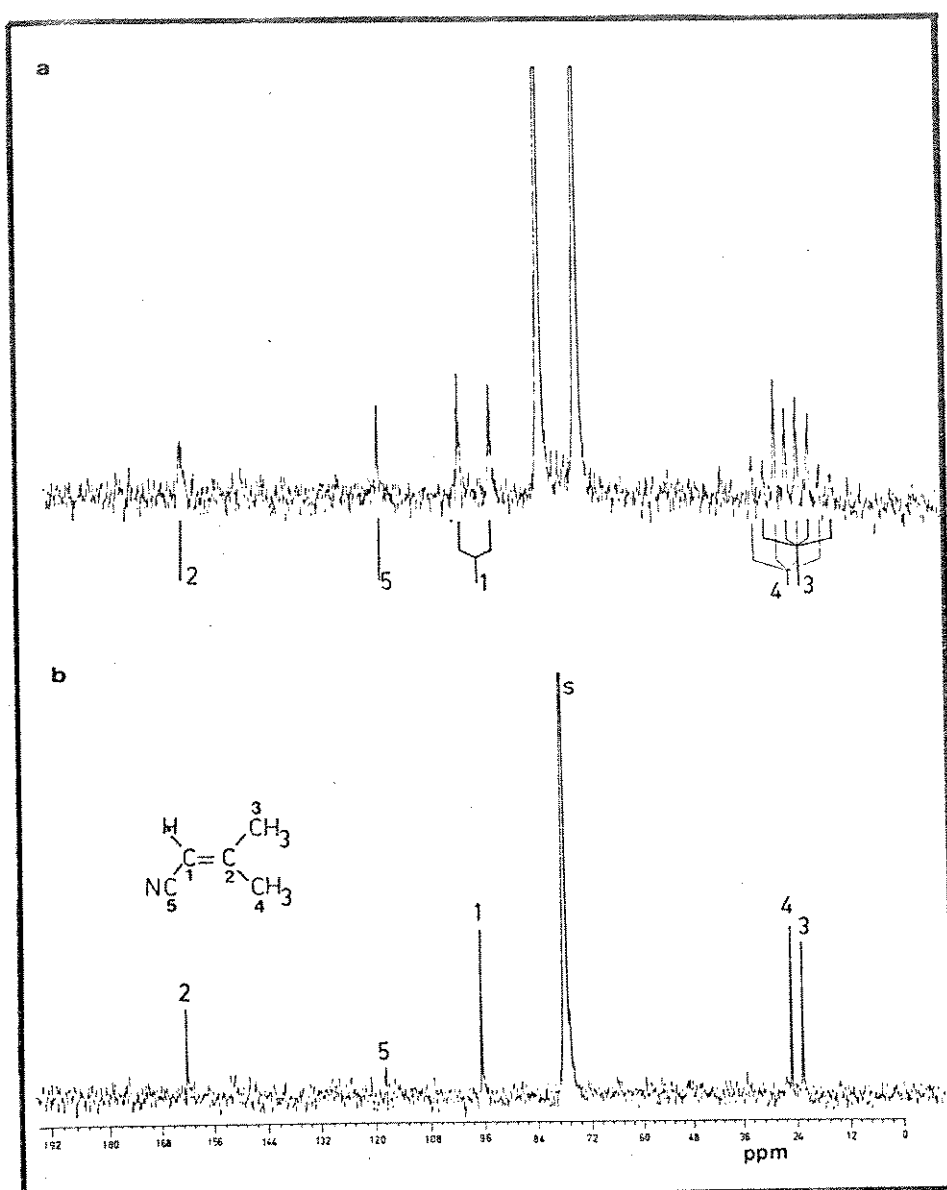


Figura 96. Espectro de r.m.n. de  $^{13}\text{C}$  do 1-ciano-2-metilpropano ( $\underline{14}$ ) em  $\text{CHCl}_3$ , (100MHz), (a)-acoplado com próton (DAI) e (b)-desacoplado (DFL).

## Capítulo 4

### ESPECTROS DE INFRAVERMELHO DE 2-METILPROOPENOS 3-SUBSTITUIDOS.

Neste capítulo faremos uma breve análise das bandas características dos espectros de infravermelho dos 2-metil propenos 3-substituidos, visto que estes espectros foram obtidos como complemento na caracterização dos compostos obtidos experimentalmente.

Os espectros de i.v. foram obtidos em solução de  $\text{CCl}_4$ , conforme descrito na Parte Experimental.

Em compostos olefínicos, a absorção característica é a vibração de estiramento da ligação dupla ( $\text{C}=\text{C}$ ). Nos 2-metilpropenos 3-substituidos, esta absorção ocorre entre  $1660\text{-}1640 \text{ cm}^{-1}$ , com intensidade média.

A vibração de estiramento  $=\text{C}-\text{H}$  destes compostos é também bem característica ocorrendo entre  $3090\text{-}3070 \text{ cm}^{-1}$ . As frequências de estiramento  $\text{C}-\text{H}$  dos grupos  $\text{CH}_2$  e  $\text{CH}_3$  ocorrem sempre a frequências menores que  $3000 \text{ cm}^{-1}$ . Observando-se para os compostos que contém o grupo  $\text{N}(\text{CH}_3)_2$ ,  $\text{N}(\text{CH}_2\text{CH}_3)_2$  e  $\text{OCH}_3$  um desdobramento nas bandas nesta região. Estes desdobramentos das bandas  $\text{C}-\text{H}$  foram observados<sup>188</sup> em compostos que contém Oxigênio e Nitrogênio ligados a  $\text{CH}_2$  e  $\text{CH}_3$ , onde o par de elétrons destes átomos não está deslocalizado. O que ocorre é uma interação do par de elétrons do Oxigênio ou Nitrogênio com a ligação  $\text{C}-\text{H}$ , levando esta a uma posição *trans* a do heteroátomo, como resultado desta interação, uma não equivalência das ligações  $\text{C}-\text{H}$  do mesmo átomo de carbono é observada, sendo refletida no espectro de infravermelho pelo desdobramento das bandas.

Outra banda característica é a deformação fora do plano para o grupo  $=\text{C}-\text{H}$ , de intensidade forte, observando-se-

que para os compostos metalílicos seu valor praticamente - não varia para a maioria dos compostos, (conforme Tabela 24 coluna b).

Na Tabela 24, estão listadas as principais bandas que caracterizam os 2-metilpropenos 3-substituídos.

TABELA 24. Frequências de absorção no infravermelho em  $\text{cm}^{-1}$   
de 2-metilpropenos 3-substituídos:  $\text{CH}_2\text{C}(\text{CH}_3)\text{CH}_2\text{Z}$

Z	$\text{C}=\text{C}$	$=\text{C}-\text{H}$		$\text{C}-\text{Z}$
		(a)	(b)	
Cl	1650	3080	910	660
Br	1655	3090	910	615
I	1640	3090	910	570
OH	1660	3090	900	1020
OMe	1655	3080	910	1120
OEt	1650	3080	900	1120
NMe <sub>2</sub>	1640	3070	900	1450
NET <sub>2</sub>	1650	3080	900	1450
SH	1650	3090	900	-
SMe	1640	3090	900	-
SEt	1650	3090	900	-

vibração de: (a) estiramento C-H (b) deformação fora do plano, <sup>c</sup> estiramento C=C.

Na Tabela 24 as frequências para a absorção da ligação C-S não estão listadas, porque estas absorções são fracas e ocorrem normalmente na região de  $715-620 \text{ cm}^{-1}$ , embora se observe absorções nesta região para Z=SH e SEt , procuramos não atribuir, desde que nesta região também temos a absorção do solvente  $\text{CCl}_4$ , em que foram obtidos os espectros.

Nas Figuras 97 a 110 , econtram-se os espectros de infravermelho dos compostos metalílicos. Também encontram-se os espectros de infravermelho para os compostos auxiliares sintetizados neste trabalho, como o 2-metilpropenoato de metila(3), metanosulfonato de 2-metil-3-propenila(13) e 1-ciano-2-metilpropeno(14).

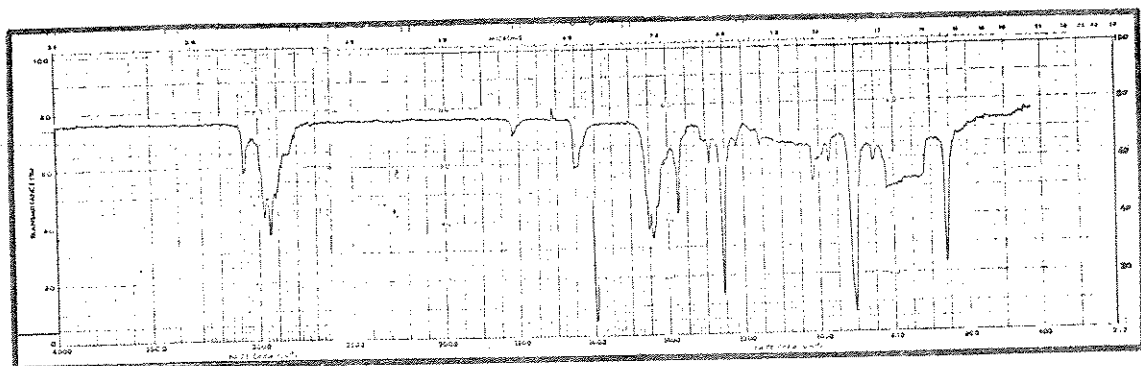


Figura 97. Espectro de I.V. ( $CCl_4$ ) do 3-cloro-2-metilpropano (1).

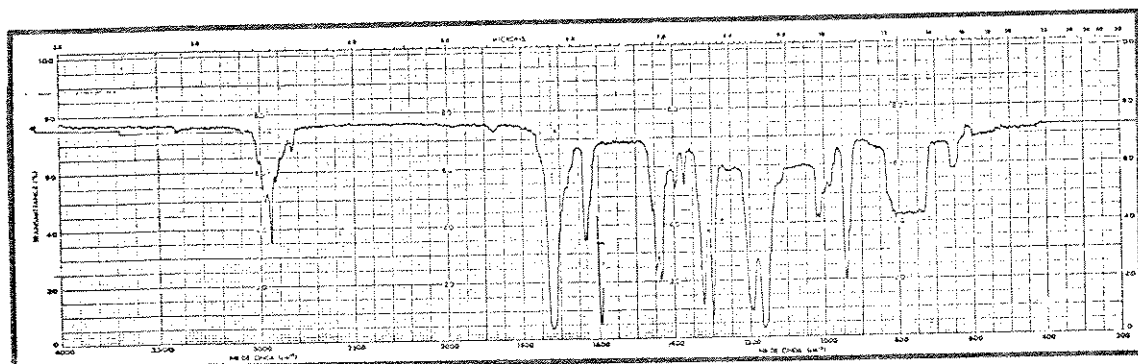


Figura 98. Espectro de I.V. ( $CCl_4$ ) do 2-metilpropenoato de metila (2)

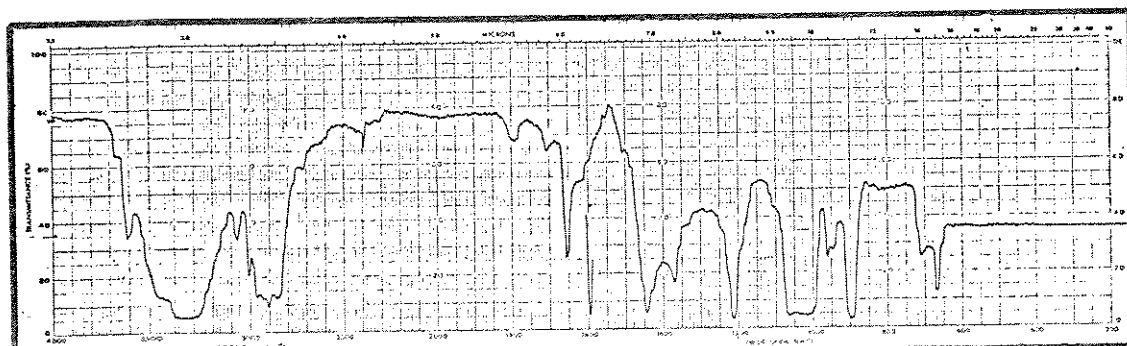


Figura 99. Espectro de I.V. ( $CCl_4$ ) do 2-metilpropen-3-ol (3).

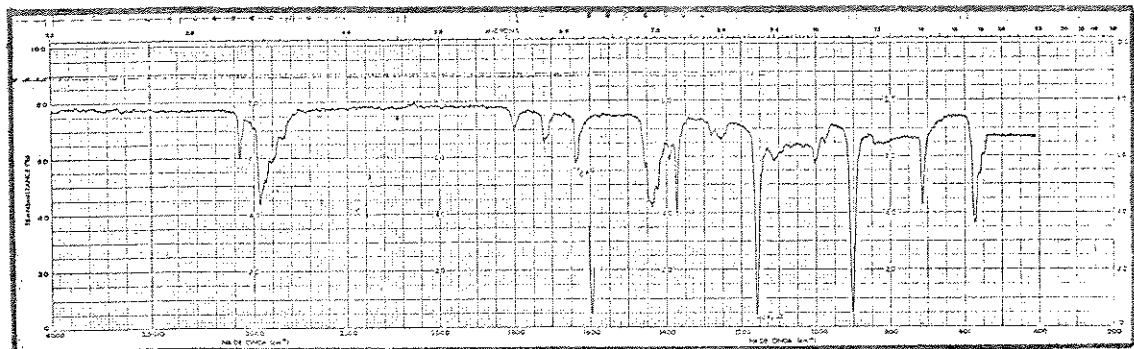


Figura 100. Espectro de I.V. ( $CCl_4$ ) do 3-*iodo*-2-metilpropano (14).

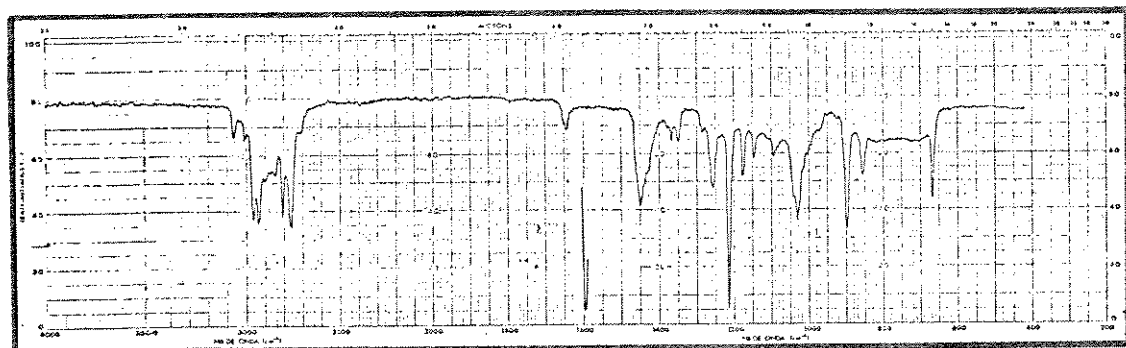


Figura 101. Espectro de I.V. ( $CCl_4$ ) do 3-*N,N*-Dimetilamino-2-metilpropeno (15)

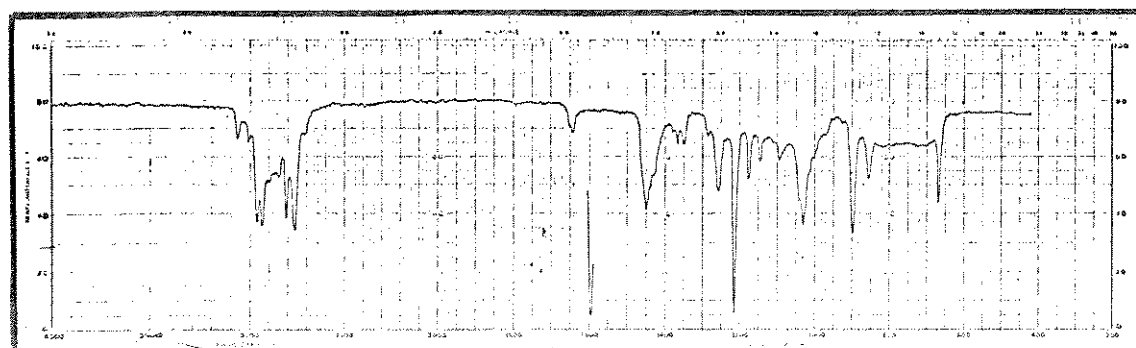


Figura 102. Espectro de I.V. ( $CCl_4$ ) do 3-*N,N*-Diethylamino-2-metilpropeno (16)

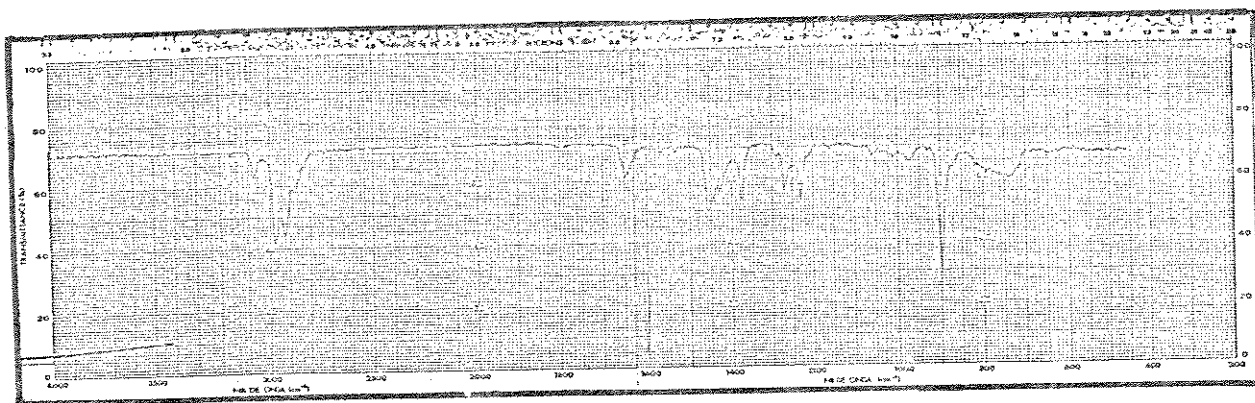


Figura 103. Espectro de I.V. ( $CCl_4$ ) do 3-etiltio-2-metilpropeno (7).

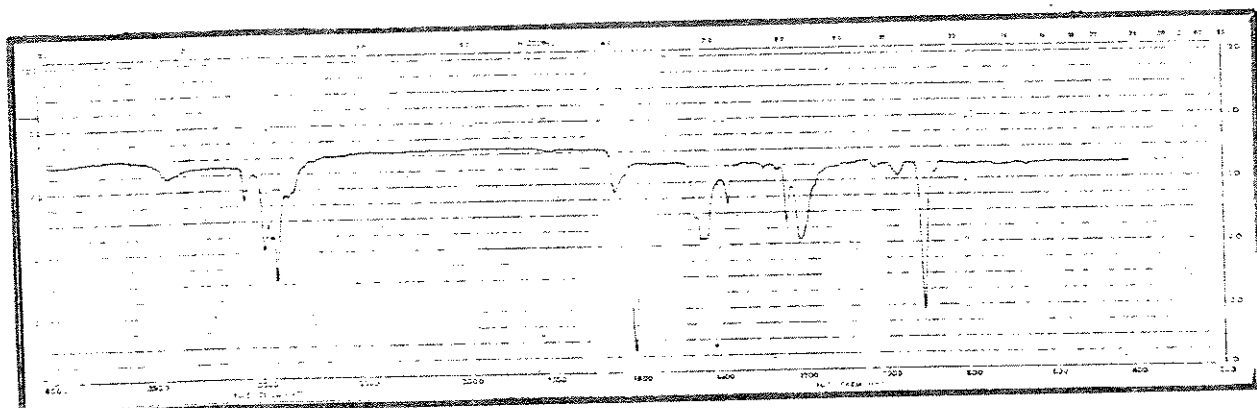


Figura 104. Espectro de I.V. ( $CCl_4$ ) do 3-metiltio-2-metilpropeno (8).

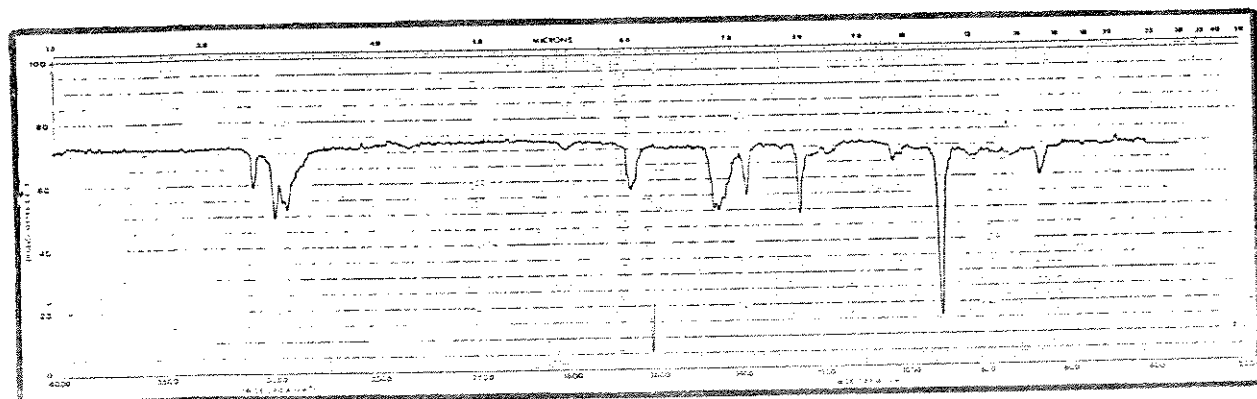


Figura 105. Espectro de I.V. ( $CCl_4$ ) do 3-tiol-2-metilpropeno (9).

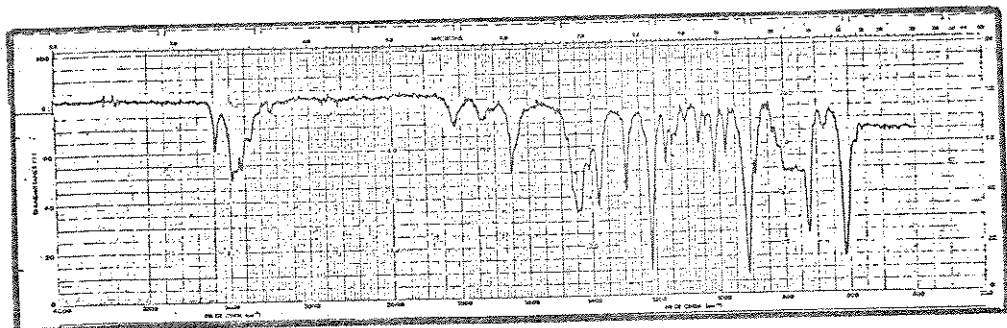


Figura 106. Espectro de I.V. ( $CCl_4$ ) do 3-bromo-2-metilpropano (110).

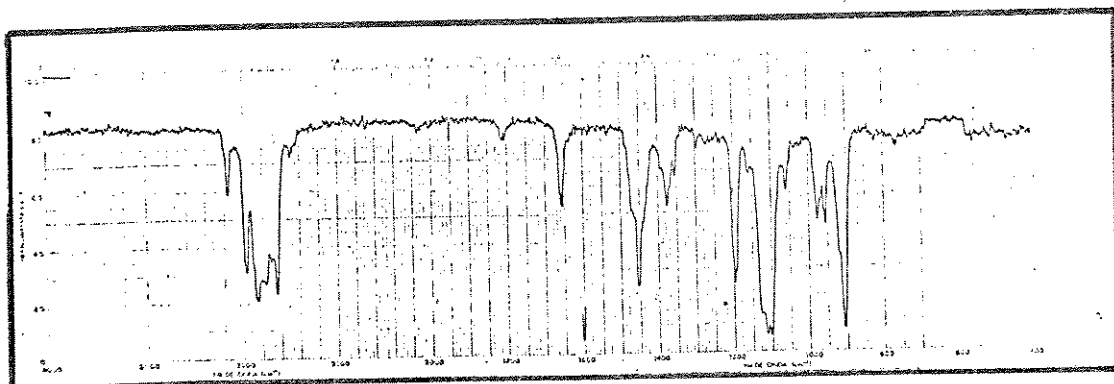


Figura 107. Espectro de I.V. ( $CCl_4$ ) do 3-metóxi-2-metilpropano (111).

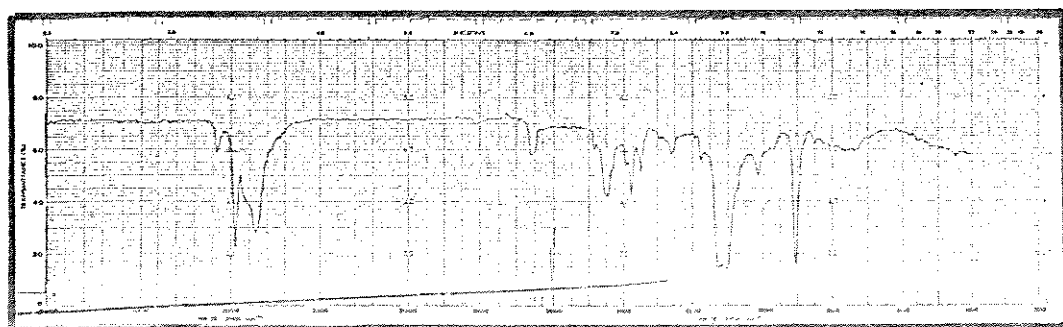


Figura 108. Espectro de I.V. ( $CCl_4$ ) do 3-etóxi-2-metilpropano (121).

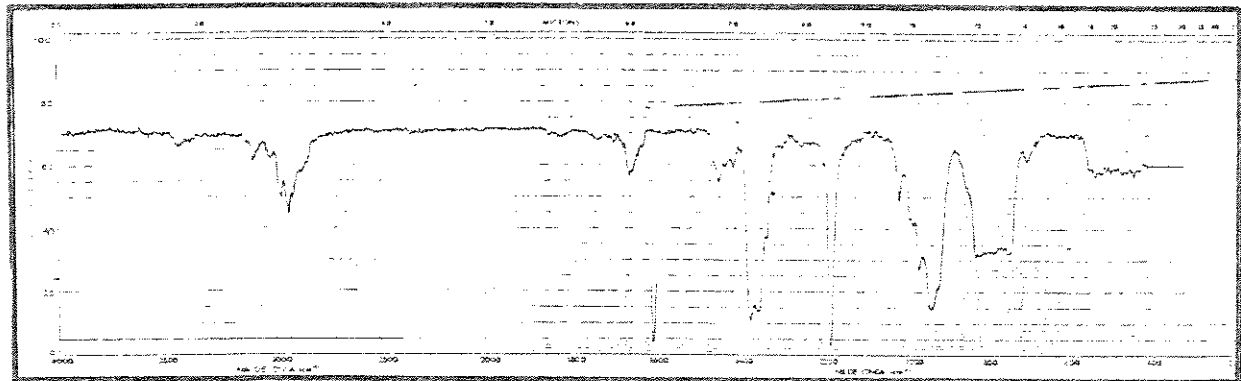


Figura 109. Espectro de I.V. ( $CCl_4$ ) do metanossulfonato de 2-metil-3-propenila (131).

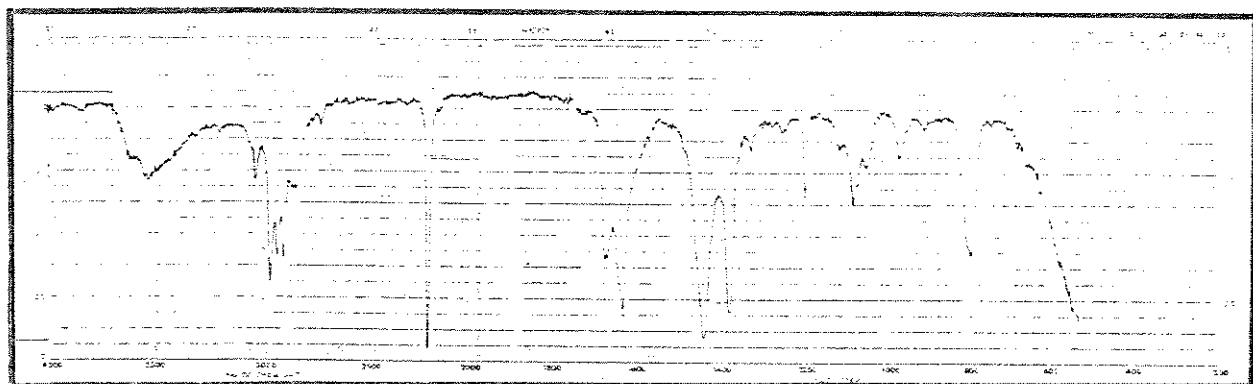


Figura 110. Espectro de I.V. ( $CCl_4$ ) do 1-ciano-2-metilpropeno (141).

## **Conclusões**

## Capítulo 5

### CONCLUSÕES

Ao analisarmos os 2-metilpropenos 3-substituidos-por r.m.n. de  $^1\text{H}$  e de  $^{13}\text{C}$ , observamos que o efeito da substituição no carbono C-3, altera de maneira bastante significativa as densidades eletrônicas, tanto dos hidrogênios, quanto dos carbonos nestes compostos. Embora efeitos eletrônicos, estéricos, efeitos de eletronegatividade, efeitos conformacionais, anisotropia e outros efeitos causados pela substituição, juntos, formem um conjunto complexo de fatores, procuraremos apresentar resumidamente os aspectos abordados nesta tese.

O estudo dos deslocamentos químicos de  $^1\text{H}$ , demonstrou que o efeito da substituição no carbono C-3, influí de maneira mais acentuada sobre o hidrogênio *cis* ao grupo - $\text{CH}_2\text{Z}$ , isto é demonstrado pela maior variação no deslocamento químico deste hidrogênio em relação ao hidrogênio *trans* ao grupo metíleno substituído.

A atribuição dos hidrogênios olefínicos, através do uso de reagentes de deslocamento lantanídico,  $\text{Pr}(\text{fod})_3$ , e  $\text{Eu}(\text{fod})_3$ , confirmam inequivocamente que o hidrogênio olefínico ( $\text{H}_A$ ) de maior deslocamento químico está *cis* ao grupo - $\text{CH}_2\text{Z}$ .

Para substituintes  $\text{SEt}$  e  $\text{NMe}_2$ , os hidrogênios olefínicos sofrem sobreposição dos seus sinais, indicando que dependendo do substituinte, podemos ter a predominância do efeito anisotrópico no caso dos halogênios e efeitos estérico e indutivos para os demais substituintes.

Os compostos metalílicos constituem um sistema de spins do tipo  $\text{ABM}_2\text{X}_3$ , onde todos os hidrogênios da molécula podem estar acoplando. As constantes de acoplamento à longa distância, entre os prótons  $\text{M}_2\text{X}_3$ , refletem a influência do substituinte, sendo apenas observada para os compostos -

metalílicos oxigenados e nitrogenados, indicando que para estes grupos, uma arranjo em "W" entre os prótons é favorecido. Os acoplamentos alílicos  $^4J_{AM}$  (cisóide),  $^4J_{AX}$  (transóide),  $^4J_{BM}$  (transóide) e  $^4J_{BX}$  (cisóide), são também bastante sensíveis a substituição e a fatores geométricos, cujas variações tornam os sinais dos hidrogênios bastante complexos, devido a sobreposição de linhas decorrentes de seus pequenos valores (0,8 a 1,6Hz), o que torna difícil a análise destas linhas à 100 MHz. O uso do programa NMRcal e UEAITR auxiliaram na determinação dos valores das constantes de acoplamento dos sistemas metalílicos.

Os deslocamentos químicos de  $^{13}C$  destes compostos se mostraram dependentes de efeito polar do substituinte e de efeitos estéricos e conformacionais.

A comparação com os deslocamentos químicos de  $^{13}C$  de compostos alílicos, através de correlações lineares indica que a entrada do grupo metila no carbono C-2, não altera significativamente as densidades eletrônicas no resto da molécula, observando-se boa correlação entre o deslocamento químico de metalílicos e alílicos.

As correlações entre os deslocamentos químicos e parâmetros eletrônicos de Charton, indicam que o Carbono C-1(olefínico) depende principalmente do efeito polar do substituinte, enquanto que para os demais carbonos uma parcela de efeitos estéricos e conformacionais tem um papel significativo, isto é observado quando considera-se ambos efeitos através de relações multilineares.

Correlações entre os deslocamentos químicos de  $^{13}C$  dos compostos metalílicos e propanonas substituídas, não forneceram uma correlação linear geral, indicando que os efeitos que atuam na variação dos deslocamentos químicos das propanonas são diferentes, o que confirma que interações entre o heteroátomo e o Oxigênio carbonílico, importantes

no caso de cetonas, não são tão significativas para os compostos metalílicos.

Os cálculos empíricos para os deslocamentos químicos dos carbonos  $sp^3$ , através do método tipo Grant e Paul, apresentaram boa concordância com os valores experimentais, exceto para os oxigenados, Cl e Br, ao contrário das grandes diferenças pelo uso do mesmo método, encontradas para propanonas substituídas.

A determinação de parâmetros de interação, neste trabalho e a sua utilização no método de Roberts para determinar os deslocamentos químicos dos carbonos olefínicos, forneceram valores concordantes com os obtidos experimentalmente.

Embora não tenhamos feito um estudo conformacional sobre os compostos metalílicos, dados de r.m.n. de  $^{13}C$ , revelam que o carbono C-4, sofre o efeito  $\gamma$ , principalmente no caso dos compostos halogenados. Este efeito indica uma grande contribuição da conformação *syn* para o caso do Iodo e uma contribuição da conformação *gauche* para os demais halogênios.

## Parte III

## Parte Experimental

## PARTE EXPERIMENTAL

### 1. INSTRUMENTAÇÃO GERAL.

#### ESPECTROS NO INFRAVERMELHO.

Os espectros no infravermelho, foram determinados em um espectrômetro Perkin-Elmer modelo 399-B.

#### ESPECTROS DE RESSONÂNCIA MAGNÉTICA NUCLEAR.

##### a) ESPECTROS DE R.M.N. DE $^1\text{H}$ .

Os espectros de r.m.n. de  $^1\text{H}$  foram determinados em espectrômetros Varian modelos T-60 e XL-100 , Bruker - AW-80 e AC-250 em condições usuais, Espectrômetro de 100MHz de onda contínua, construído no laboratório da Universidade de Buenos Aires e preparado para experiências de dupla- e tripla ressonância.<sup>189</sup>

##### b)ESPECTROS DE R.M.N. DE $^{13}\text{C}$ .

Os espectros de r.m.n. de  $^{13}\text{C}$ , foram determinados em espectrômetro Varian, modelo XL-100, acoplado a um- computador Varian 620-L, que opera com transformada de Fourier. As características essenciais e as condições de tra balho foram:

- frequência: 25,2 MHz
- trava externa: sinal de  $^2\text{H}$ , através de um tubo côncentri co, contendo  $\text{D}_2\text{O}$ .
- temperatura: 31°
- velocidade de rotação da amostra: 10rps
- tubo da amostra: diâmetro 10/12 mm, coaxial com  $\text{D}_2\text{O}$ .
- largura de varredura: 6000 Hz

- modo: transformada de Fourier.
- duração do pulso: 15  $\mu$ s
- intervalo entre dois pulsos: 0,3s
- tempo de aquisição: 0,66s
- largura da banda de ruído branco: 2000Hz
- número de pontos: 8192

Os valores de deslocamento químico foram determinados em relação ao sinal do carbono do  $\text{CHCl}_3$ , convertidos para a escala  $\delta$  referenciada ao sinal do TMS pela relação:

$$\delta_{\text{TMS}} = \delta_{\text{CHCl}_3} - 77,20$$

A simulação dos espectros de r.m.n. de  $^1\text{H}$  foi feita em um computador VAX-11 /785 da "Digital", utilizando o programa UEAITR.<sup>179</sup>

## 2. PREPARAÇÃO DAS AMOSTRAS.

Para o estudo espectroscópico proposto, as amostras foram preparadas, conforme descrito a seguir.

### INFRAVERMELHO.

solvente:  $\text{CCl}_4$   
concentração do substrato: 2% (v/v)  
utilizou-se cela para líquidos de  $\text{NaCl}$  0,1 mm.

### R.M.N. DE $^1\text{H}$ .

solvente:  $\text{CCl}_4/\text{TMS}$   
concentração do substrato: 50 mg/0,5 ml.

As amostras para as experiências de tripla ressonância, foram preparadas a uma concentração de 30% em  $\text{CCl}_4$  e 10% de TMS, usando a técnica de congelar e descongelar sucessivamente.

R.M.N. DE  $^{13}\text{C}$ .

solvente:  $\text{CHCl}_3$

concentração da amostra : 2M

### 3.SOLVENTES

Os solventes utilizados para a síntese dos compostos em estudo, foram de qualidade técnica ou p.a., purificados segundo procedimentos usuais<sup>195,196</sup>.

Na determinação dos espectros, foram utilizados-solventes para espectroscopia (Merck -Uvasol).

### 4.COMPOSTOS PURIFICADOS OU SINTETIZADOS.

A pureza dos compostos foi verificada por r.m.n. de  $^1\text{H}$  e infravermelho.

#### 4.1.COMPOSTOS PURIFICADOS.

##### 2-metilpropenoato de metila (2).

O 2-metil-propenoato de metila(metaacrilato de metila), de procedência comercial (ICI), foi seco sob sulfato de magnésio anidro, destilado em coluna Vigreux à pressão atmosférica, tendo-se retirado a cabeça de destilação e logo após uma fração de p.e. 100°C.

r.m.n. de  $^1\text{H}$ :  $\delta(\text{CCl}_4)$ , 6,06(1H,m,HC=), 5,52(1H,m,HC=), -3,75(3H,s,O-CH<sub>3</sub>), 1,94(3H,s,l,CH<sub>3</sub>) ppm.

i.v:  $(\text{CCl}_4)$ , 3005( $\delta = \text{C-H}$ ), 1635( $\delta \text{ C=C}$ ), 1720( $\delta \text{ C=O}$ ), 1100-940( $\delta = \text{C-H}$ )  $\text{cm}^{-1}$ .

r.m.n. de  $^{13}\text{C}$ :  $(\text{CH}_2=\overset{1}{\text{C}}(\overset{2}{\text{CH}_3})\overset{3}{\text{COOCH}_3})$ ,  $\delta(\text{CHCl}_3)$ , 124,87(C-1) 135,90(C-2), 167,30(C-3), 17,96(C-4), 51,34(C-5) ppm.

##### 3-cloro-2-metilpropeno (1)

O 3-cloro 2-metilpropeno de procedência comercial (Aldrich), foi seco sob sulfato de magnésio anidro, des

tilado em coluna Vigreux, à pressão atmosférica, tendo-se retirado a cabeça de destilação e logo após uma fração de p.e. 72°C.

#### 4.2.COMPOSTOS SINTETIZADOS.

##### 3-cloro-2-metilpropeno (1)<sup>190</sup>.

Em balão de duas bocas, provido de um condensador de refluxo, agitador magnético e funil de adição, colocou-se 4,60ml (3,94g;0,05 mol) de 2-metilpropen -3-ol. Adicionou-se através de funil de adição 1,80ml (2,83g;0,02mol) de tricloreto de fósforo ao 2-metilpropen -3-ol gelado e sob agitação, deixando-se em repouso durante a noite. Destilou-se diretamente da mistura de reação, coletando-se uma fração de p.e. 66-70°C. Agitou-se o destilado com carbonato de potássio, redestilou-se à pressão atmosférica, obtendo-se 1,53g de 3-cloro-2-metilpropeno (34%), p.e. 71-72°C .

r.m.n. de <sup>1</sup>H: δ(CCl<sub>4</sub>), 5,07(1H,m,HC=), 4,93(1H,m,HC=), -3,99(2H,s1,CH<sub>2</sub>Cl), 1,89(3H,s1,CH<sub>3</sub>) ppm.

i.v.: (CCl<sub>4</sub>), 3080( ν =C-H), 1650( ν C=C), 970-910( δ =C-H) 660( ν C-Cl) cm<sup>-1</sup>.

r.m.n. de <sup>13</sup>C: (CH<sub>2</sub>=C(CH<sub>3</sub>)<sup>2</sup><sub>4</sub><sup>3</sup>CH<sub>2</sub>Cl), δ(CHCl<sub>3</sub>), 114,62(C-1), -141,14(C-2), 49,20(C-3), 19,45(C-4).

##### 2-metilpropen -3-ol (3)<sup>191</sup>.

1<sup>a</sup>tentativa: Em um balão de duas bocas, provido de condensador de refluxo, equipado com tubo de cloreto de cálcio, funil de adição e agitador magnético, colocou-se 0,46g (0,01 mol) de hidreto de lítio e alumínio em 10ml de éter, adicionou-se lentamente 2ml ( 2g;0,02 mol) de meta acrilato de metila através de funil de adição. Após a adição total, resfriou-se o balão, adicionou-se gota a gota -

5ml de acetato de etila e 1ml de água, formou-se lentamente um precipitado branco, filtrou-se, secou-se o filtrado sob sulfato de magnésio anidro, destilou-se à pressão atmosférica, havendo a polimerização do produto durante a destilação.

2<sup>a</sup> tentativa: Em balão de duas bocas, provido de condensador de refluxo equipado com tubo de cloreto de calcio, funil de adição e agitador magnético, colocou-se 0,61g (0,01 mol) de hidreto de lítio e alumínio, destilou-se diretamente para esse balão contendo o hidreto de lítio e alumínio, 30ml de éter seco, adicionou-se 2,77ml(2,74g;0,03 mol) de metaacrilato de metila (previamente tratado e destilado diretamente para o funil de adição), através do funil de adição. Após a adição total, resfriou-se o balão, adicionou-se lentamente 3ml de água, filtrou-se, secou-se o filtrado sob sulfato de magnésio anidro, evaporou-se em evaporador rotatório, obtendo-se 0,75g (35%) de 2-metilpropeno -3-ol, p.e. 114-115°C. (lit.<sup>170</sup> 114,49°C).

r.m.n. de <sup>1</sup>H: δ(CCl<sub>4</sub>), 4,94(1H,m,HC=), 4,79(1H,m,HC=), 3,94(2H,s1,CH<sub>2</sub>OH), 3,40(1H,s1,OH), 1,72(3H,s1,CH<sub>3</sub>) ppm.  
i.v.: (CCl<sub>4</sub>), 3610-3200(ν -OH), 3090(ν =C-H), 1660(ν C=C), -1020(ν C-O), 900(δ =C-H) cm<sup>-1</sup>.

r.m.n. de <sup>13</sup>C: (CH<sub>2</sub>=C(CH<sub>3</sub>)<sup>2</sup>CH<sub>2</sub>OH), δ (CHCl<sub>3</sub>), 108,98(C-1), 144,19(C-2), 65,47(C-3), 18,50(C-4) ppm.

### 3-iodo-2-metilpropeno (4).<sup>172</sup>

Em balão equipado com condensador de refluxo e agitador magnético, colocou-se 3ml (2,74g;0,03 mol), de 3-cloro-2-metilpropeno e 5,76g(0,38 mol), de iodeto de sódio em 10ml de acetona. Aqueceu-se a mistura reacional à refluxo por 24 horas. Colocou-se em funil de separação contendo 15ml de água, extraiu-se com éter, lavou-se com solução diluída de bisulfito de sódio e novamente com água,

secou-se sob sulfato de sódio anidro, filtrou-se, evaporou-se (sem aquecer) em evaporador rotatório, obtendo-se 2,98g (55%) de 3-iodo-2-metilpropeno, p.e. 160°C (lit.<sup>170</sup> 25-30°C a 5 mm Hg).

r.m.n. de <sup>1</sup>H: δ (CCl<sub>4</sub>) , 5,22(1H,m,HC=), 4,90(1H,m,HC=), -3,89(2H,s1,CH<sub>2</sub>), 1,94(3H,s1,CH<sub>3</sub>) ppm.

i.v.: (CCl<sub>4</sub>) , 3090( ν =C-H), 1640( ν C=C), 1160( ν CH<sub>2</sub>-I), -900-710( δ =C-H), 570( ν C-I) cm<sup>-1</sup>.

r.m.n. de <sup>13</sup>C: (CH<sub>2</sub>=C(CH<sub>3</sub>)<sup>2</sup>CH<sub>2</sub>-I), δ (CHCl<sub>3</sub>) , 114,27(C-1), 142,52(C-2), 12,01(C-3), 20,99(C-4) ppm.

### 3-N,N-Dimetilamino-2-metilpropeno (5).<sup>192</sup>

Em balão de tres bocas, provido de condensador - de refluxo, termômetro, agitador magnético e funil de adição colocou-se 3ml(2,74g;0,03 mol) de 3-cloro-2-metilpropeno, adicionou-se lentamente através do funil de adição - 21ml(8,12g;0,18 mol) de solução aquosa a 40% de dimetilamina, havendo variação na temperatura da reação de 25-41°C. Agitou-se por duas horas, deixou-se em repouso durante a noite. Alcalinizou-se com NaOH 6N (pH~12), extraiu-se com éter, secou-se sob sulfato de magnésio anidro, filtrou-se e destilou-se o produto a pressão atmosférica, obtendo-se 0,76g (25%) de 3-N,N-dimetilamino-2-metilpropeno, p.e. 80 - 83°C (lit.<sup>192</sup> 82-83,5°C).

r.m.n. de <sup>1</sup>H: δ (CCl<sub>4</sub>) , 4,80(2H,m,H<sub>2</sub>C=), 2,81(2H,s1,CH<sub>2</sub>), -2,19(6H,s,N(CH<sub>3</sub>)<sub>2</sub>), 1,77(3H,s1,CH<sub>3</sub>) ppm.

i.v.: (CCl<sub>4</sub>) , 3070( ν =C-H), 1640( ν C=C), 1450( ν CH<sub>2</sub>-N), -900-810( δ =C-H) cm<sup>-1</sup>.

r.m.n. de <sup>13</sup>C: (CH<sub>2</sub>=C(CH<sub>3</sub>)<sup>2</sup>CH<sub>2</sub>-N(CH<sub>3</sub>)<sub>2</sub>), δ (CHCl<sub>3</sub>) , 112,67-(C-1), 143,13(C-2), 66,91(C-3), 20,62(C-4), 45,26(C-5) ppm.

### 3-N,N-Dietilamino-2-metilpropeno (6).<sup>192</sup>

Em balão de tres bocas, provido de condensador -

de refluxo, termômetro, agitador magnético e funil de adição, colocou-se 3ml(2,74g;0,03 mol) de 3-cloro-2-metilpropeno, adicionou-se através do funil de adição 49,5ml(8,84g; 0,12 mol) de solução aquosa a 25% de dietilamina, havendo variação na temperatura de reação. Agitou-se por duas horas, deixou-se em repouso durante a noite. Alcalinizou-se com NaOH 6N, extraiu-se com éter, secou-se sob sulfato de magnésio anidro, filtrou-se e destilou-se o produto a pressão atmosférica, obtendo-se 1,8g(49,4%) de 3-N,N-dietilamino-2-metilpropeno, p.e. 100-104°C.

r.m.n. de  $^1\text{H}$ :  $\delta$  (CCl<sub>4</sub>), 4,84(1H,m,HC=), 4,77(1H,m,HC=), - 2,88(2H,s1,CH<sub>2</sub>), 2,43(4H,q,N(CH<sub>2</sub>CH<sub>3</sub>)<sub>2</sub>), 1,71(3H,s1,CH<sub>3</sub>), - 0,98(6H,t,N(CH<sub>2</sub>CH<sub>3</sub>)<sub>2</sub>) ppm.

i.v.: (CCl<sub>4</sub>), 3080( $\text{v}_\text{C-H}$ ), 1650( $\text{v}_\text{C=C}$ ), 1450( $\text{v}_\text{CH}_2-\text{N}$ ), 900 ( $\delta = \text{C-H}$ ) cm<sup>-1</sup>.

r.m.n. de  $^{13}\text{C}$ : (CH<sub>2</sub>=C(CH<sub>3</sub>)<sup>2</sup>CH<sub>2</sub>N(CH<sub>2</sub>CH<sub>3</sub>)<sub>2</sub>,  $\delta$  (CHCl<sub>3</sub>), 112,04 (C-1), 144,07(C-2), 60,31(C-3), 20,85(C-4), 46,74(C-5), - 11,67(C-6) ppm.

### 3-etiltio-2-metilpropeno (7).<sup>193</sup>

Em balão de duas bocas, provido de condensador - de refluxo, funil de adição e agitação magnética, colocou-se 15ml de etanol anidro, introduziu-se 0,60g de sódio metálico em pequenos pedaços, deixou-se todo o sódio reagir, colocou-se 2,40ml(2,01g;0,03 mol) de etanotiol, adicionou-se lentamente através de funil de adição 3,00ml(2,74g;0,03 mol), de 3-cloro-2-metilpropeno. Após a adição total, gelou-se a solução, filtrou-se, jogou-se em 100ml de água, extraiu-se com éter, secou-se sob sulfato de magnésio anidro, filtrou-se e destilou-se sob atmosfera de nitrogênio, obtendo-se 1,98g(56,6%), de 3-etiltio-2-metilpropeno.

r.m.n. de  $^1\text{H}$ :  $\delta$  (CCl<sub>4</sub>), 4,76(2H,m,H<sub>2</sub>C=), 3,03(2H,s1,CH<sub>2</sub>), - 2,35(2H,q,SCH<sub>2</sub>CH<sub>3</sub>), 1,80(3H,s1,CH<sub>3</sub>), 1,20(3H,t,SCH<sub>2</sub>CH<sub>3</sub>) ppm.

i.v.:  $(CCl_4)_4$ , 3080( $\text{v}=\text{C-H}$ ), 1650( $\text{v C=C}$ ), 900( $\delta=\text{C-H}$ )  $\text{cm}^{-1}$   
 r.m.n. de  $^{13}\text{C}$ : ( $\overset{1}{\text{CH}_2}=\overset{2}{\text{C}}(\overset{3}{\text{CH}_3})\overset{4}{\text{CH}_2}\overset{5}{\text{SCH}_2}\overset{6}{\text{CH}_3}$ ),  $\delta(\text{CHCl}_3)$ , 112,98 -  
 (C-1), 141,29(C-2), 38,97(C-3), 20,71(C-4), 24,85(C-5), -  
 14,36(C-6).

### 3-metiltio-2-metilpropeno (8).<sup>193</sup>

Em balão de duas bocas, provido de condensador - de refluxo, funil de adição e agitação magnética, colocou-se 10ml de etanol anidro, introduziu-se 0,40g de sódio metálico em pequenos pedaços, deixou-se todo o sódio reagir, colocou-se 1,5ml(1,01g;0,02 mol) de metanotiol (resfriado-sob gelo seco), adicionou-se lentamente através de funil - de adição 2,00ml(1,81g;0,02 mol) de 3-cloro-2-metilpropeno. Após a adição total, gelou-se a solução, filtrou-se, colocou-se em funil de separação, contendo água gelada, extraiu-se com éter, secou-se sob sulfato de magnésio anidro, - filtrou-se e destilou-se sob atmosfera de nitrogênio, obtendo-se 0,51g(25%) de 3-metiltio-2-metilpropeno, p.e.113°C (lit.<sup>193</sup> 113-113,2°C).

r.m.n. de  $^1\text{H}$ :  $\delta(CCl_4)$ , 4,92(1H,m,HC=), 4,90(1H,m,HC=), 3,08  
 (2H,s,CH<sub>2</sub>), 1,95(3H,s,S-CH<sub>3</sub>), 1,84(3H,s,l,CH<sub>3</sub>) ppm.

i.v.:  $(CCl_4)_4$ , 3080( $\text{v}=\text{C-H}$ ), 1645( $\text{v C=C}$ ), 900( $\delta=\text{C-H}$ )  $\text{cm}^{-1}$ .

r.m.n. de  $^{13}\text{C}$ : ( $\overset{1}{\text{CH}_2}=\overset{2}{\text{C}}(\overset{3}{\text{CH}_3})\overset{4}{\text{CH}_2}\overset{5}{\text{SCH}_3}$ ),  $\delta(\text{CHCl}_3)$ , 113,21(C-1)  
 140,73(C-2), 41,46(C-3), 20,57(C-4), 14,53(C-5) ppm.

### 3-tiol-2-metilpropeno (9).<sup>194</sup>

1<sup>a</sup> tentativa: Em balão, provido de condensador - de refluxo protegido com tubo de cloreto de cálcio e agitação magnética, colocou-se 3,9ml(3,64g;0,04 mol), de 3-cloro-2-metilpropeno e 3,8g(0,04) de tiouréia em 3ml de água-aqueceu-se a refluxo por 30 minutos. A mistura tornou-se homogênea, adicionou-se lentamente 5ml de solução 10N de hidróxido de sódio, deixou-se agitando sob refluxo por 10-

minutos. Destilou-se à pressão atmosférica, obtendo-se - 2,89g(51%) de dissulfeto de metalila.

r.m.n. de  $^1\text{H}$ :  $\delta$  ( $\text{CCl}_4$ ), 4,76(4H,m, $(\text{H}_2\text{C}=)_2$ ), 2,95(4H,sl, $(\text{CH}_2-\text{S})_2$ ), 1,83(6H,m, $(\text{CH}_3)_2$ ) ppm.

2<sup>a</sup> tentativa: Em balão provido de condensador - de refluxo e agitação magnética, colocou-se 2,0ml(1,85g;0,02 mol) de 3-cloro-2-metilpropeno e 1,9g(0,02 mol) de tiouréia em 2ml de água, aqueceu-se a refluxo por 30 minutos, - adicionou-se lentamente 2,5ml de solução 10N de hidróxido-de sódio, deixou-se agitando por 10 minutos. Destilou-se sob atmosfera de nitrogênio, livre de oxigênio, obtendo-se 1,13g(64%) de 3-tiol-2-metilpropeno, p.e. 92-94°C (lit.<sup>194</sup>-93,5°C).

r.m.n. de  $^1\text{H}$ :  $\delta$  ( $\text{CCl}_4$ ), 4,90(1H,m,HC=), 4,76(1H,m,HC=), 3,12(2H,d, $\text{CH}_2$ ), 1,88(3H,sl, $\text{CH}_3$ ), 1,25(1H,t, $\text{SH}$ ) ppm.

i.v.: ( $\text{CCl}_4$ ), 3090( $\nu =\text{C}-\text{H}$ ), 1650( $\nu \text{ C}=\text{C}$ ), 900( $\delta =\text{C}-\text{H}$ )  $\text{cm}^{-1}$ .

r.m.n. de  $^{13}\text{C}$ : ( $\overset{1}{\text{CH}_2}=\overset{2}{\text{C}}(\overset{4}{\text{CH}_3})\overset{3}{\text{CH}_2}\text{SH}$ ),  $\delta$  ( $\text{CHCl}_3$ ), 111,96(C-1), 144,37(C-2), 31,82(C-3), 20,59(C-4) ppm.

### 3-Bromo-2-metilpropeno(10).<sup>190</sup>

Em balão de duas bocas, provido de um condensador de refluxo protegido com tubo de cloreto de cálcio, agitador magnético e funil de adição, colocou-se 4,66ml (4,07;0,05 mol) de 2-metilpropeno -3-ol adicionou-se 1,80ml (5,00g;0,02 mol) de tribrometo de fósforo, ao álcool metilílico gelado e sob agitação, deixou-se em repouso durante a noite. Destilou-se diretamente da mistura de reação, coletando-se uma fração na faixa de 70-90°C. Agitou-se o destilado com carbonato de potássio, redestilou-se à pressão atmosférica, obtendo-se 2,65g(35,8%) 3-bromo-2-metilpropeno, p.e. 91-92°C (lit.<sup>170</sup> 92,5-93°C).

r.m.n. de  $^1\text{H}$ :  $\delta$  ( $\text{CCl}_4$ ), 5,13(1H,m,HC=), 4,93(1H,m,HC=), 3,89(2H,sl, $\text{CH}_2$ ), 1,86(3H,sl, $\text{CH}_3$ ) ppm.

i.v.: (CCl<sub>4</sub>), 3095(ν=C-H), 1650(νC=C), 1215(νCH<sub>2</sub>-Br), - 900-700 (δ=C-H), 615(νC-Br) cm<sup>-1</sup>.

r.m.n. de <sup>13</sup>C: (CH<sub>2</sub>=C(CH<sub>3</sub>)CH<sub>2</sub>Br, δ(CHCl<sub>3</sub>), 115,59(C-1) 141,43(C-2), 38,01(C-3), 20,18(C-4) ppm.

### 3-metóxi-2-metilpropeno (11).<sup>195</sup>

Em balão de tres bocas, provido de condensador - de refluxo, protegido com tubo de cloreto de cálcio, agitador magnético e funil de adição, colocou-se 8ml(7,00g;0,09 mol) de 2-metilpropen -3-ol, introduziu-se 0,6g de sódio metálico limpo em pequenos pedaços. Deixou-se sob refluxo até que todo sódio reagisse. Adicionou-se através do funil de adição 3,5ml(7,98g;0,05 mol) de iodeto de metila, - gota a gota à solução gelada. Após a adição total, aqueceu-se a refluxo por 2 horas. Colocou-se mais alguns pedaços de sódio metálico, deixou-se em repouso durante a noite. Destilou-se diretamente do balão reacional obtendo-se 3,09g(64,3%) de 3-metóxi-2-metilpropeno, p.e. 50-52°C.

r.m.n. de <sup>1</sup>H: δ(CCl<sub>4</sub>), 4,92(1H,m,HC=), 4,86(1H,m,HC=) - 3,75(2H,s,l,CH<sub>2</sub>), 3,26(3H,s,O-CH<sub>3</sub>), 1,70(3H,s,l,CH<sub>3</sub>) ppm.

i.v.: (CCl<sub>4</sub>), 3080(ν=C-H), 1655(νC=C), 1120(νC-O-C), - 910(δ=C-H) cm<sup>-1</sup>.

r.m.n. de <sup>13</sup>C: (CH<sub>2</sub>=C(CH<sub>3</sub>)CH<sub>2</sub>OCH<sub>3</sub>), δ(CHCl<sub>3</sub>), 111,87(C-1) 141,90(C-2), 76,41(C-3), 19,24(C-4), 57,57(C-5) ppm.

### 3-é tóxi-2-metilpropeno(12).<sup>195</sup>

Em balão de tres bocas, provido de condensador - de refluxo, protegido com tubo de cloreto de cálcio, agitador magnético e funil de adição, colocou-se 8 ml(7,00g;0,09 mol) de 2-metilpropen -3-ol, introduziu-se 0,6g de sódio metálico limpo em pequenos pedaços, deixou-se sob refluxo - até que todo sódio reagisse. Adicionou-se através do funil de adição 2,5ml(4,87g;0,03mol) de iodeto de etila, gota a

gota à solução gelada. Após a adição total aqueceu-se a refluxo por duas horas, deixou-se em repouso durante a noite, destilou-se diretamente do balão reacional, redestilou-se obtendo-se 2,02g(67%) de 3-etóxi-2-metilpropeno, p.e. 84 86°C(lit. 170 84,8-86,8°C).

r.m.n. de  $^1\text{H}$ :  $\delta(\text{CCl}_4)$ , 4,93(1H,m,HC=), 4,84(1H,m,HC=), -3,82(2H,sl,CH\_2C=), 3,40(2H,q,O-\underline{\text{CH}\_2}\text{CH}\_3), 1,72(3H,sl,\text{CH}\_3), -1,18(3H,t,O\text{CH}\_2\text{CH}\_3) ppm.

i.v.:  $(\text{CCl}_4)$ , 3080( $\nu =\text{C}-\text{H}$ ), 1650( $\nu \text{C}=\text{C}$ ), 1120( $\nu \text{C}-\text{O}-\text{C}$ ), -900( $\delta =\text{C}-\text{H}$ )  $\text{cm}^{-1}$ .

r.m.n. de  $^{13}\text{C}$ :  $(\text{CH}_2=\overset{1}{\underset{2}{\text{C}}}(\overset{4}{\text{CH}_3})\overset{3}{\text{CH}_2}\overset{5}{\text{OCH}_2}\overset{6}{\text{CH}_3})$ ,  $\delta(\text{CHCl}_3)$ , 111,53-(C-1), 142,23(C-2), 74,40(C-3), 19,40(C-4), 65,23(C-5), -15,09(C-6) ppm.

### metanosulfonato de 2-metil-3-propenila(13)<sup>197</sup>

Em balão de duas bocas, provido de condensador de refluxo, protegido com tubo de cloreto de cálcio, agitação magnética e funil de adição, colocou-se 1ml(0,86g;0,01 mol) de 2-metilpropeno-3-ol, 2,5ml(1,80g) de trietilamina e 2ml de diclorometano, gelou-se a mistura reacional e adicionou-se através do funil de adição 1ml(1,49g;0,01 mol) de cloreto de mesila, agitou-se por 30 minutos, transferiu-se a mistura reacional para funil de separação contendo diclorometano, lavou-se com água gelada, com solução de ácido clorídrico a 5% e com solução saturada de bicarbonato de sódio, secou-se com sulfato de magnésio anidro, evaprou-se em evaporador rotatório, obtendo-se 1,12g(62,4%) de metanosulfonato de 2-metil-3-propenila.

r.m.n. de  $^1\text{H}$ :  $\delta(\text{CCl}_4)$ , 5,15(1H,m,HC=), 5,07(1H,m,HC=), 4,60(2H,sl,CH\_2), 2,98(3H,s,\text{OSO}\_2\text{CH}\_3), 1,86(3H,sl,\text{CH}\_3) ppm.

i.v.:  $(\text{CCl}_4)$ , 3080( $\nu =\text{C}-\text{H}$ ), 1660( $\nu \text{C}=\text{C}$ ), 1370( $\nu_{\text{ass.}} \text{S(O)}_2$ ), 1180( $\nu_{\text{sim}} \text{S(O)}_2$ )  $\text{cm}^{-1}$ .

r.m.n. de  $^{13}\text{C}$ :  $(\text{CH}_2=\overset{1}{\underset{2}{\text{C}}}(\overset{4}{\text{CH}_3})\overset{3}{\text{CH}_2}\overset{5}{\text{OSO}_2}\overset{6}{\text{CH}_3})$ ,  $\delta(\text{CHCl}_3)$ , 115,58-

(C-1), 137,97(C-2), 73,28(C-3), 19,04(C-4), 37,75(C-5) ppm.

3-ciano-2-metilpropeno.<sup>165</sup>

1<sup>a</sup>tentativa: Em balão de tres bocas, provido de condensador de refluxo, protegido com tubo de cloreto de cálcio, funil de adição , termômetro e agitador magnético-colocou-se 1,2g(0,02mol) de cianeto de sódio em 5ml de dimetilsulfóxido previamente seco. Aqueceu-se à 80°C, adicionou-se através do funil de adição, 2ml(1,85g;0,02 mol)-de 3-cloro-2-metilpropeno, a temperatura foi aumentando - para 110°C. Após adição total retirou-se o aquecimento,- deixou-se sob agitação até que a temperatura atingisse 50°C. Filtrou-se, lavou-se com água, extraiu-se com éter, sendo o extrato lavado com solução saturada de cloreto de cálcio : anidro, evaporou-se em evaporador rotatório, obtendo-se - 1,60g(98,7%) de 1-ciano-2-metilpropeno(14).

r.m.n. de <sup>1</sup>H: δ (CCl<sub>4</sub>) , 5,08(1H,m,HC=), 2,8(3H,sl,CH<sub>3</sub>cis), 1,96(3H,d,CH<sub>3</sub>trans) ppm.

i.v.: (CCl<sub>4</sub>) , 3060( ν =C-H), 2220( ν C≡N), 1670( ν C=C), 1440 (δ =CH<sub>2</sub>), 800( ν C-CN) cm<sup>-1</sup>.

r.m.n. de <sup>13</sup>C:(CNCH=CH-CH<sub>3</sub>), δ (CHCl<sub>3</sub>) , 96,72(C-1), 161,36 (C-2), 22,50(C-3,tans aoCN), 25,02(C-4,cis ao CN), 117,20 (C-5) ppm.

2<sup>a</sup> tentativa:<sup>198</sup> Em balão de duas bocas, provido de condensador de refluxo, funil de adição e agitação magnética, colocou-se 3,9g(0,06 mol) de cianeto de potássio e- 0,66g(0,002 mol) do éter de coroa "18-crown-6" em 22ml de - acetonitrila, previamente tratada. Adicionou-se 3ml(2,74g 0,03 mol) de 3-cloro-2-metilpropeno, após a adição total - aqueceu-se à 80°C por uma hora. Gelou-se a mistura reacional, filtrou-se, lavou-se com água, extraiu-se com dicloro metano, secou-se sob sulfato de magnésio anidro, evaporou-se em evaporador rotatório, obtendo-se quantitativamente -

1-ciano-2-metilpropeno.<sup>170</sup>

3ª tentativa: Em balão de duas bocas, provido - de condensador de refluxo, protegido com tubo de cloreto - de cálcio, funil de adição e agitação magnética colocou-se 0,85g(0,01 mol) de cianeto de cobre e 3ml de nitrobenzeno- aqueceu-se à 125°C, adicionou-se através do funil de adi - ção 1,46 ml(1,35g;0,01 mol) de 3-cloro-2-metilpropeno, re - fluxou-se, durante 30 minutos, filtrou-se, destilou-se ,ob - tendo-se o produto de partida.

2,3-dibromo-2-metilpropanol-1 (15).<sup>199</sup>

Em balão de tres bocas, provido de funil de adi - ção, agitador magnético e termômetro, colocou-se 8,5ml ( 7,28g;0,01 mol) de 2-metilpropen -3-ol em 20ml de tetraclo - reto de carbono. Gelou-se a solução à -5°C, gotejou-se - lentamente 5ml(35,16g;0,02 mol) de Bromo, observando que a temperatura não ultrapassasse 0°C. Após a adição total do Bromo, deixou-se à temperatura ambiente com agitação por - 30 minutos, evaporou-se em evaporador rotatório, obtendo - se um óleo alaranjado, 8,23g(35,5%) de 2,3-dibromo-2-metil propanol-1.

r.m.n. de <sup>1</sup>H: δ (CCl<sub>4</sub>) , 4,05(1H,d,HCHBr,J=10Hz) , 3,71(2H,s, CH<sub>2</sub>OH) , 3,70(1H,d,HCHBr, J=10Hz) , 2,16(1H,s,l,OH ) , 1,81(3H, s,CH<sub>3</sub> ) ppm.

p-toluenosulfonato de 2,3-dibromo-2-metilpropenila (16).<sup>200</sup>

Em balão de duas bocas, provido de funil de adi - ção e agitação magnética, colocou-se 3,5g(0,02 mol) de 2,3 dibromo-2-metilpropanol-1 e 0,5g(0,02 mol) de cloreto de - p-toluenossulfonila. Adicionou-se através de funil de adi - ção 2ml de piridina à mistura gelada. Agitou-se durante - 3 horas sob banho de gelo. Adicionou-se ácido clorídrico- diluido, extraiu-se com éter, secou-se sob sulfato de só -

dio anidro, evaporou-se em evaporador rotatório, obtendo - se o produto de partida.

p-toluenossulfonato de 2-metil-3-propenila (17)

1<sup>a</sup> tentativa:<sup>200</sup> Em balão provido de funil de adição e agitação magnética colocou-se 1ml(0,86g;0,01 mol) de 2-metilpropen -3-ol e 2,4g(0,01 mol) de cloreto de p-toluenossulfonila em banho de gelo e sal , adicionou-se gota a-gota através do funil de adição 3,8ml de piridina, manten-do-se a agitação por 3 horas a 0°C. Adicionou-se uma solução à 10% de ácido clorídrico, extraiu-se com éter, secou-se com carbonato de potássio anidro, filtrou-se, evaporou-se em evaporador rotatório, obtendo-se o produto de parti-da.

2<sup>a</sup> tentativa:<sup>201</sup>Em balão provido de agitador magnético, colocou-se 1ml(0,86g;0,01 mol) de 2-metilpropen -3-ol e 3,8ml de piridina, gelou-se a 0°C, colocou-se 2,5g (0,02 mol) de cloreto de p-toluenossulfonila, agitou-se , deixou-se em repouso em refrigerador durante 24 horas, extraiu-se com éter, lavou-se com ácido clorídrico gelado - 1:1 e com água, secou-se sob carbonato de potássio anidro, evaporou-se em evaporador rotatório, obtendo-se o produto- de partida.

## Apêndice

Os métodos semi-empíricos para o cálculo de estrutura eletrônica, fornecem aos químicos subsídios para prever e explicar muitas propriedades físicas, tais como a geometria, a estabilidade de moléculas, etc..

Nas últimas décadas, os cálculos de orbitais moleculares, vem sendo desenvolvidos, surgindo vários métodos, tais como; CNDO(*Complete neglect of differential overlap*), desenvolvido por Pople *et al.*<sup>202</sup> apresenta duas versões CNDO/1<sup>203</sup> e CNDO/2<sup>204</sup>, estes métodos foram os primeiros exemplos de aplicação da teoria de cálculo autoconsistente. Posteriormente surgiu o INDO<sup>205</sup> (*Intermediate neglect of differential overlap*), mais sofisticado que o CNDO.

O MINDO<sup>206,207</sup> (*Modified intermediate neglect of differential overlap*), foi desenvolvido por Dewar, aprimorando os métodos acima, tendo como objetivo reproduzir com mais precisão muitas das propriedades físicas de moléculas determinadas por outros métodos. Reparametrizações foram feitas para este método, resultando MINDO/1, MINDO/2 e MINDO/3.

Mais tarde Dewar, fazendo alguns aprimoramentos no formalismo dos métodos desenvolvidos por Pople, principalmente o INDO<sup>205</sup>, desenvolveu o MNDO<sup>3,4</sup> (*Modified neglect of diatomic overlap*).

O MNDO se mostrou superior ao MINDO, principalmente para sistemas incluindo heteroátomos (O,N), onde o par de elétrons tem grande importância na estrutura eletrônica e assim determina geometria e configuração de moléculas. Por este motivo, este método foi escolhido para o cálculo dos parâmetros físicos dos compostos metalílicos.

O calor de formação, a geometria molecular, potencial de ionização, momento dipolar, densidade eletrônica e carga líquida e energia dos orbitais moleculares foram determinados pelo método MNDO para os compostos metalílicos oxigenados, 2-metilpropeno-2-ol (3), 3-metóxi-2-metilpropeno (11) e 3-etóxi-2-metilpropeno (12).

Os dados listados nas Tabelas à seguir, foram obtidos, após colocar o substituinte (OH, OMe e OEt) em várias posições em relação ao plano molecular, formado pelos carbonos olefínicos, pois o carbono metilênico( $sp^3$ ) que contém o substituinte tem livre rotação, portanto só estão relacionados os dados para a conformação de mais baixa energia.

Nas Figuras 1,2 e 3 deste Apêndice, temos a geometria molecular para os compostos 3, 11 e 12 fornecida pelo cálculo através das coordenadas x,y e z.

Na Tabela 7 estão listadas as energias somente para os orbitais de fronteira.

O computador utilizado foi o VAX-11 /785 da "Digital".

TABELA 1. Dados de carga líquida e densidade eletrônica para o 2-metilpropeno-3-ol(3).

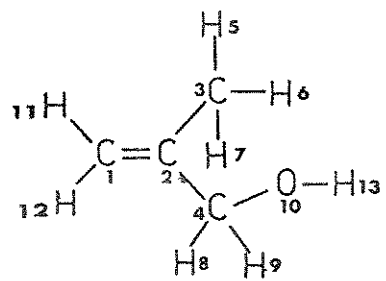
ATOM NO.	CHARGE	DENSITY
1	-0.01402	4.01402
2	-0.19775	4.19775
3	0.03695	3.91315
4	0.44133	3.55367
5	-0.00613	1.00613
6	0.00063	3.93937
7	-0.00461	1.00461
8	-0.07046	1.07046
9	-0.30513	1.30513
10	-0.17121	1.17121
11	0.31445	2.31445
12	0.17122	1.17122
13	0.00000	0.00000

TABELA 2. Dados de carga líquida e densidade eletrônica para os átomos do 3-metóxi-2-metilpropeno (11).

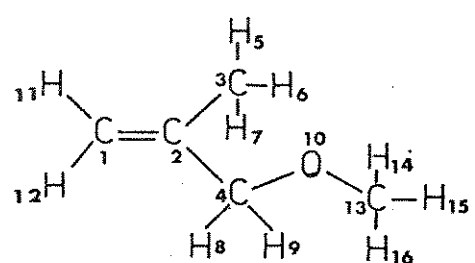
ATOM NO.	CHARGE	DENSITY
1	0.00055	3.99945
2	-0.21251	4.21251
3	0.08233	3.91767
4	0.22969	3.77031
5	-0.00574	1.00574
6	-0.00411	1.00411
7	-0.00648	1.00648
8	-0.01129	1.01129
9	0.01839	0.98161
10	-0.35101	6.35101
11	0.03697	0.96303
12	0.04684	0.95316
13	0.21620	3.78380
14	-0.02463	1.02463
15	0.01078	0.98922
16	-0.02600	1.02600

TABELA 3. Dados de carga líquida e densidade eletrônica para os átomos do 3-etóxi-2-metilpropeno (12).

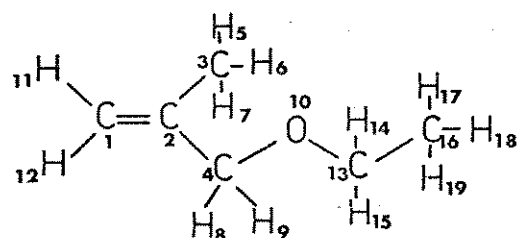
ATOM NO.	CHARGE	DENSITY
1	0.00076	3.99924
2	-0.20588	4.20588
3	0.08222	3.91778
4	0.23362	3.76638
5	-0.00577	1.00577
6	-0.00565	1.00565
7	-0.00659	1.00659
8	-0.01046	1.01046
9	0.01131	0.98869
10	-0.35066	6.35066
11	0.03604	0.96396
12	0.04593	0.95407
13	0.17018	3.82982
14	-0.01142	1.01142
15	0.01730	0.98270
16	-0.00624	4.00624
17	-0.00343	1.00343
18	0.00995	0.99005
19	-0.00120	1.00120



Numeração dos átomos correspondentes a Tabela 1.



Numeração dos átomos correspondentes a Tabela 2.



Numeração dos átomos correspondentes a Tabela 3.

TABELA 4. Dados de calor de formação, potencial de ionização, momento dipolar, comprimento e ângulo das ligações e a geometria molecular do 2-metilpropeno -3-ol (3).

METILPROPENO-3-OH														
HEAT OF FORMATION			IONIZATION POTENTIAL			DIPOLAR MOMENT			COORDINATES					
									ATOM NUMBER	X	Y	Z		
ATOM NUMBER	ATOMIC NUMBER	BOND LENGTH (ANGSTROMS)	BOND ANGLE (DEGREES)	TWIST ANGLE (DEGREES)	L K J I	J	K	L	I	X	Y	Z		
1	9	1.0000	90.000	90.000	1	2	1	2	1	0.00000	0.00000	0.00000		
2	6	1.3500	*	120.003	*	0.000	3	2	3	1.00000	0.00000	1.35000		
3	6	1.5200	*	120.003	*	160.000	*	3	2	4	-0.31632	2.11005	0.00000	
4	6	1.5201	*	109.502	*	0.000	4	3	5	2.31639	2.11010	0.00001		
5	6	1.0600	*	109.502	*	120.000	*	4	3	6	-1.14524	1.40221	0.00000	
6	1	1.0500	*	109.504	*	120.000	*	4	3	7	-0.37463	2.73694	-0.88921	
7	1	1.0500	*	109.502	*	240.000	*	4	3	8	-0.37457	2.73632	0.88983	
8	1	1.3930	*	109.496	*	31.939	*	5	3	9	3.08766	1.52153	0.55951	
9	1	1.1231	*	109.501	*	112.002	*	5	3	10	2.44238	2.63963	0.97894	
10	1	1.1201	*	112.507	*	270.996	*	5	3	11	2.75174	2.35562	-1.29316	
11	1	1.4000	*	112.507	*	0.000	*	4	3	12	0.10462	-0.60392	0.09001	
12	1	1.0500	*	123.579	*	0.000	*	2	3	13	1.89537	-0.60393	-0.00002	
13	1	1.0500	*	124.000	*	0.002	*	2	3	14	2.53613	-2.21677		
14	1	0.9999	*	-0.004	*	0.300	*	11	5					

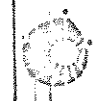


TABELA 5. Dados de calor de formação, potencial de ionização, momento dipolar, comprimento e ângulo das ligações e a geometria molecular do 3-metóxi-2-etilpropeno (11).



METILPROPENO-3-MÉTIL

HEAT OF FORMATION -37.72969 KCAL/MOLE  
 IONIZATION POTENTIAL 10.31424 EV  
 DIPOLE MOMENT 1.11473 DEBYE

ATOM NUMBER I	ATOMIC NUMBER	BOND LENGTH (ANGSTROMS)	BOND ANGLE (DEGREES)			TWIST ANGLE (DEGREES)			ATOM NUMBER J	K	L	COORDINATES		
			K	J	I	L	K	J				X	Y	Z
1	99	1.0000	90.000						1			0.00000	0.00000	0.00000
2	6	1.3480 *	121.803 *	0.000		2	2	1	2			1.00000	0.00000	0.00000
3	6	1.5073 *	121.545 *	177.335 *	3	2	1	3	3			1.00000	1.34798	0.00000
4	6	1.5303 *	121.545 *	177.335 *	3	2	1	4	4			-0.29097	2.14233	0.00000
5	6	1.1093 *	112.418 *	-8.247 *	4	3	2	5	5			-0.30271	2.14857	-0.06065
6	1	1.1093 *	112.418 *	-8.247 *	4	3	2	6	6			-1.17531	1.50280	0.14710
7	1	1.1108 *	110.726 *	111.694 *	4	3	2	7	7			-0.41268	2.67588	-0.96534
8	1	1.1102 *	111.462 *	231.744 *	4	3	2	8	8			-0.28869	2.89998	-0.81144
9	1	1.1220 *	110.554 *	195.659 *	5	3	2	9	9			3.24564	-0.15430	
10	1	1.1228 *	108.917 *	301.348 *	5	3	2	10	10			2.85918	-0.86810	-0.99462
11	8	1.4026 *	113.890 *	59.363 *	5	3	2	11	11			1.68879	1.00315	1.00315
12	4	1.0900 *	123.416 *	0.940 *	2	3	4	12	12			0.60030	0.01493	0.01493
13	1	1.0895 *	123.907 *	-1.673 *	2	3	5	13	13			-0.60777	-0.01566	
14	6	1.3956 *	121.019 *	80.764 *	11	5	3	14	14			2.49562	2.24706	
15	1	1.1177 *	112.697 *	-66.981 *	14	11	5	15	15			2.07156	2.15119	2.76527
16	1	1.1163 *	107.111 *	176.291 *	14	11	5	16	16			3.87512	2.21244	2.87967
17	1	1.1162 *	112.650 *	55.397 *	14	11	5	17	17			2.96228	3.61147	2.18445

TABELA 6. Dados de calor de formação, potencial de ionização, momento dipolar, comprimento e ângulo das ligações e a geometria molecular do 3-etóxi-2-metilpropeno (12).



UNICAMP  
4ETILPROPENO-C-ETIL

HEAT OF FORMATION -41.84224 KCAL/MOLE  
 IONIZATION POTENTIAL 9.96492 EV  
 DIPOLE MOMENT 1.08295 DEBYE

ATOM NUMBER	ATOMIC NUMBER	BOND LENGTH (ANGSTROMS)	TWIST ANGLE (DEGREES)			ATOM NUMBER	ATOM NUMBER	COORDINATES
			K	J	I			
1	93	1.0000				1	1	0.00000
2	6	1.3474 *	90.000			2	2	1.00000
3	6	1.5080 *	121.724 *	0.000		3	2	-0.28266
4	6	1.5303 *	121.424 *	177.756 *		4	1	2.14036
5	6	1.1094 *	112.450 *	-6.104 *		5	2	2.30525
6	1	1.1094 *	110.922 *	113.650 *		6	2	-2.14552
7	1	1.1105 *	111.234 *	233.608 *		7	6	-1.17909
8	1	1.1103 *	110.541 *	192.939 *		8	3	1.49596
9	1	1.1207 *	109.038 *	308.337 *		9	2	-0.40116
10	1	1.1230 *	112.364 *	66.203 *		10	9	2.70283
11	6	1.4036 *	112.129 *	1.422 *		11	2	-0.30182
12	1	1.0902 *	123.985 *	-1.083 *		12	8	2.87406
13	1	1.0894 *	122.223 *	97.330 *		13	5	-0.22331
14	6	1.4603 *	112.1216 *	-4.2.105 *		14	3	1.77462
15	1	1.1229 *	105.654 *	202.609 *		15	2	-0.90886
16	1	1.5428 *	114.270 *	82.302 *		16	11	1.97699
17	6	1.1096 *	112.520 *	-69.347 *		17	11	2.10726
18	1	1.1082 *	111.995 *	52.345 *		18	19	-0.59843
19	1	1.1094 *	109.053 *	171.686 *		19	11	0.02262
20	1					20	20	-0.60893

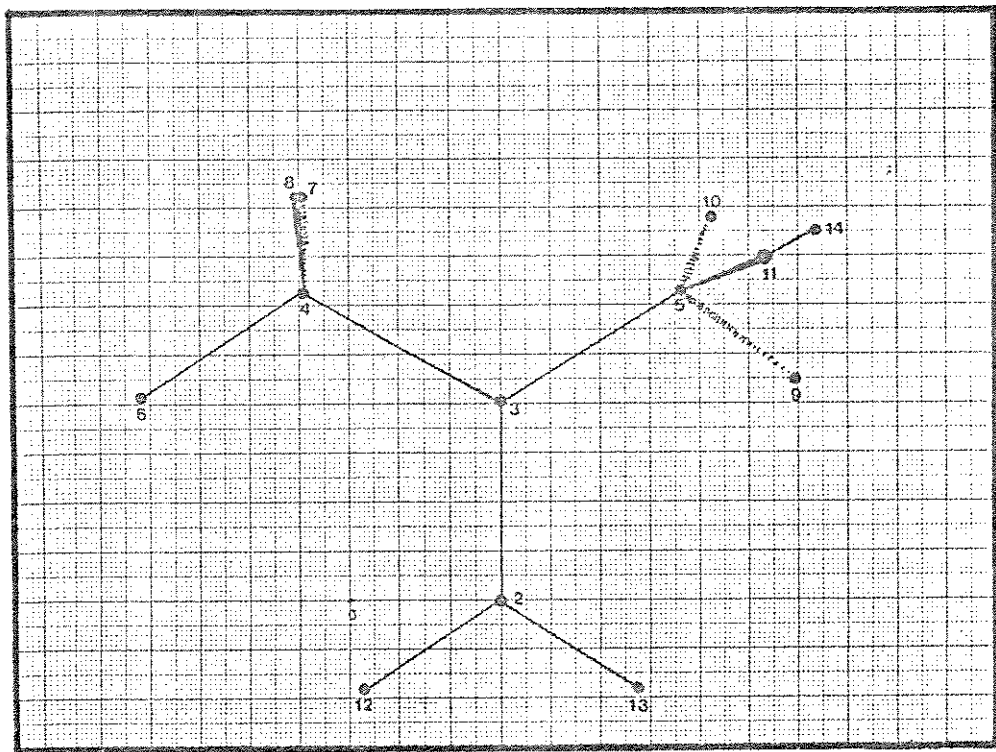


Figura 1. Geometria molecular obtida para o 2-metilpropeno - 3-ol, à partir dos dados das coordenadas x, y e z da Tabela 4.

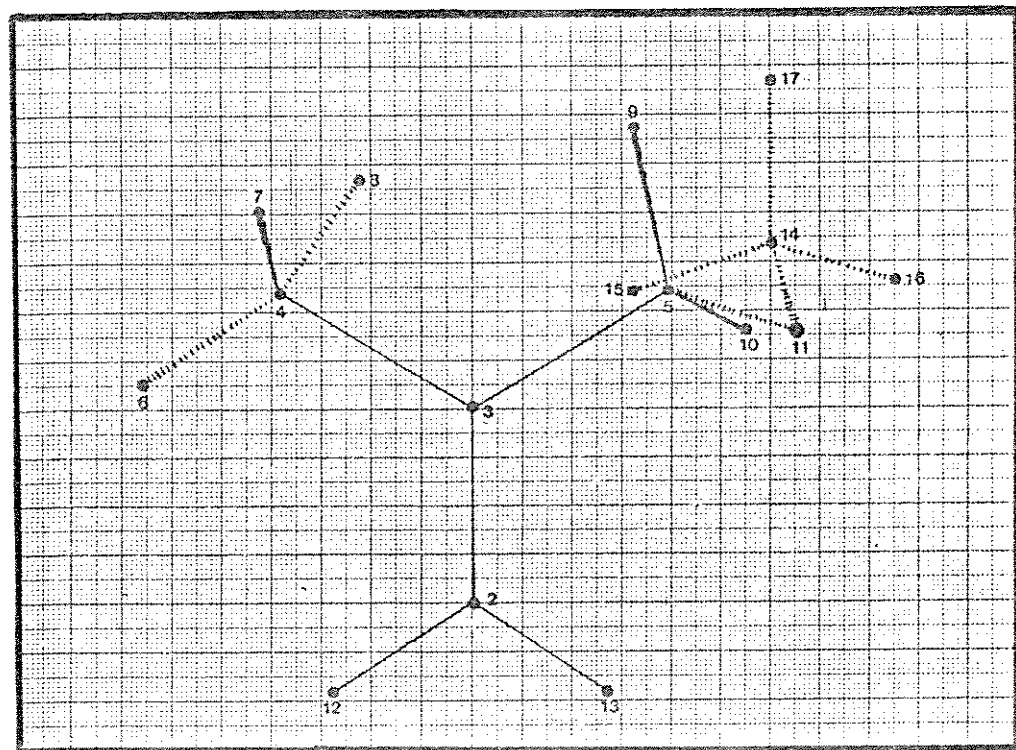


Figura 2. Geometria molecular obtida para o 3-metóxi-2-metil propeno, à partir dos dados das coordenadas x, y e z da Tabela 5.

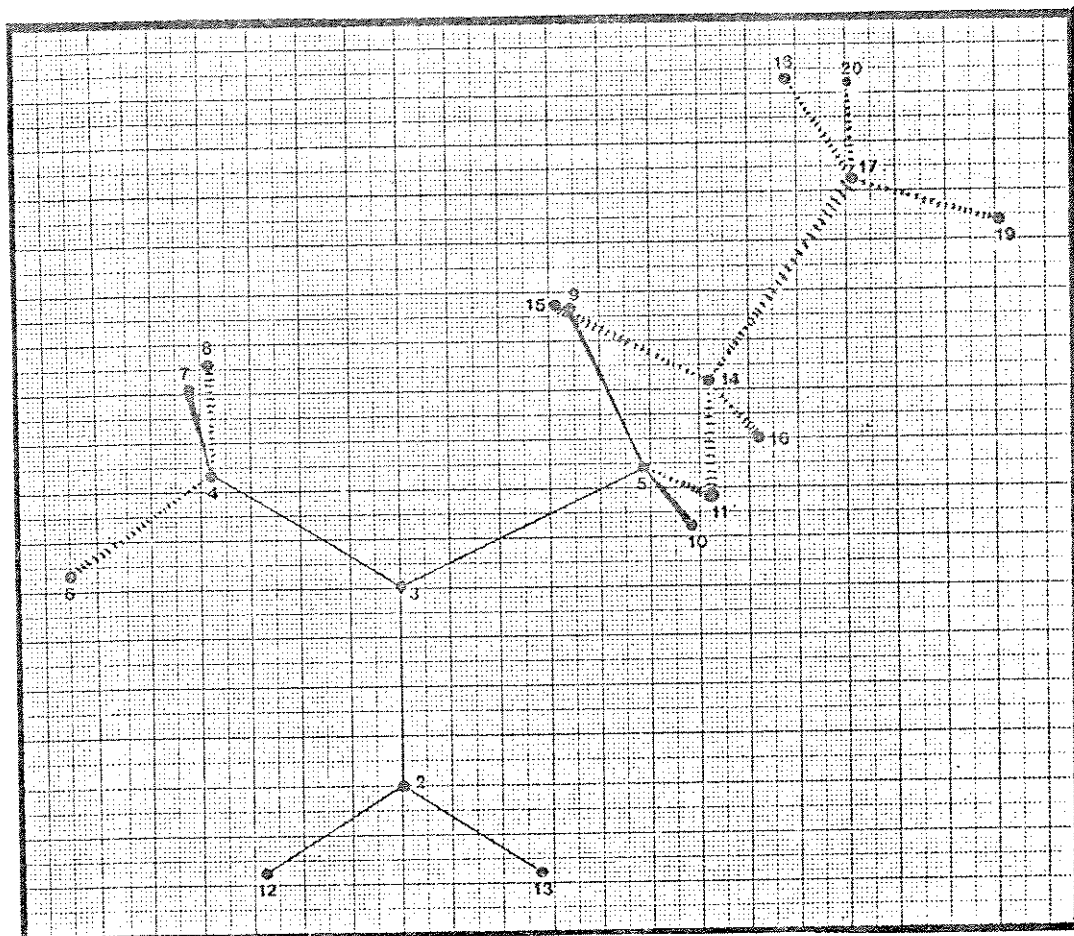
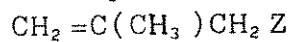


Figura 3. Geometria molecular obtida para o 3-etóxi-2-metilpropeno, à partir dos dados das coordenadas  $x$ ,  $y$  e  $z$  da Tabela 6.

TABELA 7. Energia dos orbitais moleculares de fronteira em eV, para os compostos metalílicos.



Z	HOMO	LUMO
OH	-9,86716	0,94649
OMe	-10,01424	0,83975
OEt	-9,96402	0,90439

**Referências  
Bibliográficas**

## REFERÊNCIAS BIBLIOGRÁFICAS

1. DE WOLFE,R.H.; YOUNG,W.G.. "The Chemistry of Alkenes" , 2<sup>a</sup> ed. S.Patai (Ed), Interscience Publishers Inc., New York, 681-738, 1972.
2. RITTNER,R.. Tese de Livre Docência, UNICAMP, Campinas , São Paulo, 1983.
3. DEWAR,M.J.S.; THIEL,W.. *J.Am.Chem.Soc.* 99, 4899 (1977).
4. DEWAR,M.J.S.; THIEL,W.. *J.Am.Chem.Soc.* 99, 4907 (1977).
5. STREITWIESER,A.; HÉATHCOCK,H.C.."Introduction to Organic Chemistry", 2<sup>a</sup>ed., Mcmillan, New York, 1981.
6. TEDDER,J.M.; NECHVATAL,A.M.. "Pictorial Orbital Theory" London, 1985.
7. JORGENSEN,W.J.; SALEN,L.. "The Organic Chemist's Book of Orbitals", Academic, New York, 1973.
8. HIRSCH,J.A.."Concepts in Theoretical Organic Chemistry" 2<sup>a</sup>ed., Allyn e Bacon Inc. , Boston, 1975.
9. POTAPOV,V.M.. "Stereochemistry", MIR, Moscou, 1979.
10. KARABATSOS,G.J.; FENOGLIO,D.J.. *Top. Stereochem.* 5, 167 (1970).
11. BORDWELL,F.G.; SOKOL,P.E.; SPAINHOUR,J.D.. *J.Am.Chem.Soc.* 82, 2881 (1960).
12. STREITWIESER,A.; *Chem.Rev.* 56, 585 (1956).
13. YOUNG,W.G.; WEBB,I.D.; GOERING,H.L.. *J.Am.Chem.Soc.* 82, 2811 (1960).
14. DE LA MARE,P.B.D.; VERNON,C.A.. *J.Chem.Soc.* 3325 (1952).
15. DE LA MARE,P.B.D.; VERNON,C.A.. *J.Chem.Soc.* 3555 (1953)
16. PURCELL,E.M.; TORREY,H.C.; POUD,R.V.. *Phys.Rev.* 69, 37- (1946).
17. BLOCH,F.; HANSEN,W.W.; PACKARD,M.E.. *Phys.Rev.* 69, 127- (1946).

18. JACKMAN,L.M.; STERNHELL,S.. "Aplications of Nuclear Magnetic Resonance Spectroscopy in Organic Chemistry", - 2<sup>nd</sup>ed., Pergamon Press, Braunschweig, 1969.
19. STOTHERS,J.B.. "Carbon-13 NMR Spectroscopy", Academic - Press, New York, 1972.
20. POPLE,J.A.; BERNSTEIN,H.J.; SCHNEIDER, W.G.. "High Resolution NMR", Mc Graw-Hill, New York, 1959.
21. LYNDEN-BELL,R.M.; HARRIS,R.K.. "Nuclear Magnetic Resonance Spectroscopy", 2<sup>nd</sup>ed., Alan Carrington, University of Southampton, 1971.
22. GUNTER,H.. "NMR Spectroscopy, An Introduction", 2<sup>nd</sup>ed., John Wiley & Sons, New York, 1980.
23. CARRINGTON,A.; McLACHLAN,D.A.. "Introduction to Magnetic Resonance", 2<sup>nd</sup>ed., Chapman and Hall, New York, 1980.
24. MARTIN,M.L.; MARTIN,G.J.; DELPUECH,J.J.. "Pratical NMR-Spectroscopy", Heyden & Son Ltd., London, 1980.
25. LOFTUS,P.; ABRAHAM,R.J.. "Proton and Carbon-13 NMR Spectroscopy", Heyden & Son Ltd, London, 1979.
26. GRINTER,R.. *Chem.Soc., Specialist Periodical Report*, - London, Vol.1 (1972), Vol.2(1973), Vol.3(1974), Vol.4 (1975).
27. BISHOP,E.O.; RICHARDS,R.E.. *Mol. Phys.* 3, 114 (1960).
28. JACKMAN,L.M.; WILEY,R.H.. *J.Chem.Soc.* 2881 (1960).
29. BANWELL,C.N.; SHEPPARD,N.. *Mol.Phys.* 3, 351 (1960).
30. DAILEY,B.P.; SHOOLERY,J.N.. *J.Am.Chem.Soc.* 77, 3977 (1955).
31. WHIPPLE,E.B.; GOLDSTEIN,J.H.; MC CLURE,G.R.. *J.Am.Chem.Soc.* 82, 3811 (1960).
32. WHIPPLE,E.B.; GOLDSTEIN,J.H.; MANDELL,L.. *J.Am.Chem.Soc.* 82, 3010 (1960).
33. TAFT,R.W.. *J.Am.Chem.Soc.* 79, 1045 (1957).
34. REDDY,G.S.; BOOZER,C.E.; GOLDSTEIN,J.H.. *J.Chem.Phys.* - 34, 700 (1961).

35. BOTHER-BY, A.A.; NAAR-COLIN, C.. *J. Am. Chem. Soc.* 83, 231 - (1961).
36. REDDY, G.S.; GOLDSTEIN, J.H.. *J. Am. Chem. Soc.* 83, 2045 - (1961).
37. KASIWAGI, H.; NIWA, J.. *Bull. Chem. Soc. Jpn.* 36, 405 (1963).
38. BHACCA, N.S.; WILLIAMS, D.H.. "Aplications of NMR Spectros<sub>copy</sub> in Organic Chemistry", 2<sup>nd</sup>ed., Holden-Day Inc., San Francisco, California, 1966.
39. MATTER, U.E.; PASCUAL, C.; PRETSCH, E.; PROSS, A.; SIMON, W.; STERNHELL, S.. *Tetrahedron*. 25, 691 (1969).
40. MATTER, U.E.; PASCUAL, C.; PRETSCH, E.; SIMON, W.; STERNHELL, S.. *Tetrahedron*. 25, 2023 (1969).
41. FUKUMI, T.; ARATA, Y.; FUJIWARA, S.. *J. Mol. Spectrosc.* 27, - 443 (1968).
42. ANET, F.A.L.; BOURN, A.J.R.; CARTER, P.; WINSTEIN, S.. *J. Am. Chem. Soc.* 87, 5250 (1965).
43. SCHILLING, G.; KLOSTERHALFEN, B.. *Org. Magn. Reson.* 12, 605 (1979).
44. COCKERILL, A.F.; DAVIES, G.L.O.; HARDEN, R.C.; RACKHAM, D.M. *Chem. Rev.* 73, 553 (1973).
45. HOFER, O.. *Top. Stereochem.* 9, 111 (1976).
46. OVERHAUSER, A.W.. *Phys. Rev.* 92, 411 (1953).
47. SOLOMON, I.; BLOEMBERGEN, N.. *J. Chem. Phys.* 25, 261 (1956).
48. BELL, R.A.; SAUNDERS, J.K.. *Can. J. Chem.* 48, 1114 (1970).
49. SCHIRMER, R.E.; NOGGLE, J.H.; DAVIS, S.P.; HART, P.A.. *J. Am. Chem. Soc.* 92, 7329 (1970).
50. KENNEWELL, P.D.. *J. Chem. Educ.* 47, 278 (1970).
51. BACHERS, G.C.; SHAEFER, T.. *Chem. Rev.* 71, 617 (1971).
52. BOVEY, F.A.. "Nuclear Magnetic Resonance Spectroscopy", Academic Press, New York, 1969.
53. VAN ANTWERP, C.L.; *J. Chem. Educ.* 50, 638 (1973).

54. JOSEPH, H.N.; ROGER, E.S.. "The Nuclear Overhauser Effect"  
Academic Press, New York, 1971.
55. BELL, R.A.; SAUNDERS, J.K.. *Can. J. Chem.* 48, 114 (1970).
56. HINCKLEY, C.C.. *J. Am. Chem. Soc.* 91, 5160 (1969).
57. BRIGGS, J.; FROST, G.H.; HART, F.A.; MOSS, G.P.; G.P.; STANIFORTH, M.L.. *Chem. Commun.* 749 (1970).
58. CRUMP, D.R.; SANDERS, J.K.M.; WILLIAMS, D.H.. *Tetrahedron Lett.* 4419 (1970).
59. SANDERS, J.K.M.; WILLIAMS, D.H.. *Chem. Commun.* 422 (1970).
60. RONDEAU, R.E.; SIEVERS, R.E.. *J. Am. Chem. Soc.* 93, 1525 (1971).
61. SANDERS, J.K.M.; WILLIAMS, D.H.. *J. Am. Chem. Soc.* 93, 641 - (1971).
62. HORROCKS, W.D.; SIPE, J.P.. *J. Am. Chem. Soc.* 93, 6800 (1971).
63. BURGETT, C.A.; WARNER, P.. *J. Magn. Reson.* 8, 87 (1972).
64. MORRIL, T.C.; CLARCK, R.A.; BILOBRAN, D.; YONGS, D.S.. *Tetrahedron Lett.* 397 (1975).
65. HART, H.; LOVE, G.M.. *Tetrahedron Lett.* 625 (1971).
66. SBRANDT, L.R.; ROGERS, M.T.. *Chem. Commun.* 1378 (1971).
67. TOMIC, L.; MAJERSKI, Z.; TOMIC, M.; SUNKA, D.E.. *Chem. Commun.* 719 (1971).
68. MAYO, B.C.. *Chem. Soc. Rev.* 2, 49 (1973).
69. McCONNEL, H.M.; ROBERTSON, R.E.. *J. Chem. Phys.* 29, 1361 (1958).
70. AP SIMON, J.W.; BEIERBECK, H.; FRUCHIERA, A.. *Can. J. Chem.* 50, 2725 (1972).
71. AP SIMON, J.W.; BEIERBECK, H.. *J. Chem. Soc. Chem. Commun.*, 172 (1972).
72. ARMITAGE, I.; HALL, L.D.. *Can. J. Chem.*, 49, 2770 (1971).
73. HINCKLEY, C.C.; KLOTZ, M.R.; PATIL, F.. *J. Am. Chem. Soc.* 93, - 2417 (1971).

74. GROTONS, A.M.; SMID, J.; BOER, E.. *J. Magn. Reson.*, 6, 612- (1972).
75. EVANS, D.F.; TUCKER, J.N.; De VILLARDI, G.C.. *J. Chem. Soc. Chem. Commun.*, 205 (1975).
76. WENZEL, T.J.; SIEVERS, R.E.. *Anal. Chem.*, 53, 393 (1981).
77. WENZEL, T.J.; LALONDRE Jr, D.R.. *J. Org. Chem.*, 48 (1951).
78. WENZEL, T.J.; SIEVERS, R.E.. *J. Am. Chem. Soc.*, 104, 382 - (1982).
79. SHAPIRO, B.L.; KAPCHIK, R.M.; EBERSOLE, S.J.. *J. Chem. Phys.*, 39, 3154 (1963).
80. HRUSKA, F.; KOTOWYCZ, G.; SHAEFER, T.. *Can. J. Chem.*, 43, 2827 (1965).
81. SHAEFER, T.. *Can. J. Chem.*, 40, 1 (1962).
82. MULLER, J.C.. *Bull. Soc. Chim. Fr.*, 1815 (1964).
83. FEENEY, J.; LEDWITH; SUTCLIFFE.. *J. Chem. Soc.*, 201 (1962).
84. SCHAEFER, T.; HUTTON, H.M.. *Can. J. Chem.*, 45, 3153 (1967).
85. POPLE, J.A.; BOTHNER-BY, A.A.. *J. Chem. Phys.*, 42, 1339 - (1965).
86. BARBIER, C.; LEVY, B.; MILLIÈ, P.. *Chem. Phys. Lett.*, 17, 122 (1972).
87. KNORR, R.. *Tetrahedron.*, 37, 929 (1981).
88. STERNHELL, S.. *Rev. Pure Appl. Sci.*, 14, 15 (1964).
89. BARFIELD, M.. *J. Chem. Phys.*, 41, 3825 (1964).
90. BARFIELD, M.. *J. Chem. Phys.*, 48, 4463 (1968).
91. RASSAT, A.; JEFFORD, C.W.; LEHN, J.M.; WAEGELL .. *Tetrahedron Lett.*, 233 (1964).
92. ROTTENDORF, H.; STERNHELL, S.; WILMSHURST, J.R.. *Aust. J. Chem.* 18, 1759 (1965).
93. BARFIELD, M.; SPEAR, R.J.; STERNHELL, S.. *Chem. Rev.*, 76, 593 (1976).

94. BARFIELD, M.. *J.Am.Chem.Soc.*, 93, 1066 (1971).
95. BARFIELD, M.; DEAN, A.M.; FALLICK, C.J.; SPEAR, R.J.; STERNHELL, S.; WESTWRMAN, P.W.. *J.Am.Chem.Soc.*, 97, 1482 (1975).
96. SPEAR, R.J.; STERNHELL, S.. *Tetrahedron Lett.*, 1487 (1973).
97. STERNHELL, S.. *Quart. Rev.*, 23, 236 (1969).
98. GARBISCH, E.W.. *J.Am.Chem.Soc.*, 86, 5561 (1964).
99. BARFIELD, M.; CHAKRABARTI, B.. *Chem.Rev.*, 69, 757 (1969).
100. KOWALEWSKY, D.G.. *J.Magn.Reson.*, 4, 249 (1971).
101. CURRY, E.R.; SARDELLA, D.J.. *J.Am.Chem.Soc.*, 96, 1822 - (1974).
102. BOTHNER-BY, A.A.; COLIN, N.; GUNTHER, H.. *J.Am.Chem.Soc.*, 84, 2748 (1962).
103. SAVER, J.; PRAHL, H.. *Tetrahedron Lett.*, 2863 (1966).
104. VIDAL, M.; DUMONT, C.; ARNAUD, P.. *Tetrahedron Lett.*, 5081 (1966).
105. KARPLUS, M.. *J.Chem.Phys.*, 33, 1842 (1960).
106. HOLM, C.H.. *J.Chem.Phys.*, 26, 707 (1957).
107. LAUTERBUR, P.C.. *J.Chem.Phys.*, 26, 217 (1957).
108. FRIEDEL, R.A.; RETCOFSKY, H.L.. *J.Am.Chem.Soc.*, 85, 1300 (1963).
109. MACIEL, G.E.. *J.Chem.Phys.*, 69, 1947 (1965).
110. MIYAJIMA, G.; TAKAHASKI; NISHIMOTO, K.. *Org.Magn.Reson.*, 6, 413 (1974).
111. COUPERUS, P.A.; CLAUGUE, A.D.H.; VAN DONGEN, J.P.C.M.. - *Org. Magn.Reson.*, 8, 426 (1976).
112. SCHWARZ, R.M.; RABJOHN, N.. *Org.Magn.Reson.*, 13, 9 (1980).
113. AZARRO, M.; GAL, J.F.; GÉRIBALDI, S.; KREMER, N.N.. *Org.Magn. Reson.*, 9, 181 (1977).

114. INAMOTO,N.;MASUDA,S.; TORI,K.; NISHIKAWA,J.. *Tetrahedron Lett.*, 24, 5265 (1983).
115. YONEMOTO,T.. *J.Magn.Reson.*, 13, 153 (1974).
116. SHAPIRO,M.J.. *J.Org.Chem.*, 41, 3197 (1976).
117. WEHRLI,F.W.; WIRTHIN,T.. "Interpretation of Carbon-13 - NMR Spectra" 2<sup>nd</sup>ed., Heyden & Son Ltd., London, 1978.
118. MULLER,N.; PRITCHARD,D.E.. *J.Chem.Phys.*, 31, 768 (1959).
119. SHOOLERY,J.N.. *J.Chem.Phys.*, 31, 1427 (1959).
120. DUIJNEVELDT,F.B.; GIL,V.M.S.; MURREL,J.N.. *Theor.Chim.-Acta.*, 4, 85 (1966).
121. GRANT,D.M.; LITCHMAN,W.M.. *J.Am.Chem.Soc.*, 87, 3394 (1965).
122. NEWTON,M.D.; SCHULMAM,J.M.; MANUS,M.M.. *J.Am.Chem.Soc.*- 96, 17 (1974).
123. LASZLO,P.; SHLEYER,P.R.. *J.Am.Chem.Soc.*, 85, 2017 (1963).
124. DUBS,R.V.; VON PHILIPSBORN,W.. *Org.Magn.Reson.*, 12, 326 (1979).
125. NICHOLAS,P.P.; CARMAN,C.J.; TARPLEY,A.R.; GOLDSTEIN,J.H. *J.Phys.Chem.*, 76, 2877 (1972).
126. VOGELI,U.; HERZ, D.; VON PHILIPSBORN, W.. *Org.Magn.Reson.* 13, 200 (1980).
127. GOLDSTEIN,J.H.; WATTS,V.S.; RATTET,L.S.. *Prog.Nucl.Magn. Reson.Spectrosc.*, 8, 197 (1971).
128. HARRIS,R.K.. *Nucl.Magn.Reson. Specialist Periodical Report*, Chem. Soc., London , Vol. 1-8.
129. EWING,D.F.. *Annu.Rep. NMR Spectrosc.* ,E.F. Mooney(Ed),- Academic Press, London, Vol.7, 1975.
130. WEIGERT,F.J.; ROBERTS,J.D.. *J.Phys.Chem.*, 73, 449 (1969).
131. ANDERSON,J.E.. *Tetrahedron Lett.*, 46, 4079 (1975).
132. KINGSBURY,C.A.; DRANEY,D.; SPOCHIK,A.; WILLIAM,R.; DURHAM,D.. *J.Org.Chem.*, 41, 3863 (1976).

133. AYRAS, P.. *Org. Magn. Reson.*, 9, 663 (1977).
134. VOGELI, U.; VON PHILIPSBORN, W.. *Org. Magn. Reson.*, 7, 617 (1975).
135. NELSON, G.L.; WILLIAMS, E.A.. *Prog. Phys. Org. Chem.*, 12, 229 (1976).
136. BARBARELLA, G.; DEMBECH, P.; GARBESI, A.; FAVA, A.. *Org. Magn. Reson.*, 8, 108 (1976).
137. RITTNER, R.. *Quim. Nova*, 8, 170 (1985).
138. GRANT, D.M.; CHENEY, B.V.. *J. Am. Chem. Soc.*, 89, 5315 (1967).
139. CHENEY, B.V.; GRANT, D.M.. *J. Am. Chem. Soc.*, 89, 5319 (1967).
140. WILSON, N.K.; STOTHERS, J.B.. *Top. Stereochem.*, 8, 1 (1974).
141. ELIEL, E.L.; GRANT, D.M. e col.. *J. Am. Chem. Soc.*, 97, 322 (1975).
142. DORMAN, D.E.; JAUTELAT, M.; ROBERTS, J.D.. *J. Org. Chem.*, 36, 2757 (1971).
143. SAVITSKY, G.B.; PEARSON, R.M.; NAMIKAWA, K.. *J. Phys. Chem.*, 69, 1425 (1965).
144. BROUWER, H.; STOTHERS, J.B.. *Can. J. Chem.*, 50, 1361 (1972).
145. MATIN, G.J.; MARTIN, M.L.. *Org. Magn. Reson.*, 7, 2 (1975).
146. BARFIELD, M.; GOTOH, T.; HALL, H.K.. *Magn. Reson. Chem.*, 23, 705 (1985).
147. MALINOWSKI, E.R.; VLADIMIROFF, T.; TAVARES, R.F.. *J. Phys. Chem.*, 70, 2046 (1966).
148. VLADIMIROFF, T.; MALINOWSKI, E.R.. *J. Chem. Phys.*, 46, 1830 (1967).
149. GRANT, D.M.; PAUL, E.G.. *J. Am. Chem. Soc.*, 86, 2984 (1964).
150. LINDERMAN, L.P.; ADAMS, J.Q.. *Anal. Chem.*, 43, 1245 (1971).
151. KONNO, C.; HIKINO, H.. *Tetrahedron*, 32, 325 (1976).
152. LITCHMAN, W.M.; GRANT, D.M.. *J. Am. Chem. Soc.*, 90, 1400 - (1968).

153. EGGERT, H.; DJERASSI, C.. *J. Am. Chem. Soc.*, 95, 3710 (1973).
154. BEIERBECK, H.; SAUNDERS, J.K.. *Can. J. Chem.*, 55, 2813 - (1977).
155. BUCCI, P.. *J. Am. Chem. Soc.*, 90, 252 (1968).
156. WERNER, LARK.. *J. Chem. Soc.*, 1152 (1954).
157. SHEPPARD, SIMPSON., *Quart. Rev.*, 6, 1 (1952).
158. BELLAMY, L.J.. "The Infra-red Spectra of Complex Molecules", 3<sup>rd</sup>ed., John Wiley & Sons, New York, 1975.
159. THOMPSON, TORKINGTON., *Trans. Faraday Soc.*, 42, 432 (1946).
160. SHEPPARD, SUTHERLAND., *J. Chem. Soc.*, 1540 (1947).
161. McLACHLAN, R.D.; QUIST, R.A.N.. *Spectrochim. Acta.*, 27A, - 103 (1968).
162. VERMA, A.L. . *J. Mol. Spectrosc.*, 39, 247 (1971).
163. SOSTRY, K.V.; MRAO, V.; DASS, S.C.. *Can. J. Phys.*, 46, 959 - (1968).
164. PENTIN, A.Y.; MOROZOV, E.V.. *Opt. Spektrosk.*, 20, 357 - (1966).
165. DIALLO, A.O.. *Spectrochim. Acta Part.A.*, 35, 1189 (1979).
166. DIALLO, A.O.. *Spectrochim. Acta Part.A.*, 36, 799 (1980).
167. CAREY, F.A.; SUNDBERG, R.J.. "Advanced Organic Chemistry" Part. A e B, 2<sup>nd</sup>ed., Plenum Press, New York, 1985.
168. NORTHAM, F.; OLIVER, J.; CROWDER, G.A.. *J. Mol. Spectrosc.*, 25, 436 (1968).
169. CANCELL, J.; HIDALGO, A.; MELENDEZ, E.. *C.R. Acad. Sci. Ser. B*, t. 265, 918 (1967).
170. TAMELE, M.; OTT, C.J.; MARPLE, K.E.; HEARNE, G.. *Ind. Eng. - Chem.*, 33, 115 (1941).
171. BREWSTER, J.H.. *J. Am. Chem. Soc.*, 73, 366 (1951).
172. LETSINGER, R.L.; TRAYNHAM, J.G.. *J. Am. Chem. Soc.*, 70, 2818 (1948).

173. DOCKX, J.. *Synthesis*, 441 (1973).
174. PITTMAN, C.U.; UEDA, M.; IRI, K.; IMAI, Y.. *Macromolecules*, 13, 1031 (1980).
175. CIANELLI, G.; MANESCALCHI, F.. *Synthesis*, 472 (1976).
176. SPIESECKE, H.; SCHNEIDER, W.G.. *J. Chem. Phys.*, 35, 722 - (1961).
177. CONTRERAS, R.H.; FACELLI, J.C.; KOWALEWSKI, D.G.. *Org. Magn. Reson.*, 20, 40 (1982).
178. CORREL, Programa da Biblioteca de usuários NICOLET.
179. FERRITI, J.A.; HARRIS, R.K.; JOHANNEN, R.B.. *J. Magn. Reson.*, 3, 84 (1970).
180. RUMMENS, F.h.A.; HAAN, J.W.. *Org. Magn. Reson.*, 2, 351 (1970).
181. MIYAJIMA, G.; KICHISUKE, N.. *Org. Magn. Reson.*, 6, 313 (1974).
182. DELSETH, C.; KINITZINGER, J.P.. *Helv. Chim. Acta*, 61, 1327 (1978).
183. BREITMAIER, E.; VOELTER, W.. "<sup>13</sup>C NMR Spectroscopy, Methods and Applications in Organic Chemistry", 2<sup>a</sup>ed., Verlag Chemie, Weinheim, 1978.
184. CHARTON, M.. *Prog. Phys. Org. Chem.*, 13, 119 (1981).
185. HANSCH, C.; LEO, A.. "Substituent Constants for Correlation Analysis in Chemistry and Biology", Wiley Interscience, New York, 1979.
186. MARTINS, M.A.P.. Tese de Doutoramento, USP, São Paulo, - 1982.
187. ALLRED, A.I.. *J. Inorg. Nucl. Chem.*, 17, 215 (1961).
188. Mc KEAN., *Chem. Commun.*, 1373, (1971).
189. KOWALEWSKI, V.J. à publicar.
190. PINES, H.; STREHLAU, D.R.; IPATIEFF, V.N.. *J. Am. Chem. Soc.*, 72, 5521 (1950).
191. CURREL, D.; FRY, A.. *J. Am. Chem. Soc.*, 78, 4377 (1956).

192. COPE, A.C.; FOSTER, T.T.; TOWLE, P.. *J.Am.Chem.Soc.*, 71, - 3929 (1949).
193. BARNARD, D.; FABIAN, J.M.; KOCH, H.P.. *J.Chem.Soc.*, 2442- (1949).
194. BACKER, H.J.; KRAMER, J.. *Recl. Trav.Chim.Pays-Bas.*, 53, 1102 (1934).
195. FURNISS, B.S.; HANNAFORD, A.J.; ROGERS, V.; SMITH, P.W.G.; TATCHELL, A.R.. "Vogel's Textbook of Practical Organic Chemistry", 4<sup>th</sup>ed., Longmans, London, 1978.
196. PERRIN, D.D.; ARMAREGO, W.L.F.; PERRIN, D.R.. "Purification of Laboratory Chemicals", Pergamon Press Ltd., - London, 1966.
197. CROSSLAND, R.K.; SERVIS, K.L.. *J.Org.Chem.*, 35, 3195 - (1970).
198. STARKS, C.M.; LIOTTA, C.. "Phase Transfer Catalysis", - Academic Press, London, 1978.
199. JOHNSON, J.R.; McEWEN, L.W.. *Org. Synth. Synth. Coll.I*, - 521 (1948).
200. EDGE, W.F.; PARTS, L.. *J.Am.Chem.Soc.*, 77, 4899 (1955).
201. FIESER, L.F.; FIESER, M.. "Reagents for Organic Synthesis", John Wiley & Sons, London, 1967.
202. POPPLE, J.A.; SANTRY, D.P.; SEGAL, G.A.. *J.Chem.Phys.*, 43, - 192 (1965).
203. POPPLE, J.A.; SEGAL, G.A.. *J.Chem.Phys.*, 43, 136 (1965).
204. POPPLE, J.A.; SEGAL, G.A.. *J.Chem.Phys.*, 44, 3289 (1966).
205. POPPLE, J.A.; BEVERIDGE, D.L.; DOBOSH, P.A.. 47, 2026 (1967).
206. BAIRD, N.C.; DEWAR, M.J.S.. *J.Chem.Phys.*, 50, 1262 (1969).
207. BINGHAMAN, R.C.; DEWAR, M.J.S.; LO, D.H.. *J.Am.Chem.Soc.*, - 97, 1285 (1975).